

Universidade Estadual de Campinas
Faculdade de Engenharia de Alimentos (FEA)
Departamento de Engenharia de Alimentos

**Alcalóides Pirrolizidínicos em Plantas Brasileiras de
Interesse Alimentar e Medicinal: Identificação e
Toxicologia**

Cáritas de Jesus Silva Mendonça

Química Industrial (UFMA)

Msc Tecnologia de Alimentos (UNICAMP)

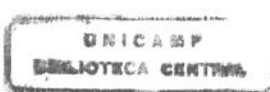
Orientador: Prof.Dr. Gil Eduardo Serra (DTA-FEA), UNICAMP

Co-orientador: Prof.Dr. Lauro Euclides Soares Barata, Instituto de Química-Lab. de Produtos
Naturais (Dept. de Orgânica), UNICAMP

Tese apresentada à Faculdade de Engenharia de Alimentos da Universidade Estadual de
Campinas para obtenção do título de Doutor em Tecnologia de Alimentos.

UNICAMP

BIBLIOTECA CENTRAL
SECÃO CIRCULANTE



CAMPINAS, SP - julho de 2000

UNIDADE B
N.º CHAMADA :
T/Unicamp
M523a
V. _____ Ex.
TOMBO BC1 43856
PROC. 16-392101
C D
PREÇO R\$ 11,00
DATA 21/02/01
N.º CPD

CM-00153435-1

FICHA CATALOGRÁFICA ELABORADA PELA
BIBLIOTECA DA F.E.A. - UNICAMP

M523a

Mendonça, Cáritas de Jesus Silva

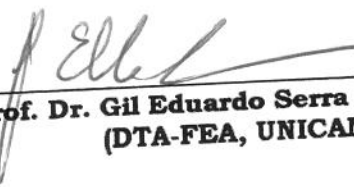
Alcalóides pirrolizidinicos em plantas de interesse
alimentar e medicinal: identificação e toxicología / Cáritas de
Jesus Silva Mendonça. – Campinas, SP: [s.n.], 2000.

Orientador: Gil Eduardo Serra

Tese (doutorado) – Universidade Estadual de Campinas.
Faculdade de Engenharia de Alimentos.

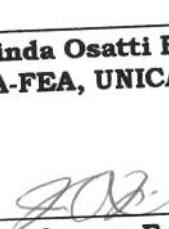
1. Alcalóides. 2. Pirrolizidinicos. 3. Erva. 4. Plantas
medicinais. I. Serra, Gil Eduardo. II. Universidade Estadual
de Campinas. Faculdade de Engenharia de Alimentos.
III. Título.

BANCA EXAMINADORA

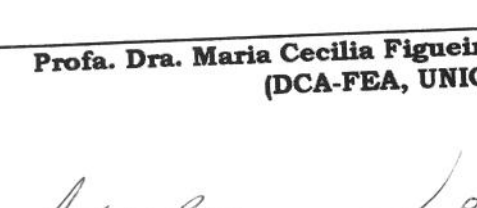

Prof. Dr. Gil Eduardo Serra (Orientador)
(DTA-FEA, UNICAMP)

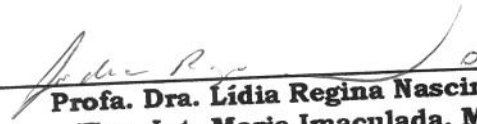

Profa. Dra. Elfried Marianne Bacchi (Membro)
(FBF/DF, USP)


Profa. Dra. Raquel Marques Braga (Membro)
(DO-IQ, UNICAMP)


Profa. Dra. Florinda Osatti Bobbio (Membro)
(DCA-FEA, UNICAMP)


Prof. Dr. Jaime Amaya Farfan (Membro)
(DEPAN-FEA, UNICAMP)


Profa. Dra. Maria Cecilia Figueiredo Toledo (Suplente)
(DCA-FEA, UNICAMP)


Profa. Dra. Lídia Regina Nascimento (Suplente)
(Fac. Int. Maria Imaculada, Mogi Guaçu, SP)

UNICAMP
BIBLIOTECA CENTRAL
SECÃO CIRCULANTE

Campinas, 21 de agosto de 2000

*"Poucos Compreendem a Imensa Vantagem que Há em Nunca
Hesitar e Tudo Ousar."*

Elogio da Loucura.

Erasmo Dias.

UNICAMP
BIBLIOTECA CENTRAL
SECÃO CIRCULANTE

UNICAMP
BIBLIOTECA CENTRAL
SEÇÃO CIRCULANTE

À minha mãe (pelo exemplo que norteia minha conduta perante a vida)
e a todos da família.

Dedico este trabalho

À

Alana

Adriana

Claudia

Lucília

Mara

Marta

M^a Julia

Myriam

Nádia

Ao Pablo

Patrícia C. Dias

Valéria B. de Lima

Pelo constante incentivo e apoio, pelas críticas e sugestões, pelo auxílio não só na parte acadêmica e material mas principalmente pelo ensinamento e amadurecimento de vida.

UNICAMP

**BIBLIOTECA CENTRAL
SEÇÃO CIRCULANTE**

UNICAMP
BIBLIOTECA CENTRAL
SEÇÃO CIRCULANT

AGRADECIMENTOS

Ao Prof. Dr. Gil Eduardo Serra pela orientação, pela paciência, pelas oportunidades e sobretudo pela amizade.

Ao Prof. Dr. Lauro Soares Euclides Barata pela co-orientação, por ceder o seu Laboratório para que este trabalho fosse desenvolvido, por todo apoio que me foi concedido ao longo desses anos e pelo carinho.

Ao Prof. Dr. José Roberto Trigo pela orientação, por ter me iniciado na técnica de CG-EM, pelas discussões e ensinamento sobre a química dos APs e pela capacidade profissional com que conduziu este trabalho.

Ao Centro Pluridisciplinar de Pesquisas Químicas, Biológicas e Agrícolas (CPQBA-UNICAMP), através do Prof. Dr. João Ernesto de Carvalho e sua Equipe de trabalho: Márcia, Ana Possenti, Luciana, Débora, Claudia e Aparecida Erica, pela imensa colaboração quando da realização dos testes toxicológicos, pelo apoio financeiro nas viagens para congressos e simpósios, apoio nos momentos dificeis, nas tomadas de decisões, pelo carinho e amizade com que todos me receberam no Laboratório e pela seriedade profissional.

À Prof. Dra. Sarah Arana, pelos ensinamentos na área de histologia, pela compreensão e dedicação profissional.

À Susana pelo cuidado com as "mamães" ratas e seus filhotes, pela colaboração nos ensaios toxicológicos e pelo carinho ao longo desses anos.

À Profa. Dra. Lúcia Helena B. Baptistella pelos diálogos gratificantes, pelas sugestões, pelas aulas de orgânica e pela dedicação profissional.

Ao Prof. Dr. Paulo M. Imamura, pela boa receptividade em seu Laboratório, pelos empréstimos de materiais e pela convivência agradável.

Ao Prof. Dr. Pedro Mellilo Magalhães, por ter sugerido o tema desse trabalho e pela doação das plantas.

À Elaine pelo auxílio no manuseio do CG-EM e pela amizade cultivada durante esses anos.

À Rita de Cássia (nossa "Isaura") pelo constante cuidado com as plantas de trabalho, pelo preparo dos extratos, pela "guarda do computador" por sua presença alegre, cativante e pelos cafezinhos diários.

Aos amigos Carlos S., Silvio, Denis, Clécio, Marcelo (pelas discussões e elucubrações sobre a química, nas noites de sexta-feira) Ilza, Raquel, Beto, Soninha (papo-cabeça), Sandra, Maria Helena, Soraya, Gilvandete, Cecília, Vera e Íris, pelas dicas e auxílios no laboratório, pelas sugestões e pelo tratar bem.

À Carol, Valéria H., Valdirene, Giselle, Artur, Sérgio S., Marcelo S., Mário, Suzi e Vera Lúcia A., pela convivência agradável, pelos momentos de descontração e solidariedade.

Ao Paiva, pelas sugestões, apoio e carinho.

À Ray, que pelo pouco tempo de convivência no laboratório, tem se mostrado amiga e solidaria, pelo café das 7h.

Às amigas da FEA Ana Maria, Alice, Ana Lurdes e Marlene pelo apoio e carinho ao longo destes anos.

À Paula e à Sonia pelos espectros de RMN e pela atenção.

Às técnicas (Marta I e Marta II, Cleusa e Telma) do laboratório de Histologia do Depto. de Histologia e Embriologia do Instituto de Biologia da UNICAMP.

Ao Conselho Nacional de Desenvolvimento Científico e Tecnológico (CNPq),
pela bolsa concedida.

Ao FAEP pela bolsa concedida.

Ao Herbário do Instituto de Biologia da UNICAMP, pela coleta das
Inflorescências das espécies de *Senecio* e *Eupatorium*.

Ao Instituto de Química e todos os funcionários, por colocar à nossa
disposição os aparelhos utilizados nas diversas análises da tese.

À Universidade Federal do Maranhão (onde tudo começou), através da Profa.
Dra. Maria Célia Pires Costa, pelo incentivo, pela capacidade profissional e por ter
me acolhido em sua casa, quando da minha vinda para Campinas.

Aos amigos do Maranhão: Paulo, Silvia, Sófia, Estevão, Reginaldo, Ademar,
Marialda, Conceição, Nonato ("Índio") e Fátima pelo convívio e carinho durante a
época de graduação, e por acreditarem no meu crescimento profissional.

A todos do Movimento Gnóstico, pela Força.

Aos professores (as) da Banca Examinadora, pelas críticas e sugestões, que
foram de grande valia para o fechamento desse trabalho.

ÍNDICE	Páginas
RESUMO	iv
ABSTRACT	v
ABREVIACÕES	vi
1. INTRODUÇÃO	1
2. OBJETIVOS	3
3. REVISÃO BIBLIOGRÁFICA	4
3.1 Toxinas Presentes em Plantas	5
As Toxinas Não-Nitrogenadas	5
As Toxinas Nitrogenadas	8
3.2 Alcalóides	11
3.3 Ação Farmacológica de Alcalóides	17
3.4 Alcalóides Pirrolizidínicos	23
3.5 Distribuição e Classificação de APs em Plantas	26
3.6 Ocorrência de APs em Alimentos	33
3.7 Toxicidade de APs	36
Hepatotoxicidade de APs terciários	36
Hepatotoxicidade Aguda	37
Hepatotoxicidade Crônica	38
Hepatotoxicidade de APs N-óxidos	39
Toxicidade de APs em Pulmão, Rim e outros Órgãos	39
3.8 Métodos Espectrofotométricos para Identificação de APs	42
Cromatografia Gasosa-Espectrometria de Massas de APs	42
Espectrometria de Massas de Impacto de Elétrons	44
Espectrometria de Massas de Impacto de elétrons- Padrões de Fragmentação de APs	46
APs Monoésteres 1,2-insaturados	46
APs Monoésteres 1,2-saturados	46
APs Macrocíclicos 1,2-insaturados	48
APs Macrocíclicos 1,2-saturados	48
APs Diésteres	49
APs macrocíclicos com base otonecina	49
APs com bases Necinas	50
3.8 Métodos Espectroscópicos para caracterização de APs	50

4. MATERIAIS E MÉTODOS	51
4.1 Delineamento Experimental	51
<u>Experimento A</u>	51
Identificação de APs de espécies do gênero <i>Senecio</i> e <i>Eupatorium</i> (alocados em Herbário)	51
<u>Experimento B</u>	52
Identificação de espécies dos gêneros <i>Heliotropium</i> , <i>Ageratum</i> e <i>Crotalaria</i>	52
<u>Experimento C</u>	52
Isolamento e Caracterização de APs de espécies dos gêneros <i>Heliotropium indicum</i> , <i>Ageratum conyzoides</i> , <i>Eupatorium laevigatum</i> , <i>Senecio brasiliensis</i> , <i>Crotalaria spectabilis</i> e <i>Crotalaria lanceolata</i> .	52
<u>Experimento D</u>	57
Testes Toxicológicos	57
Testes de Toxicidade Aguda	57
Testes de Toxicidade crônica	58
Animais	59
Avaliação da Toxicidade	59
Análise Histopatológica	59
Documentação Fotográfica	61
4.2 MÉTODOS	61
4.2.1 Extração e fracionamento de APs	61
4.2.2 APs obtidos a partir de transformações químicas	64
Hidrólise	64
Oxidação	65
4.2.3 Métodos Analíticos	66
Cromatografia em camada delgada analítica	66
Cromatografia de adsorção com coluna Flash	66
Cromatografia em camada delgada preparativa	68
Cromatografia de Partição	68
Cromatografia gasosa acoplada a Espectrometria de massas	68
Método Colorimétrico	70
Ressonância Magnética Nuclear	70
4.3 Análise Estatística	71

5. RESULTADOS E DISCUSSÃO	72
5.1 Identificação de APs em Plantas Brasileiras	72
5.1.1 Identificação de APs em espécies de <i>Senecio</i>	77
5.1.2 Identificação de APs em espécies de <i>Eupatorium</i>	87
5.1.3 Identificação de APs em <i>Heliotropium indicum</i>	96
5.1.4 Identificação de APs em <i>Heliotropium transalpinum</i>	97
5.1.5 Identificação de APs em <i>Ageratum conyzoides</i>	100
5.1.6 Identificação de APs em espécies de <i>Crotalaria</i>	103
5.2 Isolamento e caracterização de APs para utilização nos Testes Toxicológicos	105
Monoésteres Indicina e Licopsamina	105
Macrocíclicos (12-memebr) Integerrimina e Retrorsina	108
APs N-óxidos: Indicina, Integerrimina e Retrorsina	114
Base Retronecina	123
Ácido Integerrinecico	128
5.3 Isolamento e Caracterização de Outros APs	132
Equinatina N-óxido	132
Usaramina	137
Monocrotalina	142
5.4 Testes Toxicológicos	148
5.4.1 Teste de Toxicidade Aguda	149
5.4.2 Teste de Toxicidade Crônica-Exame Anatomopatológico	152
5.4.3 Exame Histopatológico	154
5.4.4 DL₅₀ e Curva Dose-Resposta	170
5.4.5 Teste de Toxicidade Crônica (Extratos)	176
6. CONCLUSÕES	181
7. REFERÊNCIAS BIBLIOGRÁFICAS	182

RESUMO

Alcalóides Pirrolizidínicos em Plantas Brasileiras de Interesse Alimentar e Medicinal: Identificação e Toxicologia.

Cáritas de Jesus Silva Mendonça

Gil Eduardo Serra

Faculdade de Engenharia de Alimentos (FEA), UNICAMP, C.P 6154,
Campinas, 13081-970, SP-Brasil

Palavras-chave: alcalóides, pirrolizidinicos, hepatotoxicidade

Plantas contendo Alcalóides Pirrolizidínicos (APs) são amplamente consumidas com propósitos medicinais (remédio caseiro) ou alimentícios (saladas, sucos), em alguns países tais como Índia, Afeganistão, Estados Unidos da América e União Soviética. Algumas plantas, dentre as quais *Senecio*, são vendidas como ervas medicinais em lojas de produtos naturais. Durante muitos anos o Confrei (*Symphytum ssp*) foi usado para fins alimentícios (vegetal, bebida) e medicinal. Porém, atualmente estas plantas são conhecidas por sua carcinogenicidade em animais de laboratório. Existem evidências concretas de que os efeitos causados pela exposição a uma única dose de AP pode progredir para uma doença crônica do fígado, e para cirrose.

Os APs são ésteres de 1-metilhidroxilpirrolizidinas, constituídos por um aminoálcool (base necina) e uma parte ácida (ácido necico). Cerca de 200 APs foram identificados em 300 espécies de plantas. Estes compostos ocorrem principalmente nas famílias Boraginaceae (todos os gêneros), Asteraceae (tribos *Senacionae* e *Eupatoriae*) e Leguminosae (gênero *Crotalaria*).

Neste trabalho foi realizada inicialmente a identificação qualitativa por CG-EM, em 28 espécies de *Senecio* e 87 espécies de *Eupatorium*, alocadas no Herbário do Instituto de Biologia desta Universidade.

As análises das espécies de *Senecio* apresentaram basicamente três tipos de APs: macrocíclicos insaturados (**Tipo Senencionina [A1]**), alcalóides macrocíclicos saturados (**Tipo Platifilina [A2]**) e monoésteres saturados (**Tipo Triangularina [B]**).

As espécies de *Eupatorium* revelaram que a composição química dos extratos brutos apresentam grande similaridade, e os APs encontrados com mais abundância e freqüência foram dos **Tipos Licopsamina [C1] e Supinina [C2]**.

Além dos gêneros citados foram realizadas análises em varias partes das plantas: *Ageratum conizoides*, *Heliotropium indicum*, *H. transalpinum* e três espécies de *Crotalaria* (*Crotalaria juncea*, *Crotalaria spectabilis* e *Crotalaria lanceolata*).

O extratos bruto do *Aeratum conizoides* revelou a presença majoritária de APs do **Tipo Licopsamina [C1]**.

Os principais APs encontrados no extrato bruto da planta *Heliotropium indicum* foram do **Tipo [C1]** como **Indicina** e **Iso-indicina**.

Nas espécies de *Crotalaria* foram identificados basicamente os APs **Integerrimina**, **Monocrotalina**, **Usaramina** e um AP de estrutura desconhecida.

Os estudos toxicológicos em ratos (toxicidade aguda) realizados com os APs puros (dose única) isolados e caracterizados por RMN em 1D (RMN¹H, RMN¹³C, DEPT) e 2D (HETCOR e COSY) mostraram que os APs macrocíclicos e seus respectivos N-óxidos, de um modo geral, causaram alterações hepáticas como hepatócitos megalocíticos, degeneração hidrópica dos hepatócitos e necrose maciça.

Nos testes de toxicidade crônica realizados com os extratos brutos, somente o *Eupatorium laevigatum* e o *Senecio brasiliensis* causaram alterações hepáticas como hepatócitos megalocíticos, células em degeneração e necrose com indícios de hepatotoxicidade.

ABSTRACT

Pyrrolizidine Alkaloids (PAs) in Brazilian Plants with Feed and Medicinal Interest: Identification and Toxicology

**Cáritas de Jesus Silva Mendonça
Gil Eduardo Serra**

Faculdade de Engenharia de Alimentos (FEA), UNICAMP, C.P 6154,
Campinas, 13081-970, SP-Brazil

Keywords: Alkaloids, pyrrolizidine, hepatotoxicity

Plants containing pyrrolizidine alkaloids (PA's) are consumed as medicinal herbs or as foods (salads, juices).in India, Afganistan, America, Russia and Brazil.

But nowadays those species are known as carcinogenic for laboratory animals. There are concrete evidence that the effects of a single dose of PA can cause chronic liver disease and cirrhosis.

PA's are esters 1-methylhydroxylpyrrolizines, composed by an aminoalcohol (necine base) and an acid (necic acid). More than 200 structures had been isolated from species of *Senecio* and *Eupatorium* (Asteraceae), *Crotalaria* (Leguminosae) and *Heliotropium* (Boraginaceae).

In this work, preliminary qualitative analysis using GC-MS was performed in 28 *Senecio* species and 87 of *Eupatorium*.

Senecio showed three types of PAs saturated monoesters **Triangularine Type**, insaturated macrocycles (**Senecionine Type**) and saturated macrocycle alkaloids (**Platifiline Type**).

The *Eupatorium* species showed similar composition and the most common PA's are **Lycopsamine Type** and **Supinine Type**.

Analysis were also made in different parts of plants of other genus: *Ageratum* (*conyzoides*), *Heliotropium* (*indicum*, *transalpinum*) and *Crotalaria* (*junccea*, *spectabilis* and *lanceolata*). The methanol

extract of *Ageratum conyzoides* showed the presence of two diaster **Lycopsamine Type**. In *Heliotropium indicum* **Indicine** and **Iso-indicine** were found.

Crotalare species showed **Integerrimine**, **Monocrotaline**, **Usaramine** and an **unknown PA**.

Toxicological studies in rats (acute toxic dose) performed with pure PA isolated and characterized by NMR in 1D (NMR¹H, NMR¹³C, DEPT) and 2D (HETCOR e COSY) showed flat macrocyclic PAs and its N-oxides, in a general sense, caused alterations in the liver, where observed megalocytic hepatocytes and necrosis.

Chronic toxicity tests with raw extracts showed that only *Eupatorium laevigatum* and *Senecio* caused liver alterations.

ABREVIAÇÕES

APs: alcalóides pirrolizidinicos
CCD: Cromatografia em Camada Delgada
CG: Cromatografia Gasosa
RMN: Ressonância Magnética Nuclear
EM: Espectrometria de massas
EM-IE: Espectrometria de massas de Impacto de Elétrons
COSY: Espectro em 2D que correlaciona prótons a três ligações (Correlation Spectroscopy)
DEPT: Distortionless Enhancement Polarization Transfer
HETCOR: Espectro em 2D que correlaciona carbonos e prótons a um ligação (Heteronuclear Correlation)
IRK: Índice de Retenção de van den Dool
m: multiplet
s: singlet
s1: singleto largo
d: doublet
d1: doubleto largo
dd: duplo doubleto
q: quarteto
sept: septeto
t: triplet
CDCl₃: clofórmio deuterado
D₂O: água deuterada
DMSO: Dimetil sulfoxido
TMS: trimetilsilil
1D: 1 dimensão
2D: 2 dimensões
δ: deslocamento químico (em ppm)
Hz: Hertz
J: constante de acoplamento (em Hertz)

1. INTRODUÇÃO

1. INTRODUÇÃO

Desde a mais remota antiguidade, os homens utilizam as plantas como remédio para os seus males. Todas as civilizações valeram-se delas para aliviar o sofrimento e, em muitos casos, para curar doenças. O uso destas plantas, sob várias formas de preparo popular (chá, abafados, garrafadas ou tinturas), é costume bastante arraigado em várias camadas da população brasileira e mundial. Tal hábito parte do pressuposto de que as plantas utilizadas possuem atividades terapêuticas e são desprovidas de efeitos tóxicos. Contudo, não existem dados científicos sobre várias plantas utilizadas em nosso meio que justifiquem o uso terapêutico ou que confirmem a ausência de toxicidade.

Além do aspecto medicinal também é de grande importância a pecuária extensiva em vastas regiões da América do Sul e da América Central, com a ocorrência de enormes prejuízos causados por doenças crônicas provenientes da ingestão de plantas tóxicas, cujo controle e combate demonstram-se difíceis. Isto acarreta um prejuízo econômico além de eventualmente colocar em risco a saúde pública, caso tais animais ou produtos afins sejam utilizados na indústria alimentícia, o que resultaria em uma irreversível entrada de toxinas vegetais na cadeia alimentar do ser humano (HABERMEHL, 1991).

No Brasil algumas plantas tóxicas têm sido usadas na medicina popular e como alimento para animais domesticados. Entretanto, pouca ou nenhuma informação se tem acerca dos seus efeitos toxicológicos e toxicogenéticos. Muitas dessas plantas podem conter substâncias tóxicas e mutagênicas, e o seu uso constante pode constituir um risco potencial para a saúde humana e dos animais. Como exemplo de uma classe que apresenta uma variedade de atividades farmacológicas e que sempre influenciou muito a história

econômica, médica, política e social da humanidade, pode-se citar a classe dos alcalóides e dentre estes, os alcalóides pirrolizídnicos (APs), que assumem um papel muito importante no cenário das plantas usadas para fins medicinais e alimentares pela população brasileira.

Embora exista uma vasta literatura sobre a ocorrência de alcalóides pirrolizídicos em material vegetal, a presença destas substâncias tóxicas em espécies utilizadas como "medicinais" ou mesmo como alimento pela população brasileira é praticamente nula.

Assim, os fatos aqui apresentados têm motivado numerosas pesquisas que visam identificar a presença de APs em plantas empregadas na medicina popular ou mesmo como alimento, isolá-los e verificar os seus efeitos em condições experimentais, com o propósito de obter dados para melhor orientar a população no uso destas plantas e acrescentar informações sobre o efeito de APs.

2. OBJETIVOS

2. OBJETIVOS

A preocupação no estudo dos alcalóides pirrolizidínicos, evidenciada pela bibliografia e estudos conduzidos em diversos países, e por outro lado, o uso praticamente indiscriminado, no Brasil de plantas (contendo substâncias tóxicas) para o preparo de infusões, chás, bebidas e alimentos, chama a atenção para a lacuna de informações sobre plantas de uso tipicamente nacionais. Assim, este projeto tem como objetivo obter informações sobre a ocorrência de APs em espécies vegetais brasileiras, por meio de pesquisa orientada para:

- Estudo da presença de APs em algumas plantas brasileiras usadas pela população para fins medicinais ou alimentares, através da técnica de cromatografia gasosa espectrometria de massas, visando estabelecer um padrão de ocorrência dos mesmos, a partir da distribuição dos APs identificados nos gêneros e espécies vegetais estudadas.

- Avaliar a toxicidade de extratos aquosos (infusão) preparados a partir de plantas brasileiras de uso popular e verificar também a toxicidade aguda de alguns APs puros (monoésteres versos macrocíclicos), quando administrados por via oral.

3. REVISÃO BIBLIOGRÁFICA

3. REVISÃO BIBLIOGRÁFICA

Algumas toxinas (detritos bacterianos considerados venenosos para o corpo animal - ROBBERS et al., 1997) presentes em plantas, como a nicotina, a piretrina e os rotenóides são bem conhecidas. Porém existe uma variedade muito grande de plantas tóxicas, que permanece sem investigação até hoje (HARBORNE, 1997). Segundo o mesmo autor, a toxicidade química é sempre relativa, dependendo da dose tomada em um determinado período de tempo, da idade e do estado de saúde do animal, do mecanismo de ação e absorção e do modo de excreção. Por exemplo, o alcalóide esteroidal Solanina está presente em todas as batatas domésticas, mas a quantidade é tão infinitesimal que raramente torna-se um risco para quem o consome. Além dos alcalóides existem outras toxinas que ocorrem frequentemente em plantas. Os taninos (Casuarinina, Stachiurina, Castalagina e Vescalagina) e as saponinas (5-metoxipodofilotoxina e ácido-medicamentoso) foram isolados das espécies *Thiloa glaucocarpa* e *Polygala klotzchii*, respectivamente (HARBORNE, 1997).

Na medicina popular da América do Sul algumas espécies de *Baccharis* são utilizadas no tratamento de vários sintomas de doenças. Como exemplo podemos citar a *Baccharis trimera*, no Brasil denominada carqueja, utilizada na forma de chá para o tratamento de dores de estômago; na Argentina a *Baccharis crispa* é utilizada no tratamento de feridas e de infecções externas. Através de estudos químicos e farmacológicos em espécies de *Baccharis* (HABERMEHL, 1991) foi possível comprovar a presença de substâncias tóxicas que foram identificadas como *trichotecenas macrocíclicas* (roridinas A e E, miotoxinas A, B, C e D).

Plantas do gênero *Cestrum* (Solanaceae), usadas na medicina popular para aliviar dores, como tranquilizantes e diurético para "catarro da bexiga", também apresentam substâncias tóxicas que até o presente não foram identificadas (HABERMEHL, 1991)

3.1 Toxinas Presentes em Plantas

As Toxinas Não-Nitrogenadas

Existem muitos compostos tóxicos presentes em plantas que são terpenóides ou até mesmo simples hidrocarbonetos. Por exemplo, muitos dos extratos de plantas usados em flechas de nativos da África continham glicosídeos cardíacos, substâncias altamente tóxicas que levam à morte animais e humanos (HARBORNE, 1997).

A toxina não nitrogenada mais simples presente em plantas é o ácido monofluoroacético ($\text{CH}_2\text{FCO}_2\text{H}$), o qual ocorre em plantas nativas da África do Sul, como a *Dichapetalum cymosum* (Lilaceae). Os efeitos tóxicos desta substância se caracterizam por uma parada respiratória, sendo que a dose letal para o homem está na faixa de 2 a 5 mg/kg. Um outro ácido orgânico tóxico presente em plantas é o ácido oxálico (CO_2H_2). Porém este só é realmente tóxico quando associado com os íons sódio e potássio, formando sais solúveis. Apesar da sua estrutura simples a ação deste ácido é pouco entendida. A dose letal para o ácido oxálico é elevada; somente plantas que possuem teores acima de 10% do peso seco são tidas como nocivas para mamíferos (KEELER et al., 1978).

Uma seleção de toxinas não nitrogenadas esta listada na Tabela 1 (HARBORNE, 1997) e algumas de suas estruturas mostradas na Figura 1.

Dentre os terpenóides, dois grupos merecem destaque por serem altamente tóxicos: os glicosídeos cardiotônicos (cardenolídos) e as saponinas (ROBBERRS et al., 1997). Há outras estruturas associadas a estas como por exemplo, as toxinas diterpênicas presentes nas folhas e flores de *Rododendron*. Também, as lactonas sesquiterpênicas presentes na família Compositae, têm sido tóxicas para insetos (HARBORNE, 1997) e responsáveis por sintomas alérgicos em animais (MITCHELL & ROOCK, 1979). Algumas lactonas sesquiterpênicas (himenovina) presentes na espécie *Hymenoxyd odorata*

são venenosas para animais de fazenda, enquanto um grande número é citotóxico, tendo ainda atividade anti-tumoral (RODRIGUEZ *et al.*, 1976). As lactonas sesquiterpênicas freqüentemente têm gosto amargo, idêntico a outro grupo de toxinas terpenóides, as lactonas monoterpênicas ou iridóides. Os iridóides ocorrem em plantas tanto na forma livre (neptalactona), quanto na forma de glicosídeos (aucubina), quando a toxina é liberada após hidrólise enzimática.

Tabela 1. Toxinas Não-Nitrogenadas Presentes em Plantas.

Classe de Compostos	Toxina	Planta	Toxicidade
Iridóides	Aucubina	<i>Aucuba</i>	insetos e pássaros
Lactonas sesquiterpênicas	Himenovina	<i>Hymenoxys odorata</i>	gado e insetos
Glicosídeos cardíacos	Ouabaina	<i>Acokanthera ouabaio</i>	ratos $DL_{50} = 17,2\text{mg/kg}$
Saponinas	Ác. Medicagênico	<i>Medicago sativa</i> (folhas)	peixes e insetos
Furanocumarinas	Xantotoxina	<i>Pastinaca sativa</i>	insetos
Isoflavonóides	Rotenona	<i>Derris</i>	insetos e peixes
Quinonas	Hipericina	<i>Hypericum perforatum</i> (folhas)	ovelhas, mamíferos
Poliacetilenos	Oenantetoxina	<i>Oenante crocata</i> (raiz)	mamíferos

Fonte: (HARBORNE, 1997)

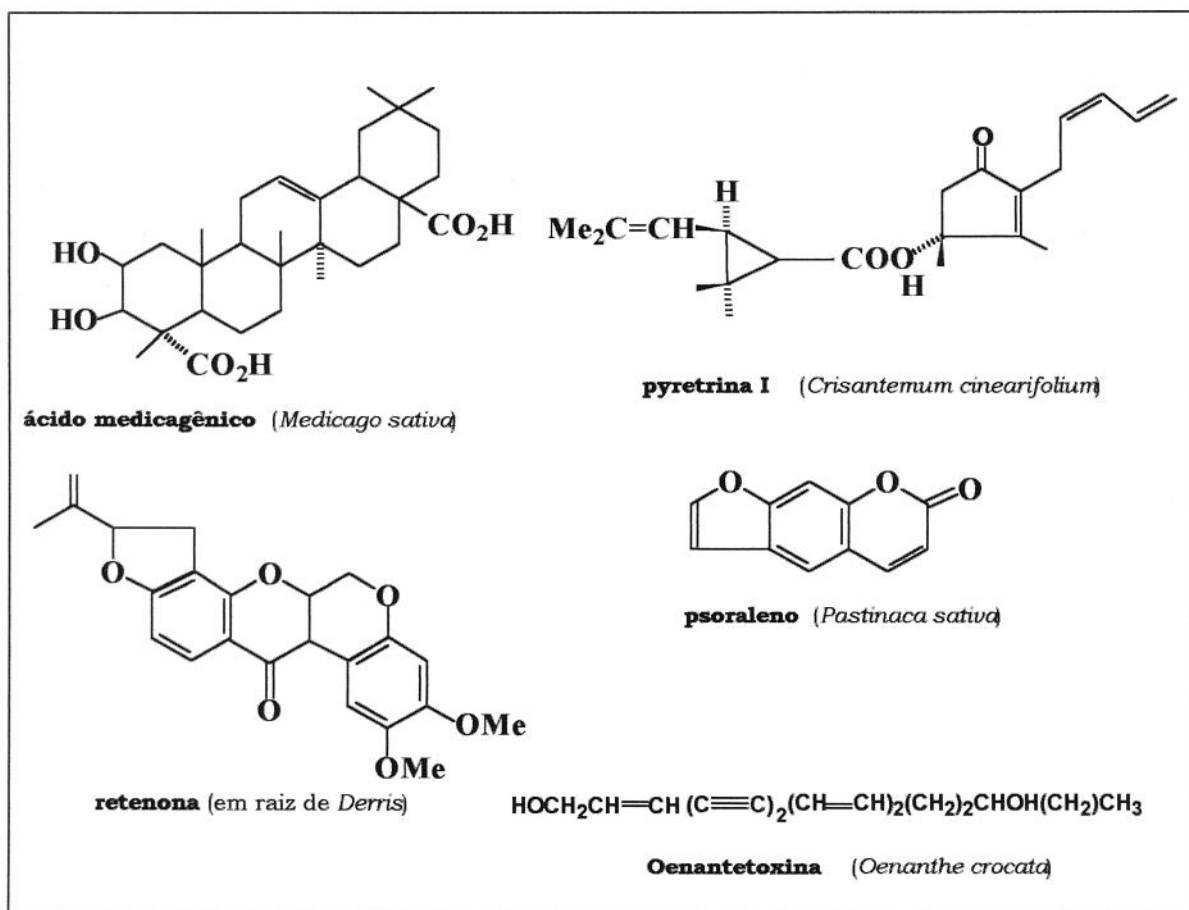


Figura 1. Algumas Toxinas Não-Nitrogenadas presentes em Plantas.
Fonte: HARBORNE, 1997.

Algumas toxinas não-nitrogenadas presentes em plantas são também notáveis por causarem fotosensibilidade em animais como por exemplo a quinona hipericina de *Hypericum perforatum*, composto fotodinâmico o qual é absorvido pelo animal e entra na circulação. Quando exposto à luz do sol, o animal torna-se suscetível a queimaduras solares e outros danos como necrose da pele. Entre outros compostos fotodinâmicos presentes em plantas estão as furocumarinas, encontradas na espécie *Cymopterus watsonii* (KEELER, 1975). Outras moléculas descobertas por causarem toxicidade em animais através da fotosensibilidade são os poliacetilenos e os tiofenos (TOWERS, 1980) e o grupo das aflatoxinas, sendo a maioria de origem microbiana, produzidas pelo fungo *Aspergillus flavus*, tendo

como maior representante desta classe a aflatoxina B1. Este composto puro é carcinogênico para animais tendo como órgão alvo o fígado; a dose letal em patos é de 20 µg, ocorrendo morte após 24 horas e a dose letal em cães e ratos é de 0,5 e 0,9 mg/kg, respectivamente. Segundo SMITH & MOSS (1985) estas toxinas são capazes de contaminar plantas e alimentos. Um outro grupo de substâncias tóxicas originadas de plantas são os rotenóides que ocorrem em raízes de legumes, e as piretrinas presentes nas folhas de *Chrysanthemum cinerifolium* (Asteraceae) ambos com propriedades inseticidas.

Todas as toxinas mencionadas até aqui têm efeitos em formas de vida animal superior; detalhes dos efeitos destas toxinas em animais de fazenda ou domésticos são reportados por KEELER *et al.*, (1978) e KEELER & TU (1983).

As Toxinas Nitrogenadas

Das várias toxinas nitrogenadas presentes em plantas, as de estrutura mais simples, são os aminoácidos não protéicos (Tabela 2, Figura 2). Estes estão amplamente distribuídos nas plantas e podem ser diretamente tóxicos. Existe cerca de 300 estruturas conhecidas destes aminoácidos isolados de plantas (BELL, 1980; ROSENTHAL, 1982), os quais são particularmente característicos de legumes, encontrados na maioria das vezes nas sementes. Segundo BELL (1972) a toxicidade destas plantas provém de uma variedade de estruturas químicas. Como exemplo, a β-cianoalanina presente em espécies de *Vicia*, muito tóxica para mamíferos, chega a causar convulsões e morte quando injetada em ratos na concentração de 200mg/kg. Uma outra classe de toxinas nitrogenadas presente em plantas, são os glicosídeos cianogênicos. Estes compostos não são tóxicos "per se", somente quando quebrados enzimaticamente formando assim o ácido cianídrico (HCN) e o ácido prússico. Entre estes está a miserotoxina presente em legumes do gênero *Astragalus*,

conhecida por afetar o gado e causar danos ao sistema nervoso do homem (STERMITZ et al., 1972). A ocorrência de glicosídeos cianogênicos em plantas é relevante do ponto de vista tóxico; a síntese destes compostos têm como produto principal o ácido prússico ou por hidrólise deste o ácido cianídrico (HCN). Uma das origens clássicas do ácido cianídrico está nas sementes das amêndoas da *Prunus amygdalus*, a qual contém o glicosídeo amigdalina. Vários casos de intoxicação no gado e morte em humanos são relatados a cada ano devido ao consumo de plantas contendo estas substâncias (JONES, 1972, 1988).

Tabela 1. 2 - Toxinas Nitrogenadas presentes em Plantas

Classe de Compostos	Toxina	Planta	Toxicidade
Aminoácidos Não Protéicos	L-DOPA	<i>Mucuna</i> (sementes)	insetos
Glicosídeos cianogênicos	β -Cianoalanina	<i>Vicia</i> (sementes)	$DL_{50}=200\text{mg/kg}$ para ratos
	Linamarina	<i>Lotus corniculatus</i>	$DL_{50}=50\text{mg/kg}$ para homem
	Iotaustralina		
	Sinigrina	<i>Brassica</i>	gado e insetos
Glucosinolatos			
Alcalóides	Senecionina	<i>Senecio jacobaea</i>	gado e insetos
Alcalóide	Atropina	<i>Atropa belladonna</i>	mamíferos, ratos $DL_{50}=750\text{mg/kg}$
Peptídeos			
	Amanitina	<i>Amanita phalloides</i>	mamíferos
	Viscotoxina	<i>Viscum album</i>	animais
	Abrina	<i>Abrus precatorius</i>	$DL_{50}=0,5\text{mg/kg}$ para o homem
Proteínas	Fitohemaglutinina	<i>Phaseolus vulgaris</i>	escaravelho

Fonte: (HARBORNE, 1997)

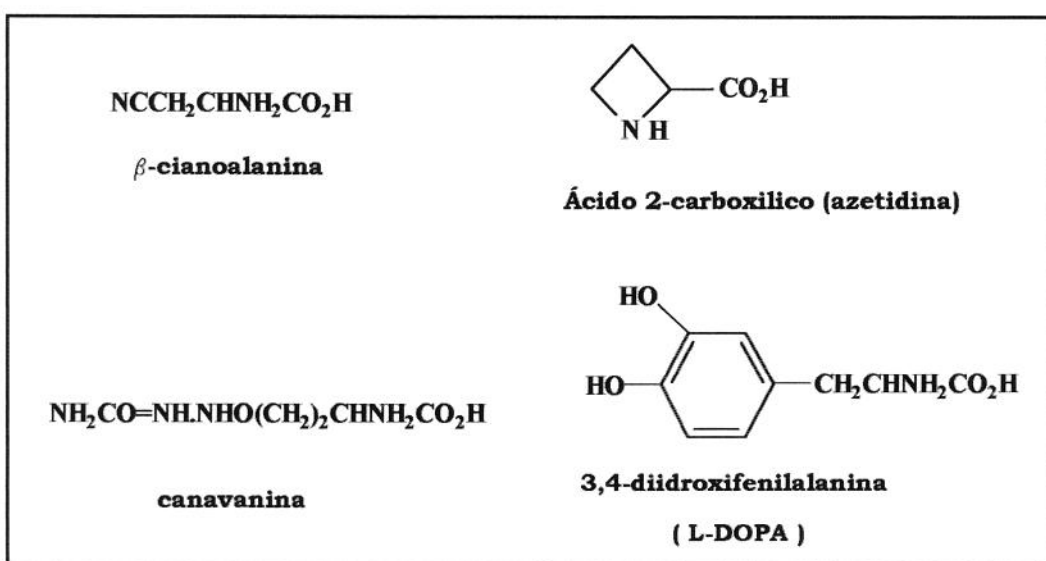


Figura 2. Alguns Aminoácidos não-protéicos tóxicos, presentes em plantas.

Os glicosinolatos presentes em espécies de *Brassica* (Cruciferae) podem ser tóxicos para animais quando encontrados em quantidades suficientes nas plantas (HARBORNE, 1997).

A maior classe de toxinas presentes nas diversas famílias de plantas são os alcalóides (Figura 1.3), com mais de 10.000 compostos conhecidos e uma variedade de estruturas. Parte das moléculas dos alcalóides podem ser derivadas da rota sintética de terpenóides e de carboidratos (HARBORNE, 1997).

Uma definição moderna de alcalóides é dada por PELLETIER (1983), que define alcalóide como sendo um composto orgânico cíclico que contém um nitrogênio com estado de oxidação negativo. De acordo com esta definição algumas substâncias como aminas (-3), óxidos de aminas (-1), amidas (-3) e sais de amônia quaternária (-3) podem entrar no grupo dos alcalóides (Figura 1.3). Esta definição tem a vantagem de incluir a maioria dos compostos (piperina, colchinina, β -feniletilamina, recinina, gentianina e os derivados da base purina) que são exceções dentro da definição clássica de alcalóides. Entretanto não inclui os ácidos aristoloquicos que apresentam grupos $-\text{NO}_2^-$ (+3).

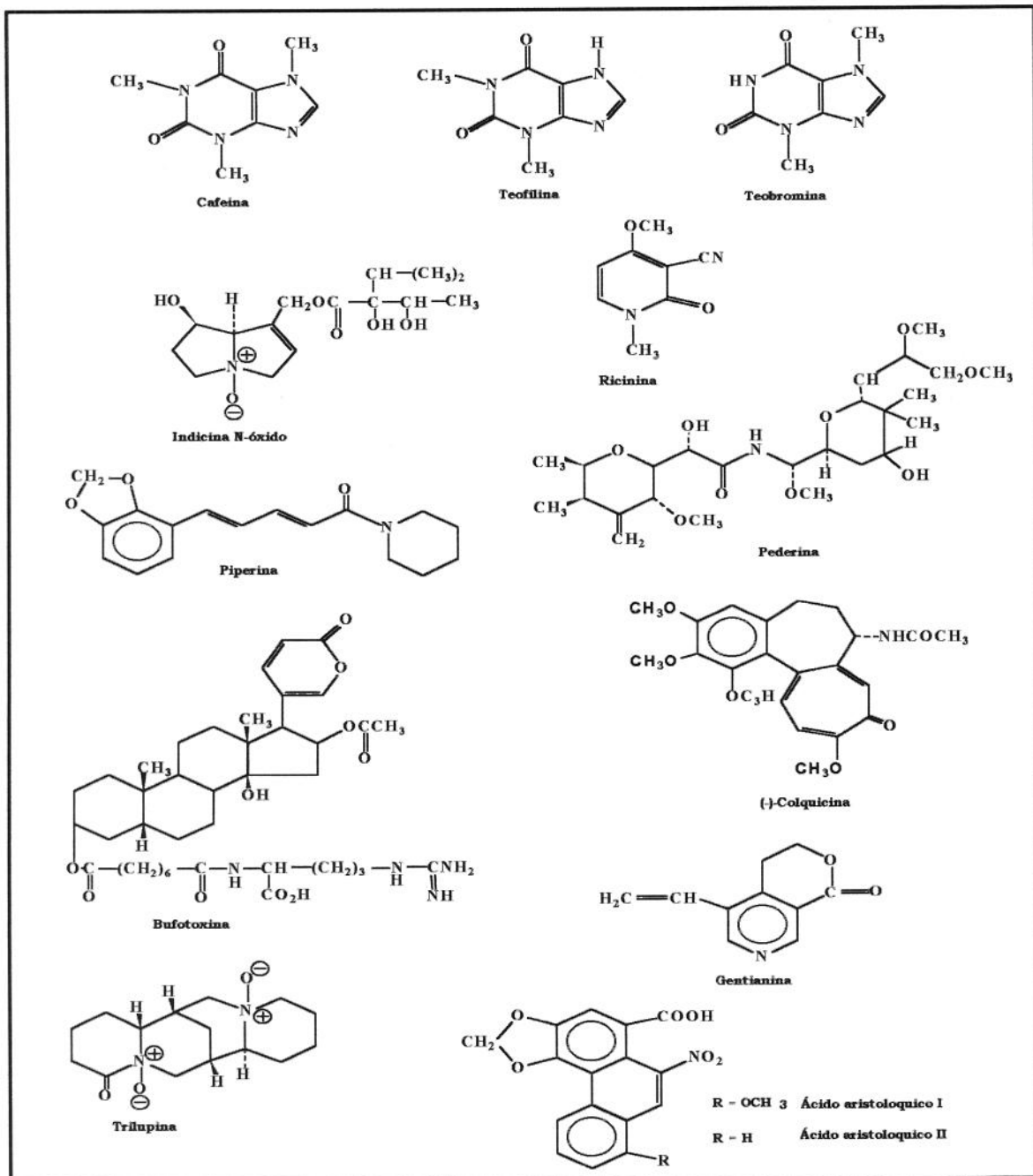


Figura 3. Estrutura de alguns alcalóides, segundo definição de PELLETIER (1983).

3.2 Alcalóides

Os alcalóides pertencem a uma extensa classe de metabolitos secundários, que historicamente têm sido definido como substâncias de ocorrência natural não vitais para os organismos que os

produzem. Estas substâncias são de grande interesse devido a sua pronunciada e variada ação farmacológica em animais e humanos (KUTCHAN, 1995). Porém esta visão vem sendo modificada devido a importante função na defesa de plantas contra organismos patológicos e herbívoros.

As plantas sempre foram uma fonte abundante de alcalóides (ROBBERS & TYLER, 1997), e algumas que eram conhecidas por conterem alcalóides foram muito usadas na idade média para execução dos inimigos do império. Dentre estes alcalóides podemos citar a coniina, a atropina e a estricnina (Figura 4).

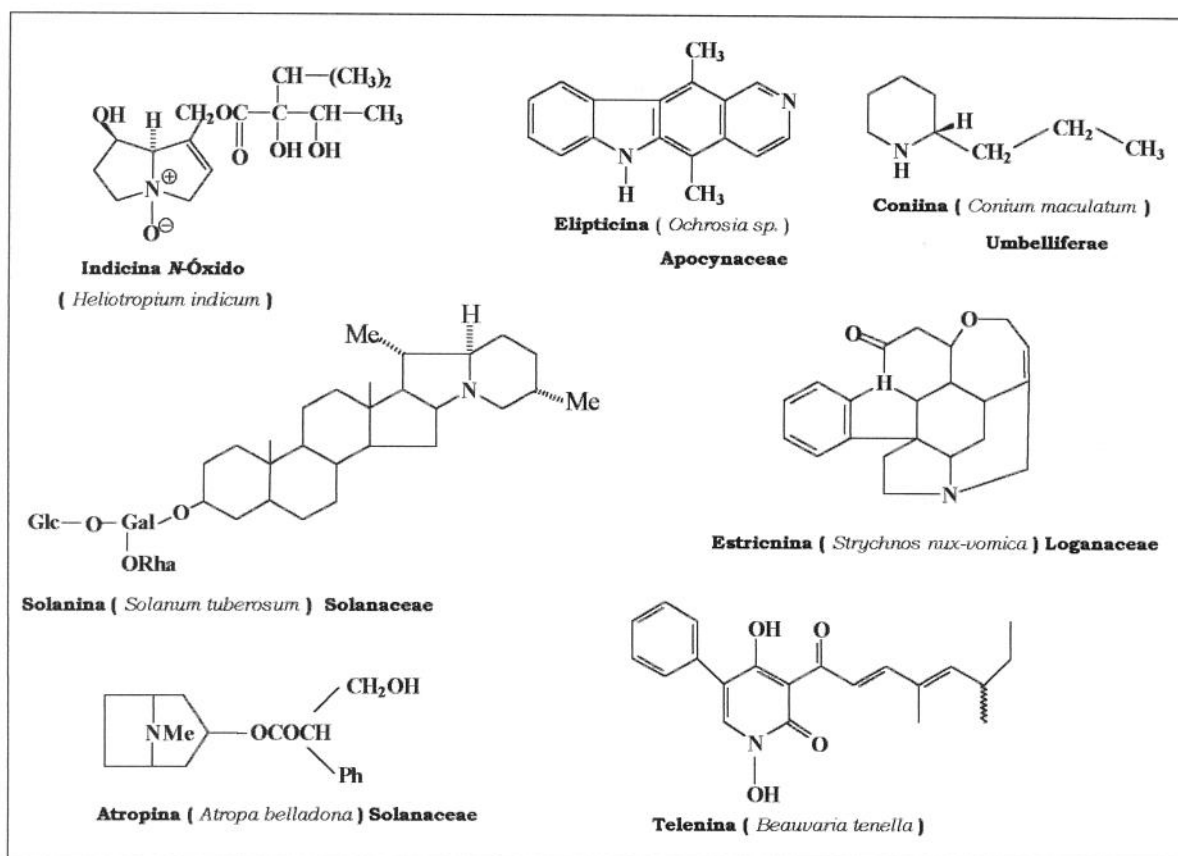


Figura 4. Alguns alcalóides encontrados em plantas.

No reino vegetal, é provável que a distribuição dos alcalóides se restrinja a certas famílias e gêneros (ROBBERS & TYLER., 1997). Dentre as Angiospermas as famílias que mais se destacam na

produção de alcalóides são: Apocinaceae, Papaveraceae, Runuculaceae, Rubiaceae, Solanaceae e Berberidaceae. Contudo, afirma-se que as monocotiledôneas não produzem alcalóides. Estudos indicam que as famílias Amarilidaceae e Liliaceae são duas das mais promissoras em termos de produção de alcalóides (ROBBERS & TYLER., 1997). Alguns alcalóides costumam restringir-se a certas famílias botânicas (p.e Hiosciamina em Solanaceae, Colchicina em Lilaceae). Nas plantas os alcalóides são encontrados em várias partes: sementes (fisostigma), caules subterrâneos (sanguinária), raízes (beladona), rizomas e raízes (ipecacuanha, hidraste) e casca (cinquina).

Originalmente os alcalóides eram considerados compostos básicos derivados de plantas. Hoje temos conhecimento da presença destas substâncias em diversos organismos como rã, formiga (feromônios), borboletas (defesa), bactérias marinhas, esponjas, fungos, aranhas, escaravelho (defesa) e mamíferos. Entretanto não está claro se a biossíntese destas substâncias ocorre em cada organismo citado (KUTCHAN, 1995).

A Tabela 3 mostra a distribuição dos alcalóides em diversos organismos vivos (animais, insetos e microorganismos) e a Figura 5 mostra algumas estruturas dos alcalóides presentes nestes organismos.

Tabela 3. Distribuição dos alcalóides em organismos vivos.

Alcalóide	Organismo	Espécies
samandarina	salamandra	<i>Salamandra maculosa</i>
samandarona	"	"
samandaridina	"	"
batracotoxina	rã	<i>Phyllobates aurotaenia</i>
homobatracotoxina	"	"
histrionicotoxina	"	<i>Dendrobates histrionicus</i>
pumiliotoxina C	"	<i>Dendrobates pumilio</i>
bufotenina	sapo	<i>Bufo vulgaris</i>
O-metilbufotenina	"	"
deidrobufotenina	"	"
(-)-deoxinufaridina	canadian beaver	<i>Castor fiber</i> .
(-)-castoramina	"	"
muscopiridina	veado almiscareiro	<i>Moschus moschiferus</i>
2,6-dialquilpiperidinas	formiga	<i>Solenopsis invicta</i> <i>Odontomachus hastatus</i>
2,5-dimetil-3-isopentilpirazina	"	<i>Iridomyrmex humilis</i>
(E)-2,5-dimetil-3-isopentilpirazina	"	"
4-metilpirrol-2-carboxilato	"	<i>Atta texana e Atta cephalotes</i>
quinazolinonas glomerina	centopeia	<i>Glomeris marginata</i>
homoglomerina	"	"
polizonimina	"	<i>Polyzonium rosarium</i>
cis,trans, cocinelina N-Óxido	escaravelho (Coccinellidae)	<i>Coccinella septempunctata</i>
precocinelina (base livre)	escaravelho (Dytiscidae)	"
metil 8-hidroxiquinolina-2-carboxilato	escaravelho(Staphylinidae)	<i>Ilybius fenestratus</i>
pederina	"	<i>Pauderus fuscipes</i>
pseudopederina		"
saxitoxina	marisco	<i>Saxidomus giganteus</i>
	molusco	<i>Mytilus californicus</i>
	"	<i>Mya arenaria</i>
lingbiatoxina A	algas	<i>Lyngbya majuscula</i>
hielazole	"	<i>Hyella caespitosa</i>
6-clorohielazole	"	"
tetrotoxina	peixe	<i>Spheroides rubripes</i>
	"	<i>S. vermicularis</i>
annotinina	musgo	<i>Lycopodium annotinum</i> .
licopodina	"	<i>L. complanatum</i>
cernuina	"	<i>L. cernuum</i> .
chanoclavina	fungo	<i>Claviceps purpurea</i>
agroclavina	"	"
ergonovina	"	"
elimoclavina	"	<i>Aspergillus fumigatus</i>
gliotoxina	"	<i>Trichoderma viride</i>
	"	<i>Penicillium terlikowskii</i>
	"	<i>Aspergillus fumigatus</i>
verruculotoxina	"	<i>Penicillium verruculosum</i>
tabtoxina	bactéria	<i>Pseudomonas tabaci</i>
pioquianina	"	<i>Pseudomonas aeruginosa</i>

Fonte : PELLETIER, 1983.

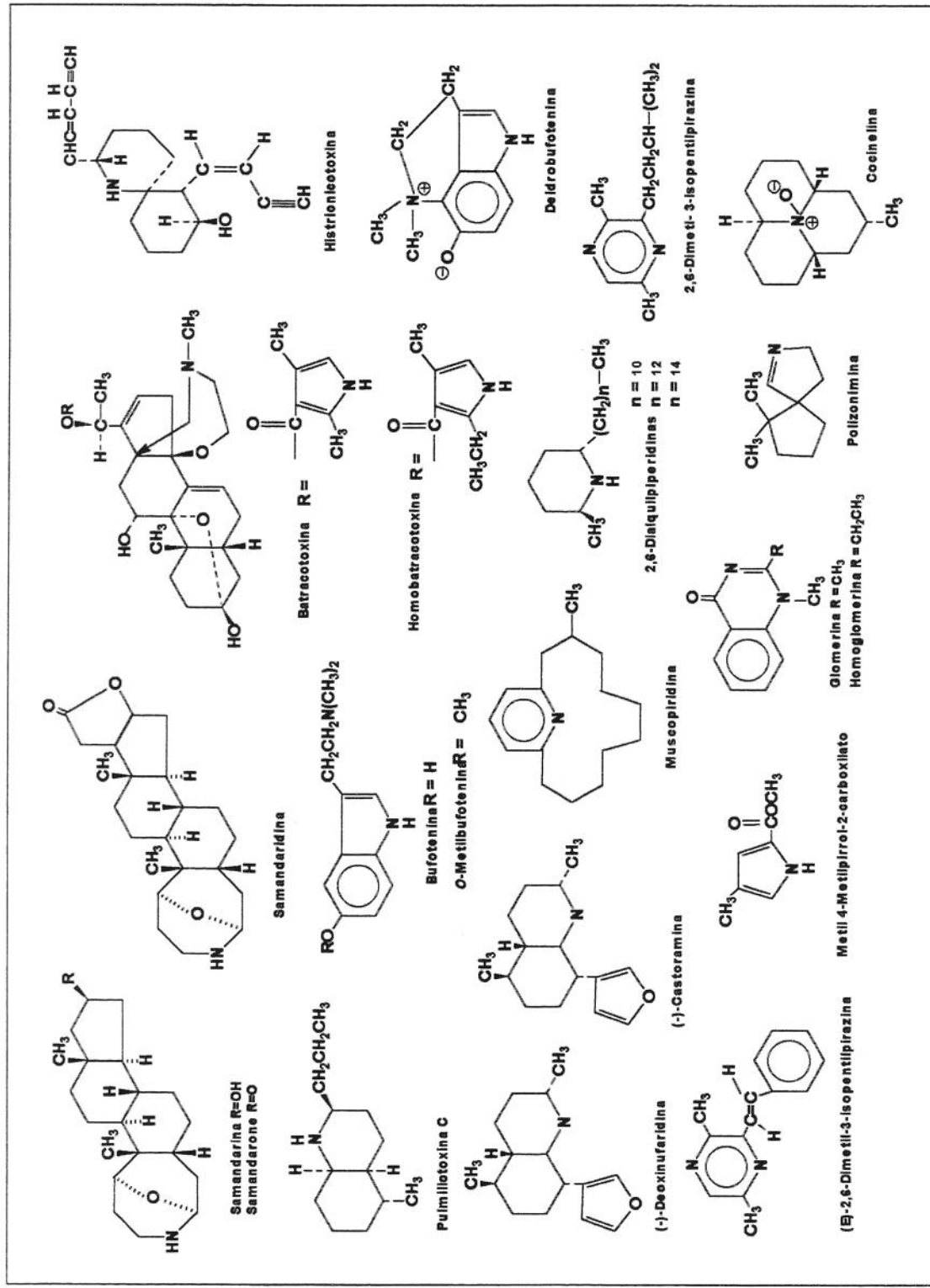


Figura 5. Alcalóides presentes em diferentes organismos. Fonte: PELLETIER, 1983.

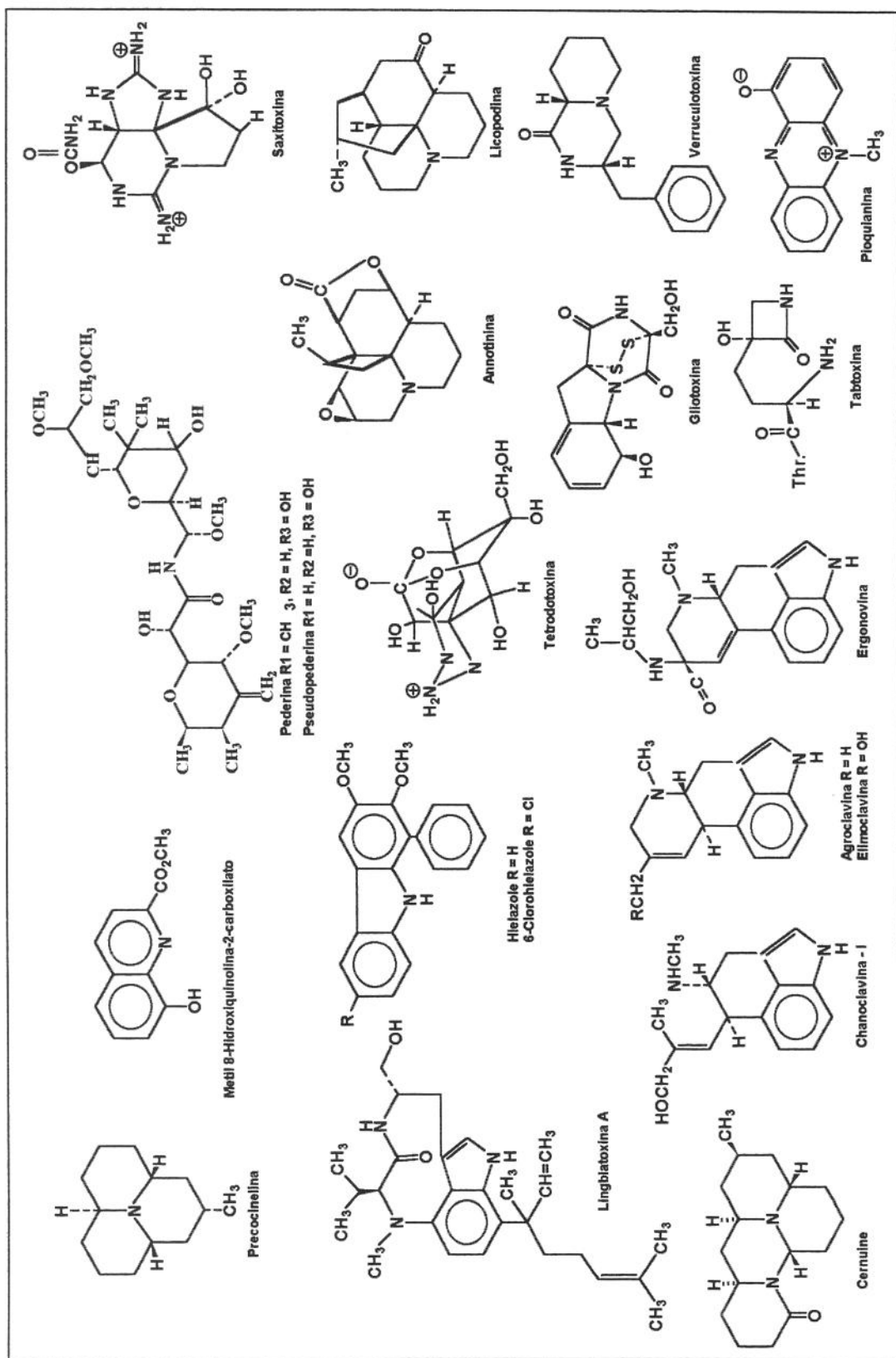


Figura 5. Continuação.

3.3 Ação Farmacológica de Alcalóides

Os alcalóides são conhecidos devido às suas propriedades tóxicas em vertebrados, e as plantas que os contêm são na maioria das vezes classificadas pelo homem como plantas tóxicas. Estes compostos, também são conhecidos por exibem efeitos biológicos em animais superiores, especificamente nos seres humanos. Os efeitos farmacológicos dos alcalóides no sistema nervoso central do homem têm sido bastante estudados e utilizados na medicina moderna para uma variedade de propostas (HARTMANN, 1992).

Valores de dose letal (DL₅₀) para vários alcalóides (Aconitina, Brucina, Curanina, Ergocornina, Estricnina, Colchicina, Germerina, Veratridina e Nicotina) têm sido determinados, em animais de laboratório especialmente macacos, cães, ratos, coelhos, cobaias e pombos. A toxicidade dos alcalóides está diretamente relacionada com a via de administração; por exemplo, a administração via intravenosa (i.v.), intraperitoneal (i.p.) e subcutânea (s.c.) são mais efetivas quando comparadas com a via oral.

Alguns alcalóides (Batracotoxina, Anabasina, Glomerina, Naitotoxina, Palitoxina, Saxitoxina e Tetradotoxina, Figura 5) produzidos ou estocados por animais são venenosos para os vertebrados.

Na maioria das vezes os efeitos tóxicos observados em animais têm um efeito citotóxico, o qual tem sido relatado para aproximadamente 180 alcalóides (WINK, 1993). Estes dados foram obtidos pelos ensaios de vários produtos naturais com atividade anticâncer. Um alcalóide que pode matar uma célula cancerígena pode também destruir células normais. Para a maioria destes alcalóides o mecanismo de ação e os efeitos tóxicos já foram elucidados com detalhes. Além disso, o alvo molecular e os processos que são importantes para as células têm sido estudados, tais como a replicação e transcrição de DNA, RNA e síntese de proteínas e hormônios. Devido à presença do N na estrutura, muitos alcalóides

interferem com os componentes essenciais do sistema nervoso, particularmente na ação dos neurotransmissores: acetilcolina, epineprína, o ácido γ -aminobutírico (GABA), dopamina, serotonina (HARTMANN, 1992).

Alguns alcalóides se ligam ao DNA e/ou RNA afetando o processo de replicação ou a transcrição ou causando mutações levando à má formação ou até mesmo ao câncer (WINK, 1993). Como exemplo destes alcalóides podemos citar a 9-metoxilipticina, Dictamina, Elipciticina, Melinona F, Quinina, Berberina, Coralina, Nitidina, Sanguinarina (Figura 6) e alcalóides pirrolizidínicos (Monocrotalina, Senecionina). Essas toxinas usualmente causam uma reação rápida enquanto outras podem levar um tempo maior para causarem um efeito mutagênico ou mesmo carcinogênico. Por outro lado dados recentemente obtidos de testes em *Salmonella* ilustram o potente efeito mutagênico dos alcalóides (WINK, 1993).

Aproximadamente 25% das substâncias usadas na medicina são derivadas de plantas; dos 12 fármacos comerciais mais importantes, derivados de plantas, 10 são alcalóides, por exemplo os analgésicos Morfina e Cadeina (*Papaver somniferum*) e os agentes quimioterapicos Vincristina e Vinblastina (*Catharanthus roseus*). Além das substâncias puras, os chás e extratos de algumas plantas são muito utilizados na medicina caseira (KUTCHAN, 1995). Muitos alcalóides são utilizados como modelo para síntese de fármacos análogos, com efeitos mais específicos por exemplo: Hioscamina, Escopolamina e Atropina (*Atropa belladonna*, *Datura*), que servem de modelo para agentes parasimpatolíticos; a Fisostigmina (*Physostigma venenosum*, fava de calabar), modelo para síntese de agentes parasimpatomiméticos, a Tubocurarina (*Chondrodendron tomentosum*, curare) usada na síntese de drogas com efeito relaxante; Quinina para síntese da Cloroquinina (*Cinchona officinalis*) e a Cocaína (*Erytroxylon coca*) usada na síntese da Procaína e da Tetracaína, que são anestésicos. Estes compostos também podem ter ação estimulante sobre o sistema nervoso central:

Cafeína (*Coffea arabica*) presente no café e chás e a Nicotina (*Nicotiana tabacum*) presente no cigarro.

Dentre os alcalóides que apresentam atividade antimitótica podemos citar a Colchicina, testada como droga anti-câncer, mas descartada devido à sua alta toxicidade. Um derivado (Colcemide) desta toxina tem sido empregado no tratamento de certos tumores (WINK, 1993).

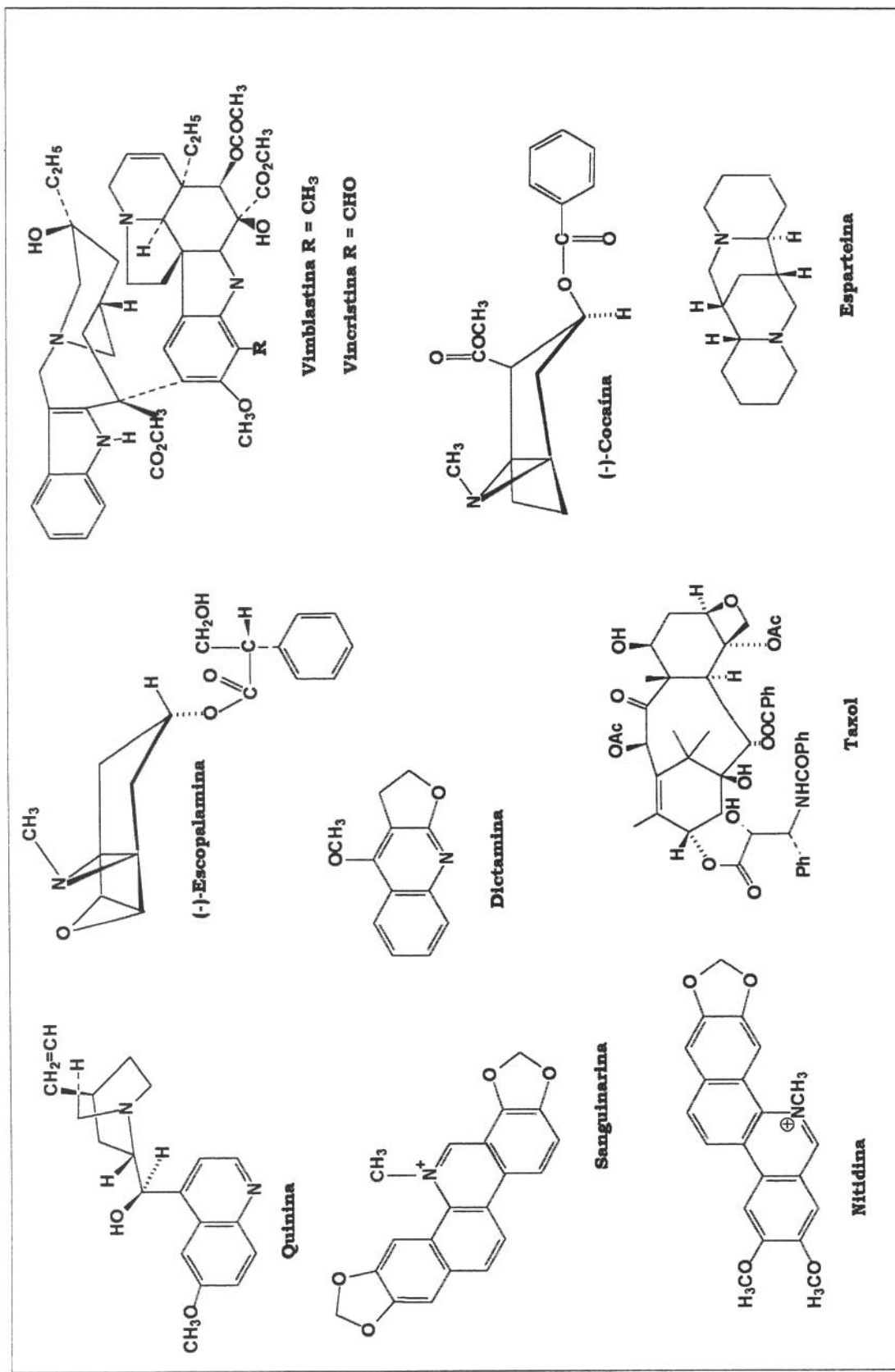


Figura 6. Alguns alcalóides que apresentam atividade farmacológica (Fonte: HARTMANN, 1992; KUTCHAN 1995; ROBBERS et al., 1997)

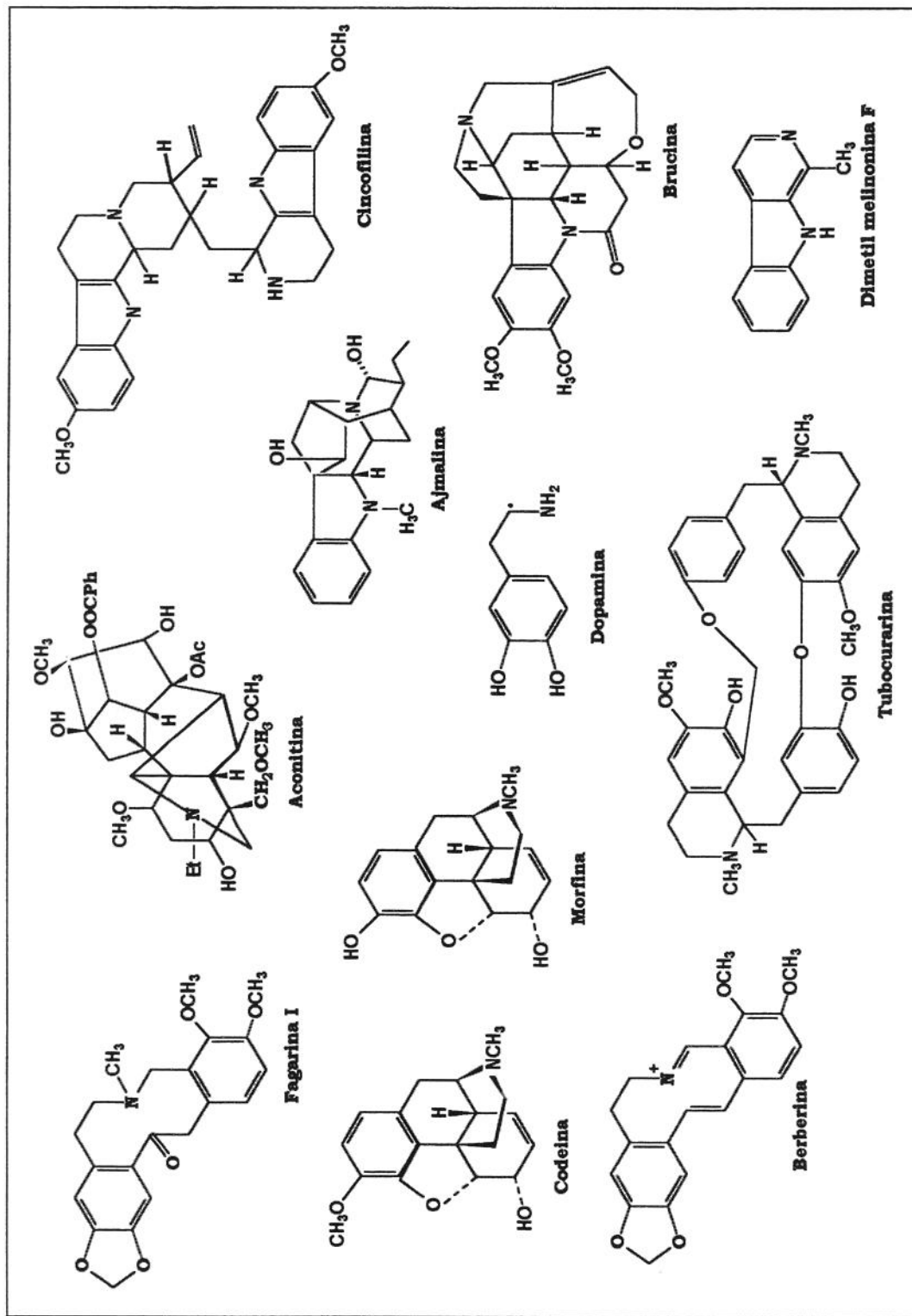


Figura 6. Continuação

Outros alcalóides que possuem atividade antimitótica são a Vinblastina e a Vincristina, os quais tem sido isolados da *Catharanthus roseus* (Apocynaceae). Apesar da sua toxicidade estes alcalóides são usados no tratamento de algumas leucemias. Muitos pesquisadores têm realizado ensaios com vários alcalóides para verificar a atividade antimicrobiana e antifúngica. Geralmente esses estudos são direcionados para aplicações farmacológicas. Na literatura científica são descritos cerca de 183 alcalóides com atividade antibacteriana e um número substancial de 10.000 alcalóides são conhecidos por suas propriedades antimicrobianas. Os alcalóides derivados do Triptofano e da Fenilalanina/Tirosina são altamente potentes como antibióticos e com atividade antifúngica; dentre estes alcalóides podemos citar a Cincofilina, Dictamina, Fagarina.

Do ponto de vista farmacológico os alcalóides são pouco interessantes como antibióticos devido sua à alta toxicidade para vertebrados. A avaliação da atividade antiviral dos alcalóides é relativamente difícil; contudo nos últimos anos foram identificados 45 alcalóides que apresentavam esta propriedade. Outras atividades farmacológicas muito importantes, que podemos citar incluem os efeitos anti-hipertensivos (alcalóides indólicos), antiarritmico (Quinidina, Ajmalina, Esparteina - Figura 6), anti- malária e agentes anti-câncer (*Catharanthus*). O exemplo mais recente de alcalóide com atividade anti-câncer, extraído de planta é o taxol (*Taxus brevifolia*), Figura 6.

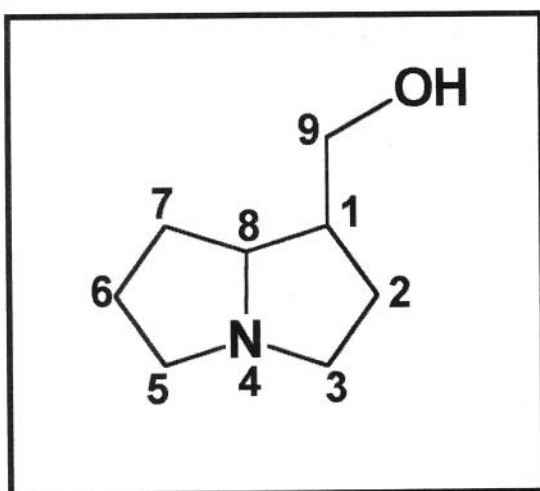
Entre os vários grupos de alcalóides conhecidos por suas atividades tóxicas estão os alcalóides pirrolizidínicos (APs) e os seus N-óxidos os quais estão presentes em várias espécies de plantas.

3.4 Alcalóides Pirrolizidínicos

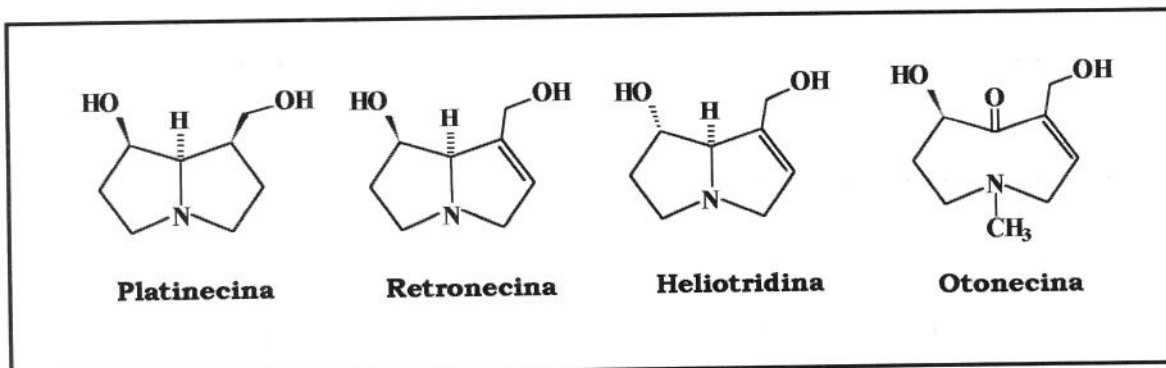
Nas duas últimas décadas houve um grande crescimento no interesse por alcalóides pirrolizidínicos no mundo inteiro, motivado pelo aumento do número de mortes de gado atribuídas a plantas contendo estes alcalóides (HABERMEHL, 1991).

Os APs são conhecidos desde o início do século devido à intoxicação em gado provocada por espécies vegetais produtoras desses alcalóides. Os registros de intoxicação humana datam da década de 30, quando milhares de pessoas foram afetadas devido ao consumo de cereais contaminados com sementes de espécies que produzem APs (WHO, 1988). Esses alcalóides são encontrados freqüentemente em alguns gêneros da família Asteraceae (*Senecio*, *Eupatorium*, *Ageratum*), Boraginaceae (todos os gêneros) e Leguminosae (*Crotalaria*) e muitas destas espécies são utilizadas na medicina popular (ROBINS, 1982, 1991; MATTOCKS, 1986; 1991; PRAKASH, *et al.*, 1999). Estima-se que os APs possam ainda ser encontrados em cerca de 600 espécies vegetais, o que corresponde a cerca de 3% das Angiospermas; cerca de 350 APs isolados são de origem natural (HARTMANN & WITTE, 1995). Além disso os APs são importantes mediadores químicos em interações entre organismos, particularmente entre insetos e plantas (BROWN & TRIGO 1995; HARTMANN & WITTE, 1995).

Em termos estruturais o anel pirrolizídínico é um aminoálcool, possuindo um sistema 1-azaciclo-[3,3,0]-octano; APs são geralmente constituídos de uma base necina (1-hidroximetilpirrolizina) ou derivados desta (Figura 7).

**Figura 7. Hidroximetilpirrolizina**

Uma variante desta estrutura é a base otonecina, a qual contém adicionalmente uma função carbonila na posição **8** e um grupo metila na posição **4** (Figura 8).

**Figura 8. Estruturas variantes da base necina.**

Comumente os APs ocorrem como ésteres de uma base necina e um ácido nécico. A base necina geralmente difere quanto à hidroxilação, estrutura, estereoquímica e quanto ao grau de insaturação do anel. A esterificação com ácidos carboxílicos, também chamados ácidos nécicos ou ácidos esterificantes (Figura 9), ocorre geralmente nas hidroxilas dos carbonos **C-9** e/ou **C-7** da base formando monoésteres de cadeia aberta, diésteres de cadeia aberta,

diésteres, ou macrocíclicos com insaturação na base necina nos carbonos C-1/C-2 (MATTOCKS, 1972; HARTMANN 1988, 1995).

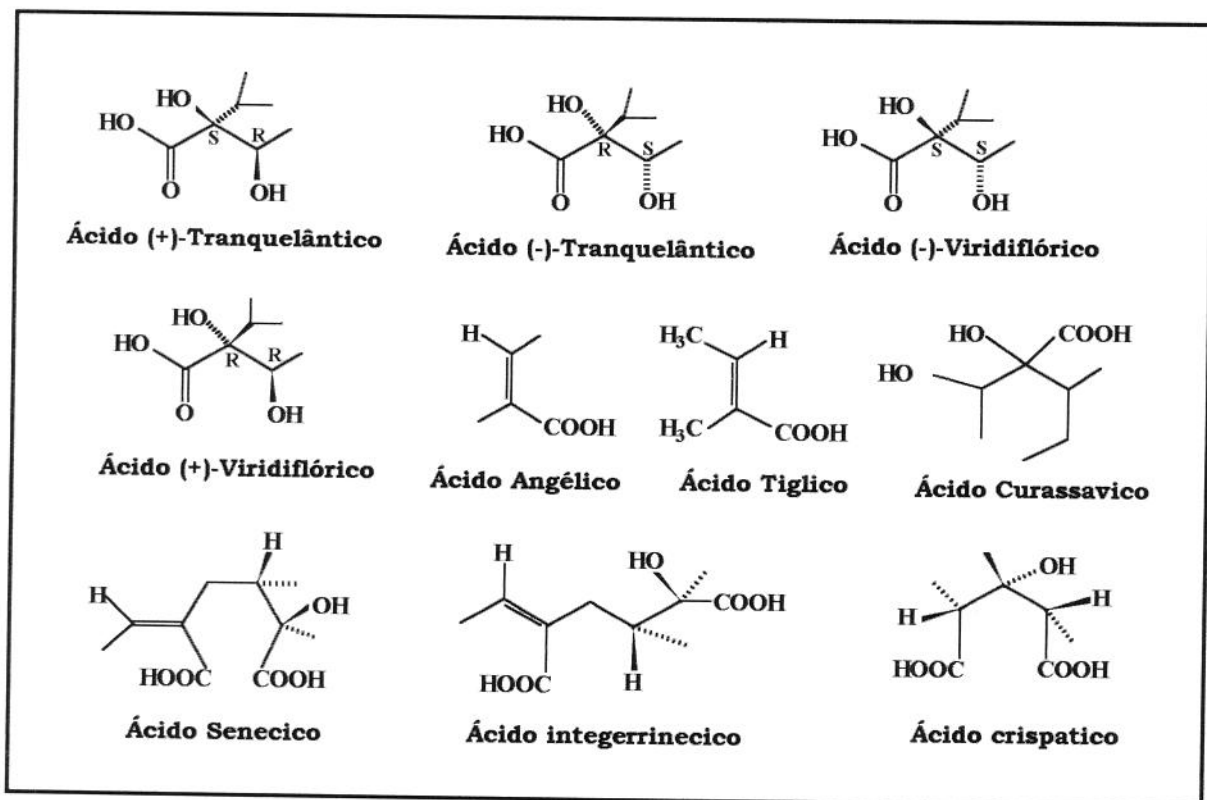
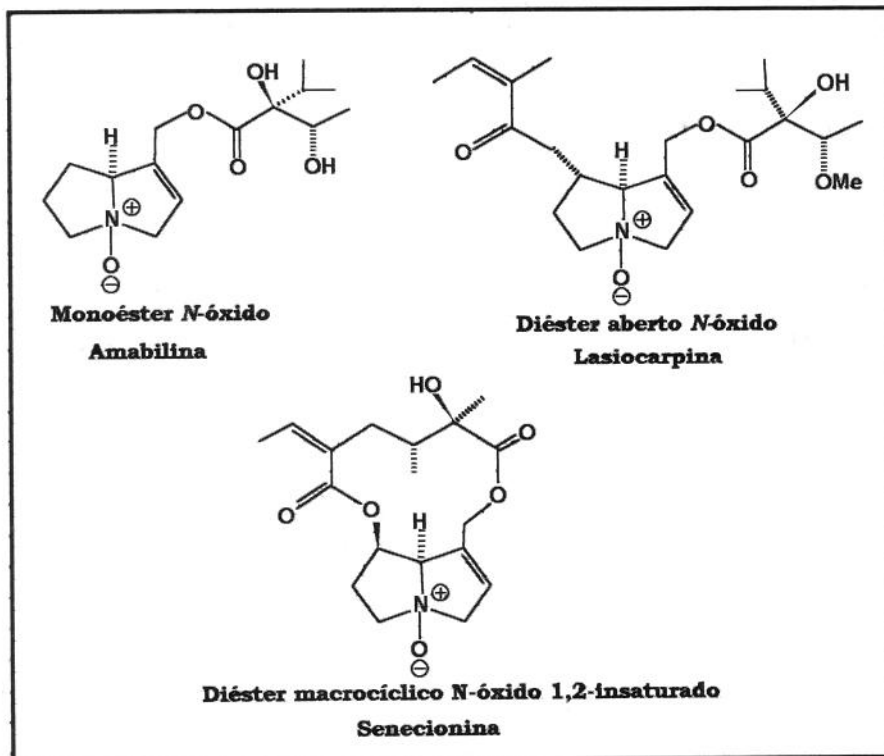


Figura 9. Estruturas de alguns ácidos nécicos.

Quimicamente os APs são estáveis, porém os grupos ésteres na molécula podem sofrer hidrólise sob condições alcalinas. Os APs presentes nos extratos de plantas podem decompor-se durante a secagem, enquanto outros são mais estáveis sob condições similares (PEDERSEN & LARSEN, 1970; BULL *et al.*, 1968). Os N-óxidos (Figura 10) de APs insaturados, quando secos, podem decompor-se por aquecimento mais facilmente do que os APs na forma livre. Quanto à solubilidade destes, podemos afirmar que alguns têm solubilidade limitada em água quando não neutralizados com ácido; contudo outros como a Indicina e os N-óxidos são altamente solúveis. APs macrocíclicos são bases fracas que apresentam baixa solubilidade em água (MATTOCKS, 1986).

**Figura 10. APs N-óxidos encontrados em plantas.****3.4 Distribuição e Classificação de APs em Plantas**

Estes compostos são encontrados em espécies vegetais de extensa distribuição geográfica. Os APs e seus *N*-óxidos são encontrados com mais frequência em três famílias (Asteraceae, Leguminosae e Boraginaceae). Entretanto, pesquisas mostram que estas substâncias foram encontrados em outras famílias como mostra a Tabela 4.

Tabela 4. Distribuição de APs em algumas famílias.

Família	Número de espécies que apresentam APs
Asteraceae	144
Leguminosae	60
Boraginaceae	73
Apocynaceae	07
Celastraceae	01
Euphorbiaceae	02
Gramineae	03
Orchidaceae	33
Ranunculaceae	01
Rhizoporaceae	02
Santalaceae	01
Sapotaceae	03
Scrophulariaceae	01

CULVENOR (1978) define três classes de APs:

- Ésteres macrocíclicos alifáticos, característicos de Boraginaceae;
- Diésteres macrocíclicos, presentes em Asteraceae (tribo Senecionae) e Leguminosae (gênero *Crotalaria*)
- Aril ésteres e alquil ácidos, típicos das Orquidaceae.

HARTMANN & WITTE (1995) sugeriram uma classificação de APs de acordo com a suas rotas biossintéticas seguindo a classificação anteriormente proposta por CULVENOR (1978), onde os principais tipos são:

A - Tipo Senecionina - Principalmente diésteres macrocíclicos de 12 membros derivados da Senecionina [A1], (Figura 11) podendo apresentar insaturação ou não na posição 1,2 (p.e: a Platifilina [A2]). Além disso, podem apresentar a base necina do **Tipo Otonecina** (p.e: a Senquirquina [A3]).

B - Tipo Triangularina - Mono ou diésteres abertos, com ácidos em **C9**, principalmente com os ácidos angelóico, tiglóico ou senecióico, e seus derivados como **9-O-senecionilplatinecina** [B1] 1,2-saturada ou a **9-O-senecionilretronecina** [B3] 1,2-insaturada. Este tipo de alcalóide pode se apresentar, quando monoéster, com a esterificação em **C7**, como **7-O- senecionilplatinecina** [B2] ou a **7-O-senecionilretronecina** [B4].

C - Tipo Licopsamina: Mono ou diésteres abertos contendo como ácido nécico o ácido 2-isopropilbutírico hidroxilado (p.e. Licopsamina [C1]). Estes alcalóides podem ser esterificados somente no **C7** (Iso-licopsamina [C6]); Supinina [C2] sem hidroxilação na posição **C7**, também estão incluídos nesta classe de alcalóide.

D - Tipo Monocrotalina: diésteres macrocíclicos de 11 membros, com padrão de substituição variável na parte ácida.

E - Tipo Faleanopsina: monoésteres de isômeros de isoretronecanol (uma base necina saturada sem hidroxilação na

posição **C7**) com ácidos arílicos, aralílicos ou raramente alquílicos (Faleanopsina T).

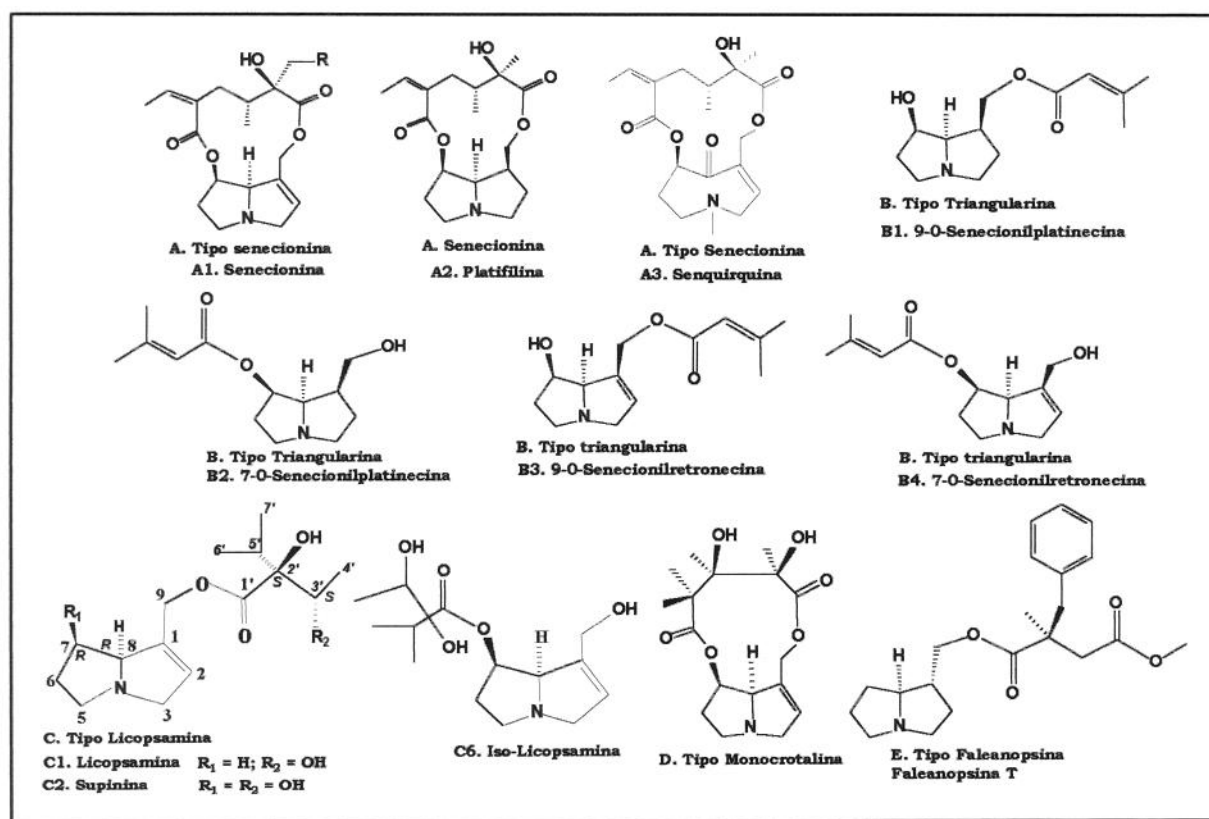


Figura 11. Alcalóides Pirrolizidínicos: Classificação adaptada de Hartmann & Witte (1995)

A biossíntese de APs macrocíclicos pode ser dividida na síntese da base necina e do ácido nécico (Figura 12). Estudos realizados por HARTMANN *et al.* (1988) levaram os autores a propor uma rota de biossíntese: Ornitina ---> Arginina ---> Agmatina ---> Putrescina ---> Homospermidina --->base necina. Esta biossíntese tem sido estudada em culturas de raízes do gênero *Senecio*, onde o ácido nécico deriva de uma ramificação da cadeia dos aminoácidos leucina e isoleucina (HARTMANN, 1992). No *Senecio vulgaris* os N-óxidos são produtos primários da biossíntese. Nestas espécies a biossíntese de APs é restrita à raiz (ROBINS, 1989a; HARTMANN & WITTE, 1995).

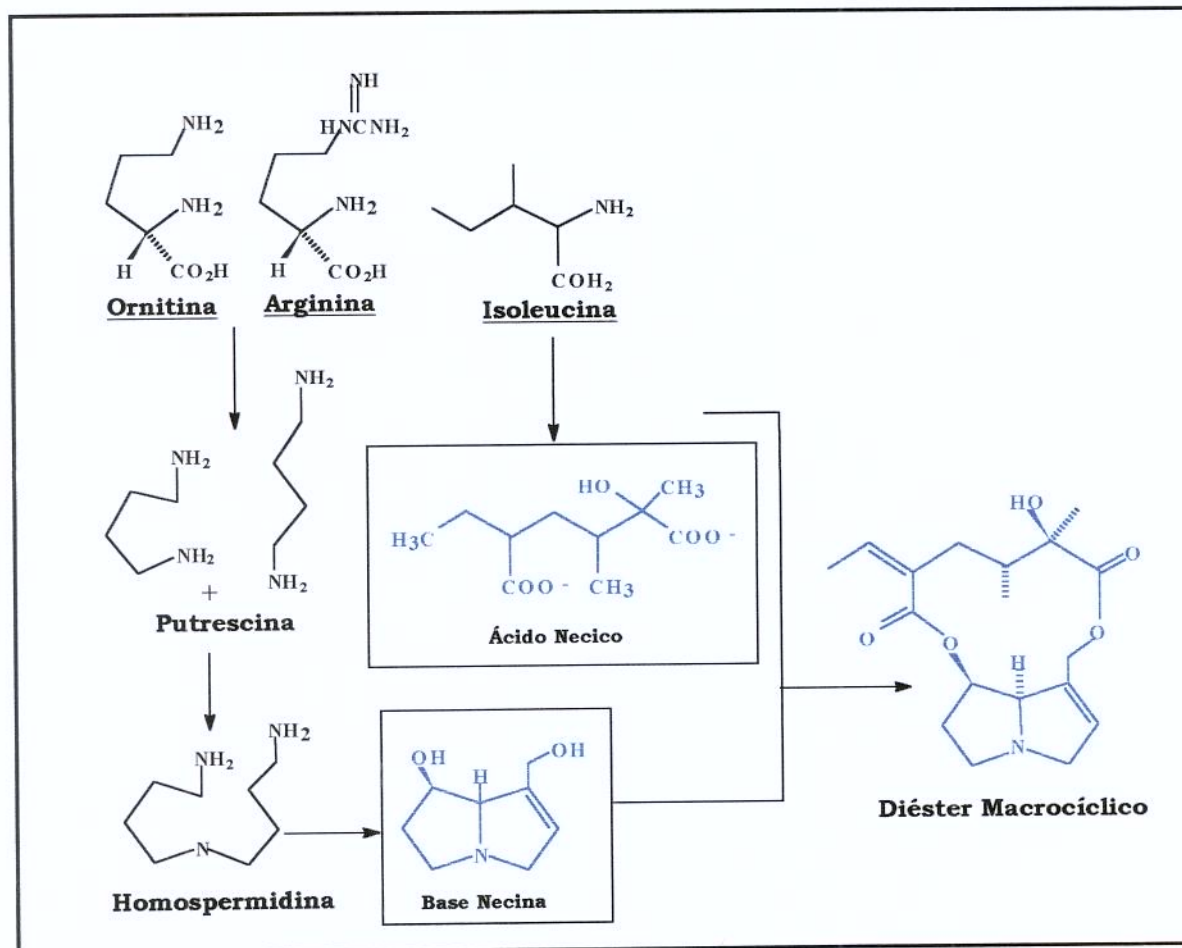


Figura 12. Origem biossintética de APs (HARTMANN, 1988).

A maioria dos APs é tóxico para animais domésticos e seres humanos (ROITMAN, 1983). As ervas responsáveis por intoxicações têm sido espécies dos gêneros *Heliotropium*, *Thichodesma*, *Senecio* e *Crotalaria*, disseminadas em várias áreas do mundo (Austrália: CULVENOR, 1985; Estados Unidos: JOHNSON *et al.*, 1985; América do Sul: HABERMEHL, 1988). Doses diárias entre 0,5 a 3,3 mg/kg são suficientes para produzir ações tóxicas graves.

Os efeitos nocivos causados por APs, que incluem carcinogênese e mutagênese, estão relacionados com a hepatotoxicidade, pneumotoxicidade e nucleotoxicidade. Entretanto os APs não são tóxicos *per se*, mas biotransformados, primeiramente pela enzima oxidase de função mista que se encontra nos microssomos do fígado. As enzimas do citocromo P-450, são reconhecidas por um papel

importante na formação do pirrol, que é um metabólito alquilante altamente reativo.

Os derivados pirrólicos (Figura 13) são fortemente eletrofílicos, e reagem rapidamente com compostos nucleofílicos das células. Como resultado são formadas ligações covalentes com proteínas, DNA e RNA causando consequentemente alterações fisiológicas e morte celular. Devido à sua reatividade os derivados pirrólicos ligam-se rapidamente a macromoléculas no local de sua formação, justificando a atividade predominantemente hepatotóxica (RIZK & KAMEL, 1991; WESTENDORF, 1992).

Os APs após serem absorvidos pelo intestino chegam ao fígado via espaço porta onde são metabolizados por três vias distintas (Figura 13): **1-** Podem sofrer hidrólise em diversos tecidos, dando origem à base necina (aminoálcool), desprovida de ação tóxica; **2-** A N-oxidação hepática dando origem a derivados N-óxidos, muito solúveis e, por isso, excretados rapidamente por via renal; **3-** desidrogenação hepática do núcleo pirrolizidínico, produzida pelas oxidases de função mista, dando origem aos desidroalcalóides conhecidos também como derivados pirrólicos (WHO, 1988; WESTENDORF, 1992).

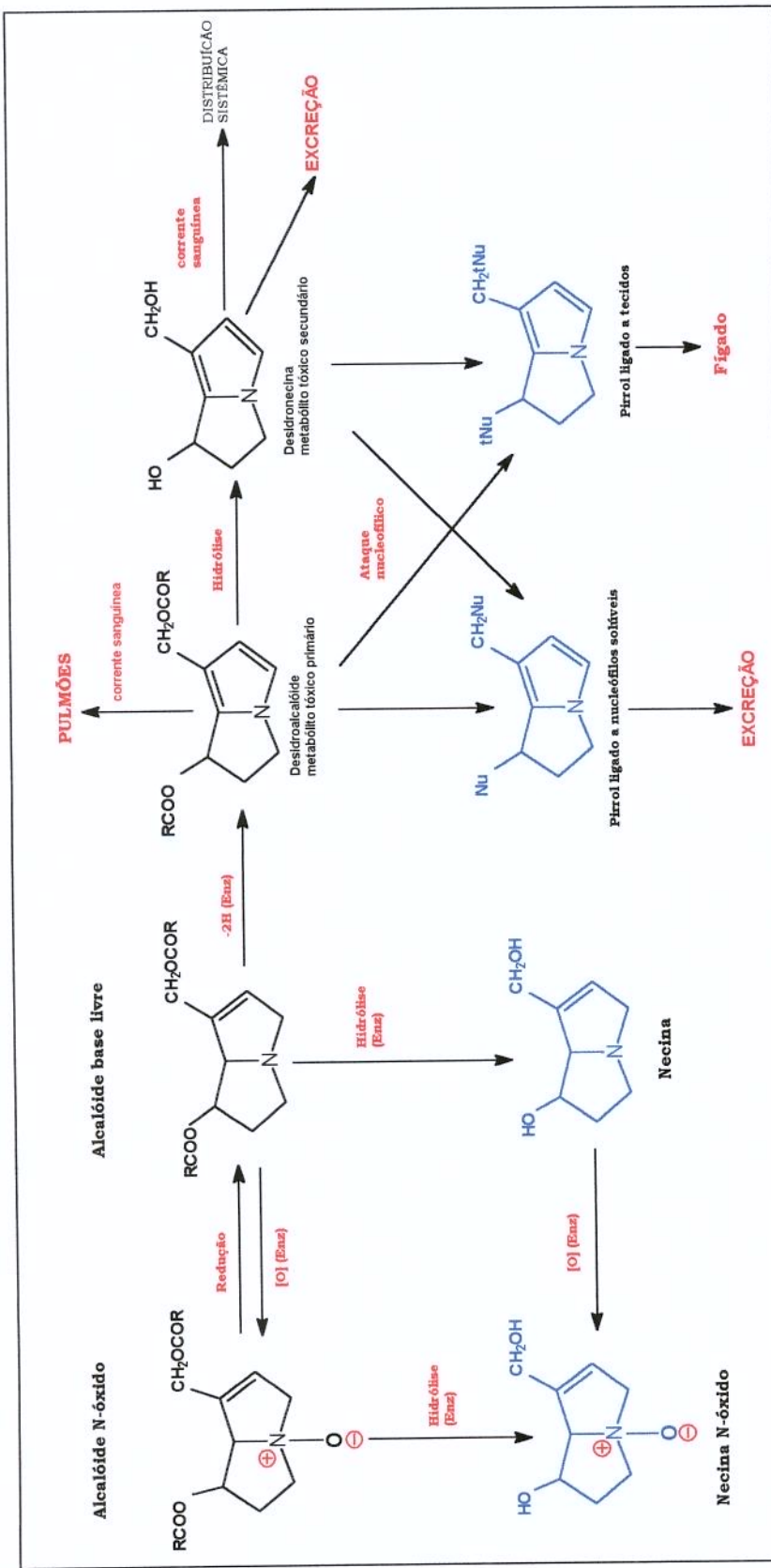


Figura 13. Principais vias metabólicas dos alcalóides pirrolizídnicos (modificado de WHO, 1988).

A ação tóxica dos APs afeta principalmente o fígado, sendo clinicamente diferenciada em três estágios: doença veno-occlusiva (VDO) aguda, subaguda e crônica (WHO, 1988).

Apesar dos riscos comprovados por várias pesquisas, muitas plantas produtoras de APs são utilizadas como "medicamentos" na medicina popular. Segundo, RIZK & KAMEL (1991) esse uso pode ser explicado pelas atividades farmacológicas dos APs: entre as quais: **a**- relaxamento da musculatura lisa e do trato gastrointestinal; **b**- diminuição da força e freqüência cardíaca e queda da pressão arterial; **c**- ação cicatrizante e no tratamento de diversos males como asma, bronquite, efizema pulmonar, fraturas, hemorragias, gota e até mesmo câncer. Alguns APs N-óxidos têm sido clinicamente testados por apresentarem atividade anti-câncer (MATTOCKS, 1986), como é o caso da Indicina N-óxido (Figura 3).

Os APs são encontrados em plantas na forma livre e na forma de seus N-óxidos, os quais também são tóxicos quando ingeridos oralmente. Todavia, estas substâncias só adquirem propriedades tóxicas quando são transformadas em uma molécula de pirrol (WHO, 1988). De acordo com MCLEAN (1974) e PRAKASH, *et al.* (1999), para que esta transformação ocorra, a estrutura precisa apresentar três condições essenciais (Figura 14):

- 1** - uma dupla ligação nas posições 1-2 do anel;
- 2** - esterificação dos grupos hidróxilas nas posições dos carbonos **C-9** e **C-7**, do anel;
- 3** - um ou, de preferência dois grupos esterificados e
- 4** - a presença de uma ramificação na cadeia (do lado do ácido) carbônica em ao menos um dos lados ésteres da cadeia lateral.

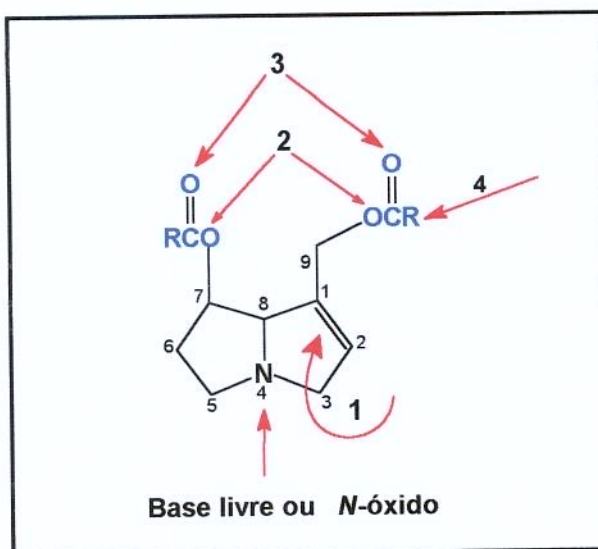


Figura 14. Características essenciais para biotransformação de APs.

3.6 Ocorrência de APs em Alimentos

A contaminação de indivíduos por APs tóxicos se dá por duas fontes: **a)** consumo de ervas "medicinais" in natura e pela forma de infusões contendo APs; **b)** contaminação de grãos, como o trigo, misturados a outras partes da planta que contêm APs.

No caso **a**, substâncias que compõem um "preparo popular" podem apresentar ações sinergéticas, e quando ingeridas isoladamente não produzem efeitos. Esta seria a grande vantagem dos chás. Contudo, essas ações sinergéticas podem produzir, ao longo do tempo, efeitos não conhecidos, que assumem natureza tóxica. Por exemplo, o confrei (*Symphytum officinale*, Boraginaceae) é usado popularmente para numerosas enfermidades, parecendo realmente ter algum efeito terapêutico; mas quando utilizado com muita freqüência apresenta efeitos tóxicos para o organismo animal, como por exemplo câncer de fígado em animais de experimentação (ALMEIDA, 1993). Os efeitos tóxicos do confrei se devem à presença de alcalóides pirrolizidínicos em preparados brutos, ficando assim sua ação tóxica parcialmente mascarada, só detectada quando utilizado por um longo tempo, como ocorre no Japão, na Europa, na

América do Norte e na Austrália, onde as pessoas consomem como salada (PRAKASH, et al. 1999).

As principais ervas daninhas responsáveis por epidemias têm sido espécies do gênero *Senecio* (Asteraceae), *Crotalaria* (Leguminosae) e *Heliotropium* (Boraginaceae) (ROBINS, 1982, 1991; MATTOCKS, 1986; RIZK & KAMEL, 1991).

Amplos surtos de envenenamento têm ocorrido através da contaminação de colheitas de trigo na Índia, Afeganistão e Rússia (TEREKHOV, 1939; DUBROVINSKII, 1946; TANDON et al., 1978). O uso de medicamentos preparados a partir de ervas é comum naqueles países e existe conhecimento insuficiente deste perigo, das condições e do quadro de diagnóstico deste tipo de intoxicação.

Na Jamaica 70% da população ingere infusões feitas com misturas de folhas de espécies silvestres do gênero *Senecio*. Doenças veno-occlusivas foram primeiramente reconhecidas como uma manifestação clínica, resultantes do uso *Crotalaria* spp como erva medicinal. Algumas espécies de *Crotalaria* (*Crotalaria pallida*, *Crotalaria grahamiana*), contendo APs foram responsáveis pela toxicidade diagnosticada em cavalos e gado, na Ilha de Páscoa (ARZT & MOUNT, 1999). Ervas contendo APs têm sido responsáveis por intoxicações humanas, em Barbados, Equador e no Oeste da Índia. São também relatados casos de intoxicação ocorridos na Índia e em Hong Kong, devido a infusões preparadas a partir de *Heliotropium*.

Os APs têm sido encontrados no mel secretado por abelhas e no leite de vacas, quando ambos se utilizam de plantas contendo estes alcalóides (MATTOCKS, 1986; CULVENOR et al, 1981; CULVENOR, 1983; HUXTABLE, 1980). nos quais as ervas usadas não foram botanicamente identificadas (KUMANA et al., 1985; CULVENOR et al., 1986).

Os APs têm sido também encontrados no mel secretado por abelhas e no leite de vacas que se utilizam de plantas contendo estes alcalóides (MATTOCKS, 1986; CULVENOR, 1981, 1983, 1985; HUXTABLE, 1980). APs foram encontrados no leite de vacas e cabras

que consumiram ervas contendo APs (GEORGER *et al.*, 1982). Experimentos realizados em animais de laboratório têm mostrado que alguns desses alcalóides são carcinogênicos, mutagênicos e teratogênicos (DEINZER *et al.*, 1977). As populações em alguns países estão expostas a baixos níveis de APs presentes em alimentos, como o mel (CULVENOR *et al.*, 1981, CULVENOR, 1983, 1985) e confrei (*Symphytum officinale*) usado como erva medicinal e para o preparo de saladas e chás (CULVENOR *et al.*, 1980a). São conhecidos casos de intoxicação de lactantes através de leite materno contaminado por APs (DICKINSON *et al.*, 1976).

Em animais de laboratório, mesmo em doses que não chegaram a produzir efeitos tóxicos na mãe, os APs foram excretados pelo leite, produzindo hepatotoxicidade nos filhotes (WESTENDORF, 1992).

Estudos em laboratório têm mostrado a presença de APs no leite de vaca e de cabra. Muitos destes APs foram excretados na fração solúvel do leite de vaca desnatado, mostrando, que estes podem ser metabólitos solúveis em água (PRAKASH, *et al.*, 1999).

Em geral, o uso de medicamentos preparados a partir de ervas não é questionado na história clínica e os pacientes não dão voluntariamente este tipo de informação. Mesmo quando há métodos disponíveis para sua detecção em tecidos e fluídos biológicos, os APs não são pesquisados, e os sintomas podem levar dias ou meses para se manifestar. Portanto, muitos dos casos, até mesmo epidêmicos, podem ficar sem registro (LANCET, 1984).

3.7 Toxicidade de APs

A maioria dos APs quando administrados em largas doses podem causar morte rápida entre poucas horas ou minutos. Este tipo de toxicidade refere-se a um efeito superagudo ou hiperagudo e está associado com as ações farmacológicas dos APs, sendo que a morte pode ser precedida por convulsões ou coma. A toxicidade superaguda é mais freqüentemente observada quando os APs são absorvidos rapidamente, como após injeção pela via i.p. Os APs mais lipofílicos, metabólitos pirrólicos e ésteres semisintéticos, são especialmente responsáveis por causar morte superaguda.

Os diferentes APs e compostos relacionados possuem uma variedade de ações farmacológicas, as quais podem explicar sua toxicidade superaguda.

Hepatotoxicidade de APs Terciários

Os alcalóides pirrolizidínicos constituem um grupo de fitotoxinas com vários efeitos tóxicos para os tecidos dos mamíferos, causando danos principalmente ao fígado (BULL *et al.*, 1968; MCLEAN, 1970).

APs com diferentes graus de insaturação podem produzir efeitos hepatotóxicos similares, mas o grau de toxicidade pode sofrer grande variação (MATTOCKS, 1986). O efeito agudo é visto como uma necrose extensiva, enquanto o efeito crônico em ratos se manifesta caracteristicamente pela presença de um grande aumento de células do parênquima (MATTOCKS, 1986).

Estas substâncias também são conhecidas por causarem morte de gado e doenças crônicas no homem devido às suas propriedades hepatotóxicas e carcinogênicas. Os APs ocorrem em plantas de várias regiões do mundo e afetam o homem de muitas maneiras. Segundo CULVENOR (1985), poucos Países podem ignorar os riscos destas

substâncias para animais e humanos. A carcinogenicidade de *Senecio jacobaea* foi descoberta há cerca de 30 anos (HIRONO, 1986).

Muitas das mortes são associadas com necrose hemorrágica do fígado e ocorrem freqüentemente poucos dias após o animal ter recebido uma dose simples do alcalóide. Segundo MATTOCKS (1986) APs com a base necina saturada (platifilina, rosmarinina e cinaustralina), não têm mostrado efeito hepatotóxico.

As ações tóxicas e patológicas de APs no fígado têm sido previamente discutidas por BULL *et al.* (1968), MCLEAN (1970); MOLINNEUX (1988).

Hepatotoxicidade Aguda

A principal ação tóxica de muitos APs em animais ocorre nas células do fígado. Todos os alcalóides hepatotóxicos são ésteres de bases necinas insaturadas tais como a Retronecina, Heliotridina, Crotanecina, Otonecina e Supinidina.

Os APs insaturados podem produzir efeitos hepatotóxicos similares, mas o grau de toxicidade pode variar amplamente. A toxicidade aguda está associada com graves necroses hemorrágicas do fígado, (ocorrendo mais freqüentemente dentro de poucos dias após o animal ter recebido uma dose simples do alcalóide), megalocitose crônica do parênquima e doença veno-oclusiva. Outras alterações em células parenquimais podem ocorrer como: invaginações citoplasmáticas, inclusões globulares no citoplasma, lesões do estroma e frequentemente se observa fibrose portal (MCLEAN, 1970; HOOPER, 1978; MOUSTAPHA *et al.*, 1994).

A hepatotoxicidade aguda de alguns alcalóides, como a Supinina, não pode ser determinada devido à morte ocorrer em doses baixas, contudo, a hepatotoxicidade subletal é demonstrada em animais que sobrevivem após doses simples ou repetidas de Supinina (CULVENOR *et al.*, 1980; HIRONO 1986). Segundo MATTOCKS (1986), APs administrados pelas vias i.v e i.p reagem no

fígado mais rapidamente do que pela via oral. Os fatores que afetam a hepatotoxicidade têm sido estudados extensivamente por este mesmo autor.

Hepatotoxicidade Crônica

O aparecimento dos efeitos hepatóxicos crônicos de APs têm sido descritos SCHOENTAL & MAGEE (1957, 1959), e BULL & DICK (1959) e na revisão elaborada por BULL *et al.*, (1968) e MCLEAN (1970). As lesões crônicas no fígado são idênticas àquelas descritas para hepatotoxicidade aguda. Os animais que recebem uma dose simples de AP podem diminuir o apetite e perder peso por um tempo; isto pode ocorrer no segundo dia após a administração. Progressivamente, o fígado torna-se pequeno, de textura consistente e superfície granular. Um quadro mais grave pode ser o aparecimento de ascite, o fígado pode apresentar-se deformado com alguns lóbulos mais afetados do que outros (MATTOCKS, 1986).

Microscopicamente, após dez dias de teste, há o aparecimento de fibrose necrótica. O principal aspecto que chama atenção na hepatotoxicidade de APs é o aumento do volume progressivo do citoplasma e do núcleo; de 4 a 8 semanas já se observa em abundância um quadro de megalocitose, que tende a ocupar áreas periportais. O desenvolvimento destes hepatócitos "gigantes" demonstra a manifestação da ação antimitótica dos APs. A persistente ação antimitótica no fígado, que permite a formação de células dos hepatócitos "gigantes", pode ser devido aos metabólitos ésteres, como a desidromonocrotalina (HSU *et al.*, 1973) e dos alcoóis pirrólicos, como a desidroheliotridina (MOLINNEUX, 1988).

Hepatotoxicidade de APs N-óxidos

Alguns relatos de literatura têm discutido a respeito da provável falta de toxicidade dos APs *N*-óxidos quando comparados com APs terciários. Este assunto é de interesse prático porque os APs frequentemente estão presentes na planta na sua forma oxidada e estas plantas podem ser ingeridas pelo gado. Os *N*-óxidos da Lasiocarpina, Monocrotalina e Fulvina são descritos por apresentarem a mesma toxicidade, que os APs terciários, em ratos (SCHOENTAL & MAGEE, 1959; BARNES *et al.*, 1964). Contudo outros autores relatam que APs *N*-óxidos administrados pelas vias ip e iv têm apresentado baixa toxicidade em relação aos APs terciários (MATTOCKS, 1971a). Este impasse foi esclarecido uma vez que os APs exercem ação tóxica somente após serem transformados em metabólitos pirrólicos pelas enzimas microssomais. Os APs também são convertidos para *N*-óxidos por estas enzimas, mas por via metabólica distinta (MATTOCKS & WHITE, 1971; JAGO *et al.* 1970; CHESNEY & ALLEN, 1973a). Os microssomas hepáticos não convertem APs *N*-óxidos em metabólitos pirrólicos (MATTOCKS & WITTE, 1971a; JAGO, 1970); sendo assim os *N*-óxidos são tidos como produtos de destoxicação (MATTOCKS, 1972b). Segundo MATTOCKS (1971), POWIS *et al.* (1979) e BRAUCHLI *et al.* (1982), em alguns animais os APs *N*-óxidos podem ser reduzidos para alcalóides básicos no intestino.

De um modo geral, os APs *N*-óxidos absorvidos via intestinal, provavelmente têm hepatotoxicidade similar aos alcalóides básicos; quando absorvidos por outras rotas são considerados menos tóxicos (WHO, 1988).

Toxicidade de APs em Pulmão, Rim e outros órgãos

Depois do fígado os pulmões são os órgãos mais atingidos pela ação tóxica dos APs. Não são todos os APs que atacam o fígado.

Dentre os APs que comumente atacam o fígado estão os diésteres macrocíclicos de 11 membros como a Fulvina (BARNES *et al.*, 1964) e a Monocrotalina. Este último, isolado recentemente de sementes de *Crotalaria spectabilis*, tem sido extensivamente usado em testes experimentais com animais para avaliar o grau de toxicidade nos pulmões (KAY & HEATH, 1969; LAFRANCONI & HUXTABLE, 1981). Todas as mudanças patológicas causadas pelas sementes de *Crotalaria spectabilis* são também produzidas pela Monocrotalina (LAFRANCONI & HUXTABLE, 1981). A administração do extrato de *Crotalaria* conduz ao aumento na espessura da artéria pulmonar. Ocasionalmente ocorre o desenvolvimento de artérias, seguido da destruição da lâmina elástica externa das mesmas. Portanto, o aumento no peso do ventrículo direito é um bom índice do dano progressivo causado pela hipertensão pulmonar (LAFRANCONI & HUXTABLE, 1981). Além da Monocrotalina, muitos outros APs são capazes de produzir danos crônicos nos pulmões de animais. Por exemplo, a Fulvina administrada em ratos fêmeas resulta em hipertensão pulmonar, levando à deficiência e hipertrofia do coração (KAI *et al.*, 1971). Toxicidade pulmonar causada pela Senecifilina também foi descrita por OHTSUBU *et al.*, 1977). CULVENOR *et al.*, (1976) testaram vários alcalóides para comprovar os danos crônicos provocados nos pulmões de ratos jovens. Esses autores descobriram que as lesões pulmonares são produzidas somente por alguns alcalóides, por uma ou por várias doses de alcalóides.

As lesões pulmonares causadas por APs têm sido extensivamente investigadas, não só em ratos, mas em outros animais, como o cachorro, quando foi administrado 60 mg/kg de Monocrotalina e observadas mudanças estruturais nas células do endotélio e o aparecimento de edemas no intestino. Lesões similares foram observadas no pulmão de ratos tratados com esta mesma dose (PRAKASH, *et al.*, 1999).

Muitos dos efeitos pneumotóxicos causados por APs têm sido descritos por MCLEAN, 1972).

A toxicidade de APs em outros órgãos (rim, coração, pâncreas, cérebro e duodeno) foi estudada por MATTOCKS (1986). Na maioria das vezes, os danos crônicos no coração ocorrem como um resultado secundário dos danos nos pulmões. Experimentos realizados com ratos alimentados com uma dieta à base de sementes de *Crotalaria* mostraram dilatação e hipertrofia dos ventrículos. Uma simples administração subcutânea de Monocrotalina pode causar hipertrofia do ventrículo direito (ABDEL, 1991).

Na literatura científica há poucos relatos de danos causados nos rins de animais como consequência da ingestão de APs. RATNOFF & MIRICK (1949) detectaram necrose dos túbulos renais de ratos após a administração de Monocrotalina. PERSAUD *et al.* (1970) relataram os danos ocorridos nos túbulos renais em ratos alimentados com o AP Fulvina. Em porcos alimentados com sementes de *Crotalaria retusa*, as lesões fatais primeiramente ocorreram devido a alterações no rim e em segundo plano, manifestaram lesões hepáticas, o laudo incluía megalocitose nos túbulos renais, atrofia dos glómerulos e necrose dos túbulos (HOOPER & SCANLAN, 1977).

MCGRATH *et al.* (1975) detectaram a presença de lesões renais em porcos, alimentados durante 43 dias com sementes de *Crotalaria spectabilis*.

ROTH *et al.* (1981) encontraram pequenas alterações funcionais nos rins de ratais, após a administração crônica de Monocrotalina.

Toxicidade nas células do pâncreas de ratos alimentados com Fulvina e degeneração do cérebro de ovelhas foram reportados por MATTOCKS (1986). Lesões no estômago e intestino também têm sido reportadas (HOOPER 1978). Degenerações vasculares das artérias do mesentério, pâncreas e coração, foram observadas por SCHOENTAL *et al.* (1959); ALLEN *et al.* (1970) & HOOPER (1978), respectivamente.

3.8 Métodos Espectrométricos para Identificação de APs

Cromatografia Gasosa-Espectrometria de Massas de APs

A caracterização de APs usando coluna empacotada foi descrita pela primeira vez por CHALMERS *et al.* (1965), seguido por WIEDENFELD *et al.* (1981). A grande desvantagem no uso desta técnica reside no fato da substância sofrer decomposição térmica no interior da coluna. Portanto, para análise de APs via CG se faz necessária a derivatização dos grupos OH através da reação com trimetilsilil-TMS ou com acetilação (DEINZER *et al.*, 1978), ou ainda derivados de metil ou butilboronatos quando os APs apresentam grupos dióis vicinais como a Indicina e a Licopsamina (EDGAR, 1982).

CULVENOR *et al.* (1980) e FRANH *et al.* (1980) utilizando a técnica de CG analisaram e separaram uma mistura de APs presentes no confrei (*Symphytum sp*), via derivados metilboronatos. Estas misturas normalmente são muito difíceis de separar.

APs extraídos de mel foram identificados e separados por DEINZER *et al.* (1977), ROTHSCHILD *et al.* (1979) e CULVENOR *et al.* (1981) utilizando CG via derivados butilboronatos.

A técnica de CG capilar via derivatização com TMS, foi utilizada por EDGAR (1984) para identificar e separar uma mistura complexa de APs diésteres macrocíclicos de 12 membros (Figura 15), presentes em *Symphytum spp* (Senecionina, Senecifilina, Integerrimina, Platifilina, Spartiodina, Neoplatifilina, Monocrotalina, Retrorsina, Senkirkina, Anacrotina, Higrofilina e Ridelinina).

A utilização de colunas capilares de sílica fundida otimizou a análise de APs, tornando muitas vezes a derivatização dispensável. LUTHY *et al.*, 1981(em STELLJES *et al.*, 1991), usando coluna capilar identificaram e separaram uma mistura de APs (Senecionina, Senecifilina, Integerrimina, Jacobina, Jacozina e Jaconina, Figura 15) presentes no extrato de *Senecio alpinus*.

A quantificação de APs por CG capilar acoplado a um detector de ionização de chama (FID), utilizando padrões internos, foi realizada por vários autores conforme relatam VLIETINCK & PIETERS, 1991).

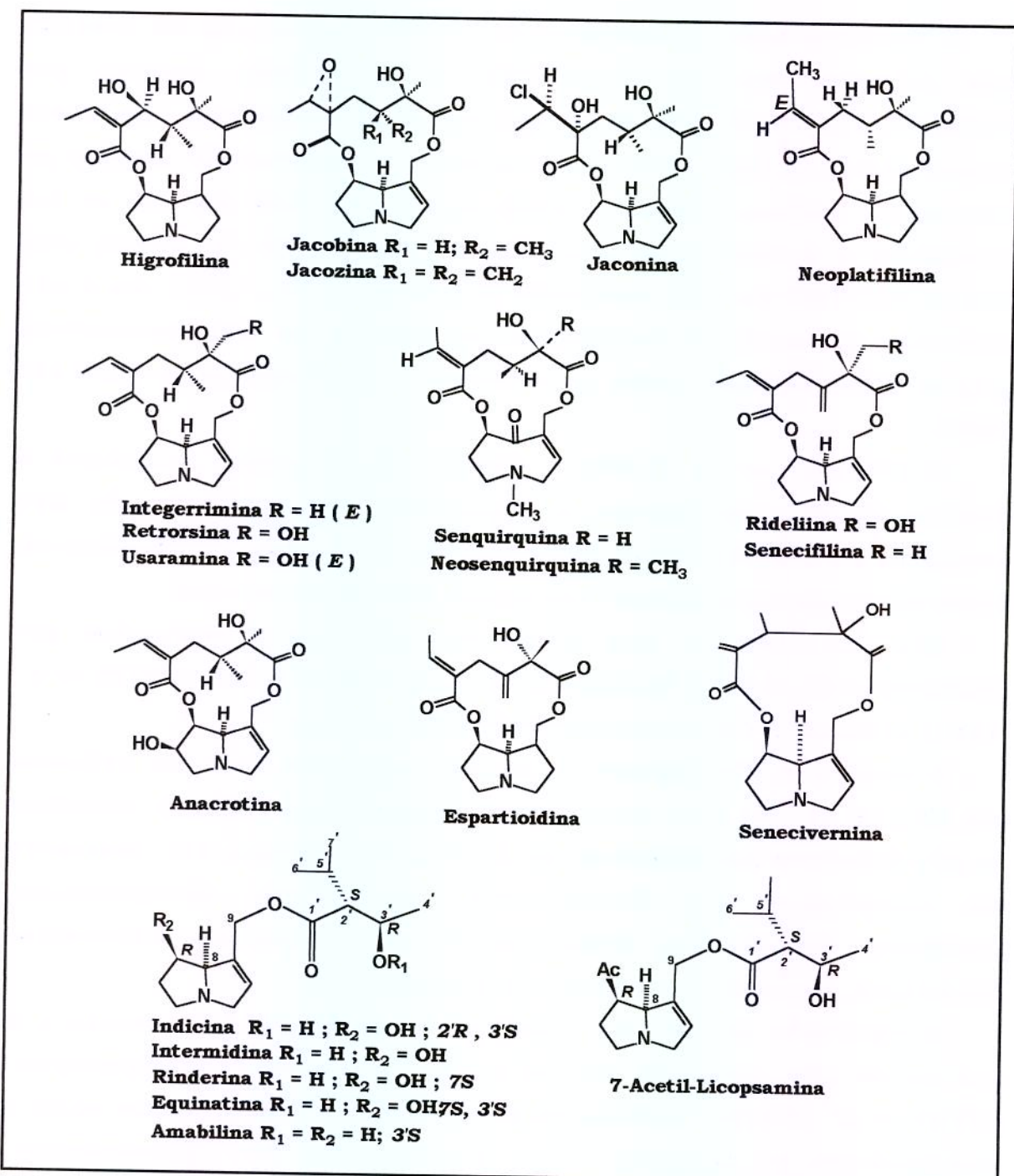


Figura 15. Alcalóides pirrolizídnicos encontrados em plantas e separados por coluna capilar

Espectrometria de Massas-Impacto de Elétrons

A técnica de espectrometria de massas de impacto de elétrons tem um papel importante na identificação e elucidação estrutural dos APs. Várias revisões sobre o uso desta técnica foram realizadas por NEUNER-JEHLE *et al.*, (1965); BULL *et al.*(1968); CROUT (1969); PEDERSEN & LARSEN (1970); RASHKES *et al.* (1978); MATTOCKS (1986) e BREDENKAMP (1991).

A espectrometria de massas de impacto de elétrons fornece as seguintes informações para elucidação estrutural de APs:

- posição da esterificação nos carbonos **C-7 ou C-9**
- se os alcalóides são saturados ou não na base necina
- se o alcalóide pertence à classe dos monoésteres, diésteres ou macrocíclicos.

A identificação dos APs Senecionina, Senecivernina, Integerrimina e Retrorsina presentes em *Senecio inaequidens* foi realizada através de cromatografia gasosa capilar-espectrometria de massas (BICCHI *et al.*, 1985).

A cromatografia capilar (CG-EM) foi usada por ALLEN et al.(1987) para caracterizar APs presentes em *Senecio logilobus* (Senecionina, Integerrimina, Senecifilina e Retrorsina) e *Senecio glabellus* (Senecionina e Integerrimina).

MARK *et al.* (1991) utilizando CG-EM identificaram os APs presentes em quatro espécies de *Senecio*: *S. serra*, *S. hydrophyllus*, *S. mikanioides*, *S. dimorphophyllus*. A análise por CG-EM mostrou a presença dos estereoisômeros Senecionina e Integerrimina, majoritários na espécie *S. dimorphophyllus*, e uma mistura complexa de monoésteres e diésteres nas espécies *S. hydrophyllus* e *S.mikanioides*.

WITTE *et al.* (1993) utilizando a cromatografia gasosa-espectrometria de massas (CG-EM) colunas (OV-1, DB-1, DB-5, DB-17, OV-1701), realizaram análises comparativas de APs presentes em várias plantas e insetos. O resultado mostrou que as colunas

recheadas com polidimetilsiloxano fase apolar (OV-1, DB-1) foram eficientes para separação de misturas complexas de APs. Com relação às colunas DB-5, DB-17, OV-1701 de polaridades diferentes, a separação dependia do tipo de APs.

Um estudo dos APs contidos em *Packera candidissima* (*Senecio candidissimus*) planta medicinal muito usada no México no tratamento de úlceras, doenças do rim e com propriedades antisépticas, foi conduzido por MOUSTAPHA *et al.* (1994). A análise por CG-EM mostrou a presença dos APs Senencionina, Integerrimina, Retrorsina e Usaramina (Figura 15) nas suas partes aéreas. Na raiz foi identificado o AP senkirkina como composto majoritário.

WINDENFELD *et al.* (1995) estudando a planta medicinal *Eupatorium portoricense*, especificamente suas inflorescências e folhas, identificaram através de CG-EM os APs Amabilina, Equinatina e O¹²-acetilequinatina.

A identificação e separação de vários APs, como a 7-senecioilretronecina, 9-senecioilretronecina, Licopsamina, 7-acetillicopsamina, 7-senecioilretronecina, 7-(2-metilbutiril)retronecina, 7-(2-metilbutiril)-9-(2,3-dihidroxibutiril)retronecina, 7-(2-metilbutiril)-9-echimidinil retronecina, presentes em pequenas quantidades em *Echium humile* (Boraginaceae) foi realizada por cromatografia gasosa espectrometria de massas (SHAZLY *et al.*, 1996a).

O estudo de cinco espécies do gênero *Senecio* (*S. brasiliensis*, *S. cisplatinus*, *S. heterotrichus*, *S. leptolobus* e *S. selloi*) realizado por CG-EM levou à identificação de vários APs derivados das bases Retronecina e Otonecina (KREBS *et al.*, 1996).

Espectrometria de massas de impacto de elétrons - Padrões de Fragmentações de APs

APs Monoésteres 1,2-insaturados

Os APs deste grupo (p.e Equinatina) podem ser identificados no espectro de massas (Figura 16) através dos íons m/z 137, 138 (pico base) e 139. Outro íon abundante e característico deste tipo de AP é o m/z 93, m/z 94 de abundância média e o m/z 95 de abundância insignificante. O ion molecular m/z 299 é pouco abundante (1%).

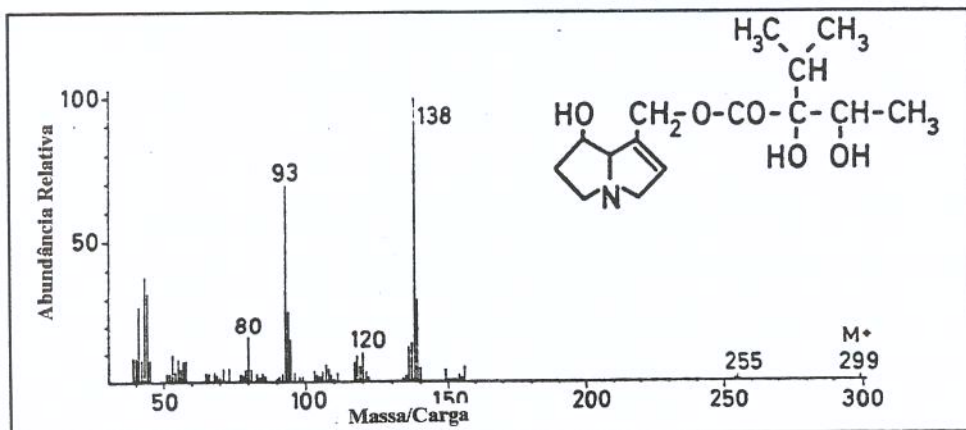


Figura 16. Espectro de massas de Impacto de elétrons (IE) DO AP Equinatina (PEDERSEN & LARSEN, 1970).

Os APs esterificados no carbono C-7 (Iso-APs), têm como padrão de fragmentação os íons m/z 137, 106, 154, 111, 94 e 80 (pico base). O mecanismo de fragmentação destes APs foi proposto por PEDERSEN & LARSEN em 1970.

APs Monoésteres 1,2-saturados

O espectro de massas dos APs saturados (p.e Coromandalina, Figura 17) podem ser diferenciados dos APs 1,2-insaturados devido estes apresentarem uma fragmentação com duas unidades de massa

a mais m/z 140-138, 123-121 e 97-95. O pico m/z 124 também é característico destes APs e na maioria das vezes é o pico base (RIZK, 1991).

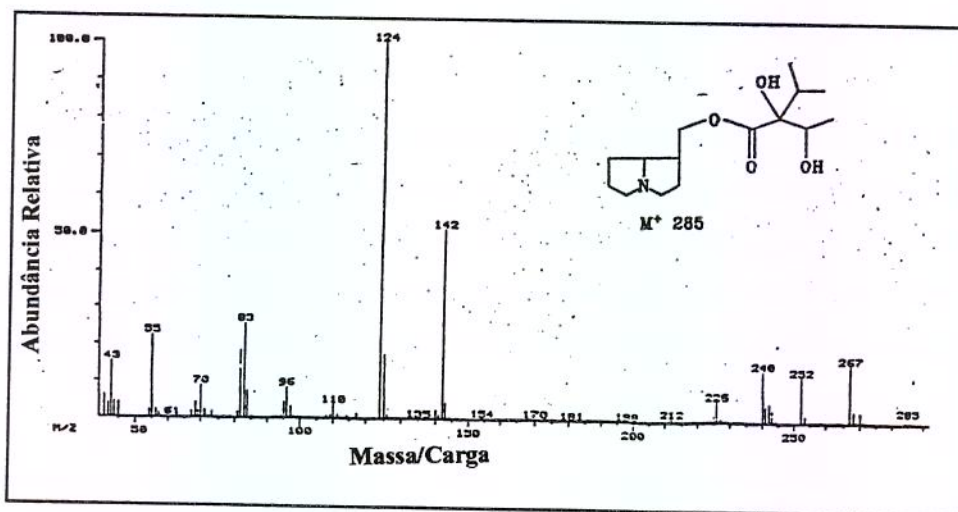


Figura 17. Espectro de massas de IE do AP Coromandalina (Trigo et al., 1993).

Os APs saturados esterificados no carbono C-7 (iso-APs) apresentam uma fragmentação (Figura 18) similar aos iso-APs insaturados, com o acréscimo de duas unidades de massa. Assim, os principais fragmentos são: m/z 239 (ion molecular) 156, 139, 113, 108, 83 e m/z 82 (pico base) RIZK, 1991.

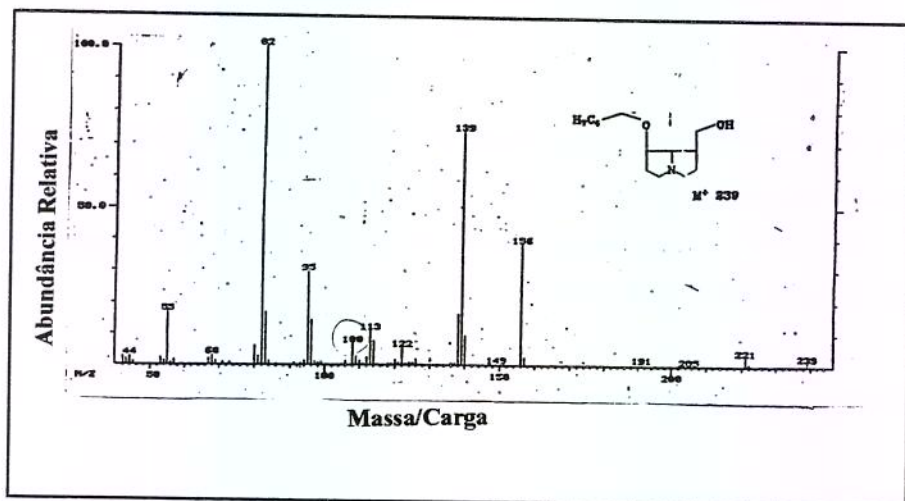


Figura 18. Espectro de massas do AP 7-Angeloilplatinecina (Trigo et al., 1993).

APs Macroscílicos 1,2-insaturado

O grupo de APs macroscílicos (**Tipo Senecionina**), os quais têm a Retronecina como base, podem ser identificados através dos padrões de fragmentação cujos íons no espectro de massas (Figura 19) são m/z 138, 137 e 136; 121, 120 e 119; 93, 94 e 80. O padrão de fragmentação dos APs macroscílicos de 11 ou 12 membros foi amplamente estudado por BREDENKAMP (1991).

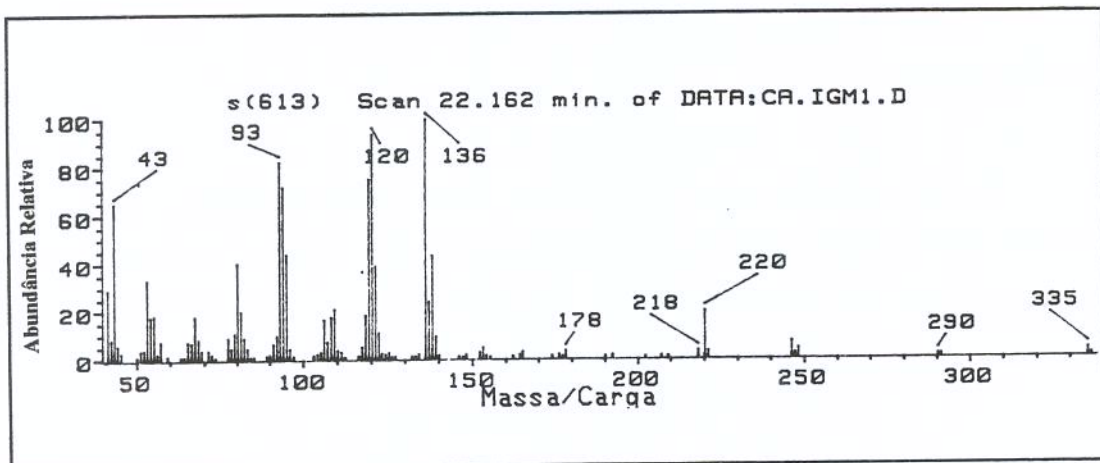


Figura 19. Espectro de massas IE do AP Senecionina.

APs Macroscílicos 1,2-saturados

A seqüência de fragmentos (Figura 20) apresentando picos m/z 293, 222, 138, 123, 122, 83 e 82 é característica de APs macroscílicos saturados (p.e Platifilina). O íon molecular pouco abundante. O íon m/z 83, característico de ésteres de bases necinas saturadas, está presente também no espectro de massas dos APs macroscílicos 1,2-saturados.

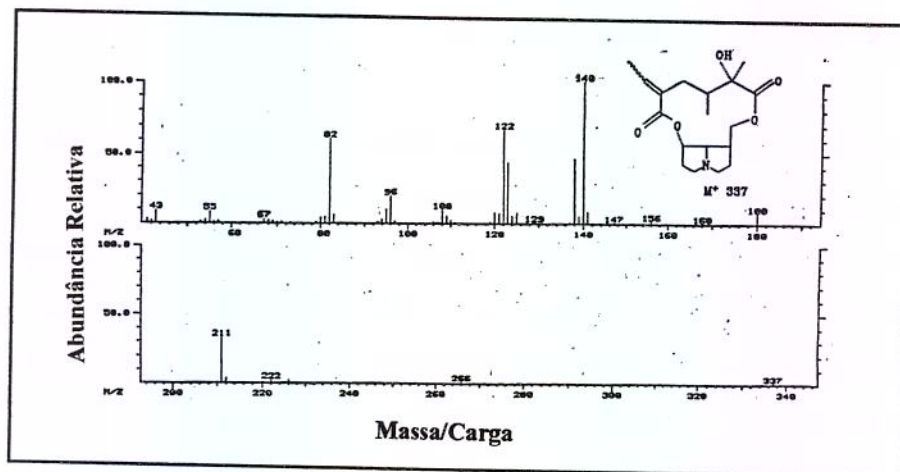


Figura 20. Espectro de massas IE do AP Platifilina (Trigo et al., 1993).

APs Diésteres

A fragmentação de diésteres não macrocíclicos têm como padrões principais os íons m/z 297, 219, 220, 136, 120 (pico base) e 93. Este tipo de fragmentação foi estudada por FURUYA & ARAKI (1968) e PEDERSEN & LARSEN (1970).

APs Macroscólicos com base otonecina

APs macrocíclicos com a base necina do Tipo otonecina (p.e. Senquirquina) podem ser identificados no espectro de massas (Figura 21) pela presença dos picos intensos em m/z 168, 151, 150, 149, 123, 122, 110, 96 e 94 (CAVA *et al.*, 1968).

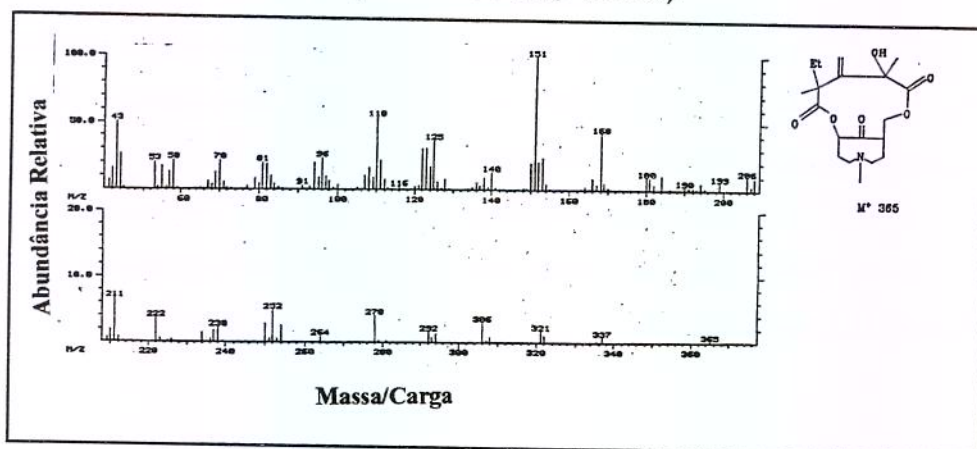


Figura 21. Espectro de massas IE do AP Senquirquina (Trigo et al., 1993).

APs com Bases Necinas

Os padrões de fragmentações mais comuns da base necina (p.e. Retronecina) foram elucidados por NEUNER-JEHLE *et al.* (1965), cujos fragmentos principais são: m/z 155 (ion molecular), 111, 94 e 80 (pico base).

3.9 Métodos Espectroscópicos para Caracterização de APs

O estudo espectroscópico de RMN-1H de APs foi realizado inicialmente por CULVENOR *et al.* (1965). Este estudo realizado em 60 MHz (aplicados em 200, 300 e 400 MHz), mostra alguns fatores que governam o padrão de multiplicidade das bases necinas Retronecina : **1**- os multipletos da parte saturada e insaturada do anel pirrolizidínico são independentes, embora os prótons estejam conectados através do **H-8**; **2**- os prótons metilénicos geminais dos carbonos **C-3** e **C-5** apresentam diferenças bem relevantes no deslocamento químico dentro de cada par, este efeito provavelmente seja devido a influência do par desemparelhado de elétrons sobre o átomo de **N**.

Posteriormente estudos mais detalhados foram conduzidos por MOLYNEUX *et al.* 1982, MOHANRAJ & HERZ (1982), ZALKOW *et al.* 1985, ASIBAL *et al.* 1989, ROEDER & BOURAUEL (1992) e LIU *et al.* 1992. Uma revisão aplicada aos estudos de RMN1H foi elaborada por LOGIE *et al.* (1994).

Estudos mais detalhados sobre RMN-¹³C de APs foram realizados por JONES *et al.* (1982) e MOLYNEAUX *et al.* (1982). Uma revisão aplicada aos estudos RMN-¹³C para APs foi elaborada por ROEDER (1990, 1991), ROEDER & BOURAUEL (1992) e LIU *et al.* 1992.

4. MATERIAIS E MÉTODOS

4. MATERIAIS E MÉTODOS

4.1 DELINEAMENTO EXPERIMENTAL

Experimento A

Identificação de alcalóides pirrolizidínicos de espécies do gêneros *Senecio* e *Eupatorium* (alocadas em Hérbario)

As Inflorescências de vinte e oito espécies de *Senecio* (Tabela 5), pertencentes a sete Seções {*Adamantina*, *Hualtatini*, *Corymbosi*, *Cacaliostrum*, *Suffrutecius*, *Paranaia* e *Tomentecio* (HIND, 1993)} e oitenta e sete espécies de *Eupatorium* (Tabela 6) foram coletadas no Herbário do Departamento de Botânica, Instituto de Biologia da UNICAMP, Campinas - SP, no ano de 1993.

A escolha de plantas do herbário se fez necessária, uma vez que nosso interesse era traçar o perfil químico desses APs, considerando que poderiam ser amostradas uma grande quantidade de espécies do gêneros selecionados.

Segundo a literatura (HARBORNE, 1984), plantas secas armazenadas em herbários, por muitos anos, não apresentam alterações qualitativas dos seus constituintes químicos, como os flavonóides e os alcalóides. Outro aspecto é quanto a confiabilidade e a segurança na identificação botânica das espécies em estudo.

Experimento B

Identificação de alcalóides de espécies dos gêneros *Heliotropium*, *Ageratum*, *Eupatorium* e *Crotalaria* (coletadas no campo)

Foram realizadas análises qualitativas com infusões de partes (flor, folhas, caule, rizoma e sementes) das espécies *Heliotropium indicum* e *transalpinum*, *Ageratum conyzoides* e *Crotalaria lanceolata*, *Crotalaria spectabilis* e *Crotalaria juncea*. Na Tabela 7 estão apresentados os dados de coleta destas espécies.

Experimento C

Isolamento e Caracterização de alcalóides pirrolizidínicos de espécies dos gêneros *Heliotropium indicum*, *Ageratum conyzoides*, *Eupatorium laevigatum*, *Senecio brasiliensis*, *Crotalaria spectabilis* e *Crotalaria lanceolata*.

Para os testes de toxicidade, as plantas foram selecionadas em função de sua maior quantidade de APs. A Tabela 8 apresenta os dados (coleta, quantidade, extração) relativos ao material vegetal.

Como havia a disponibilidade de outras plantas, no laboratório, resolvemos realizar o isolamento de alguns APs presentes nestas espécies (Tabela 9).

As plantas foram coletadas e submersas em uma cuba de vidro, com álcool etílico, de modo a inibir processos enzimáticos e transformações bioquímicas.

Tabela 5. Espécies de *Senecio* coletadas no Herbario do Depto. de Botânica, IB - UNICAMP.

*Nº	Espécie	Local	Número do Herbário	Data de coleta
01	<i>S. adamantinum</i>	Estr. Campos do Jordão, SP	15.809	21/03/1984
02	<i>S. apensis</i>	Nova Andradina-MG	33.792	07/02/1974
03	<i>S. argyrotrichus</i>	Estr. Rio de Janeiro - Campos	18.188	23/05/1985
04	<i>S. benthamii</i>	Horto de Plantas Medicinais, PR	780	19/11/1986
05	<i>S. brachypodus</i>	São José dos Pinhais-PR	42.768	04/03/1980
06	<i>S. bradei cabrera</i>	Serra do Japi-Jundiaí-SP	17.77	28/08/1985
07	<i>S. brasiliensis</i>	Reserva do IF, CJ-SP	3.056	29/09/1976
08	<i>S. conyzifolius</i>	Cambará do Sul-RS	3.183	31/10/1994
09	<i>S. crassiflorus</i>	Farol, Mun. Imbituba-SC	57.891	21/08/1992
10	<i>S. desiderabilis</i>	Estr. São Paulo-Campus do Jordão	16.523	29/09/1984
11	<i>S. eisenthalifolius</i>	-	-	-
12	<i>S. glaziovii</i>	-	-	-
13	<i>S. grossidens</i>	-	-	-
14	<i>S. hemmendorffii</i>	-	-	-
15	<i>S. icocossus</i>	Mun. Camanducaia-MG	-	sem data
16	<i>S. itatiaia</i>	Parque Nacional Itatiaia, RJ	20.708	23/07/1988
17	<i>S. jurguensis</i>	Rio Guamirim, Mun. S.José dos Pinhais	40.178	25/08/1977
18	<i>S. leptoschizus</i>	-	1.728	10/02/1976
19	<i>S. macrotis</i>	-	-	-
20	<i>S. oleosus</i>	Serra do Bacaina, Estr.p/Silvestre-SP	12.817	01/08/1980
21	<i>S. oxyphyllus</i>	-	-	-
22	<i>S. paulensis</i>	Mun. Camanducaia-MG	1.858	15/03/1976
23	<i>S. pellucidimerius</i>	Serra da Bocaina, SP	12.823	01/01/1980
24	<i>S. platensis</i>	Mar Grosso, Mun.Laguna, SC	29.371	31/03/1972
25	<i>S. pluricephalus</i>	Serra do Japi, Jundiaí, SP	15.509	22/09/1983
26	<i>S. pulcher</i>	Rio Pequeno, Mun. S.J.P, PR	43.220	18/10/1980
27	<i>S. stigophlebius</i>	Mun. Jaboticatubas, Diamantina, MG	3.134	21/08/1994
28	<i>S. vernonioides</i>	Estr. São Paulo-Curitiba	-	09/09/1984

Tabela 6. Espécies de *Eupatorium* coletadas no Herbario do Depto. de Botânica, IB - UNICAMP.

Nº	Espécies	Local	Número do Herbário	Data de coleta
01	<i>E. adamantinum</i>	Campo do Saco?	217	02/10/1980
02	<i>E. amigalatum</i>	Mun. Capitolio-MG	20.963	01/09/1988
03	<i>E. amphidiotylum</i>	Mun. Gouveia	17.158	03/06/1985
04	<i>E. angustissimum</i>	-	-	-
05	<i>E. ascende</i>	Morro do Ferro?	1.183	22/09/1981
06	<i>E. asperium</i>	Distrito Federal	60.126	12/07/1976
07	<i>E. barbacense</i>	Mun. Sta. Barbara, SP	356	20/03/1989
08	<i>E. betoniciforme</i>	Mun. Indaiá, SP	14.264	12/10/1982
09	<i>E. bracteatum</i>	Serra Petrolina, Mun.Rodonopolis, MG	34.717	25/07/1976
10	<i>E. bupleurifolium</i>	-	-	-
11	<i>E. cainamoefolium</i>	-	-	-
12	<i>E. campestre</i>	Campo Sujo (Lixão), SP	15.461	19/10/1993
13	<i>E. candleanum</i>	Sul de Itararé, Km 15, SP	1.718	10/02/1976
14	<i>E. capillares</i>	Estr. Diamantina, Km 10, MG	17.438	05/06/1985
15	<i>E. castatipes</i>	-	-	-
16	<i>E. ceratifolium</i>	Fazenda Corizal?	12.120	21/12/1980
17	<i>E. chlorolepis</i>	Rio Claro (Rod. W.L), SP	1.819	Sem data
18	<i>E. cinereo verides</i>	-	-	-
19	<i>E. clematitideum</i>	Campinas, SP	9.385	19/02/1979
20	<i>E. congestum</i>	Estr. P /Aldeia Guiana, São José do Barreiro	14.395	31/01/1982
21	<i>E. coriaceum</i>	Mun. Jaboticatubas (Serra do Cipó), MG	18.087	06/03/1985
22	<i>E. costalipes</i>	-	-	-
23	<i>E. crenulatum</i>	-	-	-
24	<i>E. decumbens</i>	-	-	-
25	<i>E. dendroide</i>	-	-	-
26	<i>E. dimorpholepis</i>	-	-	-
27	<i>E. erodifolium</i>	-	-	-
28	<i>E. ganofillum</i>	-	-	-
29	<i>E. gaudichaudianum</i>	Cid. Universitária- Barão Geraldo, Campinas	16.685	30/11/1984
30	<i>E. hirsutissimum</i>	-	-	-
31	<i>E. hirsutissimum</i>	Carrancas, 1100m - MG	19.400	02/07/1987
32	<i>E. hormonoides</i>	Mun. Águas de Sta. Barbará-Cerrado, SP	565	26/04/1990
33	<i>E. inaequifolium</i>	Morro das Camisinhas, Pocos de Caldas, MG	2002	07/03/1983
34	<i>E. intermedium</i>	Mun. Jundiaí, Serra do Japi, Sítio Sta.Maria	13.428	29/03/1982
35	<i>E. inulaefolium</i>	Mun. Itati, Osório, RS	3.750	01/20/1985
36	<i>E. itatayense</i>	Mun. Tiradentes, Serra de São José-MG	19.037	30/06/1987
37	<i>E. kleinioides</i>	-	-	-
38	<i>E. laetevirens</i>	Mun. Águas de Sta.Bárbara-Cerrado, SP	-	22/02/1990
39	<i>E. laevigatum</i>	Man. Lavras, Serrinha - MG	15.293	07/12/1983
40	<i>E. laxum</i>	Rio Pequeno, Mun - São José dos Pinhais	40.938	10/11/1978
41	<i>E. ligulaefolium</i>	Estado da Guanabara, descida para Sumaré	107726	21/07/1959
42	<i>E. lundianum</i>	-	-	-
43	<i>E. lundianum</i>	-	-	-

Tabela 6. Continuação

44	<i>E. macrocephalum</i>	Mun de Campo Bonito, SP	1.667	09/02/1976
45	<i>E. macrophyllum</i>	Bragança Paulista, Estr. de Amparo, SP	15.686	31/12/1983
46	<i>E. maximilianii</i>	Serra do Japi, Jundiaí, SP	16.470	09/05/1984
47	<i>E. megacefalum</i>	-	-	-
48	<i>E. minasseraesense</i>	-	-	-
49	<i>E. mollissimum</i>	-	-	-
50	<i>E. multifidium</i>	-	-	-
51	<i>E. myriocafalum</i>	-	-	-
52	<i>E. myrtilloides</i>	-	-	-
53	<i>E. nemularia</i>	Horto Florestal, Mogi-Mirim, SP	21.933	03/05/1989
54	<i>E. odoratum</i>	-	-	-
55	<i>E. ostenii</i>	-	-	-
56	<i>E. oxilepsis</i>	-	-	-
57	<i>E. palmari</i>	-	-	-
58	<i>E. paucidentatum</i>	-	-	-
59	<i>E. paulensis</i>	-	-	-
60	<i>E. prasifolium</i>	-	-	-
61	<i>E. publeuropodium</i>	-	-	-
62	<i>E. punctulatum</i>	-	-	-
63	<i>E. purpurascens</i>	-	-	-
64	<i>E. pyrifolium</i>	-	-	-
65	<i>E. refescens</i>	-	-	-
66	<i>E. riedelii</i>	-	-	-
67	<i>E. riedelii</i>	-	-	-
68	<i>E. sagittiferum</i>	-	-	-
69	<i>E. sanctopaulense</i>	-	-	-
70	<i>E. serratum</i>	Mun de Lavras, Serrinha, MG	15.329	07/12/1983
71	<i>E. spathulatum</i>	-	-	-
72	<i>E. squalidum</i>	-	-	-
73	<i>E. squarruloseum</i>	-	-	-
74	<i>E. squarulosum</i>	-	-	-
75	<i>E. subalternifolium</i>	-	-	-
76	<i>E. subhastatum</i>	-	-	-
77	<i>E. tanacetifolium</i>	-	-	-
78	<i>E. tectum</i>	-	-	-
79	<i>E. thysanolepis</i>	-	-	-
80	<i>E. tottafolium</i>	-	-	-
81	<i>E. trigonum</i>	-	-	-
82	<i>E. trixoides</i>	-	-	-
83	<i>E. tweedieanum</i>	-	-	-
84	<i>E. vauthierianum</i>	06/11/1983	-	-
85	<i>E. velutinum</i>	-	-	-
86	<i>E. vernonia</i>	-	-	-
87	<i>E. vitaliae</i>	-	-	-

Tabela 7. Dados de coleta dos gêneros *Heliotropium*, *Ageratum* e *Crotalaria* (Experimento B).

Plantas	Local	Data
<i>Heliotropium indicum</i>	Em frente ao IB da Unicamp, Campinas-SP	novembro de 1994
<i>Heliotropium transalpinum</i>	CPQBA (Betel, Paulinia-SP)	novembro de 1994
<i>Ageratum conyzoides</i>	CPQBA	fevereiro de 94/95
<i>Crotalaria spectabilis</i>	Estação experimental de Assis-SP	janeiro de 1997
<i>Crotalaria juncea</i>	Serra do Japi, Jundiaí, SP	janeiro de 1995
<i>Crotalaria lanceolata</i>	Em frente ao IB da Unicamp, Campinas-SP	janeiro de 1995

Tabela 8. Dados de coleta e extração do material vegetal (Experimento C).

Plantas	Data de coleta	Quantidades	Extrato bruto	partes estudadas
* <i>Senecio brasiliensis</i>	janeiro/ 1994	2,5 kg	1,5 g	Planta toda
<i>Eupatorium laevigatum</i>	janeiro/ 1994	5,0 kg	79,49 g	Folhas
* <i>Heliotropium indicum</i>	novembro/ 1995	4,0 kg	1,67 g	Planta toda
* <i>Ageratum conizoïdes</i>	março/ 1995	3,0 kg	76,00 g	Planta toda
<i>Crotalaria lanceolata</i>	abril/ 1995	1,008 kg	-	Sementes

* Destas plantas foram extraídos os APs para os testes Toxicológico

Tabela 9. Outros APs isolados.

Alcaloides	Fonte	Parte
Monocrotalina	<i>Crotalaria spectabilis</i>	sementes
Usaramina	<i>Crotalaria lanceolata</i>	sementes
AP desconhecido	"	"
Integerrimina	<i>Crotalaria juncea</i>	sementes
Equinatina N-óxido	<i>Eupatorium laevigatum</i>	folhas

EXPERIMENTO D

TESTES TOXICOLÓGICOS

O procedimento experimental empregado nestes testes foi o mesmo descrito por CULVENOR *et al.* (1976a).

Os testes foram conduzidos no Laboratório de Ensaios Biológicos, Farmacológicos e Toxicológicos do Centro Pluridisciplinar de Pesquisas Químicas, Biológicas e Agronômicas (CPQBA), Betel Paulínia-SP, sob a Orientação do Prof. Dr. João Ernesto de Carvalho.

Teste de Toxicidade Aguda

Este teste consistiu na administração (via oral) de doses únicas (**0,0250; 0,05; 0,1; 0,2; 0,4; *(0,08, 013, 0,16 e 0,6); 0,8; 1,6 e 3,2 MMols/kg**) dos APs puros. Após trinta minutos da administração, os ratos, com peso variando entre 20 a 40g, foram recolocados com as respectivas mães e desmamados depois de vinte e um dias.

Os animais foram observados a cada 24 horas para verificação dos sintomas produzidos pela administração dos APs, com especial atenção a sintomas como tremores, convulsões, salivação, diarréia, letargia e coma. Este período de observação era definido de acordo com os efeitos tóxicos observados, a velocidade de seu aparecimento e de sua duração. As observações complementares (animais em estado crítico) foram efetuadas rotineiramente de modo a reduzir ao mínimo os animais perdidos para o estudo de autópsia; os animais que tiveram morte natural ou que foram sacrificados eram mantidos sob refrigeração (5°C) até a autópsia. Os animais que não morriam durante a primeira semana de administração (Teste de Toxicidade Aguda, 1 a 8 dias), foram sacrificados após quatro semanas, fornecendo resultados para o teste de Toxicidade Crônica.

Durante a autópsia foram registradas alterações macroscópicas gerais e os órgãos (fígado, pulmão e rim) foram retirados e fixados em formol 10%, para análise histopatológica.

*No caso de alguns alcalóides como a Integerrimina e a Retrorsina N-óxido houve a necessidade de introduzir (na escala) doses intermediárias de 0,08, 0,013, 0,016 e 0,6 mmols/kg, para poder caracterizar com maior precisão o valor da **DL₅₀**.

Teste de Toxicidade Crônica

Os testes de Toxicidade Crônica foram realizados com infusões a partir de cinco plantas selecionadas em função de seu uso, ocorrência e presença de APs (Tabela 10).

Tabela 10. Extratos Utilizados no Teste de Toxicidade Crônica.

Plantas	Partes Usadas
<i>Ageratum conizoides</i>	planta toda
<i>Heliotropium indicum</i>	planta toda
<i>Heliotropium transalpinum</i>	planta toda
<i>Eupatorium laevigatum</i>	planta toda
<i>Senecio brasiliensis</i>	folhas

Os testes de Toxicidade Crônica (três meses) foram realizados com extratos na forma de infusões (forma de uso da população). As plantas foram coletadas, secas ao sol e reduzidas a pó em moinho. As Infusões foram preparadas colocando-se 250 ml de água quente em 50g da planta moída, cobrindo-se o recipiente com papel de alumínio e deixando-se em repouso por 30 minutos para, em seguida, coar em algodão e evaporar para obter um extrato seco.

Neste teste foram utilizadas duas doses do extrato (0,5 e 1g/kg), de acordo com a disponibilidade da planta. As doses eram preparadas conforme o peso do animal (ratos). Os extratos secos foram diluídos em água destilada e administrados via oral três vezes

por semana, em dez ratos, para cada dose, sendo 5 fêmeas e cinco machos e o grupo controle. Durante o experimento os animais foram mantidos em observação, do mesmo modo que no teste de Toxicidade Aguda.

Animais

Foram usados 10 ratos por grupo, da linhagem Wistar, cinco fêmeas e cinco machos e o grupo controle, com 14 dias de vida pesando de 20 a 40g, tanto para o teste de Toxicidade Aguda, quanto para o teste de Toxicidade Crônica. Estes animais foram aclimatados às condições do Biotério do Centro Pluridisciplinar de Pesquisas Químicas, Biológicas e Agronômicas (CPQBA), Betel Paulínia-SP, durante duas semanas após seu nascimento.

Avaliação da Toxicidade

A avaliação do teste de Toxicidade agudo e crônico foi realizada de acordo com os seguintes critérios (CULVENOR *et al.*, 1976a):

- a - Toxicidade Superaguda: com morte dentro de 24 horas, após a ingestão.
- b - Toxicidade Aguda: com morte ocorrendo entre 1 a 8 dias após a administração.

Análise Histopatológica

Os resultados da análise histopatológica são discutidos de acordo com a classe de APs puros (**Grupos**), os extratos de plantas (**Grupos**) e os níveis de doses administradas (**Sub-grupos**), como mostra as Tabelas 11 e 12, respectivamente.

Amostras de fígado do grupo controle e tratado, neste último caso com ou sem lesão aparente, foram fixadas em formol 10% tamponado, por 24 horas, a temperatura ambiente, e depois peças de

tamanho pequeno foram colocadas em etanol 70%, e posteriormente submetidas as técnicas de rotina para inclusão em parafina. Em seguida, foram obtidos cortes de 6 µm, os quais foram corados pela técnica de Hematoxilina-Eosina e pelo método Tricrômico Gomori (Gomori, G 1952), submetidos em seguida à análise histopatológica.

Tabela 11. APs e doses usadas nos testes de Toxicidade aguda.

Grupos	Sub-Grupos	APs	Doses (mg/Kg)
			salina
A (Controle)	-	-	
B (Monoésteres)	B1	Licopsamina	14,95
	B2	Licopsamina	29,90
	B3	Indicina	14,95
	B4	Indicina	29,90
	B5	Indicina	59,80
	B6	Indicina	199,6
C (Diésteres macrocíclicos)	C1	Integerrimina	26,80
	C2	Integerrimina	33,50
	C3	Integerrimina	44,23
	C4	Integerrimina	55,76
	C5	Retrorsina	8,77
	C6	Retrorsina	17,55
	C7	Retrorsina	35,10
	C8	Retrorsina	70,20
	C9	Retrorsina	140,40
	C10	Retrorsina	280,80
D (N-óxidos monoésteres)	D1	Indicina -N-óxido	7,87
	D2	Indicina -N-óxido	63,00
	D3	Indicina -N-óxido	252,00
E (N-óxidos macrocíclicos)	E1	Integerrimina - N-óxido	8,76
	E2	Integerrimina - N-óxido	35,10
	E3	integerrimina - N-óxido	70,20
	E4	integerrimina - N-óxido	210,60
	E5	retrorsina - N-óxido	9,16
	E6	retrorsina - N-óxido	18,35
	E7	retrorsina - N-óxido	36,70
	E8	retrorsina - N-óxido	220,20
F (Base retronecina)	F1	Retronecina	7,75
	F2	Retronecina	15,50
	F3	Retronecina	31,00
	F4	Retronecina	62,00
	F5	Retronecina	124,0
	F6	Retronecina	248,0
G (Ácido)	G1	Ácido integerrinecico	36,60

Tabela 12. Extratos e doses usadas no Teste de Toxicidade Crônica.

Grupos	Sub-Grupos	Plantas	Dose (g/kg)
H (Extrato Bruto- (EBHi)	H1	<i>Heliotropim indicum</i>	0,5
H (Extrato Bruto- (EBHi)	H2	<i>Heliotropim indicum</i>	1,0
I (Extrato Bruto - (EBHt)	I1	<i>Heliotropim transalpinum</i>	0,5
I (Extrato Bruto - (EBHt)	I2	<i>Heliotropim transalpinum</i>	1,0
J (Extrato Bruto -(EBAc)	J	<i>Ageratum conizoides</i>	1,0
L (Extrato Bruto- (EBSb)	L	<i>Senecio brasiliensis</i>	0,5
K (Extrato Bruto- (EBE1)	K1	<i>Eupatorium laevigatum</i>	0,5
K (Extrato Bruto- (EBE1)	K2	<i>Eupatorium laevigatum</i>	1,0

Documentação fotográfica

A documentação fotográfica dos preparados histológicos dos fígados foi obtida com emprego de um Fotomicroscópio Nikon e filme Kodacolor ASA 100. Posteriormente foram elaboradas pranchas, das quais se obteve cópias "xerox" coloridas de alta resolução.

4.2 MÉTODOS

4.2.1 Extração e Fracionamento de APs

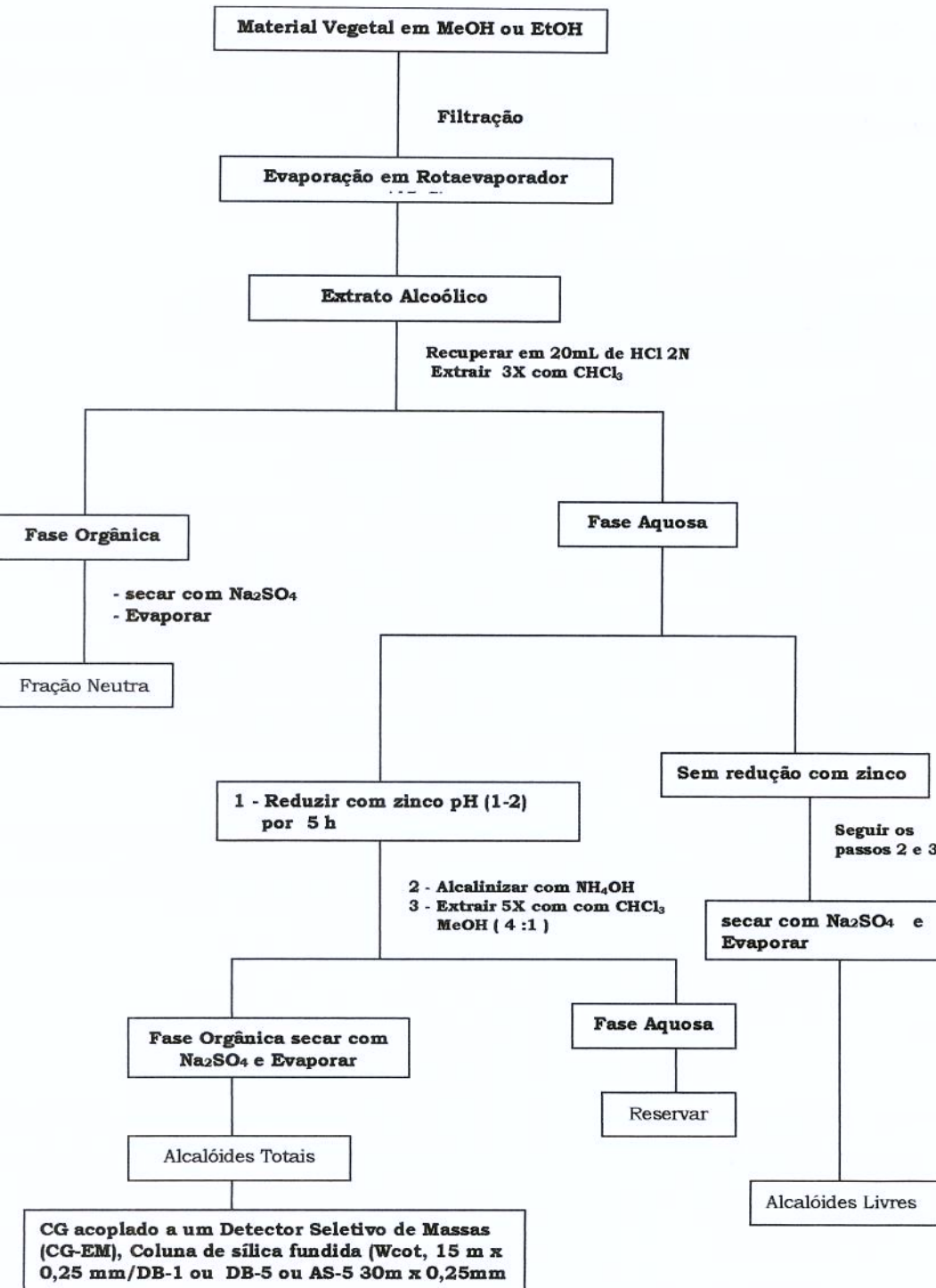
Espécies de *Senecio* e *Eupatorium* (Experimento A)

As inflorescências (2g) obtidas do herbário, das espécies de *Senecio* e *Eupatorium*, foram maceradas em cadinhos com 5mL de MeOH e o extrato filtrado a vácuo. O filtrado foi totalmente evaporado em rotaevaporador a baixa temperatura (45°C). O resíduo foi recuperado com 15 mL de HCl 2N (APs protonados). O extrato aquoso ácido foi extraído três vezes com CHCl₃, removendo-se as substâncias não básicas insolúveis em água.

Devido os APs se apresentarem em plantas e animais sob a forma de *N*-óxidos (RIZK, 1991) houve a necessidade de uma redução do extrato aquoso ácido. Assim, a fase aquosa foi reduzida com excesso de Zn por 5h em meio ácido mantendo-se o pH entre 1-2, para converter os APs *N*-óxidos em seus respectivos APs terciários. A fração reduzida foi alcalinizada com hidróxido de amônio (transformando os APs protonados em bases livres) e extraída cinco vezes com 20 mL de CHCl₃:MeOH (4:1).

O Esquema 1 mostra o processo de extração e fracionamento dos APs.

Esta metodologia de extração foi aplicada, também para a obtenção dos APs presentes nas espécies citadas nos **Experimentos B e C**.



Esquema 1. Extração e Fracionamento de APs.

4.2.2 APs obtidos a partir de transformações químicas

Para os testes de Toxicidade Aguda foram utilizados APs puros isolados a partir de plantas e APs obtidos a partir de algumas transformações químicas (Tabela 13).

Tabela 13. APs usados nos testes de Toxicidade Aguda.

APs	Fonte
Monoésteres	
Indicina	<i>Heliotropium indicum</i>
Licopsamina	<i>Ageratum conyzoides</i>
Macrocíclicos 1,2-insaturados	
Integerrimina	<i>Senecio brasiliensis</i>
Retrorsina	<i>Senecio brasiliensis</i>
Derivados N-Óxidos	
Integerrimina N-Óxido	N-oxidação da integerrimina
Retrorsina N-Óxido	N-oxidação da Retrorsina
Indicina N-Óxido	N-oxidação da Indicina
Base-Livre	
Retronecina	Hidrólise da integerrimina
Ácido	
Integerrinecico	Hidrólise da integerrimina

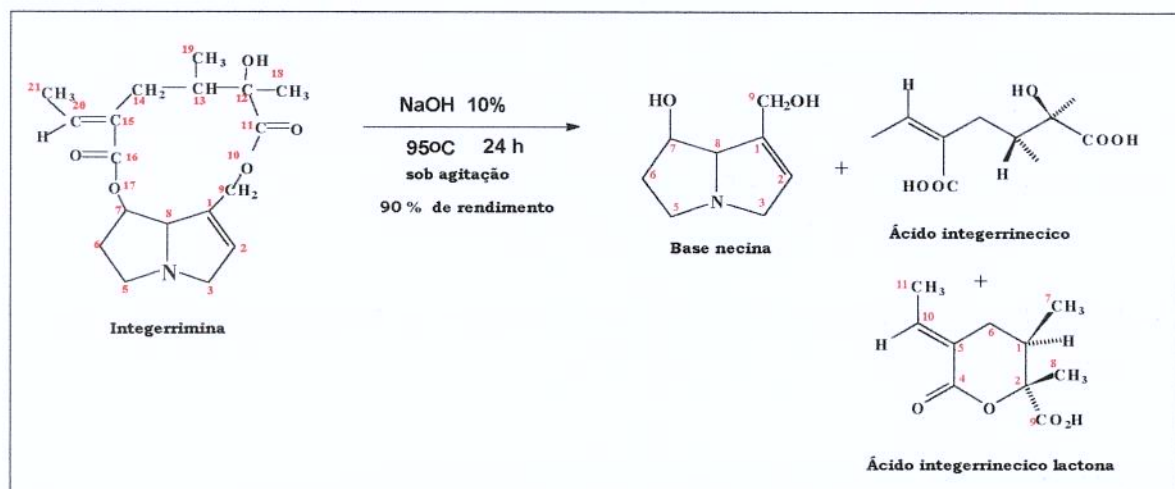
Os APs, **monoésteres** Licopsamina, Indicina e os **macrocíclicos**, Integerrimina e Retrorsina foram obtidos de fontes naturais como mostra a Tabela acima.

Hidrólise

A base Retronecina e o ácido Integerrinecico foram obtidos através de uma hidrólise básica (MOHANRAJ *et al.*, 1982), como mostra o Esquema 2.

Procedimento: 70 mg do AP Integerrimina foram dissolvidos em 2 mL de uma solução aquosa de NaOH 10%. Esta mistura foi deixada durante 24 horas sob agitação. Após o tempo de reação, foi realizada uma extração com clorofórmio para obtenção da base Retronecina. A

fase aquosa (água mãe) foi acidificada com HCl 0,2 N e extraída com éter etílico para obtenção do ácido, o solvente foi evaporado e a goma resultante foi cromatografada em sílica gel fase móvel ($\text{CHCl}_3:\text{MeOH}:\text{NH}_4\text{OH}$). Após purificação este foi obtido na forma de um pó branco.



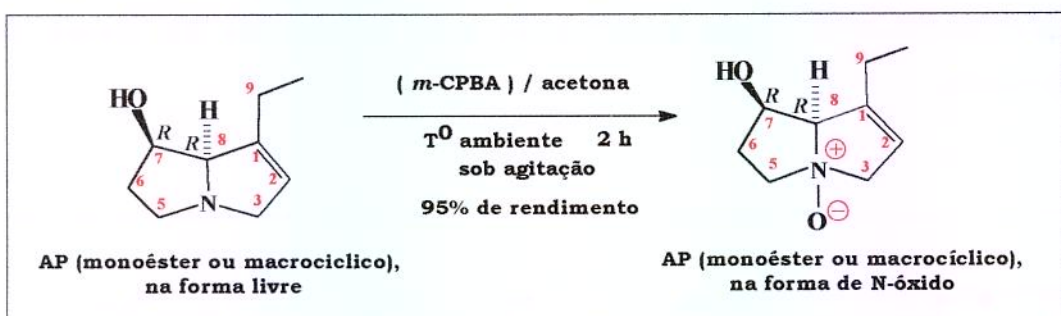
Esquema 2. Hidrólise da Integerrimina (MOHANRAJ *et al.*, 1982; MATTOCKS, 1986)

Oxidação

Os APs na forma de *N*-óxidos: Indicina *N*-óxido, Integerrimina *N*-óxido e Retrorsina *N*-óxido foram obtidos através de uma reação de oxidação com o ácido metacloroperbenzóico (OGAWA *et al.*, 1993), de acordo com o Esquema 3.

Procedimento: 52,5 mg dos APs previamente purificados foram dissolvidos em 3,2 ml de acetona ou diclorometano (CH_2Cl_2) puro e seco, com 41,1 mg de ácido metacloroperbenzóico (m-CPBA). A mistura foi deixada sob agitação a temperatura ambiente por 2 horas, a reação foi acompanhada por CCD. Passado o tempo de reação a mistura foi diretamente submetida a purificação em coluna de adsorção em sílica gel. Os compostos isolados foram submetidos

aos métodos de purificação e caracterização descritos posteriormente.



Esquema 3. Oxidação de APs (OGAWA *et al.*, 1993).

4.2.3 Métodos Analíticos para purificação e Caracterização de APs

Cromatografia em camada delgada (CCD) analítica

Amostras foram aplicadas em placas de sílica Gel 60/UV₂₅₄, 0,10mm de espessura, usando-se como fase móvel CHCl₃:MeOH:NH₄OH (83:14:3). As placas foram secas à temperatura ambiente e reveladas em câmara de iodo por 15-30 min. As manchas, reveladas, apresentaram coloração marrom. Posteriormente o iodo era sublimado a 100°C, com os APs com dupla ligação na posição 1,2 do anel apresentando uma coloração escura permanente (MATTOCKS, 1967a, 1967b).

Cromatografia de Adsorção com Coluna Flash

Para separação dos APs Integerrimina e Retrorsina, utilizamos uma coluna flash com placa sinterizada, empacotada com sílica gel 60 KornmgröÙe 0,040-0,063 mm (230-400 mesh ASTM).

Após a redução com zinco, o extrato bruto da planta *Senecio brasiliensis* foi dissolvido em 2 mL de clorofórmio, adicionado no

topo da coluna e eluido, sob pressão, inicialmente com 60 mL de clorofórmio puro seguido do gradiente CHCl₃:MeOH:NH₄OH. A separação dos compostos foi acompanhada através da CCD (placas de sílica gel GF₂₅₄), usando como eluente CHCl₃:MeOH:NH₄OH (92,5:7:0,5). As placas eram reveladas em câmara de UV (250nm) e vapor de iodo.

Cromatografia em camada delgada preparativa (CCDP)

Para purificação de APs ou separação de APs com índices de retenção muito diferentes, como foi o caso dos APs Integerrima e Retrorsina, aplicava-se a fração desejada em uma placa preparativa de sílica Gel 60/UV₂₅₄ 0,25mm (Merck). O sistema de solvente utilizado foi CHCl₃:MeOH:NH₄OH (mesma proporção) e a placa revelada com Reagente de Dragendorff que reage com compostos nitrogenados apresentando uma coloração vermelho-alaranjado. As manchas foram raspadas e extraídas com uma solução de carbonato de sódio saturada. A fase aquosa foi extraída 5 vezes com CHCl₃, a fase orgânica seca com Na₂SO₄, e evaporada a baixa pressão, originando os APs desejados.

Cromatografia de Partição

Para separação de alcalóides (com grupos 1,2 ou 1,3 dióis) diastereoisomeros, utilizamos um método descrito por MOHANRAJ *et al.* (1982); onde ele utilizava cromatografia de adsorção em coluna empacotada com alumina neutra (Al₂O₃). O extrato bruto alcaloídico, contendo uma mistura de diastereoisomeros, era adicionado no topo de uma coluna (1,5 D.I) empacotada com 100g de alumina neutra, iniciando-se a eluição com clorofórmio puro, e aumentando-se gradativamente a polaridade com metanol, de acordo a polaridade do

composto. As frações foram coletadas e analisadas em CCD, de acordo com o método descrito anteriormente.

Na purificação de APs utilizou-se cromatografia de adsorção em coluna (Silica Gel 60, 70-230 mesh) utilizando como eluente um gradiente CHCl₃:MeOH:NH₄OH entre 95:4:1 a 65:25:10, dependendo do alcalóide a ser purificado. As frações eram coletadas e analisadas em CCD conforme metodologia acima.

Cromatografia Gasosa Acoplada a Espectrometria de Massas

Os extratos e os APs puros foram analisados em um Cromatografo a gás Hewlett Packard 5890, série II, equipado com uma coluna de sílica fundida (AS-5 ou equivalente, 30m x 0,25mm) diretamente acoplada a um detector seletivo de massas Hewlett Packard 5970.

Condições de injeção:

Temperatura do injetor: 250°C

Temperatura do Detector : 280°C

Gás de arraste: He, 1 mL/min

Fluxo : 1mL/min com razão de "split" 1:100

Energia de ionização de 70 eV

Programas de temperatura: 130°C a 300°C (5 min); 4°C/min para os gêneros *Eupatorium*, *Heliotropium*, *Ageratum* e *Crotalaria*

150°C a 300°C, 4°C/min para o gênero *Senecio*

Volume da amostra: 1-2 µL.

A identificação dos APs nos diferentes extratos foi realizada através dos parâmetros de tempo de retenção (IR) calculados de acordo com van den DOOL & KRATZ (1963) e os padrões de fragmentação foram comparados com a literatura.

Para calcular o Índice de Retenção dos alcalóides as amostras foram injetadas juntamente com 1µL de n-alcanos, da série dos

hidrocarbonetos, C₁₄ - C₃₆, (van den DOOL & KRATZDE, 1963) e comparados com os dados da literatura (WITTE *et al.*, 1993; TRIGO *et al.*, 1996).

A abundância dos APs foi calculada em termos da abundância relativa (proporção entre APs na fração de alcalóides totais), a partir da integração dos cromatogramas.

Para o calcular IR (índice de retenção) foi usada a fórmula abaixo:

$$IR = \{(T_s - T_{Cn-1})(C_n - C_{n-1}) \cdot 100\} / (T_{Cn} - T_{Cn-1}) + (100 \cdot C_{n-1})\}$$

Onde:

T_s = Tempo de retenção da substância analisada

T_{Cn} = Tempo de retenção dos n-alcanos que eluem após a substância

T_{Cn-1} = Tempo de retenção dos n-alcanos que eluem antes da substância

C_n = n-alcanos que eluem após a substância

C_{n-1} = n-alcanos que eluem antes da substância

APs anteriormente isolados de plantas ou sintetizados, e identificados por TRIGO *et al.* (1993), foram utilizados como padrões. A Tabela 14 mostra alguns APs e seus respectivos IR, utilizados nas análises.

Tabela 14. Índice de Retenção (IR) de van den Dool & Kratz de APs, usados como referência.

IR	M+	APs
1425	155	Retronecina
1978	283	Supinina
1985	283	Amabilina
2126	299	Indicina
2131	299	Intermidina
2145	299	Licopsamina
2152	299	Rinderina
2172	299	Equinatina
2270	325	Monocrotalina
2294	335	Senecionina
2303	333	Senecifilina
2350	335	Integerrima

Programa de temperatura: 150-300°C, 6°C/min (coluna capilar de sílica fundida DB-1, 30m x 0,032mm) TRIGO, 1993.

Método colorimétrico

Na análise colorimétrica dos extratos de plantas contendo APs, foi empregado o método de MATTOCKS (1967b, 1968), BINGLEY (1968), modificado por BROWN (1985) e TRIGO *et al.*, (1993). Do extrato contendo os alcalóides totais (base livre + N-óxidos) foi tirada uma aliquota de 100 μ L e adicionada em tubos de ensaio com 0,5 mL do reagente de oxidação (2,5 mg de H₂O₂:Na₄P₂O₇ 30% diluído em MeOH 1:2) e aquecido por 25 minutos a 100°C . As amostras foram resfriadas a temperatura ambiente e adicionadas de 1mL de acetato de isoamila + 0,1mL de anidrido acético, em seguida os tubos de ensaio foram aquecidos por 2 minutos. As amostras foram novamente resfriadas a temperatura ambiente e tratadas com 1 mL do reagente de Ehrlich (8 mL de BF₃ metanólico 20% + 72 mL de EtOH + 1,4g de dimetilaminobenzaldeído), preparado na hora. As amostras foram aquecidas a 60°C por 5 minutos, resfriadas a temperatura ambiente e diluídas em 4 mL de acetona. A leitura da absorbância foi realizada em esctrofotometro a 561 nm. No caso dos N-óxidos, foi seguido o mesmo procedimento, eliminando a reação de oxidação.

Ressonância Magnética Nuclear

Espectros de ¹H e ¹³C foram obtidos em Espectrometro Varian Gemini 300 (300 MHz) ¹H e ¹³C (75 MHz), além de DEPT, COSY e HETCOR. Os solventes utilizados foram CDCl₃, D₂O e DMSO. O padrão utilizado para referência interna foi o TMS. Os deslocamentos químicos (δ) são dados em partes por milhão (ppm) e as constantes de acoplamento (J) em Hertz.

As atribuições de ¹³C, foram realizadas comparando-se os espectros de ¹³C desacoplado e DEPT, onde os sinais positivos, quando aplicava-se um pulso de 90° são atribuídos aos CH e quando aplica-se um pulso de 135° os picos negativos são atribuídos aos CH₂ e os positivos aos CH₃ e CH. Os picos de C# não aparecem por não apresentarem acoplamento. O sinal negativo (-) após o valor do

deslocamento, representa a inversão do sinal no espectro de ^{13}C (DEPT), quando aplica-se um pulso de 135° .

4.3 Análise Estatística

Com o objetivo de verificar se a distribuição dos APs nas espécies de *Senecio* e *Eupatorium* apresentavam um perfil de similaridade, o padrão desses APs foi analisado estatisticamente através da Análise por Agrupamento Hierárquico usando como parâmetro a medida de distância (Distância Euclidiana, método de Ward), entre as amostras (PIELON, 1984).

5. RESULTADOS E DISCUSSÃO

5. RESULTADOS E DISCUSSÃO

5.1 Identificação de APs em Plantas Brasileiras

Em vista da importância das propriedades toxicológicas dos APs e considerando que os mesmos estão presentes nas plantas na forma de misturas complexas de difícil separação, houve uma grande demanda no desenvolvimento de métodos simples que permitissem sua separação completa e rápida, e ainda uma identificação individual e inequívoca de seus componentes. Assim, várias técnicas para identificação e separação de APs em extratos de plantas têm sido descritas na literatura. Dentre as técnicas desenvolvidas a mais usada atualmente para identificação e determinação quantitativa de misturas complexas de APs tem sido baseada na Cromatografia Gasosa acoplada a Espectrometria de Massas (CG-EM).

Plantas do gênero *Senecio* (Asteraceae) são comuns em pastagens, terrenos baldios, culturas perenes, ocasionalmente anuais, sendo classificadas como plantas daninhas tóxicas (LORENZI, 1991). Algumas espécies como *Senecio brasiliensis* (Figura 22) conhecida popularmente como "maria-mole", "flor-das-almas" e "cravo-do-campo" são utilizadas na medicina caseira como vermífugo e suas folhas secas são usadas na cicatrização de feridas.



Figura 22. *Senecio brasiliensis*
(LORENZI, 1991).

Algumas espécies de *Eupatorium* (Asteraceae) são usadas na medicina caseira; entre estas podemos destacar a espécie *Eupatorium laevigatum* (Figura 23), conhecida popularmente como "cambará-falso" e "mata-pasto". Essa planta é classificada como daninha e está espalhada em todo o país, infestando principalmente, pastagens e beira de estradas (LORENZI, 1991).

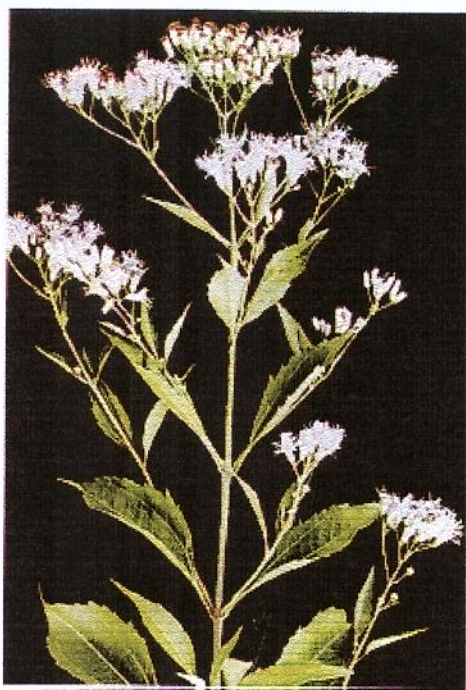


Figura 23. *Eupatorium laevigatum*
(LORENZI, 1991).

As suas folhas são reconhecidamente úteis no tratamento de feridas. O suco da folha cozida ou crua é emoliente, e usado contra febre maligna, intermitente e infecciosa.

Ageratum conyzoides (Figura 24) popularmente conhecida como "mentrasto", "picão-roxo", "erva-de-são-João" e "catinga-de-bode" é uma planta largamente disseminada em todas as regiões agrícolas do país, infestando principalmente lavouras anuais e terrenos baldios.

Em alguns países africanos o *Ageratum conyzoides* tem sido indicado pela medicina popular no tratamento de doenças mentais e diversos tipos de infecções.

Testes recentes (placa quente) foram realizados utilizando a fração solúvel em água obtida através do extrato hidroalcoólico das folhas de *A.conyzoides*, para avaliar a atividade analgésica e antiinflamatória em ratos (MAGALHÃES *et al.*, 1997). Esta atividade já havia sido comprovada, em ratos, pelos pesquisadores MENDONÇA e CARVALHO, 1996 (não publicado) usando extrato bruto etanólico (alcalóides totais) da planta toda.



Figura 24. *Ageratum conyzoides*
(LORENZI, 1991).

Além das propriedades medicinais citadas acima, o *A. conyzoides* possui ainda os seguintes usos: tônica, anti-reumática, diurética, antidisentérica, antiespasmódica, intestinal, sendo também empregada no tratamento de cólicas flatulentas e uterinas, reumatismo agudo, amenorréia, gonorréia, beribéri, pneumatooses do tubo digestivo e moléstias das vias urinárias. É usada na forma de infusão, alcoolatura (fricção), emplastro e decocto (banho), LORENZI, 1991.

Outro gênero estudado, devido a sua grande aplicação na medicina caseira foi *Heliotropium* (Boraginaceae). Dentre este destaca-se o *Heliotropium indicum* (Figura 25) e o *Heliotropium transalpinum*. O *H.indicum* é uma planta anual conhecida popularmente como "crista-de-galo", "fedegoso" e "borragem-brava", infestante muito comum em pastagens, beira de estradas e terrenos baldios, (LORENZI, 1991). É usada como desobstruente, anti-hemorroidal, diurética, peitoral e também no tratamento de feridas, úlceras, queimaduras, rouquidão, deslocamentos uterinos, dor-de-

cadeira e leucorréia membranosa. O suco da planta é empregado como cicatrizante, sendo útil para aftas, ulcerações da garganta e da faringe, estomatites e furúnculos (LORENZI, 1991).



Figura 24. *Heliotropium indicum*
(LORENZI, 1991).

A planta *Heliotropium transalpinum* é conhecida popularmente como "Bico-de-corvo". O suco ou a infusão de suas folhas são considerados diuréticos, empregados como cicatrizantes e no tratamento de ulcerações.

Do gênero *Crotalaria* (Leguminosae), foram estudadas três espécies: *Crotalaria spectabilis*, *Crotalaria lanceolata* (Figura 26) e *Crotalaria juncea*. As espécies deste gênero são conhecidas popularmente como "guizo-de-cascavel", "chocalho-de-cascavel", "xique-xique" e "feijão de guizos". São plantas daninhas freqüentes em pastagens e beira de estrada.



Figura 26. *Crotalaria lanceolata* e *Crotalaria spectabilis* (LORENZI, 1991).

A *Crotalaria lanceolata* é originária da África e foi introduzida no Brasil como adubo verde e hoje se encontra espalhada em quase todas as regiões do país (LORENZI, 1991).

5.1.1 Identificação de APs em espécies de *Senecio*

Os APs encontrados nas espécies analisadas foram agrupados em Tipos ou Subtipos, com adaptação baseada na classificação de HARTMANN & WITTE (1995). As principais estruturas identificadas estão mostradas na Figura 27.

A análise empregando o método de Análise por Agrupamento Hierárquico {(AAH) PIELON, 1984}, foi realizado com base nos dados obtidos (Tabela 15 e 16), da análise por cromatografia gasosa-espectrometria de massas por impacto de elétrons, com o tempo de retenção, massa molecular e abundância relativa, em inflorescências de 23 espécies de *Senecio*.

Com o resultado daquela análise estatística, foi possível relacionar as espécies de *Senecio* mais semelhantes ou idênticas foram agrupadas. Cada espécie foi representada como um ponto no espaço de m variáveis (APs). O parâmetro usado neste processo foi a medida de distância entre as amostras. Essas distâncias podem ser visualizadas através de um diagrama bidimensional denominado Dendograma (Figura 28), que indica, por proximidade, as espécies mais semelhantes entre si. Isto é, quanto menor a distância entre os pontos, maior será a semelhança entre as mesmas. Para proceder à AAH há várias medidas para a distância entre as amostras, e neste caso, foi utilizada a Distância Euclidiana-Método de Ward. No Dendograma a escala varia de um (amostras idênticas) a zero (amostras sem similaridade).

Os APs, agrupados em **Tipos** e **Subtipos** conforme mostrado na Tabela 15, foram classificados em três grupos: **Tipo Senecionina (A)**, com diésteres macrocíclicos 1,2-insaturados {p.e. **Senecionina [A1]**}; **Tipo Platifilina (A2)** com alcalóides macrocíclicos saturados; **Tipo Triangularina**, com monoésteres saturados **B1** (9-O-Senecionilplatinecina) e **B2** (7-O-Senecionilplatinecina) ou monoésteres 1,2-insaturados **B3** (9-O-Senecionilretronecina) e **B4** (7-O-Senecionilretronecina).

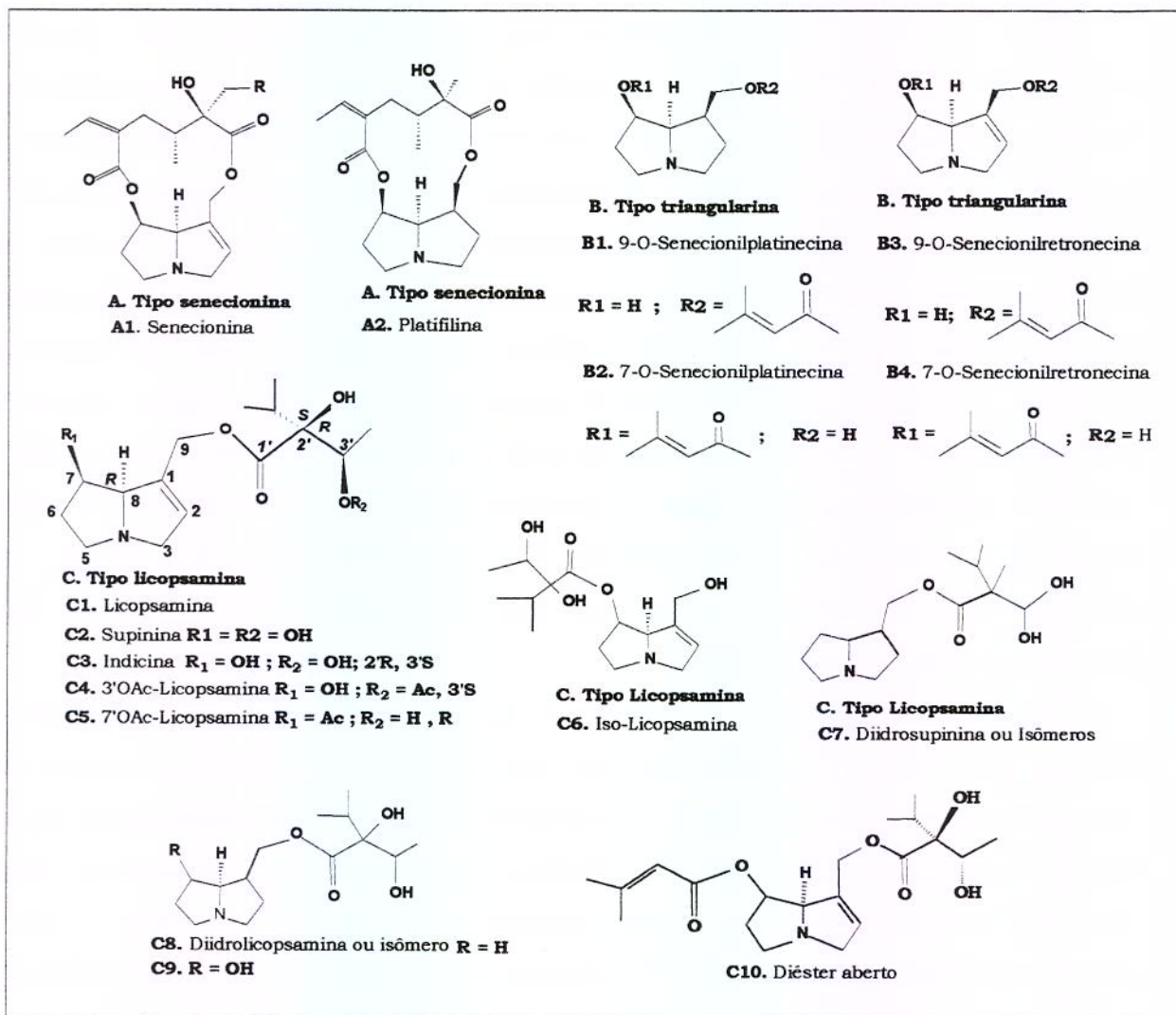


Figura 27. Alcalóides presentes nas espécies estudadas (adaptado da classificação de HARTMANN & WITTE, 1995)

De acordo com o resultado da análise estatística (Gráfico da Figura 28) observamos dois grupos, de espécies de *Senecio*, bem definidos:

No **1º grupo** os APs mais comuns foram os macrocíclicos insaturados do **Tipo Senecionina** (**A1**), englobando cinco espécies pertencentes a Seção *Corymbosi* (CB), quatro pertencentes a Seção *Hualtatini* (H), duas pertencentes a seção *Adamantina* (A) e uma espécie pertencente a seção *Cacaliastrum* (C).

O **2º grupo** englobando as espécies *S.conyzifolius* (Seção CB), *S.leptoschizus* (Seção CB), *S.paulensis* (Seção CB), *S.icoglossus* (Seção

H), *S.juergensii* (Seção H), *S.pulcher* (Seção H) e *S.crassiflorus* (Seção S) apresentaram APs macrocíclicos saturados do **Tipo Platifilina (A2)**, Figura 27.

Na espécie *S.platensis* (Seção CB) foi identificada uma mistura de APs dos **Tipos A1 e A2**, com abundâncias relativas de 52,2 e 47,8%, respectivamente.

A espécie *S.desiderabilis* (Seção S) apresentou uma mistura de APs do **Tipo Triangularina (B)**, **Subtipos B1- Senecionilplatinecina** (base necina saturada) e **B3- Senecionilretronecina** (base necina insaturada) como mostrado na Figura 27.

Podemos observar que a espécie *S.pellucidinervis* (Seção CB) apresentou uma mistura de APs do **Tipo A2, B1 e B3**, sendo que praticamente todos estão na mesma proporção.

As espécies *S.glaziovii* (Seção Tomentecio), *S.grosidens* (Seção Hualtatini), *S.macrotis* (Seção Cacaliastrum) e *S.oxyphyllus* (Seção Corymbosi), apresentaram APs na forma de traços, sendo impossível o cálculo de suas abundâncias relativas, uma vez que suas áreas não foram registradas.

Nas espécies *S.erisithalifolius* (Seção H) e *S.hemmendorffii* (Seção Paranaia), não foi detectado nenhum tipo de AP.

A Seção Corimbosi se destacou por apresentar um maior número de espécies (doze) com APs Tipos variados de APs, sendo que seis espécies apresentaram apenas APs do **Tipo Senecionina**.

Na Seção Hualtatini, as espécies apresentaram APs dos **Tipos A1 e A2**.

Dentre as espécies de *Senecio* estudadas, a *S.pellucidinervis* (Seção CB) foi a que apresentou uma maior variedade de APs: **Tipo Platifilina (A2)**, **Tipo Supinina (9-Senecionilplatinecina B1** e **9-Senecionilretronecina B3**).

De acordo com os resultados da análise estatística AAH (Distância Euclidiana, Método de Ward), foi possível verificado que os APs foram relevantes para estabelecer uma diferença e uma similaridade entre as espécies de *Senecio* estudadas, mostrando também que estes APs são consistente como marcadores químicos servindo à proposta da divisão deste gênero em seções (HIND, 1993).

Tabela 15. Cromatografia gasosa-espectrometria de massas de espécies de *Senecio*. Índice de retenção (IR) de VAN DER DOOL & KRATZ , massa molecular (M+) e abundância relativa (%).

Typo	Sub-tipo	IR	M+	*rada	ape	arg	ben	brac	bras	com	ora	des	ico	itá	jur	lep	ole	pau	pel	pla	plu	pul	sti	ver
*B	*B3	1757	237	-	-	-	-	-	-	-	-	-	-	-	-	-	-	-	-	-	-	-	-	
B	B3	1827	237	-	-	-	-	-	-	-	-	-	-	-	-	-	-	-	-	-	-	-	-	
B	B1	1852	239	-	-	-	-	-	-	-	-	-	-	-	-	-	-	-	-	-	-	-	-	
B	B1	1962	239	-	-	-	-	-	-	-	-	49,3	-	-	-	-	-	-	-	-	-	-	-	
*A	*A1	2303	335	-	-	-	-	-	-	7,2	-	-	-	-	-	-	-	-	-	-	-	-	-	
A	A1	2363	335	***20,3	-	22,3	-	-	-	-	-	-	-	-	-	-	-	-	-	-	-	-	-	
A	A1	2367	335	-	-	-	75,5	-	-	-	-	-	-	-	-	-	-	-	-	-	-	-	-	
A	A1	2380	335	-	-	-	67,2	-	-	-	-	-	-	-	-	-	-	-	-	-	-	-	-	
A	A1	2452	351	-	-	13,2	-	-	-	-	-	-	-	-	-	-	-	-	-	-	-	-	33,4	
A	A2	2480	337	-	-	-	-	-	-	100	-	-	-	-	-	-	-	-	-	-	-	-	-	
A	A1	2500	351	-	-	-	-	-	-	-	-	-	-	-	-	-	-	-	-	-	-	-	66,6	
A	A2	2502	353	-	-	-	-	-	-	-	-	-	-	-	-	29,9	-	-	-	-	-	-	-	
A	A2	2517	353	19,4	-	15,0	17,1	-	-	-	-	-	-	-	-	53,1	-	36,4	-	85,6	-	-	-	
A	A2	2521	353	-	-	-	-	-	-	-	-	-	-	-	-	38,4	-	-	-	-	-	-	-	
A	A2	2528	353	-	-	-	-	-	-	100	-	-	-	-	-	100	-	-	-	-	-	-	-	
A	A2	2531	353	-	-	-	-	-	-	-	-	-	-	-	-	91,1	-	-	-	-	-	-	-	
A	A1	2536	351	60,3	30,6	-	49,3	-	20,0	-	-	-	-	-	-	-	-	-	-	-	-	-	-	
A	A1	2542	?	-	-	42,3	-	-	-	-	-	-	-	-	-	-	-	-	-	-	-	-	-	
A	A1	2553	351	-	-	-	-	69,3	-	-	-	-	-	-	-	79,6	-	-	-	11,4	-	-	87,1	
A	A1	2564	351	-	13,0	-	-	-	-	-	-	-	-	-	-	-	-	-	-	-	-	-	4,2	
A	A2	2570	353	-	-	-	-	-	-	-	-	8,9	-	-	-	-	-	-	-	-	-	-	14,4	
A	A1	2582	351	-	-	-	-	23,5	-	-	-	-	-	-	-	-	-	-	-	-	-	-	-	
A	A2	2588	353	-	-	-	-	-	-	-	-	-	-	-	-	-	-	-	-	-	-	-	-	
A	A1	2590	393	-	-	-	-	-	-	-	-	-	-	-	-	100	-	-	-	-	-	-	-	
A	A1	2596	351	-	-	20,4	-	-	5,6	-	-	-	-	-	-	-	-	-	-	-	-	-	-	
A	A1	2599	397	-	24,6	7,4	-	24,5	-	-	-	-	-	-	-	-	-	-	-	-	-	-	5,4	
A	A1	2607	351	-	-	-	-	-	-	-	-	-	-	-	-	-	-	-	-	-	-	-	3,3	
A	A1	2615	351	-	-	-	-	-	-	7,2	-	-	-	-	-	-	-	-	-	-	-	-	-	
A	A1	2634	351	-	44,8	-	-	-	-	-	-	-	-	-	-	-	-	-	-	-	-	-	-	
-	-	-	-	100	100	100	100	100	100	100	100	100	100	100	100	100	100	100	100	100	100	100	100	

* - Estruturas mostradas na Figura 27

** - Iniciais dos nomes das Espécies de *Senecio*

*** - Abundância Relativa

A Tabela abaixo mostra as espécies de *Senecio* que foram agrupadas de acordo com a classe de APs a que pertenciam, utilizando os dados da Tabela 15.

Tabela 16. Tipos e Subtipos de APs encontrados em espécies de APs *Senecio* e a abundância relativa (%)

Tipos	Sub-tipo	***ada	ape	arg	ben	brac	bred	bras	con	ora	des	ico	ita	Jur	lep	ole	pau	pel	pla	plu	pul	sti	ver
*B	*B1	-	-	-	-	-	-	-	-	-	-	49,3	-	-	-	-	-	30,4	-	-	-	-	
B	B3	-	-	-	-	-	-	-	-	-	-	50,7	-	-	-	-	-	31,2	-	-	-	-	
*A	*A1	***80,6	100	85,0	82,9	100	100	100	-	-	-	100	-	-	79,6	17,0	-	52,2	100	-	100	100	
A	A2	19,4	-	15,0	17,1	-	-	100	100	-	100	-	100	100	20,4	83,0	38,4	47,8	-	100	-	-	
-	-	100	100	100	100	100	100	100	100	100	100	100	100	100	100	100	100	100	100	100	100	100	

* - Estruturas mostradas na Figura 27

** - Iniciais dos nomes das Espécies de *Senecio*

*** - Abundância relativa

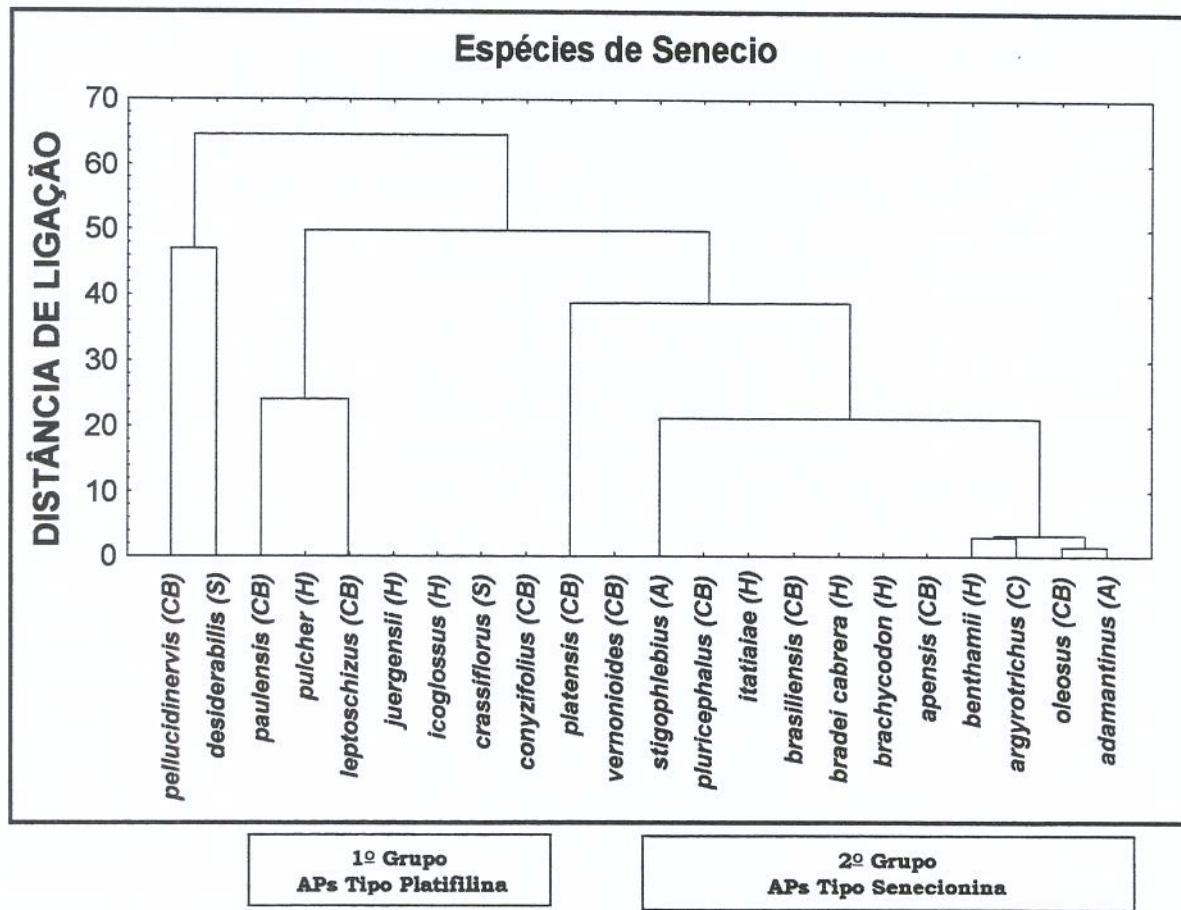


Figura 28. Dendrograma da análise de agrupamento de 22 espécies de *Senecio* e os Tipos APs, encontrados.

A Tabela 17 apresenta os padrões de fragmentação de espectrometria de massas de impacto de elétrons (EM-IE) dos APs encontrados nas espécies do gêneros *Senecio* e *Eupatorium*.

O cromatograma de ions totais (CIT) e os respectivos espectros de massas dos APs presentes nos extratos de duas espécies de *Senecio* estão apresentados, como exemplo, nas Figuras 29 e 30.

Tabela 17. Fragmentação por impacto de elétrons (EM/IE) dos APs encontrados nas espécies de *Senecio* e *Eupatorium* (TRIGO, 1993 e TRIGO et al. 1996).

APs	m/z (abundância relativa, %)
	Impacto de elétrons
Retronecina	[M]+ 155 (18), 111 (52), 94 (16), 80 (100)
Tipo Triangularina (B1)	[M]+ 237 (40), 218 (<1), 154 (4), 138 (2), 137 (24), 136 (15), 124 (92), 111 (33), 106 (38), 94 (20), 83 (23), 80 (100), 68 (8), 55 (16), 53 (9).
Tipo Triangularina (B2)	[M]+ 237 (1), 219 (<1), 193 (3), 155 (9), 154 (90, 139 (1), 138 (16), 137 (21), 136 (12), 126 (8), 120 (2), 108 (4), 94 (22), 93 (100), 92 (4), 83 (18), 80 (16), 67 (6), 55 (12), 53 (3)
Tipo Licopsamina (C1)	[M]+ 299 (<1), 255 (<1), 254 (<1), 236 (6), 156 (7), 139 (35), 138 (97), 120 (9), 108 (3), 94 (63), 93 (100) 80 (18), 67 (13), 53 (8), 43 (30).
Iso- Licopsamina (C6)	[M]+ 299 (5), 281 (7), 248 (4), 236 (6), 156 (46), 138 (52), 120 (51), 111 (65), 108 (40), 106 (55), 94 (35), 80 (100), 68 (15), 43 (70).
Tipo Licopsamina (C4)	[M]+ 341 (20), 326 (1), 298 (10), 255 (25), 254 (15), 181 (6), 156 (3), 139 (18), 138 (100), 137 911), 136 (12), 120 (10), 108 (3), 99 (7), 93 (81), 80 (12), 67 (10), 53 (5), 43 (38).
Tipo Supinina (C2)	[M]+ 283 (<1), 268 (<1), 239 (<1), 140 (7), 123 (26), 122 (100), 121 (36), 120 (45), 108 (14), 93 (20), 80 (11), 70 (10), 53 (9), 43 (21).
Diidrollicopsamina (C8)	[M]+ 285 (<1), 267 (3), 252 (2), 241 (1), 240 (3), 226 (1), 142 (51), 124 (100), 83 (26), 70 (9), 55 (23), 43 (16).
Monocrotalina	[M]+ 325 (<1), 282 (<1), 239 (3), 140 (3), 123 (20), 122 (100), 121 (40), 120 (48), 108 (12), 93 (20), 80 (9), 70 (8), 53 (6), 43 (25).
Diidrollicopsamina (C9)	[M]+ 301 (ausente), [M]+-H ₂ O 283 (3), 268 (3), 258 (1), 257 (2), 256 (3), 240 (6), 158 (75), 140 (35), 120 (12), 122 (14), 114 (20), 97 (21), 96 (34), 95 (51), 82 (100), 70 (6), 69 (6), 55 (13).
Tipo Triangularina (B3)	[M]+ 239 (<1), 156 (57), 139 (86), 113 (15), 108 (10), 83 (15), 82 (100), 55 (15).
Tipo Triangularina (B4)	[M]+ 239 (5), 221 (10), 156 (2), 140 (10), 122 (11), 96 (40), 95 (100), 83 (10), 82 (90), 55 (20).
Tipo Platifilina (A2)	[M]+ 353 (2), 324 (0,3) 282 (1), 242 (1), 227 (25), 180 (1), 154 (51), 138 (100), 122 (20), 82 (39), 43 (39).
Tipo Senencionina (A1)	[M]+ 351 (ausente), 246 (8), 220 (20), 138 (30), 137 (18), 136 (98), 121 (30), 120 (100), 119 (84), 95 (38), 94 (58), 93 (70), 80 (20), 67 (10), 55 (12), 53 (15).

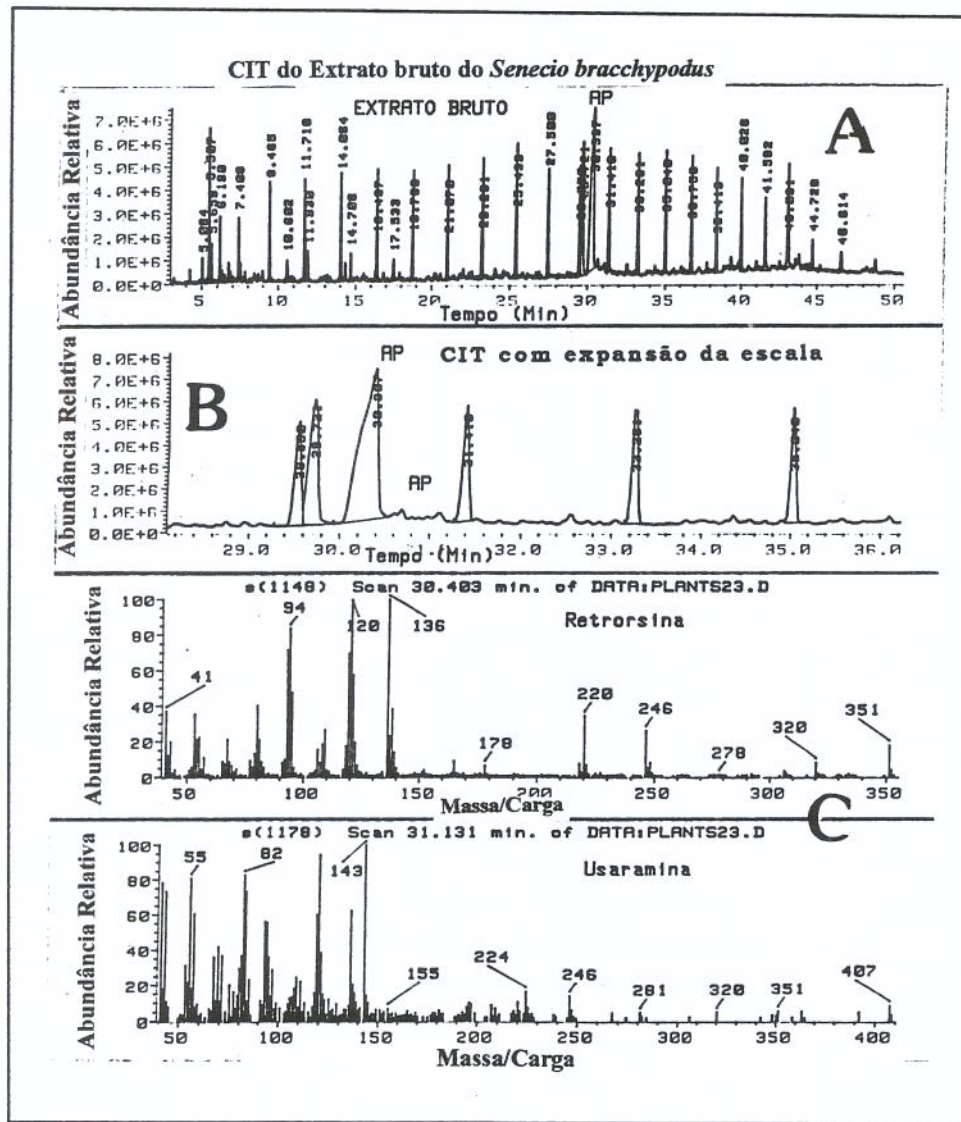


Figura 29. Cromatograma (A) de íons totais (CIT) do extrato bruto metanolico das inflorescências da espécie: *Senecio brachypodus* e EM-IE (*B e C) dos APs identificados.

* CIT com expansão da escala

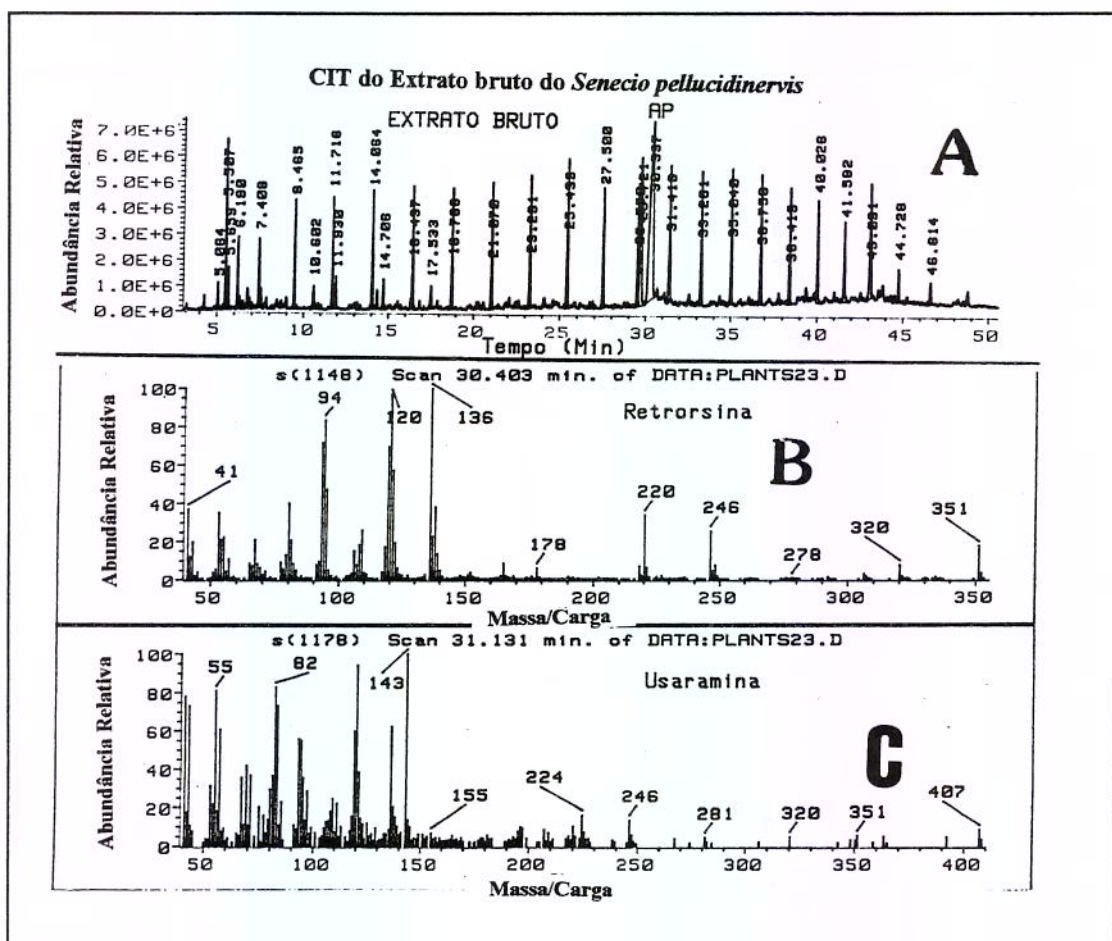


Figura 30. Cromatograma (A) de íons totais (CIT) do extrato bruto metanólico extrato metanólico das inflorescências da espécie: *Senecio pellucidinervis* e EM-IE (B e C) dos APs identificados.

5.1.2 Identificação de APs em espécies de *Eupatorium*

Da mesma forma que para o *Senecio*, foram realizadas análises estatísticas AAH (PIELON, 1984) em inflorescências de 87 espécies de *Eupatorium*, a partir dos dados de abundância relativas obtidos nas análises por cromatografia gasosa acoplada a espectrometria de massas, como mostrado nas Tabelas 18 e 19.

Tabela 18. Cromatografia gasosa-espectrometria de massas de espécies de *Eupatorium*. Índice de retenção (IR) de VAN DER DOOL & KRAUTZ, massa molecular (M+) e os valores de abundância relativa (%).

Item	Sub-índice	H	M₁	M₂	M₃	M₄	M₅	M₆	M₇	M₈	M₉	M₁₀	M₁₁	M₁₂	M₁₃	M₁₄	M₁₅	M₁₆	M₁₇	M₁₈	M₁₉	M₂₀	M₂₁	M₂₂	M₂₃	M₂₄	M₂₅	M₂₆	M₂₇	M₂₈	M₂₉	M₃₀	M₃₁	M₃₂	M₃₃	M₃₄	M₃₅	M₃₆	M₃₇	M₃₈	M₃₉	M₄₀	M₄₁	M₄₂	M₄₃	M₄₄	M₄₅	M₄₆	M₄₇	M₄₈	M₄₉	M₅₀	M₅₁	M₅₂	M₅₃	M₅₄	M₅₅	M₅₆	M₅₇	M₅₈	M₅₉	M₆₀	M₆₁	M₆₂	M₆₃	M₆₄	M₆₅	M₆₆	M₆₇	M₆₈	M₆₉	M₇₀	M₇₁	M₇₂	M₇₃	M₇₄	M₇₅	M₇₆	M₇₇	M₇₈	M₇₉	M₈₀	M₈₁	M₈₂	M₈₃	M₈₄	M₈₅	M₈₆	M₈₇	M₈₈	M₈₉	M₉₀	M₉₁	M₉₂	M₉₃	M₉₄	M₉₅	M₉₆	M₉₇	M₉₈	M₉₉	M₁₀₀	M₁₀₁	M₁₀₂	M₁₀₃	M₁₀₄	M₁₀₅	M₁₀₆	M₁₀₇	M₁₀₈	M₁₀₉	M₁₁₀	M₁₁₁	M₁₁₂	M₁₁₃	M₁₁₄	M₁₁₅	M₁₁₆	M₁₁₇	M₁₁₈	M₁₁₉	M₁₂₀	M₁₂₁	M₁₂₂	M₁₂₃	M₁₂₄	M₁₂₅	M₁₂₆	M₁₂₇	M₁₂₈	M₁₂₉	M₁₃₀	M₁₃₁	M₁₃₂	M₁₃₃	M₁₃₄	M₁₃₅	M₁₃₆	M₁₃₇	M₁₃₈	M₁₃₉	M₁₄₀	M₁₄₁	M₁₄₂	M₁₄₃	M₁₄₄	M₁₄₅	M₁₄₆	M₁₄₇	M₁₄₈	M₁₄₉	M₁₅₀	M₁₅₁	M₁₅₂	M₁₅₃	M₁₅₄	M₁₅₅	M₁₅₆	M₁₅₇	M₁₅₈	M₁₅₉	M₁₆₀	M₁₆₁	M₁₆₂	M₁₆₃	M₁₆₄	M₁₆₅	M₁₆₆	M₁₆₇	M₁₆₈	M₁₆₉	M₁₇₀	M₁₇₁	M₁₇₂	M₁₇₃	M₁₇₄	M₁₇₅	M₁₇₆	M₁₇₇	M₁₇₈	M₁₇₉	M₁₈₀	M₁₈₁	M₁₈₂	M₁₈₃	M₁₈₄	M₁₈₅	M₁₈₆	M₁₈₇	M₁₈₈	M₁₈₉	M₁₉₀	M₁₉₁	M₁₉₂	M₁₉₃	M₁₉₄	M₁₉₅	M₁₉₆	M₁₉₇	M₁₉₈	M₁₉₉	M₂₀₀	M₂₀₁	M₂₀₂	M₂₀₃	M₂₀₄	M₂₀₅	M₂₀₆	M₂₀₇	M₂₀₈	M₂₀₉	M₂₁₀	M₂₁₁	M₂₁₂	M₂₁₃	M₂₁₄	M₂₁₅	M₂₁₆	M₂₁₇	M₂₁₈	M₂₁₉	M₂₂₀	M₂₂₁	M₂₂₂	M₂₂₃	M₂₂₄	M₂₂₅	M₂₂₆	M₂₂₇	M₂₂₈	M₂₂₉	M₂₃₀	M₂₃₁	M₂₃₂	M₂₃₃	M₂₃₄	M₂₃₅	M₂₃₆	M₂₃₇	M₂₃₈	M₂₃₉	M₂₄₀	M₂₄₁	M₂₄₂	M₂₄₃	M₂₄₄	M₂₄₅	M₂₄₆	M₂₄₇	M₂₄₈	M₂₄₉	M₂₅₀	M₂₅₁	M₂₅₂	M₂₅₃	M₂₅₄	M₂₅₅	M₂₅₆	M₂₅₇	M₂₅₈	M₂₅₉	M₂₆₀	M₂₆₁	M₂₆₂	M₂₆₃	M₂₆₄	M₂₆₅	M₂₆₆	M₂₆₇	M₂₆₈	M₂₆₉	M₂₇₀	M₂₇₁	M₂₇₂	M₂₇₃	M₂₇₄	M₂₇₅	M₂₇₆	M₂₇₇	M₂₇₈	M₂₇₉	M₂₈₀	M₂₈₁	M₂₈₂	M₂₈₃	M₂₈₄	M₂₈₅	M₂₈₆	M₂₈₇	M₂₈₈	M₂₈₉	M₂₉₀	M₂₉₁	M₂₉₂	M₂₉₃	M₂₉₄	M₂₉₅	M₂₉₆	M₂₉₇	M₂₉₈	M₂₉₉	M₃₀₀	M₃₀₁	M₃₀₂	M₃₀₃	M₃₀₄	M₃₀₅	M₃₀₆	M₃₀₇	M₃₀₈	M₃₀₉	M₃₁₀	M₃₁₁	M₃₁₂	M₃₁₃	M₃₁₄	M₃₁₅	M₃₁₆	M₃₁₇	M₃₁₈	M₃₁₉	M₃₂₀	M₃₂₁	M₃₂₂	M₃₂₃	M₃₂₄	M₃₂₅	M₃₂₆	M₃₂₇	M₃₂₈	M₃₂₉	M₃₃₀	M₃₃₁	M₃₃₂	M₃₃₃	M₃₃₄	M₃₃₅	M₃₃₆	M₃₃₇	M₃₃₈	M₃₃₉	M₃₄₀	M₃₄₁	M₃₄₂	M₃₄₃	M₃₄₄	M₃₄₅	M₃₄₆	M₃₄₇	M₃₄₈	M₃₄₉	M₃₅₀	M₃₅₁	M₃₅₂	M₃₅₃	M₃₅₄	M₃₅₅	M₃₅₆	M₃₅₇	M₃₅₈	M₃₅₉	M₃₆₀	M₃₆₁	M₃₆₂	M₃₆₃	M₃₆₄	M₃₆₅	M₃₆₆	M₃₆₇	M₃₆₈	M₃₆₉	M₃₇₀	M₃₇₁	M₃₇₂	M₃₇₃	M₃₇₄	M₃₇₅	M₃₇₆	M₃₇₇	M₃₇₈	M₃₇₉	M₃₈₀	M₃₈₁	M₃₈₂	M₃₈₃	M₃₈₄	M₃₈₅	M₃₈₆	M₃₈₇	M₃₈₈	M₃₈₉	M₃₉₀	M₃₉₁	M₃₉₂	M₃₉₃	M₃₉₄	M₃₉₅	M₃₉₆	M₃₉₇	M₃₉₈	M₃₉₉	M₄₀₀	M₄₀₁	M₄₀₂	M₄₀₃	M₄₀₄	M₄₀₅	M₄₀₆	M₄₀₇	M₄₀₈	M₄₀₉	M₄₁₀	M₄₁₁	M₄₁₂	M₄₁₃	M₄₁₄	M₄₁₅	M₄₁₆	M₄₁₇	M₄₁₈	M₄₁₉	M₄₂₀	M₄₂₁	M₄₂₂	M₄₂₃	M₄₂₄	M₄₂₅	M₄₂₆	M₄₂₇	M₄₂₈	M₄₂₉	M₄₃₀	M₄₃₁	M₄₃₂	M₄₃₃	M₄₃₄	M₄₃₅	M₄₃₆	M₄₃₇	M₄₃₈	M₄₃₉	M₄₄₀	M₄₄₁	M₄₄₂	M₄₄₃	M₄₄₄	M₄₄₅	M₄₄₆	M₄₄₇	M₄₄₈	M₄₄₉	M₄₅₀	M₄₅₁	M₄₅₂	M₄₅₃	M₄₅₄	M₄₅₅	M₄₅₆	M₄₅₇	M₄₅₈	M₄₅₉	M₄₆₀	M₄₆₁	M₄₆₂	M₄₆₃	M₄₆₄	M₄₆₅	M₄₆₆	M₄₆₇	M₄₆₈	M₄₆₉	M₄₇₀	M₄₇₁	M₄₇₂	M₄₇₃	M₄₇₄	M₄₇₅	M₄₇₆	M₄₇₇	M₄₇₈	M₄₇₉	M₄₈₀	M₄₈₁	M₄₈₂	M₄₈₃	M₄₈₄	M₄₈₅	M₄₈₆	M₄₈₇	M₄₈₈	M₄₈₉	M₄₉₀	M₄₉₁	M₄₉₂	M₄₉₃	M₄₉₄	M₄₉₅	M₄₉₆	M₄₉₇	M₄₉₈	M₄₉₉	M₅₀₀	M₅₀₁	M₅₀₂	M₅₀₃	M₅₀₄	M₅₀₅	M₅₀₆	M₅₀₇	M₅₀₈	M₅₀₉	M₅₁₀	M₅₁₁	M₅₁₂	M₅₁₃	M₅₁₄	M₅₁₅	M₅₁₆	M₅₁₇	M₅₁₈	M₅₁₉	M₅₂₀	M₅₂₁	M₅₂₂	M₅₂₃	M₅₂₄	M₅₂₅	M₅₂₆	M₅₂₇	M₅₂₈	M₅₂₉	M₅₃₀	M₅₃₁	M₅₃₂	M₅₃₃	M₅₃₄	M₅₃₅	M₅₃₆	M₅₃₇	M₅₃₈	M₅₃₉	M₅₄₀	M₅₄₁	M₅₄₂	M₅₄₃	M₅₄₄	M₅₄₅	M₅₄₆	M₅₄₇	M₅₄₈	M₅₄₉	M₅₅₀	M₅₅₁	M₅₅₂	M₅₅₃	M₅₅₄	M₅₅₅	M₅₅₆	M₅₅₇	M₅₅₈	M₅₅₉	M₅₆₀	M₅₆₁	M₅₆₂	M₅₆₃	M₅₆₄	M₅₆₅	M₅₆₆	M₅₆₇	M₅₆₈	M₅₆₉	M₅₇₀	M₅₇₁	M₅₇₂	M₅₇₃	M₅₇₄	M₅₇₅	M₅₇₆	M₅₇₇	M₅₇₈	M₅₇₉	M₅₈₀	M₅₈₁	M₅₈₂	M₅₈₃	M₅₈₄	M₅₈₅	M₅₈₆	M₅₈₇	M₅₈₈	M₅₈₉	M₅₉₀	M₅₉₁	M₅₉₂	M₅₉₃	M₅₉₄	M₅₉₅	M₅₉₆	M₅₉₇	M₅₉₈	M₅₉₉	M₆₀₀	M₆₀₁	M₆₀₂	M₆₀₃	M₆₀₄	M₆₀₅	M₆₀₆	M₆₀₇	M₆₀₈	M₆₀₉	M₆₁₀	M₆₁₁	M₆₁₂	M₆₁₃	M₆₁₄	M₆₁₅	M₆₁₆	M₆₁₇	M₆₁₈	M₆₁₉	M₆₂₀	M₆₂₁	M₆₂₂	M₆₂₃	M₆₂₄	M₆₂₅	M₆₂₆	M₆₂₇	M₆₂₈	M₆₂₉	M₆₃₀	M₆₃₁	M₆₃₂	M₆₃₃	M₆₃₄	M₆₃₅	M₆₃₆	M₆₃₇	M₆₃₈	M₆₃₉	M₆₄₀	M₆₄₁	M₆₄₂	M₆₄₃	M₆₄₄	M₆₄₅	M₆₄₆	M₆₄₇	M₆₄₈	M₆₄₉	M₆₅₀	M₆₅₁	M₆₅₂	M₆₅₃	M₆₅₄	M₆₅₅	M₆₅₆	M₆₅₇	M₆₅₈	M₆₅₉	M₆₆₀	M₆₆₁	M₆₆₂	M₆₆₃	M₆₆₄	M₆₆₅	M₆₆₆	M₆₆₇	M₆₆₈	M₆₆₉	M₆₇₀	M₆₇₁	M₆₇₂	M₆₇₃	M₆₇₄	M₆₇₅	M₆₇₆	M₆₇₇	M₆₇₈	M₆₇₉	M₆₈₀	M₆₈₁	M₆₈₂	M₆₈₃	M₆₈₄	M₆₈₅	M₆₈₆	M₆₈₇	M₆₈₈	M₆₈₉	M₆₉₀	M₆₉₁	M₆₉₂	M₆₉₃	M₆₉₄	M₆₉₅	M₆₉₆	M₆₉₇	M₆₉₈	M₆₉₉	M₇₀₀	M₇₀₁	M₇₀₂	M₇₀₃	M₇₀₄	M₇₀₅	M₇₀₆	M₇₀₇	M₇₀₈	M₇₀₉	M₇₁₀	M₇₁₁	M₇₁₂	M₇₁₃	M₇₁₄	M₇₁₅	M₇₁₆	M₇₁₇	M₇₁₈	M₇₁₉	M₇₂₀	M₇₂₁	M₇₂₂	M₇₂₃	M₇₂₄	M₇₂₅	M₇₂₆	M₇₂₇	M₇₂₈	M₇₂₉	M₇₃₀	M₇₃₁	M₇₃₂	M₇₃₃	M₇₃₄	M₇₃₅	M₇₃₆	M₇₃₇	M₇₃₈	M₇₃₉	M₇₄₀	M₇₄₁	M₇₄₂	M₇₄₃	M₇₄₄	M₇₄₅	M₇₄₆	M₇₄₇	M₇₄₈	M₇₄₉	M₇₅₀	M₇₅₁	M₇₅₂	M₇₅₃	M₇₅₄	M₇₅₅	M₇₅₆	M₇₅₇	M₇₅₈	M₇₅₉	M₇₆₀	M₇₆₁	M₇₆₂	M₇₆₃	M₇₆₄	M₇₆₅	M₇₆₆	M₇₆₇	M₇₆₈	M₇₆₉	M₇₇₀	M₇₇₁	M₇₇₂	M₇₇₃	M₇₇₄	M₇₇₅	M₇₇₆	M₇₇₇	M₇₇₈	M₇₇₉	M₇₈₀	M₇₈₁	M₇₈₂	M₇₈₃	M₇₈₄	M₇₈₅	M₇₈₆	M₇₈₇	M₇₈₈	M₇₈₉	M₇₉₀	M₇₉₁	M₇₉₂	M₇₉₃	M₇₉₄	M₇₉₅	M₇₉₆	M₇₉₇	M₇₉₈	M₇₉₉	M₈₀₀	M₈₀₁	M₈₀₂	M₈₀₃	M₈₀₄	M₈₀₅	M₈₀₆	M₈₀₇	M₈₀₈	M₈₀₉	M₈₁₀	M₈₁₁	M₈₁₂	M₈₁₃	M₈₁₄	M₈₁₅	M₈₁₆	M₈₁₇	M₈₁₈	M₈₁₉	M₈₂₀	M₈₂₁	M₈₂₂	M₈₂₃	M₈₂₄	M₈₂₅	M₈₂₆	M₈₂₇	M₈₂₈	M₈₂₉	M₈₃₀	M₈₃₁	M₈₃₂	M₈₃₃	M₈₃₄	M₈₃₅	M₈₃₆	M₈₃₇	M₈₃₈	M₈₃₉	M₈₄₀	M₈₄₁	M₈₄₂	M₈₄₃	M₈₄₄	M₈₄₅	M₈₄₆	M₈₄₇	M₈₄₈	M₈₄₉	M₈₅₀	M₈₅₁	M₈₅₂	M₈₅₃	M₈₅₄	M₈₅₅	M₈₅₆	M₈₅₇	M₈₅₈	M₈₅₉	M₈₆₀	M₈₆₁	M₈₆₂	M₈₆₃	M₈₆₄	M₈₆₅	M₈₆₆	M₈₆₇	M₈₆₈	M₈₆₉	M₈₇₀	M₈₇₁	M₈₇₂	M₈₇₃	M₈₇₄	M₈₇₅	M₈₇₆	M₈₇₇	M₈₇₈	M₈₇₉	M₈₈₀	M₈₈₁	M₈₈₂	M₈₈₃	M₈₈₄	M₈₈₅	M₈₈₆	M₈₈₇	M₈₈₈	M_{889</}

A Tabela 19 mostra as espécies de *Eupatorium* que foram agrupadas de acordo com a classe de APs a que pertenciam utilizando os dados da Tabela 18.

Tabela 19. Tipos e Subtipos de APs encontrados em espécies de *Eupatorium* e os valores de abundância relativa (%).

O Gráfico da Figura 31, mostra os resultados das análises estatísticas, onde podemos observar um **1º grupo** que engloba 32 espécies *Eupatorium* (listadas abaixo), que apresentaram majoritariamente APs do **Tipo Licopsamina (C1)**, Figura 27.

<i>E.tanacetifolium</i>	<i>E.clemotidium</i>	<i>E.ganofilum</i>
<i>E.spathulatum</i>	<i>E.bracteatum</i>	<i>E.chlorolepis</i>
<i>E.riedel</i>	<i>E.betoniciforme</i>	<i>E.tweedieanum</i>
<i>E.paucidentatum</i>	<i>E.amphydriotum</i>	<i>E.odoratum</i>
<i>E.maximilianii</i>	<i>E.vauthierianum</i>	<i>E.capilaris</i>
<i>E.laevigatum</i>	<i>E.itatiayensis</i>	<i>E.sanctopaulensis</i>
<i>E.kleiniodes</i>	<i>E.purpurascens</i>	<i>E.macrocephalum</i>
<i>E.intermedium</i>	<i>E.myriocephalum</i>	<i>E.macrophylum</i>
<i>E.erodifolium</i>	<i>E.lundianum</i>	<i>E.trixoides</i>
<i>E.coriaceum</i>	<i>E.inulaefolium</i>	<i>E.amiglinum</i>
<i>E.congestum</i>	<i>E.mytiloide</i>	

O **2º grupo**, engloba doze espécies de *Eupatorium* que apresentaram APs dos **Tipos Licopsamina (C1) e Supinina (C2)**.

<i>E.adamantinum</i>	<i>E.bupleurifolium</i>
<i>E.asperrium</i>	<i>E.campestre</i>
<i>E.thysanolepis</i>	<i>E.barbacense</i>
<i>E.megacefalum</i>	<i>E.vitalbae</i>
<i>E.velutinum</i>	<i>E.laeterrens</i>
<i>E.ascende</i>	<i>E.candleanum</i>

Espécies de *Eupatorium*

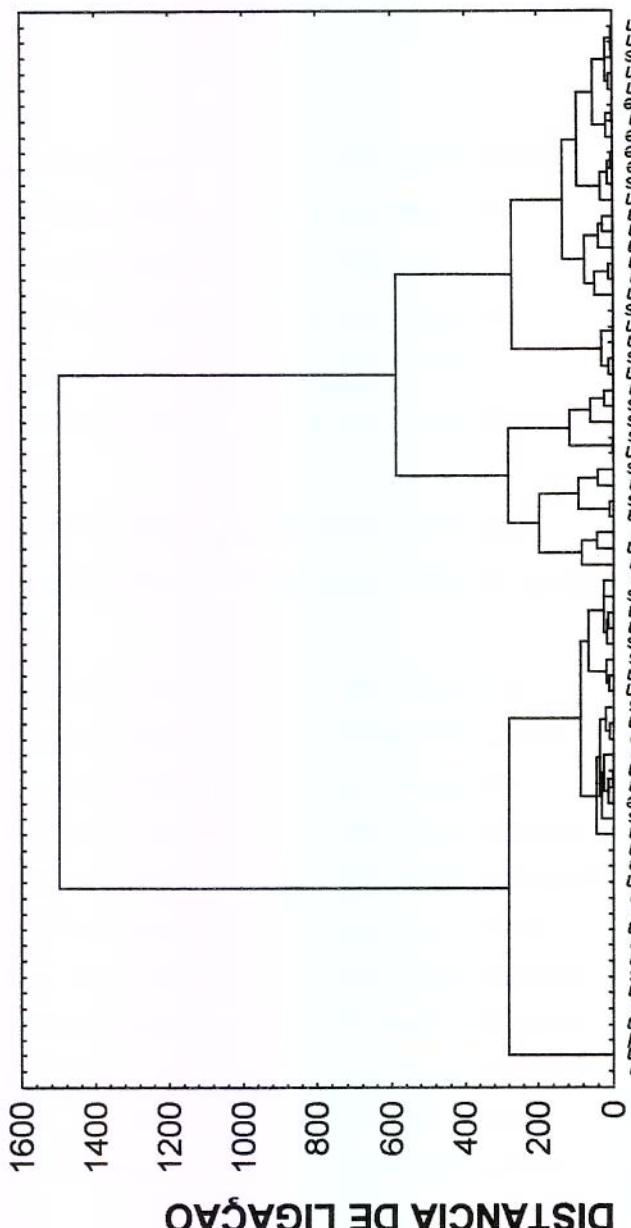


Figura 31. Dendograma da análise de agrupamento de 67 espécies de *Eupatorium* e os Tipos de APs encontrados

O 3º grupo engloba as espécies *E.decumbens*, *E.squarulosum*, *E.trigonom*, *E.oxilepsis* e *E.tectum*, onde foram detectados majoritariamente APs do **Tipo Supinina (C2)**, como majoritário.

O 4º grupo, engloba apenas duas espécies: *E.vernonia* e *E.laetevirens*, apresentou APs do **Tipo Licopsamina (C1)** e **Subtipo diidrollicopsamina (C8)**.

O 5º grupo, englobando as espécies: *E.subalternifolium* e *E.sagittiferum*, onde foram identificados misturas de APs dos **Tipos Licopsamina (C1)**, **Supinina (C2)** e **diidrosupinina (C7)**.

O 6º grupo engloba as espécies *E.prasifolium* e *E.angustissimum*, também foram identificados mistura de alcalóides de quatro Tipos: **Licopsamina (C1)**, **Supinina (C2)** e **Triangularina (subtipos B1 e B3)**.

De acordo com a análise estatística podemos observar no gráfico da Figura 31, que doze espécies *Eupatorium* não pertencem a nenhum grupo por apresentarem misturas de vários tipos de APs, como mostrado abaixo:

E.totiafolium - APs **Tipos C1, B1, B2 E B3**

E.punctulatum - APs **Tipos C1, B1, e B3**

E.lingulaefolium - APs **Tipos C1, C2, B1, B3 e B4**

E.inaeafolium - APs **Tipos C1 e C8**

E.costalipes - AP **Tipo C8**

E.subhastatum - APs **Tipos C1 e C7**

E.minasgeraensis - APs **Tipo C7**

E.hormonoides - APs **Tipos C1, C7 e B3**

E.cinero verides - APs **Tipos C1, C7 e B3**

E.ceracifolium - APs **Tipos C1 e C7**

E.squalidum - APs **Tipos C2 e C7**

E.calamocephalum - APs **Tipos C1, C2, B2 e B3.**

As análises cromatográficas, por CG-EM, revelaram que a composição química dos APs identificados nas espécies de *Eupatorium* possui um perfil de similaridade, quando o padrão principal foi APs do **Tipo Licopsamina (C1)** monoésteres ou diésteres insaturados e saturados. Entretanto APs do **Tipo Triangularina (B)** com monoésteres ou diésteres saturados (**B1 e B2, M+ 239**) e monoésteres ou diésteres insaturados (**B3 e B4, M+ 237**), **Tipo Supinina e Iso-APs** (Figura 27) também ocorrem em quantidades variáveis.

Dentre as espécies de *Eupatorium*, as que apresentaram uma maior variedades de APs foram:

<i>E. angustisimum</i>	<i>E. sanctopaulensis</i>
<i>E. calamocephalum</i>	<i>E. tectum</i>
<i>E. campestre</i>	<i>E. totiafolium</i>
<i>E. chlorolepis</i>	<i>E. trixoides</i>
<i>E. ligulaefolium</i>	<i>E. tweedieanum</i>
<i>E. macrocephalum</i>	<i>E. velutinum</i>

Algumas das espécies de *Eupatorium* estudadas, apresentaram APs apenas como traços:

<i>E. castatipes</i>	<i>E. hirsutissimum</i>
<i>E. publurifolium</i>	<i>E. pyrifolium</i>
<i>E. gaudichaudianum</i>	<i>E. squarulosum</i>
<i>E. hecatanthum</i>	

Das 87 espécies de *Eupatorium* analisadas, 13 espécies (listadas abaixo) não apresentaram nenhum tipo de APs.

<i>E. crenulatum</i>	<i>E. ostenii</i>
<i>E. dendroide</i>	<i>E. palmari</i>
<i>E. dimorpholepis</i>	<i>E. paulensis</i>
<i>E. laxum</i>	<i>E. riedelii</i>
<i>E. molissimum</i>	<i>E. refescens</i>
<i>E. multifidum</i>	<i>E. serratum</i>
<i>E. nemularia</i>	

Utilizando o padrão de APs foi possível realizar uma análise estatística AAH (Distância Euclidiana, método de Ward), para as espécies de *Eupatorium*, estabelecendo uma distribuição mais consistente e segura entre as mesmas, e também verificar que esta se ajustava com a classificação de HARTAMANN & WITTE (1995).

Nas Figuras 32 e 33, estão apresentados os cromatogramas de ions totais (CIT) e os espectros de massas dos APs presentes no extrato bruto de duas espécies de *Eupatorium*.

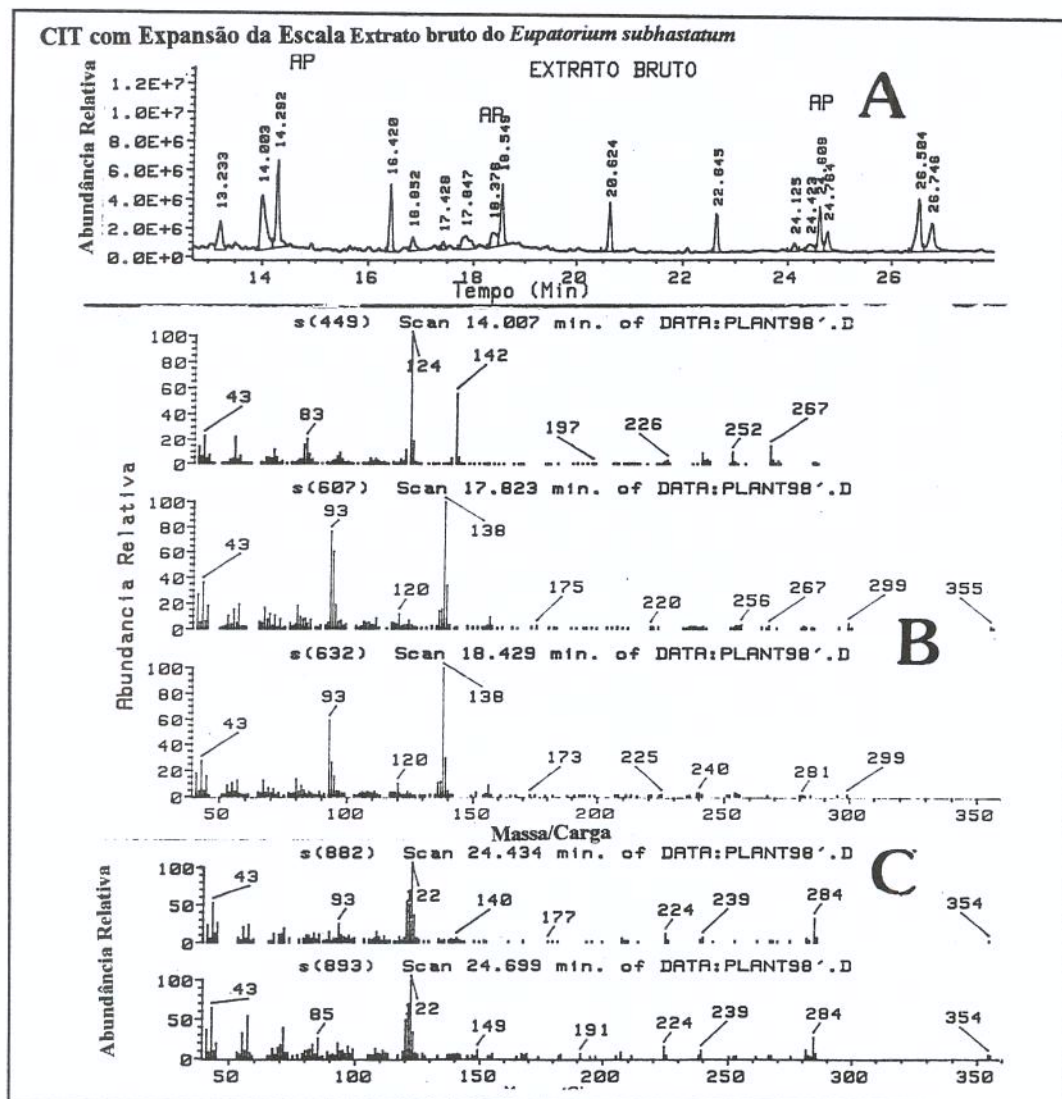


Figura 32. Cromatograma *(A) de ions totais (CIT) do extrato bruto metanólico das inflorescências da espécie: *Eupatorium subhastatum* e EM-IE (B e C) dos APs identificados.

* CIT com expansão da escala

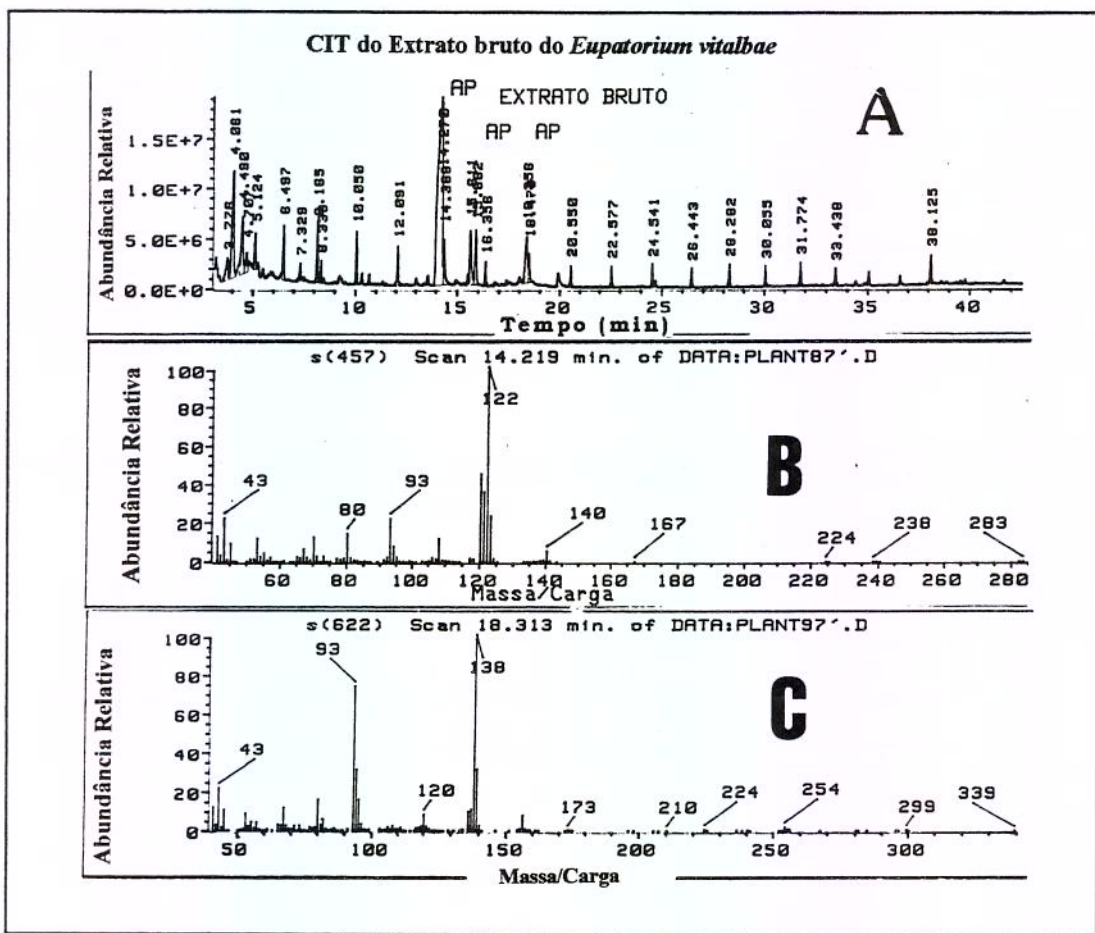


Figura 33. Cromatograma (A) de íons totais (CIT) do extrato metanolico das inflorescências da espécie: *Eupatorium vitalbae* e EM-IE (B e C) dos APs identificados.

5.1.3 Identificação de APs em *Heliotropium indicum*

Infusões da planta toda (mistura de todas as partes da planta), da raiz e das folhas foram preparadas e analisadas qualitativamente quanto a presença de APs.

Na Tabela 20 estão descritos os resultados destas análises.

Tabela 20. Cromatografia gasosa-espectrometria de massas de APs em *H. indicum*. Índice de retenção (IR) de van den DOOL e KRATZ, massa molecular (M^+) e abundância relativa (%).

*APs	M^+	IR	Abundância relativa (%)		
			Planta toda	Raiz	Folhas
Iso-indicina	299	2114	**0,50	traço	**1,50
Indicina	299	2144	45,00	**51,47	75,30
Tipo Licopsamina	299	2153	29,50	traço	6,00
Tipo Licopsamina	299	2162	17,00	48,53	17,20
Tipo Licopsamina	299	2230	8,00	traço	-

*. Estruturas mostradas na Figura 27

**. Abundância Relativa

O extrato bruto aquoso das folhas apresentou majoritariamente APs monoésteres **Tipo Licopsamina**.

No extrato bruto aquoso da raiz foram detectados os APs **Indicina (C3)** e um AP **Tipo Licopsamina (C)** em quantidades relativamente iguais, com abundância relativa de 40 a 50%.

O extrato bruto aquoso da planta toda apresentou, além dos três alcalóides já citados, um outro **Tipo Licopsamina**.

O AP Iso-Indicina foi detectado em quantidades baixas tanto na planta toda quanto na raiz.

O extrato bruto das inflorescências de *Heliotropium indicum*, apresentou majoritariamente o AP Indicina, cujo cromatograma de íons totais (CIT) e o espectro de massas estão apresentados na Figura 34.

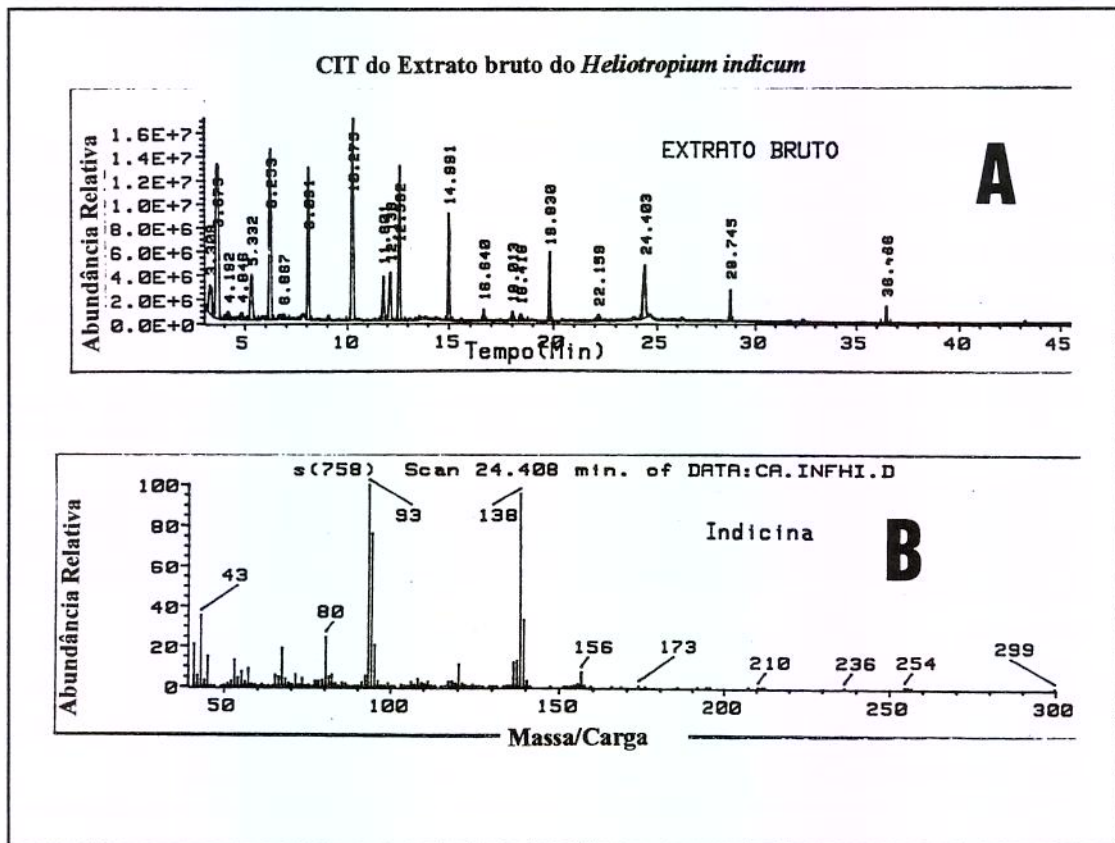


Figura 34. Cromatograma (A) de íons totais (CIT) do extrato bruto metanolico das inflorescências de *Heliotropium indicum* e EM-IE (B) do AP identificado.

5.1.4 Identificação de APs em *Heliotropium transalpinum*

Os resultados das análises realizadas por cromatografia gasosa e espectrometria de massas dos extratos das folhas, sementes e caule estão apresentados na Tabela 21.

O extrato das folhas de *Heliotropium transalpinum* apresentaram um derivado acetilado do AP **Supinina**, seguido de outro do **Tipo Licopsamina**. Também foi identificado um AP monoéster acetilado na posição **C3** com abundância relativa de 40%.

No extrato das sementes foram identificados quatro tipos de alcalóides, um **Tipo Supinina (C2)**, um derivado acetilado **Tipo Supinina (C2)**, um **Tipo Licopsamina** e por fim um derivado

acetilado da Licopsamina, cada um com abundância relativa praticamente equivalentes (20%).

O extrato do caule apresentou seis tipos de alcalóides, sendo que os mais abundante são do **Tipo Supinina**, seguido de um derivado da Supinina acetilado na posição **C3** e de três APs minoritários.

Tabela 21. Cromatografia gasosa-espectrometria de massas de APs em *H. transalpinum*. Massas molecular (M^+), Índice de Retenção (IR) de van den DOOL & KRATZ e abundância relativa (%).

*APs	M⁺	IR	Abundância relativa (%)		
			Folhas	Sementes	Caule
Subtipo supinina	283?	2019	-	**23,79	-
Subtipo supinina	?	2031	-	-	**32,30
Subtipo supinina	?	2038	-	-	28,14
Subtipo 3'OAc-supinina	325	2087	**32,00	-	-
Subtipo 3'Oac-supinina	325	2099	-	28,79	-
Subtipo 3'Oac-supinina	325	2115	-	-	20,10
Tipo Licopsamina	299	2198	-	-	4,5
Tipo Licopsamina	299	2214	26,20	-	-
Tipo Licopsamina	299	2224	-	21,42	5,07
Subtipo 7'OAc-Licopsamina	341	2259	traço	-	-
Subtipo 3'OAc-Licopsamina	341	2272	41,80	26,63	-
Subtipo 3'OAc-Licopsamina	341	2285	-	-	9,89

*. Estruturas mostradas na Figura 27

**. Abundância Relativa

O cromatograma do extrato bruto e espectros de massas dos APs detectados nos extratos da planta *Heliotropium transalpinum* estão apresentados nas Figuras 35.

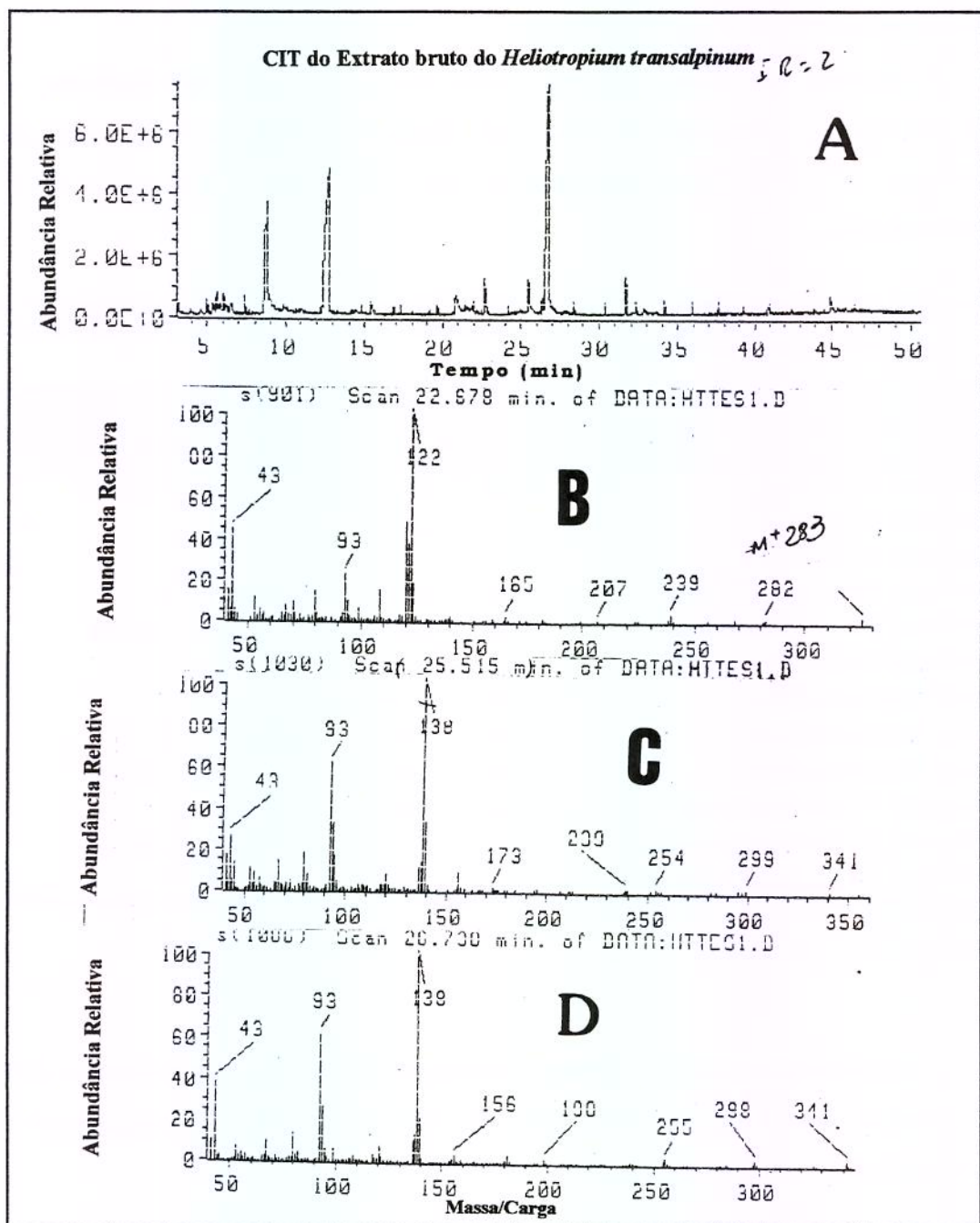


Figura 35. Cromatograma ions totais-CIT (A) do extrato bruto metanólico e EM-IE (B, C e D) dos APs presentes em *Heliotropium transalpinum*.

5.1.5 Identificação de APs em *Ageratum conyzoides*

O resultado da análise quantitativa, através do método colorimétrico, realizada nos extratos das inflorescências, folhas, caule e em amostra comercial (planta toda moída) de *Ageratum conyzoides* está descrito na Tabela 22. O extrato das inflorescências apresentou uma maior quantidade de alcalóides totais em relação às outras partes da planta.

Foram realizadas análises qualitativas, por CG-EM nas infusões preparadas a partir das inflorescências, folhas, caule, raiz e da planta toda. Os resultados são mostrados na Tabela 23.

A infusão das inflorescências apresentou cinco tipos de alcalóides: um **Tipo Triangularina**, sugerimos ser o AP **9-O-Senecioilretronecina (B3)**, a **Licopsamina (C1)** e três AP do **Tipo Licopsamina (C)**.

O caule apresentou apenas um tipo de alcalóide, um derivado **acetilado da Licopsamina**.

O extrato da raiz apresentou sete tipos de APs, dentre estes um **diéster aberto (C9)**, como majoritário.

O extrato da planta toda apresentou APs do **Tipo Triangularina (B)** e do **Tipo Licopsamina (C1)**, como majoritário.

Os cromatogramas de ions totais e o espectro de massas dos APs encontrados no extrato da planta *Ageratum conyzoides* estão apresentados nas Figuras 36.

Tabela 22. Análise colorimétrica de APs em *Ageratum conyzoides*.

Partes da planta	µg APs / g *
Inflorescências	359
Folhas	35
Caule	<5
Amostra comercial	1898

* Peso seco da planta

Tabela 23. Cromatografia gasosa-espectrometria de massas de APs em *Ageratum conyzoides*. Massa molecular (M+), índice de retenção, e (IR) de van den Dool & Kratz e Abundância relativa (Ab.R %).

*APs	M+	IR	inflorescências	Folhas	Caule	Raiz	Planta toda	Abundância relativa (%)
Tipo Triangularina	237	1805	**16,91	-	traço	**4,63	-	
Tipo Triangularina	237	1874	-	-	-	-	**27,44	
Tipo Licopsamina?	239	1925	9,49	-	traço	-	-	
Tipo Licopsamina?	239	1952	18,15	**72,33	-	-	-	
Subtipo Supinina	?	1964	traço	-	-	-	-	
Subtipo Supinina	283	1990	-	-	-	-	5,69	
Subtipo Supinina	?	2017	traço	-	-	traço	-	
Subtipo diidrosupinina	285	2124	-	-	traço	-	-	
Tipo Licopsamina	299	2162	5,62	27,67	traço	-	-	18,33
Licopsamina	299	2174	49,83	-	traço	-	-	
Tipo Licopsamina?	299	2184	-	traço	traço	-	-	54,23
Tipo acetil 3'OH-Licopsamina	341	2278	-	-	**100,00	-	-	
Subtipo diidrosupinina	?	2282	-	-	-	7,71	-	
Subtipo diidrosupinina	?	2339	-	-	-	traço	-	
Subtipo supinina	?	2344	-	-	-	traço	-	
Subtipo diidrosupinina	?	2373	-	-	-	-	15,34	
Diéster aberto	?	2483	-	-	-	traço	-	
Desconhecido	?	2487	-	-	-	9,57	-	
Diéster aberto	?	2498	-	-	-	34,09	-	
Diéster aberto	?	2516	-	-	traço	-	-	

*. Estruturas mostradas na Figura 27

**. Abundância Relativa

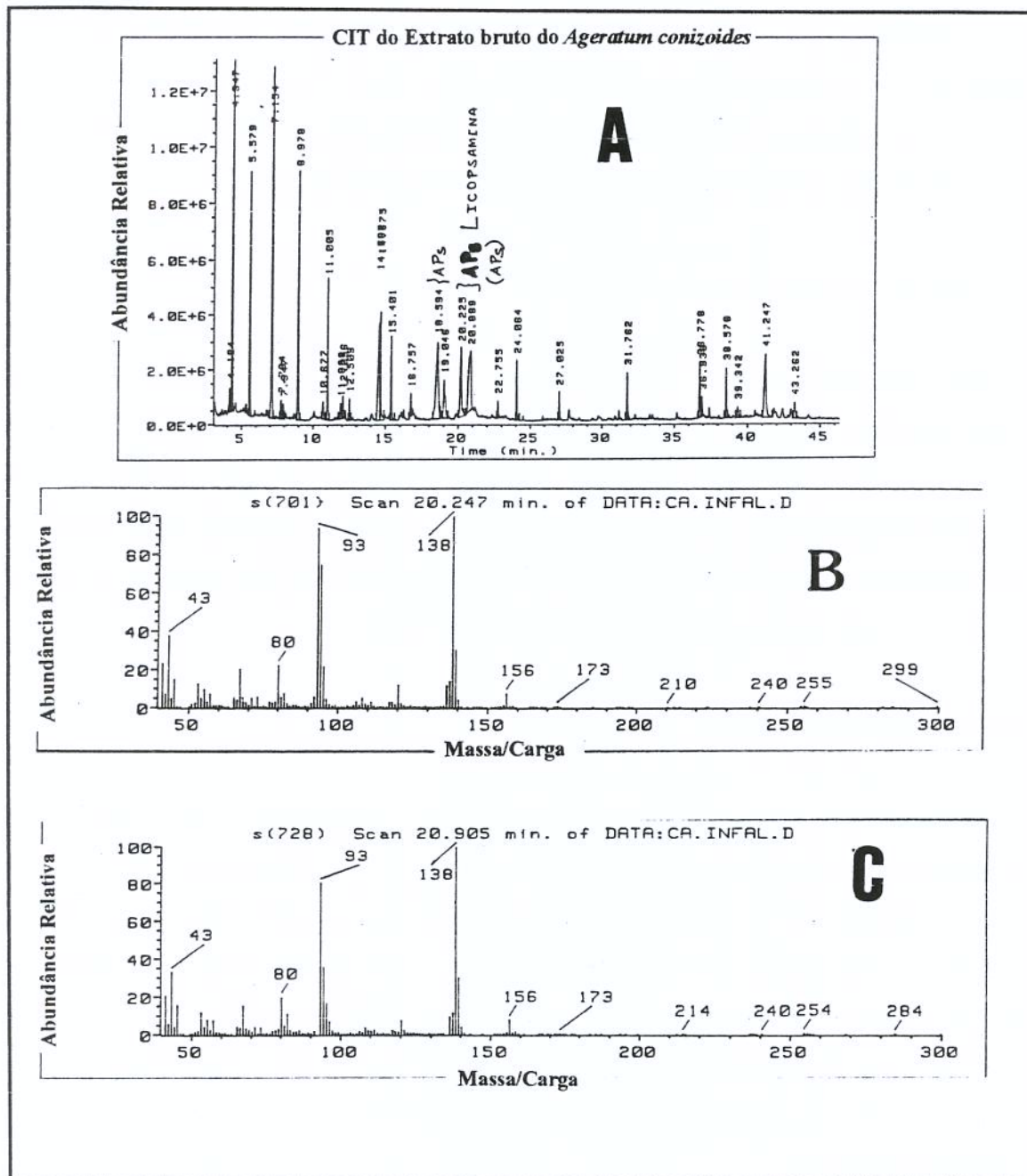


Figura 36. Cromatograma de ions totais-CIT (A) do extrato metanolico das inflorescências de *Ageratum conizoides* e EM-IE (B, C) dos APs encontrados.

5.1.6 Identificação de APs em espécies de *Crotalaria*

A análise qualitativa por CG-EM dos extratos metanólicos das sementes de *Crotalaria* mostrou APs do **Tipo Senecionina [A]**, do **Tipo Triangularina [B]** e do **Tipo Monocrotalina [D]** de acordo com a classificação adaptada de HARTMANN & WITTE (1995).

Crotalaria lanceolata

No extrato bruto metanólico das sementes de *Crotalaria lanceolata* foi identificado, através dos padrões de fragmentação um AP monoéster com a base necina saturada (**M+ 213, IR 1579**), um AP **Tipo Triangularina (M+ 237, IR 1821)** e um alcalóide macrocíclico 1,2-insaturado, **Usaramina (M+ 351, IR 2554)** que posteriormente foi isolado e caracterizado por RMN¹H e RMN¹³C.

Crotalaria spectabilis

O extrato bruto metanólico das sementes da *Crotalaria spectabilis* apresentou majoritariamente o AP **Monocrotalina (M+ 325, IR 2266)**. Esse alcalóide foi isolado e a confirmação estrutural foi feita com base em seus espectros de RMN em 1D (RMN¹H, RMN¹³C, DEPT) e 2D (HETCOR e COSY) e comparação com os dados da literatura (RIZK, 1991).

Crotalaria juncea

A análise por CG-EM do extrato bruto metanólico das sementes de *Crotalaria juncea* mostrou a presença de sete alcalóides: **Usaramina, Integerrimina, Retronecina**, um **Tipo Senecionina**, um **Tipo Triangularina** e dois APs de estrutura desconhecida. Desta planta foram isolados os APs **Integerrimina** e **Usaramina**. A Figura

37, mostra o cromatograma de íons totais com os respectivos EM-IE dos APs do **Tipo Senecionina** e do **Tipo Triangularina**, identificados nos extratos das espécies de *Crotalaria* estudadas.

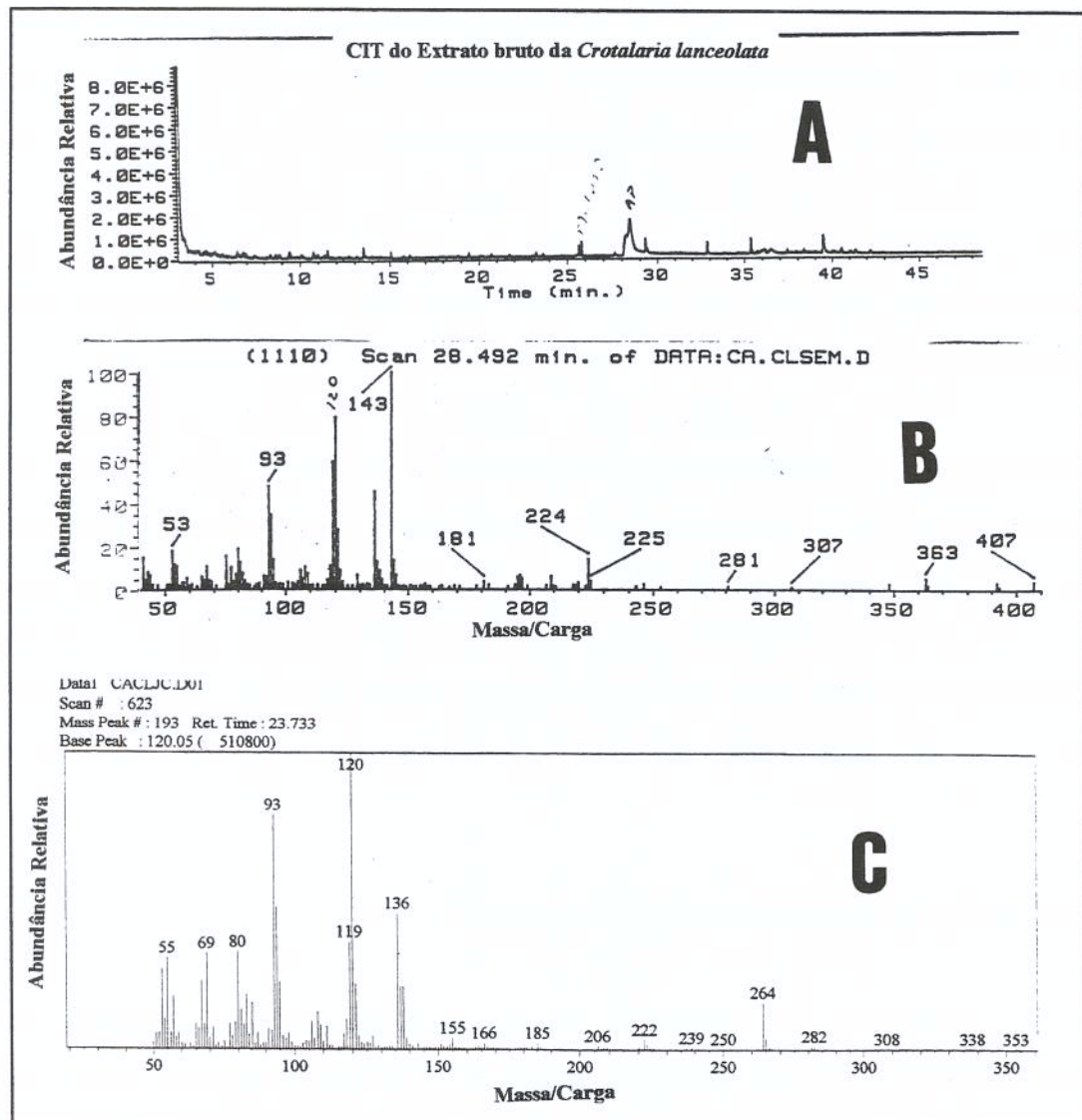


Figura 37. Cromatograma (A) de íons totais (CIT) do extrato bruto metanólico e EM-IE (B e C) dos APs do Tipo Senecionina e do Tipo Triangularina presentes nas espécies de *Crotalaria*.

5.2 Isolamento e Caracterização de APs para Utilização nos Testes Toxicológicos.

O isolamento e a caracterização de APs extraídos de plantas envolve numerosas técnicas e metodologias de separação, uma vez que estes compostos existem em extratos de plantas como mistura de diastereoisomeros e isomeros geométricos, requerendo assim técnicas extremamente laboriosas e especiais. Uma ampla revisão bibliográfica sobre metodologias de extração, separação e identificação de APs foi realizada por MATTOCKS (1986); RIZK & HUSSINEY (1991).

A técnica fundamental utilizada neste trabalho, para identificação e caracterização estrutural dos APs, foi a cromatografia gasosa capilar-espectrometria de massas (CG-EM) utilizando-se padrões. Em seguida foi realizado isolamento dos APs que ocorrem em grande quantidade em algumas plantas e sua elucidação estrutural através dos métodos físicos RMN em 1D (RMN¹H, RMN¹³C, DEPT) e 2D (HETCOR e COSY) comparando-se com os dados da literatura.

Monoésteres Indicina e Licopsamina

A análise do extrato bruto (planta toda) metanólico do *Heliotropium indicum* por técnicas cromatográficas, TLC e CG-EM, apresentou majoritariamente o AP Indicina (Figura 38).

A Indicina foi isolada e purificada por cromatografia em coluna empacotada com sílica gel impregnada com NaOH 0,1N, conforme descrito por MOHANRAJ *et al.* (1981). O eluente utilizado foi clorofórmio, e posteriormente foram utilizadas quantidades crescentes de metanol. O alcalóide foi obtido como um óleo amarelo, e a análise de seu EM-IE foi consistente com a fragmentação (*m/z*

299, 254, 156, 138 e 93) de APs que possuem esse tipo de estrutura. A estrutura foi confirmada através da comparação dos dados espectrais de RMN¹H com os dados da literatura (OGAWA *et al.*, 1993) como mostra a (Tabela 24, Figura 39). O espectro de RMN¹H mostra sinais característicos de um éster da base Retronecina em δ 5,96 (1H, d1, H-2) e 4,27 (1H, s1, H-7), e de um éster do ácido necico em δ 4,06 (1H, d, J= 7, H-3'), 1,16 (3H, d, J=6,4; H-4') e δ 2,13 (1H, sept, H-5').

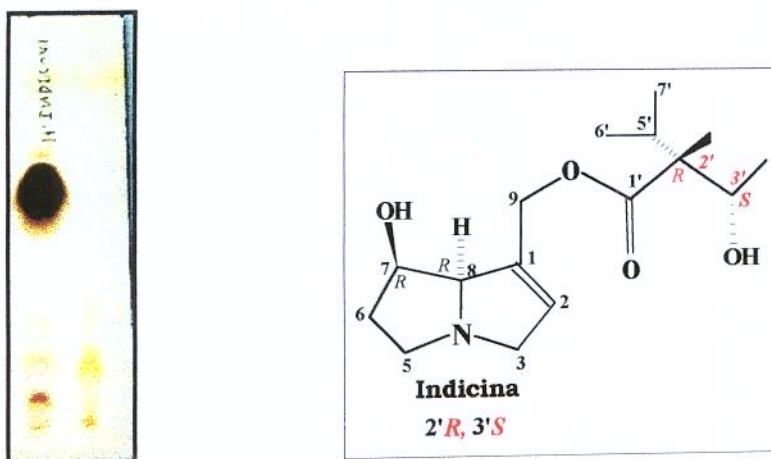


Figura 38. TLC do extrato bruto metanólico (planta toda) do *Heliotropium indicum* e a estrutura da Indicina.

Tabela 24. Deslocamentos químicos de RMN-¹H (300 MHz, CDCl₃) da Indicina.

Formula: C ₁₅ H ₂₅ NO ₅ Massa: 299			Dados da Literatura: RMN ¹ H (270 Hz, CDCl ₃). Tetrahedron:49(8),1571-1578,1993.		
Posição	¹ H δ (ppm)	J (Hz)	¹ H δ (ppm)	¹ H J (Hz)	
2	5,90 (d1)	-	5,94 (s1)		
3 α	3,20-3,40 (dd)	5,8; 13,1	3,45 (ddl)	5,6 ; 15,8	
3 β	3,91 (d)	13,1	3,97 (d)	15,8	
5 α	2,67-2,74 (m)	-	2,75 (m)	-	
5 β	3,12-3,27 (m)	-	3,30 (m)	-	
6 α	1,90-2,11 (m)	-	1,90 (d)	6,3	
6 β	1,90-2,11 (m)	-	1,9-2,1 (m)	-	
7	4,27 (s1)	-	4,30 (s)	-	
8	4,14 (s1)	-	4,21 (s)	-	
9 α	4,59 (d)	12,5	4,60 (d)	12,9	
9 β	5,09 (d)	12,5	5,12 (d)	12,9	
1'	-	-	-	-	
2'	-	-	-	-	
3'	4,06 (d)	6,4	4,05 (q)	6,3	
4' (CH ₃)	1,16 (dd)	6,4	1,19 (d)	6,3	
5'	2,13 (sept)	7,0	2,15 (qq)	6,9	
6' (CH ₃)	0,93 (d)	7,0	0,93 (d)	6,9	
7' (CH ₃)	0,96 (d)	7,0	0,96 (d)	6,9	

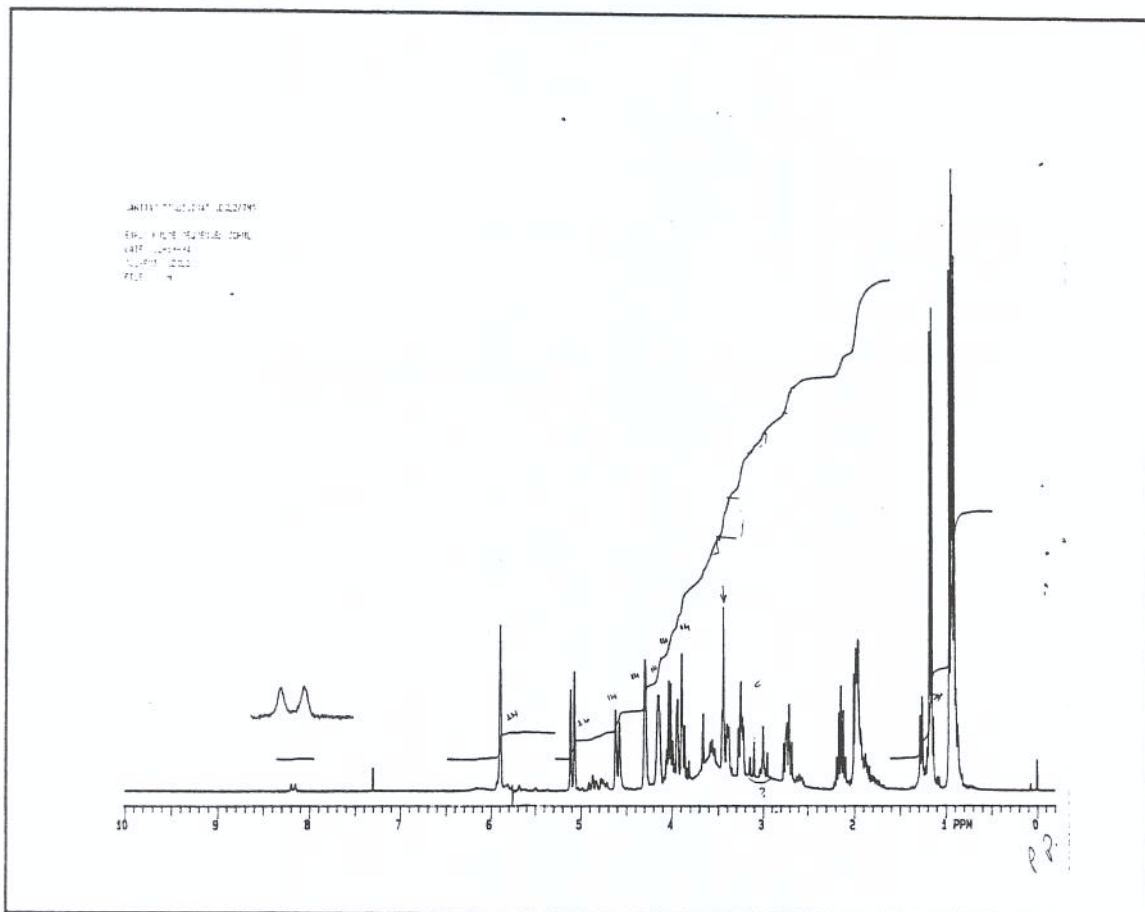


Figura 39. RMN¹H da Indicina.

O alcalóide Licopsamina foi extraído da planta *Ageratum conizoides* e purificado do mesmo modo que a Indicina.

A identificação deste AP foi realizada somente por CG-EM através da comparação com o padrão de referência, isolado anteriormente por TRIGO, (1993). A análise do EM-IE (Figura 40) mostrou a fragmentação padrão (**m/z 299, 254, 138, 137, 93**) para este tipo de estrutura.

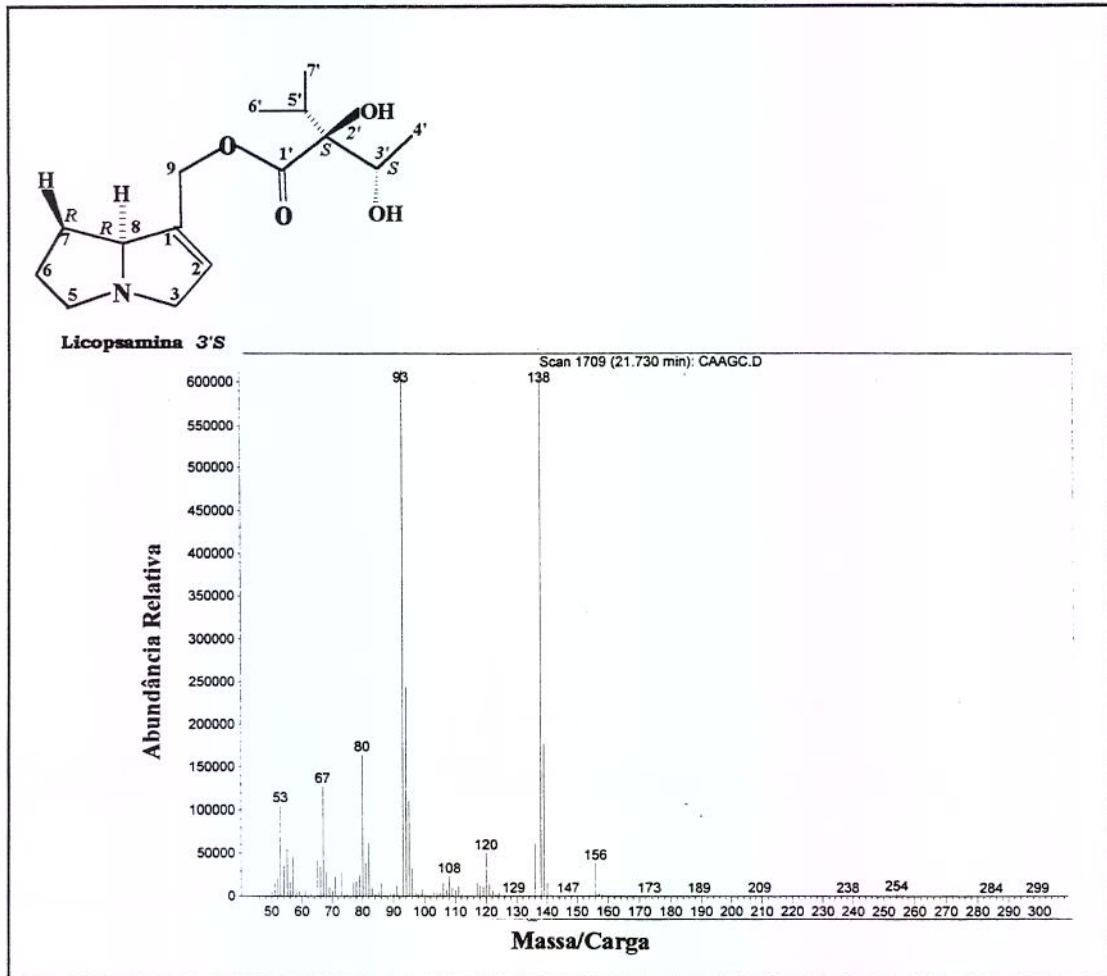


Figura 40. EM de IE da Licopsamina.

Macrocíclicos (12-membros) Integerrimina e Retrorsina

Os APs Integerrimina e Retrorsina (Figura 41) foram isolados da planta *Senecio brasiliensis*. Ambos foram obtidos como cristais e sua análise por CG-EM (Figuras 42 e 43) foi consistente com a fragmentação de APs macrocíclicos do **Tipo Senecionina**.

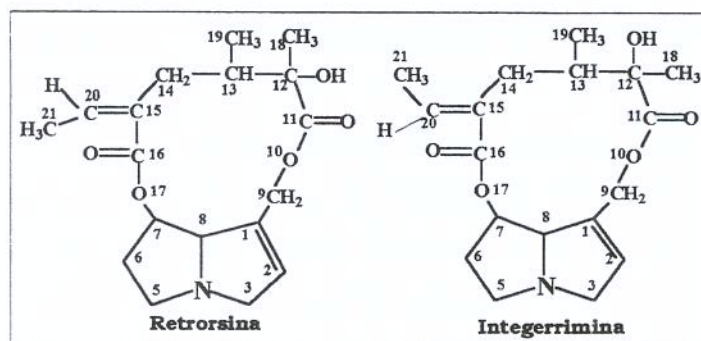


Figura 41. Estruturas da Integerrima e da Retrorsina.

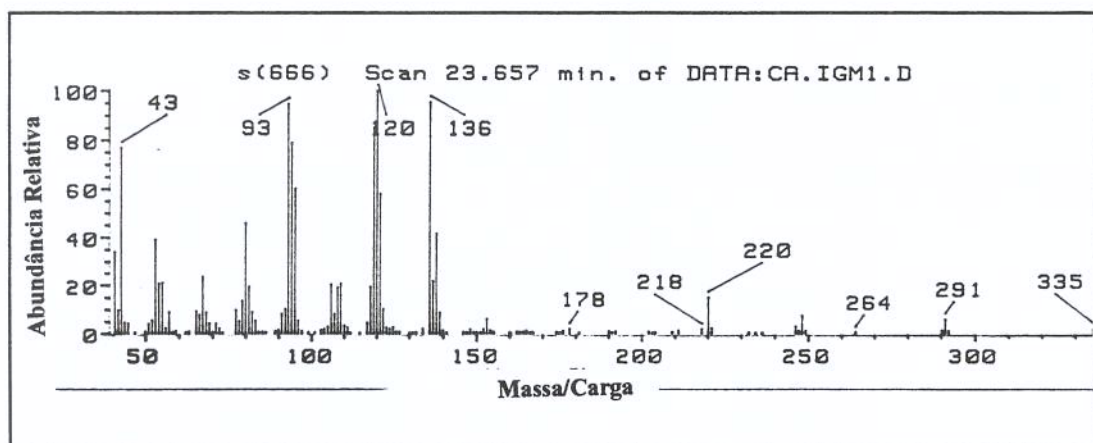


Figura 42. EM de IE da Integerrima.

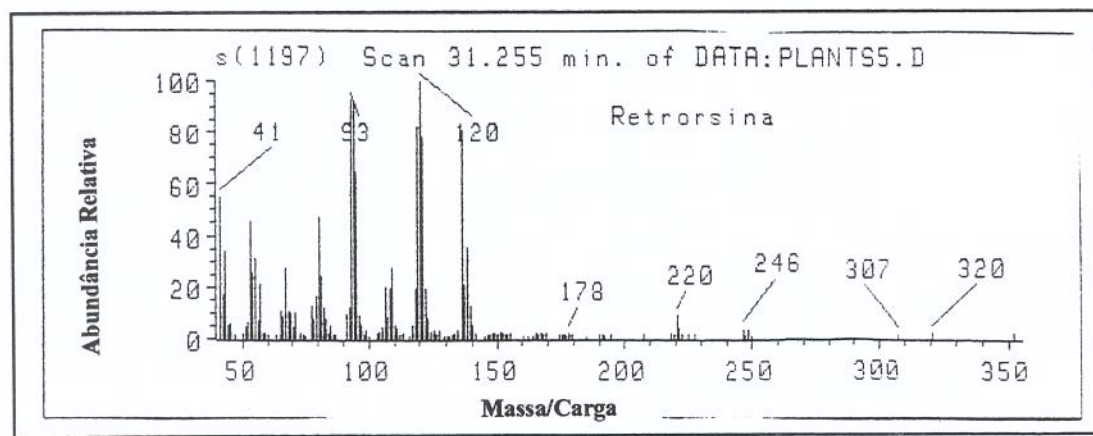


Figura 43. EM de IE da Retrorsina.

A Retrorsina foi identificada somente por CG-EM, através da comparação com padrão.

A estrutura do AP Integerrimina foi confirmada através dos dados de RMN¹H e ¹³C (Tabela 25 e Figura 44 e 45), comparados com os dados da literatura (WIEDENFELD, *et al.*, 1979; JONE *et al.*, 1982; ROEDER, 1990 & LOGIE *et al.*, 1994). A análise completa dos espectros de RMN¹H e ¹³C foi acompanhada por uma análise de espectros 2-D homo e heteronuclear (Figuras 46, 47 e 48).

Tabela 25. Deslocamentos químicos de RMN¹H (300 MHz, CDCl₃) e ¹³C (75 MHz, CDCl₃) da integerrimina.

Formula: C ₁₈ H ₂₅ NO ₅ Massa: 335				Dados da Literatura: * Phytochemistry 37(1)43-109, 1994 ** Phytochemistry 29(1)11-29, 1999		
Posição	¹ H	¹³ C	¹³ C	¹ H	¹³ C	
	δ (ppm)	J (Hz)	δ (ppm)	δ (ppm)	δ (ppm)	
1	-	-	131,9	-	-	131,8
2	6,22 (d)	1,8	137,0	6,22	-	136,4
3α	3,40 (dd)	16,0	62,6	3,39	-	62,2
3β	3,94 (d)	16,0	-	3,93	-	-
5α	2,58 (m)	-	53,0	2,53	-	53,2
5β	3,26 (t)	8,1	-	3,23	-	-
6α	2,11 (m)	-18,0	33,6	2,08	-	33,8
6β	2,41 (m)	4,0	-	2,40	-	-
7	5,02 (m)	1,8; 4,0-	75,5	5,01	-	75,4
8	4,31 (m)	-	77,2	4,29	-	77,4
9α	4,12 (d)	11,7	60,8	4,12	-	60,8
9β	5,43 (d)	11,7	-	5,42	-	-
11	-	-	178,6	-	-	178,2
12	-	-	76,6	-	-	76,4
13	175 (m)	-	39,3	1,75	-	39,4
14α	1,70 (m)	-	-	1,96	-	29,6
14β	2,21 (dd)	13,6; 10,0	29,4	2,20	-	-
15	-	-	134,1	-	-	134,1
16 (C-carbonila)	-	-	169,5	-	-	169,2
18 (CH ₃)	1,33 (s)	-	24,9	1,33	-	25,2
19 (CH ₃)	0,92 (d)	7,0	11,5	0,92	-	11,8
20 C de dupla	6,54 (q)	7,0	135,6	6,52	-	135,3
21 (CH ₃)	1,75 (d)	7,0	13,9	1,75	-	14,2

*. RMN¹H (300 MHz, CDCl₃)

**. RMN¹³C (CDCl₃)

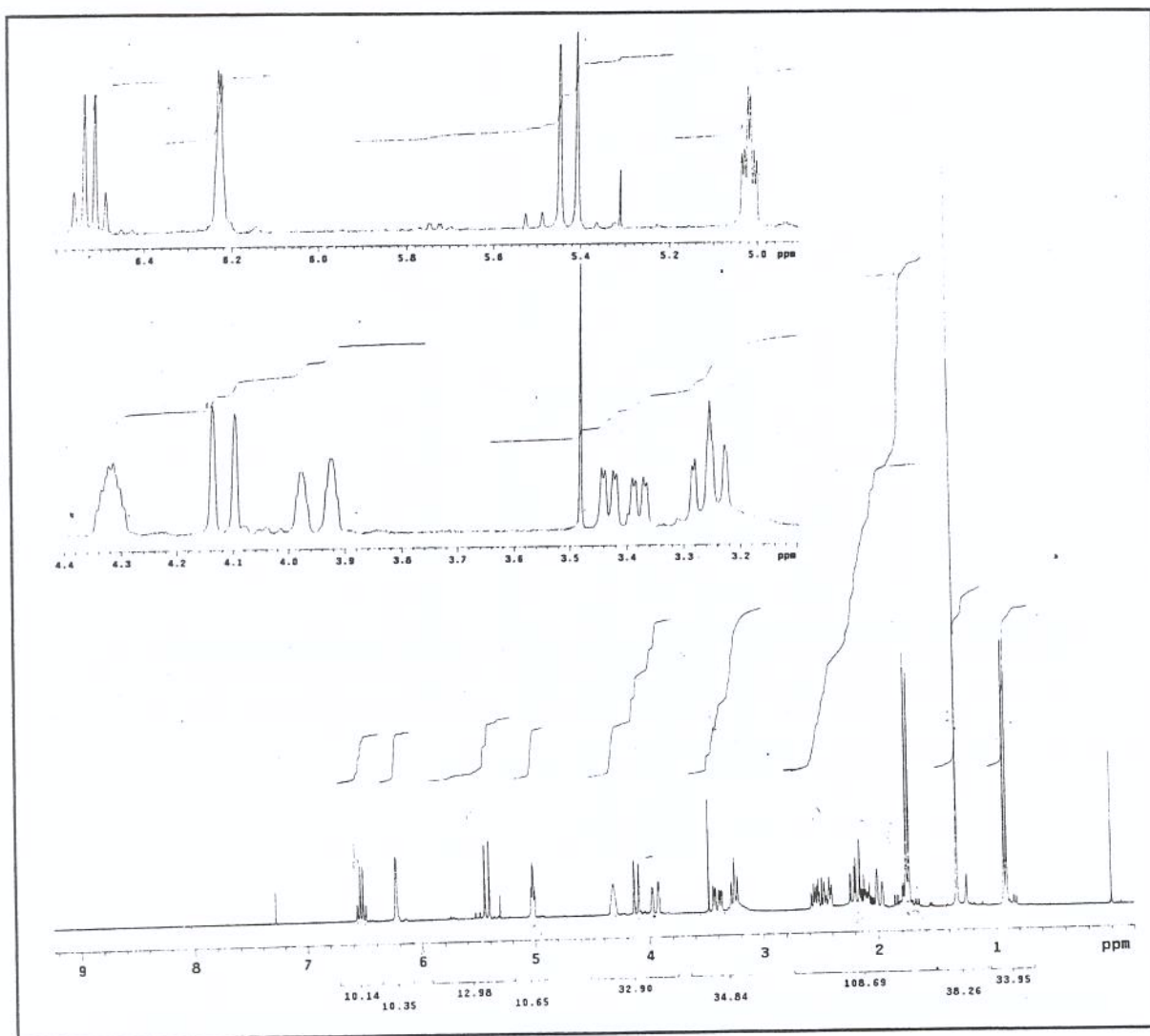


Figura 44. RMN¹H da Integerrimina em CDCl_3 a 300 MHz.

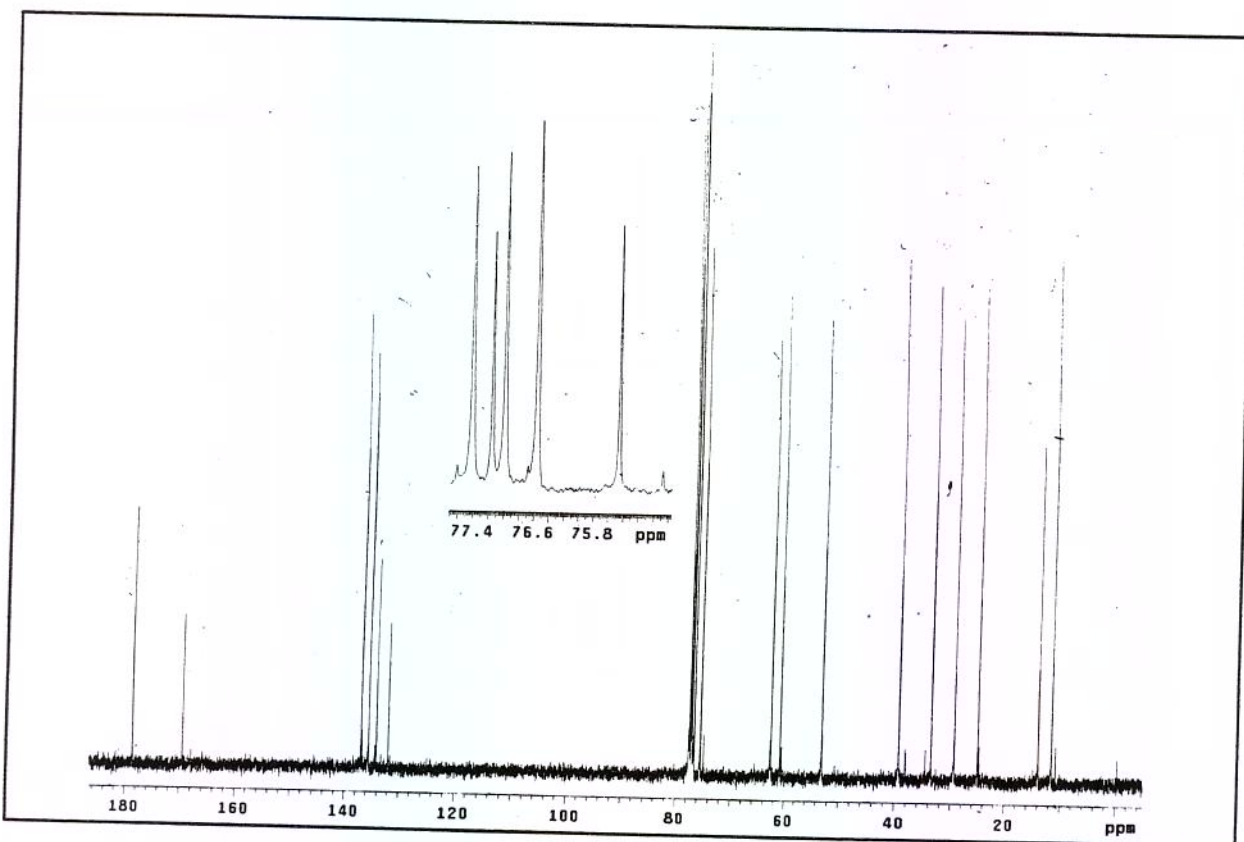


Figura 45. RMN ^{13}C da Integerrimina em CDCl_3 a 75 MHz.

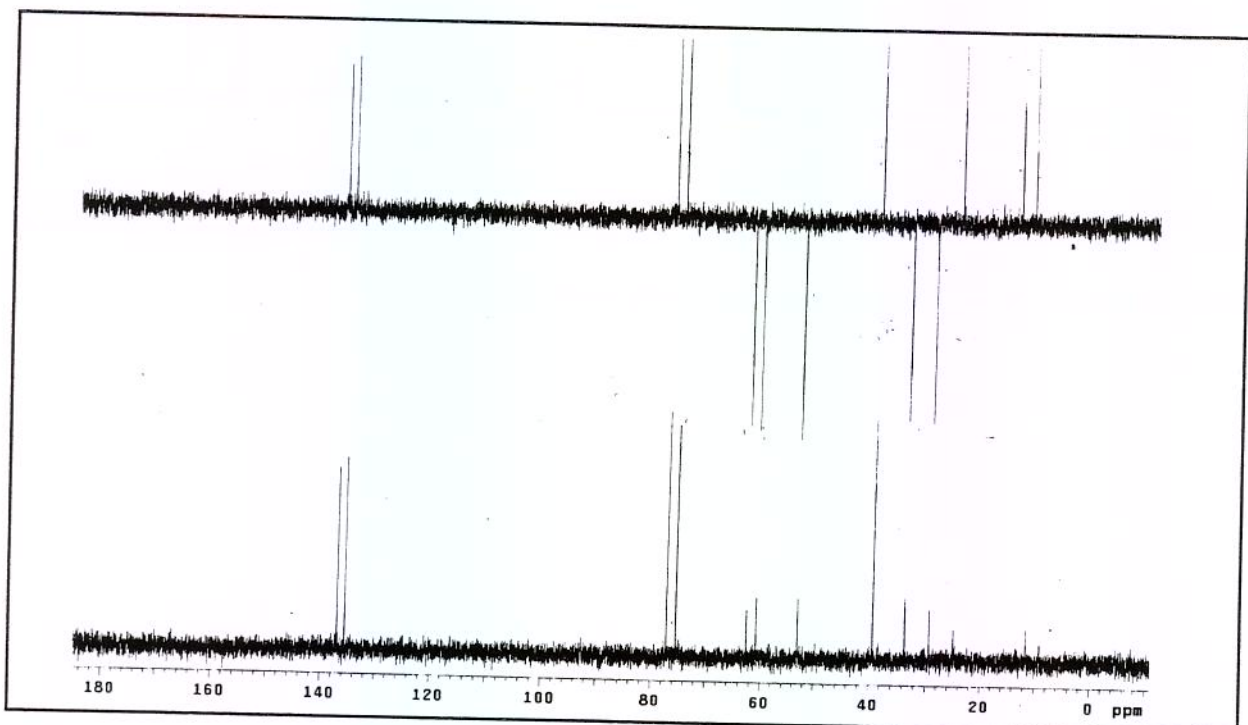


Figura 46. RMN ^{13}C (DEPT) da Integerrimina em CDCl_3 a 300 MHz.

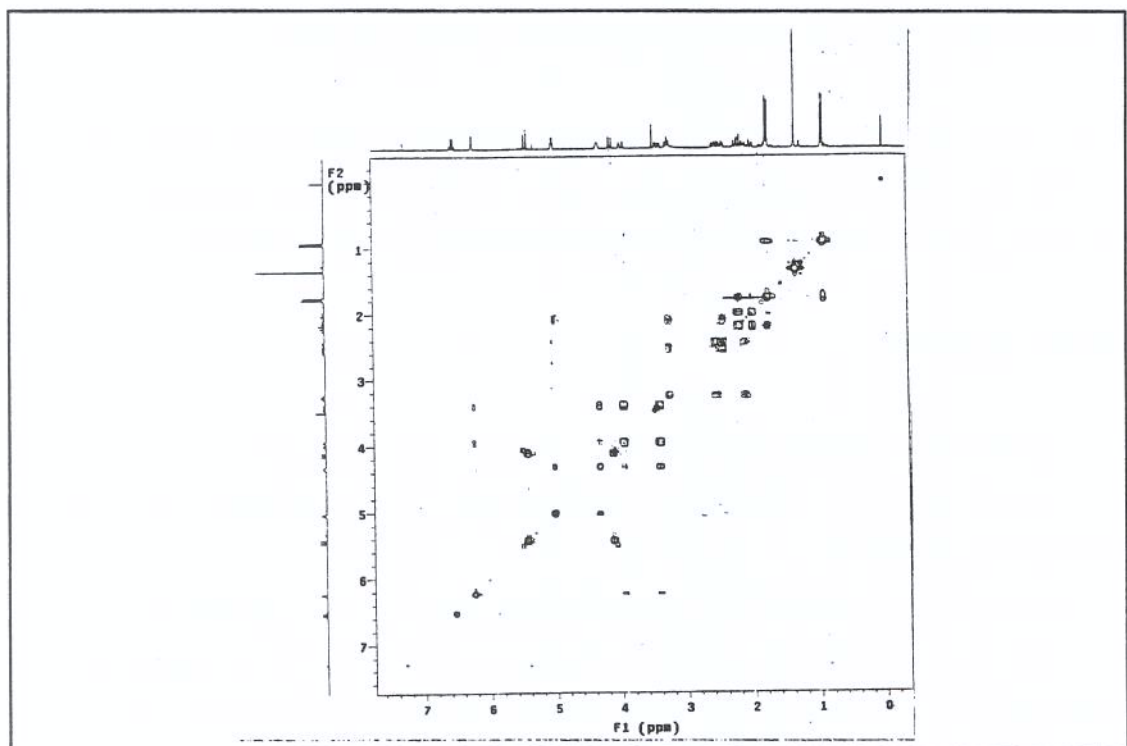


Figura 47. RMN ^{13}C COSY da Integerrimina em CDCl_3 a 300 MHz.

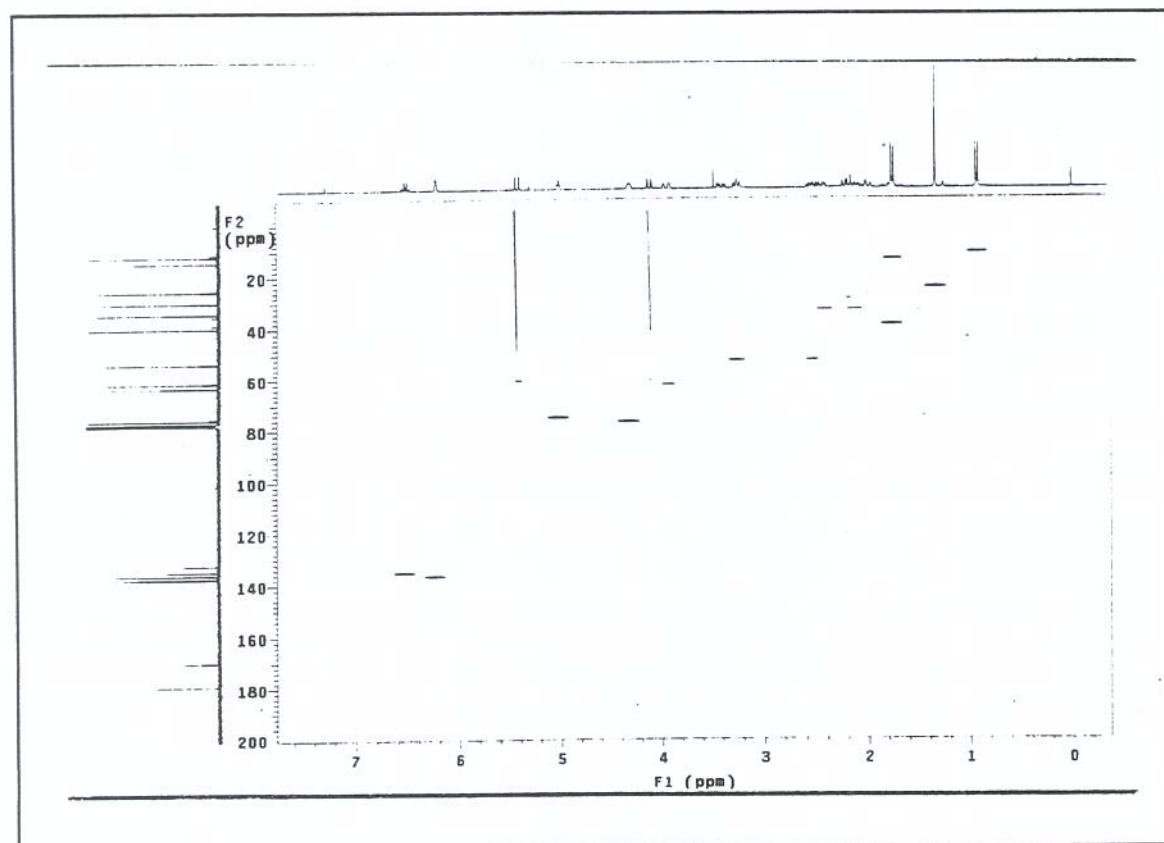


Figura 48. HECTOR (^1H - ^{13}C) da Integerrimina em CDCl_3 a 300 MHz.

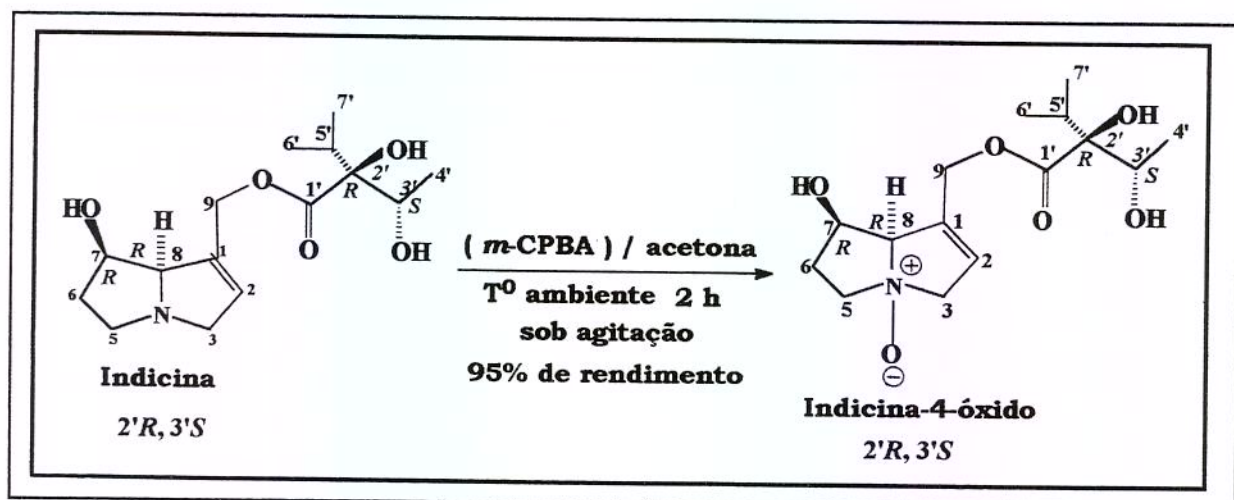
APs N-óxidos: Indicina, Integerrimina e Retrorsina

Os APs Indicina-4-óxido, Integerrimina-4-óxido e Retrorsina-4-óxido foram obtidos através de uma oxidação dos respectivos APs terciários, com o ácido metacloroperbenzóico (Esquema 4).

Indicina N-óxido

A Indicina-4-óxido foi obtida a partir da oxidação (com 95% de rendimento) do AP Indicina (Esquema 4), isolado da planta *Heliotropium indicum*.

A mistura reacional foi purificada em coluna empacotada com sílica gel, utilizando-se como eluente clorofórmio e quantidades crescentes de metanol. Obteve-se 70mg de um óleo de cor amarela.



Esquema 4. Oxidação da Indicina (OGAWA, et al., 1993).

A comparação dos dados de RMN¹H e ¹³C (Tabela 26; Figuras 49 e 50) com os dados da literatura (OGAWA et al., 1993), confirmou que o composto obtido através da reação foi a Indicina-4-óxido.

Tabela 26. Deslocamentos químico de RMN-¹H (300 MHz, DMSO) e ¹³C (75 MHz, DMSO) da Indicina-4-óxido.

Formula: C ₁₅ H ₂₂ NO ₆ Massa: 315				Dados da Literatura: * Tetrahedron:49(8) 1571-1578, 1993 ** Phytochemistry 29(1)11-29, 1990		
Posição	¹ H δ (ppm)	¹ H J (Hz)	¹³ C δ (ppm)	¹ H δ (ppm)	¹ H J (Hz)	¹³ C δ (ppm)
1	-	-	132,5	-	-	132,7
2	5,84 (s)	-	122,7	5,85 (s)	-	130,7
3 α	3,65 (m)	-	77,0	3,7-3,9 (m)	-	63,0
3 β	3,77 (m)	-	-	-	-	-
5 α	2,62 (m)	-	69,1	2,64 (m)	-	53,3
5 β	-	-	-	-	-	-
6 α	2,03 (m)	-	32,0	1,92-203 (m)	-	36,3
6 β	-	-	-	-	-	-
7	4,12 (q)	7,0	69,7	4,13 (q)	7,0	71,4
8	4,45 (s)	-	95,8	4,45 (s)	-	78,8
9 α	4,58-4,88 (m)	-	61,6	4,6-4,8 (m)	-	62,1
9 β	5,10 (d)	13,6	-	5,13 (d)	13,2	-
1'	-	-	175,1	-	-	175,4
2'	-	-	83,9	-	-	82,7
3'	4,12 (q)	7,0	70,0	4,12 (qq)	6,9	69,3
4'	1,17 (d)	6,2	16,7	1,19 (d)	6,6	16,6
5'	1,91 (q)	7,0	29,7	1,92 (m)	-	32,4
6'	0,92 (d)	7,0	14,1	0,96 (d)	6,9	17,2
7'	0,96 (d)	7,0	17,5	0,92 (d)	6,9	17,6

*. RMN¹H (270 MHz, CDCl₃)

**. RMN¹³C (67,89 MHz, CDCl₃).

Os dados de ¹³C, da literatura, apresentados na Tabela 26 são para Indicina na forma livre.

O espectro de RMN¹³C da Indicina na forma de N-óxido mostra sinais em δ 132,5 e δ 122,7, os quais indicam a presença de dupla ligação entre os carbonos C-1 e C-2. Os sinais em δ 69,7 (C-7), δ 69,1 (C-5) e δ 32,0 (C-6) indicam a presença de um éster da base necina heliotridina. Observando os espectros de ¹³C da Indicina -4-óxido e da Indicina terciária verificamos uma diferença entre os sinais em δ 122,7 (C-8) e δ 77,0 (C-3), que pode ser explicada pela proximidade do O, para o caso dos APs monoésteres. Outra diferença significativa é a presença do sinal em δ 95,8 (C-8), característico para APs na forma de N-óxido (ASIBAL *et al.*, 1989; RITZ, 1991).

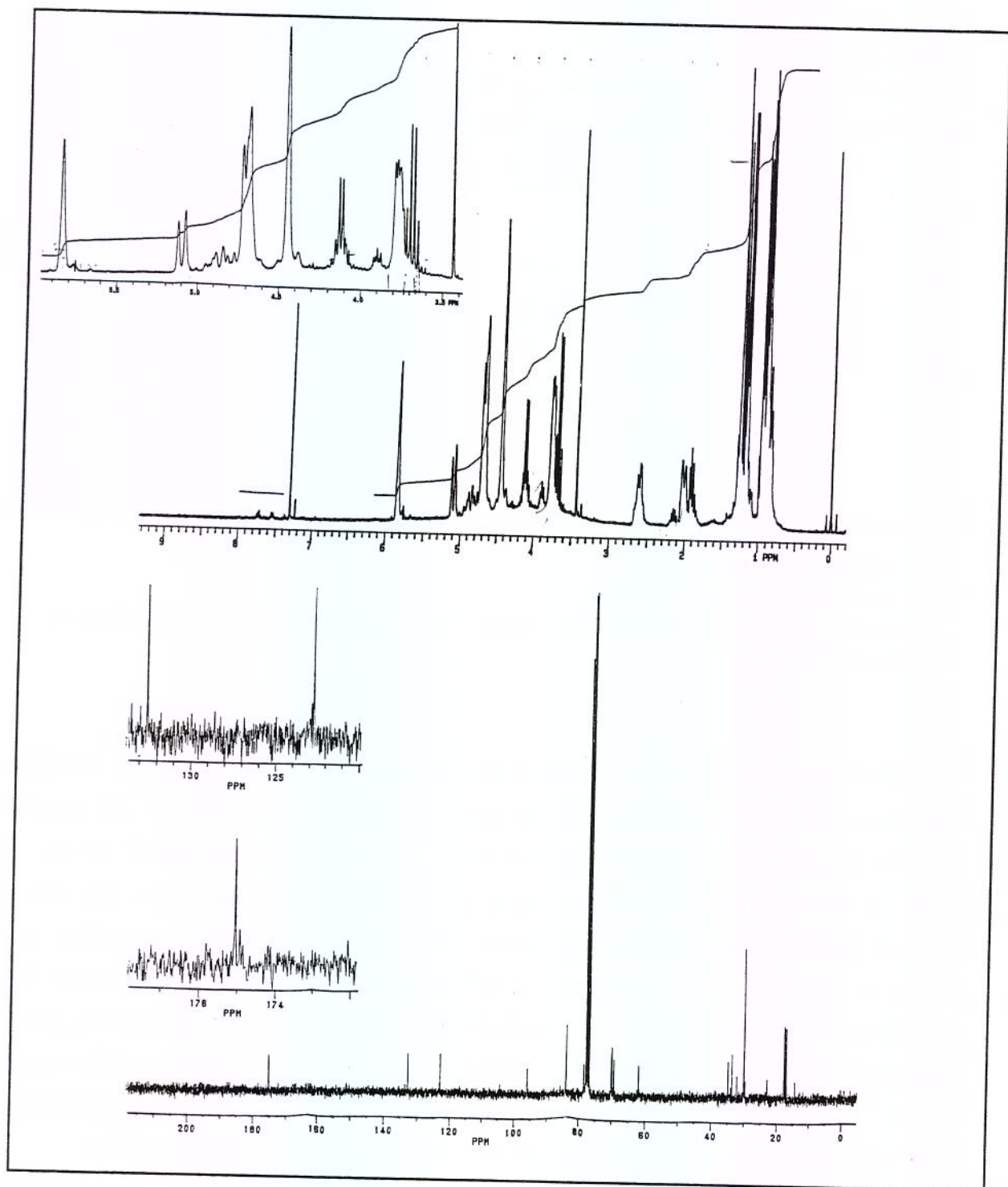


Figura 49. RMN¹H e ¹³C da Indicina-4-óxido em CDCl_3 a 300 e 75 MHz, respectivamente.

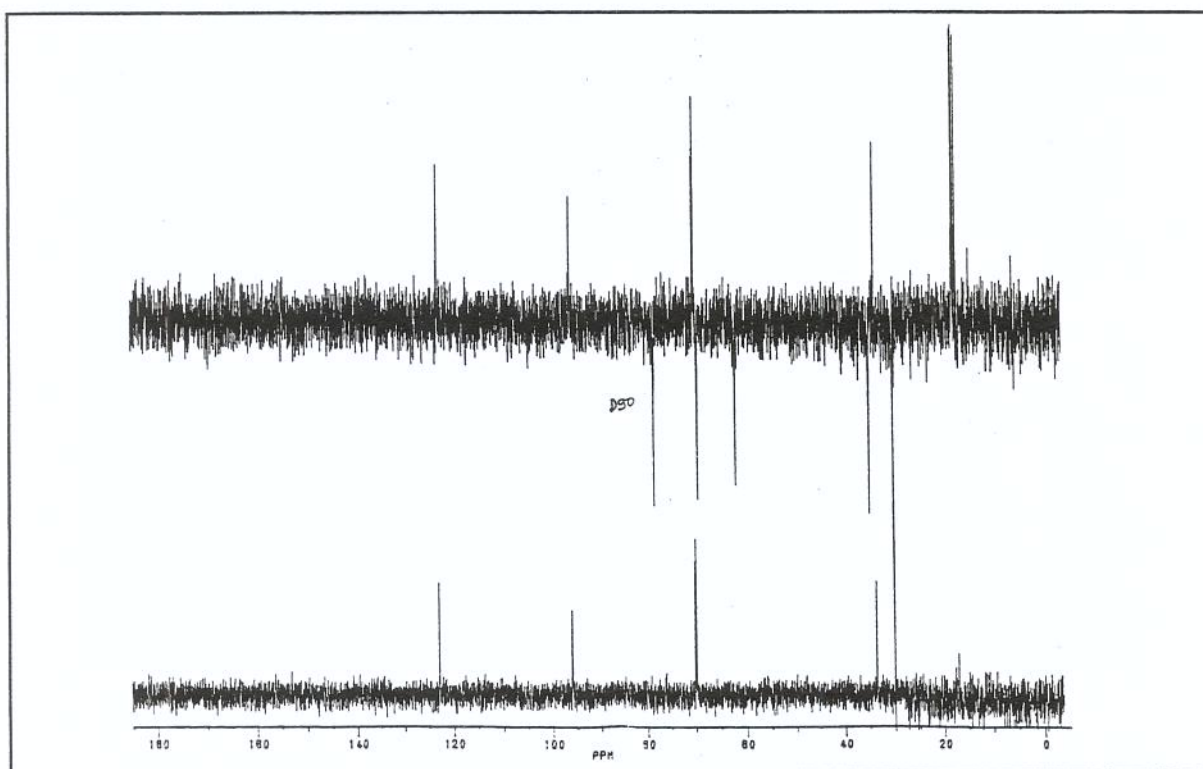


Figura 50. RMN ^{13}C (DEPT) da Indicina-4-óxido em CDCl_3 a 75 MHz.

Integerrima-4-óxido

A Integerrima-4-óxido foi obtido a partir da oxidação do AP Integerrima, isolado de *Senecio brasiliensis*, na forma de um óleo, com rendimento de 90%.

Os dados espectrais de RMN ^1H do AP Integerrima-4-óxido foram comparados com os dados do isômero geométrico Senencionina-Z (forma terciária-WIEDENFELD *et al.*, 1979; JONES *et al.*, 1982 e ROEDER, 1990), cujos dados estão apresentados na Tabela 27 e Figura 51.

Tabela 27. Deslocamentos químicos de RMN¹H (300 MHz, CDCl₃ e ¹³C (75 MHz, CDCl₃) da Integerrima N-óxido.

Formula: C ₁₈ H ₂₅ O ₆ Massa: 335			* Dados da literatura RIZK, 1991		
Posição	¹ H		¹ H		J (Hz)
	δ (ppm)	J (Hz)	δ (ppm)	J (Hz)	
2	6,26 (s)	-	6,22 (d)	6,2	
3α	4,52 (s)	-	4,62 (d)	6,2; 2,4	
3β	-	-	4,52 (dd)	10,7; 7,3; 1,9	
5α	3,90 (m)	-	3,92 (ddd)	-	
5β	3,60 (m)	-	3,64 (m)	-	
6α	2,96 (m)	-	2,96 (m)	-	
6β	2,40 (m)	-	2,45 (m)	-	
7	5,49 (m)	-	5,45 (m)	-	
8	4,83 (d)	6,2	4,83 (d)	4,9	
9α	5,45 (d)	12,0	5,49 (d)	12,2	
9β	4,21 (d)	12,0	4,14 (d)	12,2	
12	-	-	-	-	
13	-	-	-	-	
14α	2,23 (dd)	14,0; 10,0	2,14 (d)	13,2	
14β	1,96 (d)	14,0	1,78 (m)	-	
18-CH ₃	1,34 (s)	-	1,30 (s)	-	
19-CH ₃	0,92 (d)	7,0	0,88 (d)	6,6	
20 CH ₃	5,70 (q)	7,0	5,81 (q)	7,3	
21	1,78 (d)	7,0	1,84 (dd)	7,2; 4,1	

* Os dados de RMN¹H (360 MHz, CDCl₃), apresentados na Tabela acima são do AP Senecionina-4-óxido.

A diferença entre os isômeros geométricos (**Z/E**), na forma terciária, pode ser constatada no espectro de RMH¹H, através do H do carbono **C-20**, onde observa-se um sinal em δ 5,71 para o AP Senecionina e Retrorsina (ambos configuração **Z**) e δ 6,50 para os APs Integerrima e Usaramina (ambos configuração **E**). Quando esses isômeros estão na forma de seus respectivos N-óxidos os valores aumentam em δ 5,81 para Senecionina-4-óxido, δ 5,83 para Retrorsina-4-óxido e δ 6,70 para Integerrima-4-óxido (RIZK, 1991; LOGIE, et al., 1994). Outros sinais os quais serviriam para diferenciar as configurações **Z** e **E**, desses isômeros, são menos característicos, devido a sua ocorrência em zonas fortemente sobrepostas.

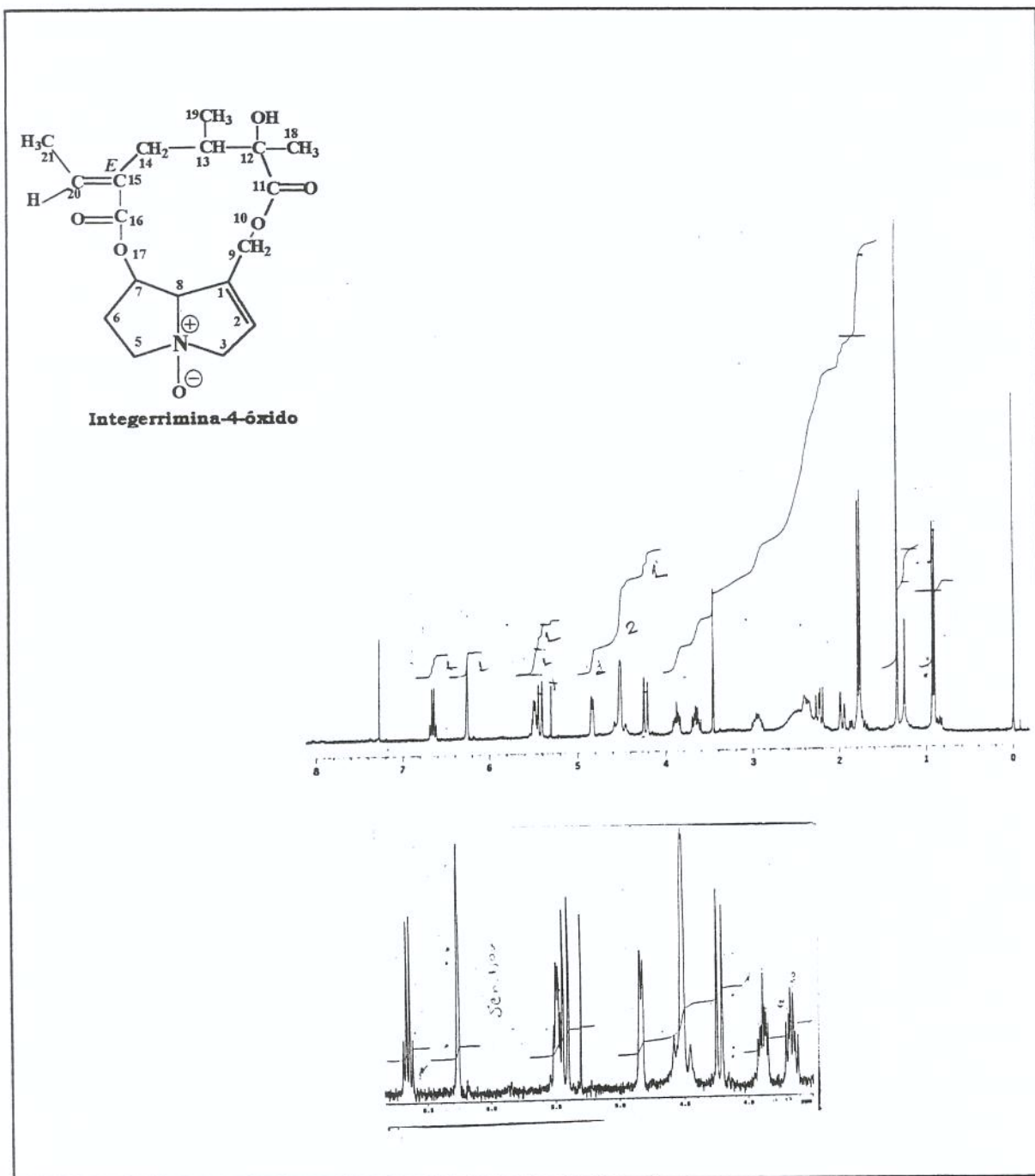


Figura 51. RMN ^1H da Integerrimina-4-óxido em CDCl_3 a 300 MHz.

Retrorsina-4-óxido

A estrutura do AP Retrorsina-4-óxido (Figura 52) foi confirmada com base nos seus dados de RMN ^1H e ^{13}C (Tabela 28 e Figuras 52 e

53, respectivamente). Estes dados foram comparados com dados da literatura (WIEDENFELD *et al.*, 1979; JONES *et al.*, 1982; ROEDER, 1990 & LOGIE *et al.*, 1994). A análise dos espectros foi acompanhada por uma análise do espectro de ^{13}C DEPT (Figura 54).

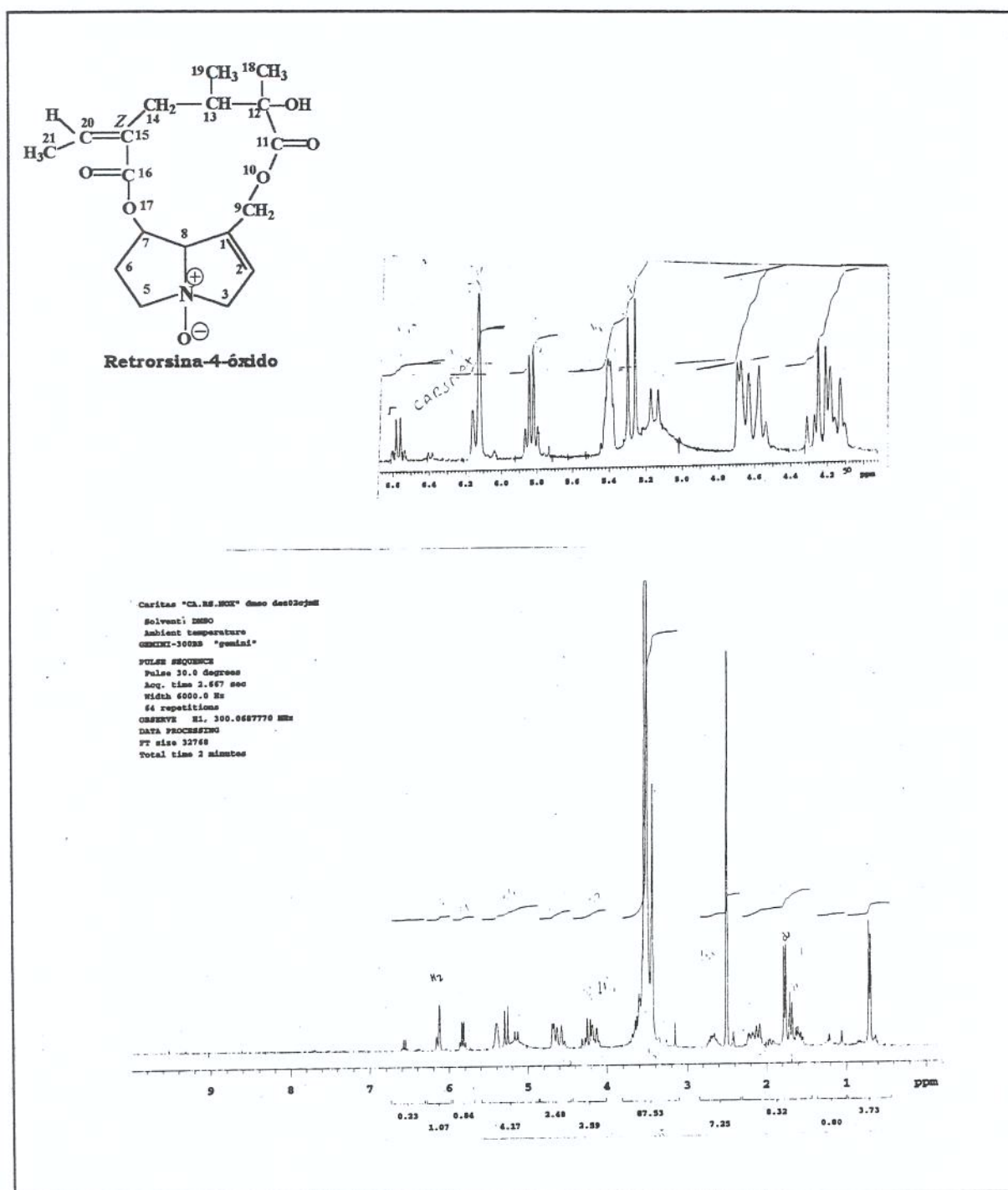
Tabela 28. Deslocamentos químicos de RMN- ^1H (300 MHz, MeOD) e ^{13}C (75 MHz, MeOD) da Retrorsina-4-óxido.

Formula: $\text{C}_{18}\text{H}_{25}\text{NO}_7$ Massa :367				Dados da Literatura		
Posição	^1H δ (ppm)	J (Hz)	^{13}C δ (ppm)	* Phytochemistry 37(1)43-109, 1994. ** Phytochemistry (29) 1:11-29, 1990.		
				^1H δ (ppm)	^{13}C δ (ppm)	
1	-	-	129,7	-	-	133,4
2	6,12 (s)	-	136,4	6,28	-	141,1
3 α	4,68 (d)	5,1	78,02	4,51	-	80,2
3 β	-	-	-	4,67	-	-
5 α	2,50 (m)	-	68,7	3,68	-	70,9
5 β	-	-	-	4,04	-	-
6 α	2,12 (dl)	14,0	32,4	2,47	-	35,3
6 β	2,50 (m)	-	-	2,97	-	-
7	-	-	73,7	5,45	-	76,7
8	-	-	95,8	4,94	-	98,0
9 α	4,16 (d)	12,0	59,4	4,21	-	62,5
9 β	5,50 (d)	12,0	-	5,51	-	-
11	-	-	175,1	-	-	178,0
12	-	-	81,6	-	-	84,8
13	1,78 (m)	-	37,5	1,80	-	38,5
14 α	1,78 (m)	13,0	38,0	1,80	-	40,1
14 β	2,17 (d)	-	-	2,18	-	-
15	-	-	132,3	-	-	131,2
16	-	-	167,1	-	-	171,1
18	***	-	68,6	3,68	-	69,1
-	-	-	-	3,74	-	-
19-CH ₃	0,71 (d)	7,0	11,3	0,84	-	13,6
20	5,83 (q)	7,0	131,0	5,84	-	134,5
21-CH ₃	1,78 (d)	7,0	15,1	1,86	-	17,5

* RMN- ^1H (CDCl₃)

** RMN- ^{13}C (67,89 MHZ, D₂O)

*** O sinal do solvente se sobrepõe aos sinais do composto



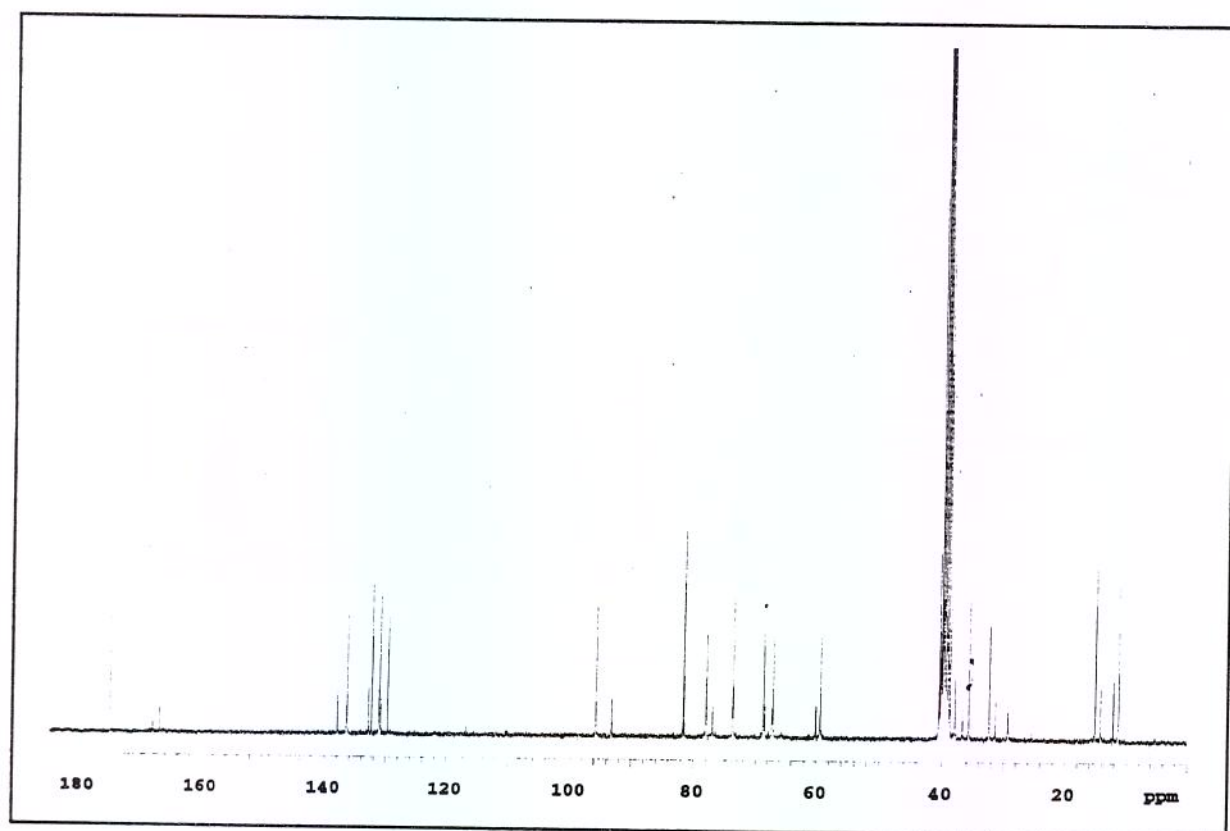


Figura 53. RMN¹³C da Retrorsina-4-óxido em CDCl₃ a 75 MHz.

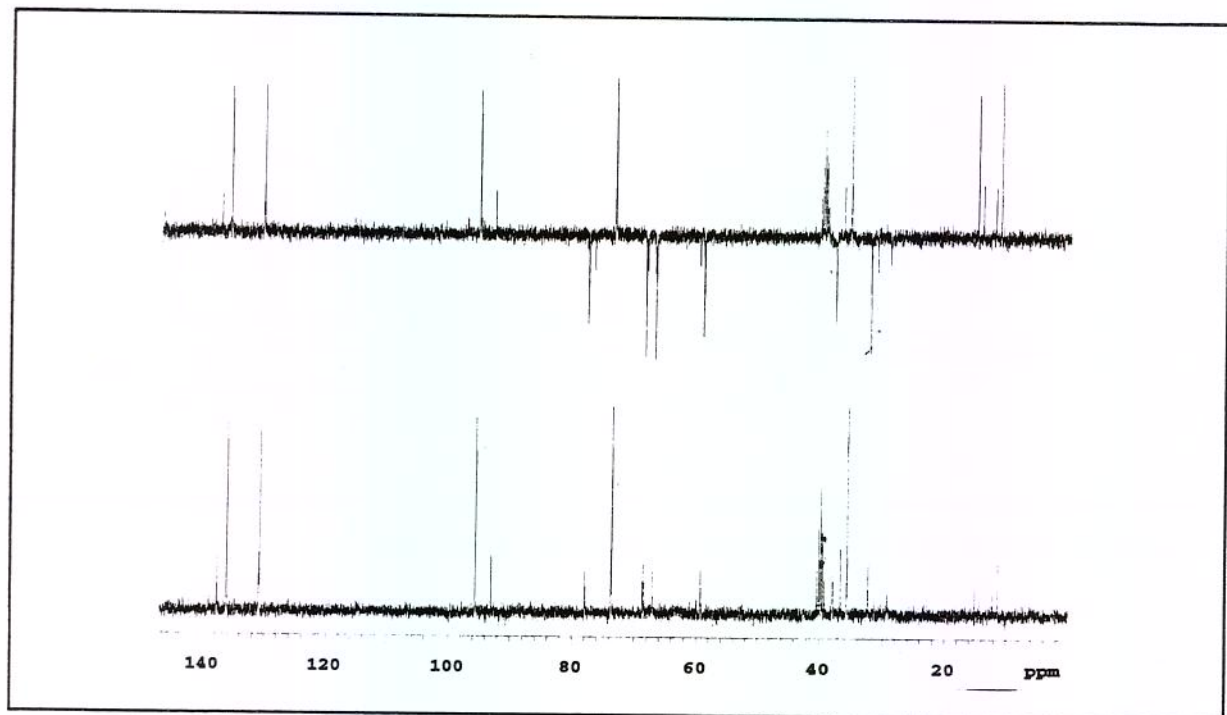


Figura 54. RMN¹³C (DEPT) da Retrorsina-4-óxido em CDCl₃ a 75 MHz.

Base Retronecina

A Retronecina e o Ácido integerrinecico, foram obtidos a partir do AP Integerrimina, através de uma reação de hidrólise com rendimentos quantitativos (Esquema 5) (MOHANRAJ *et al.*, 1982; MATTOCKS, 1986). Geralmente, esta hidrólise gera como produto final a base retronecina e uma mistura dos Ácidos Integerrinecico lactona e o Integerrinecico.

Após a reação obteve-se uma goma de cor marrom, que foi purificada por cromatografia em coluna de sílica gel, usando como eluente clorofórmio e metanol.

A Retronecina foi obtida como um óleo amarelo. A análise de seu EM (Figura 55) foi consistente com a fragmentação de APs deste tipo.

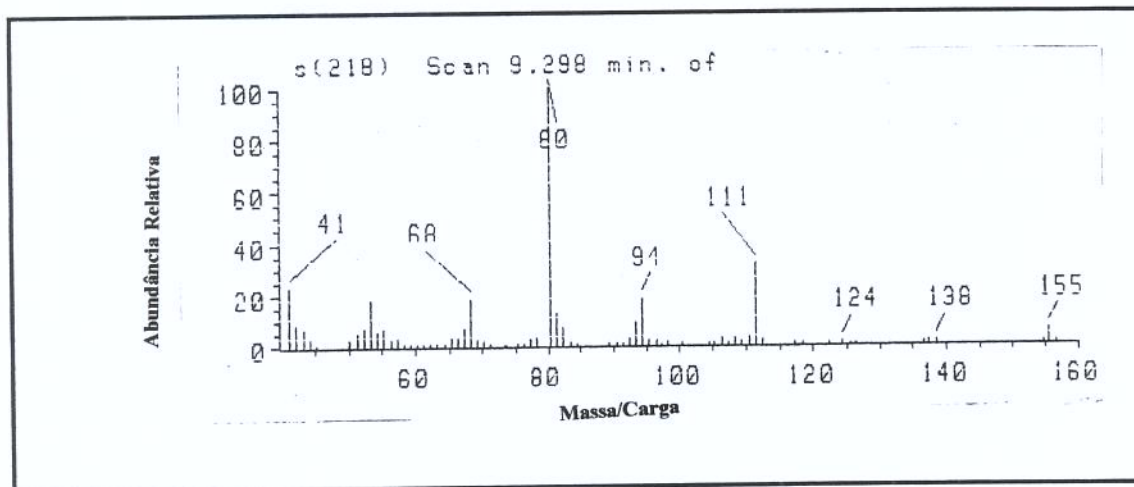
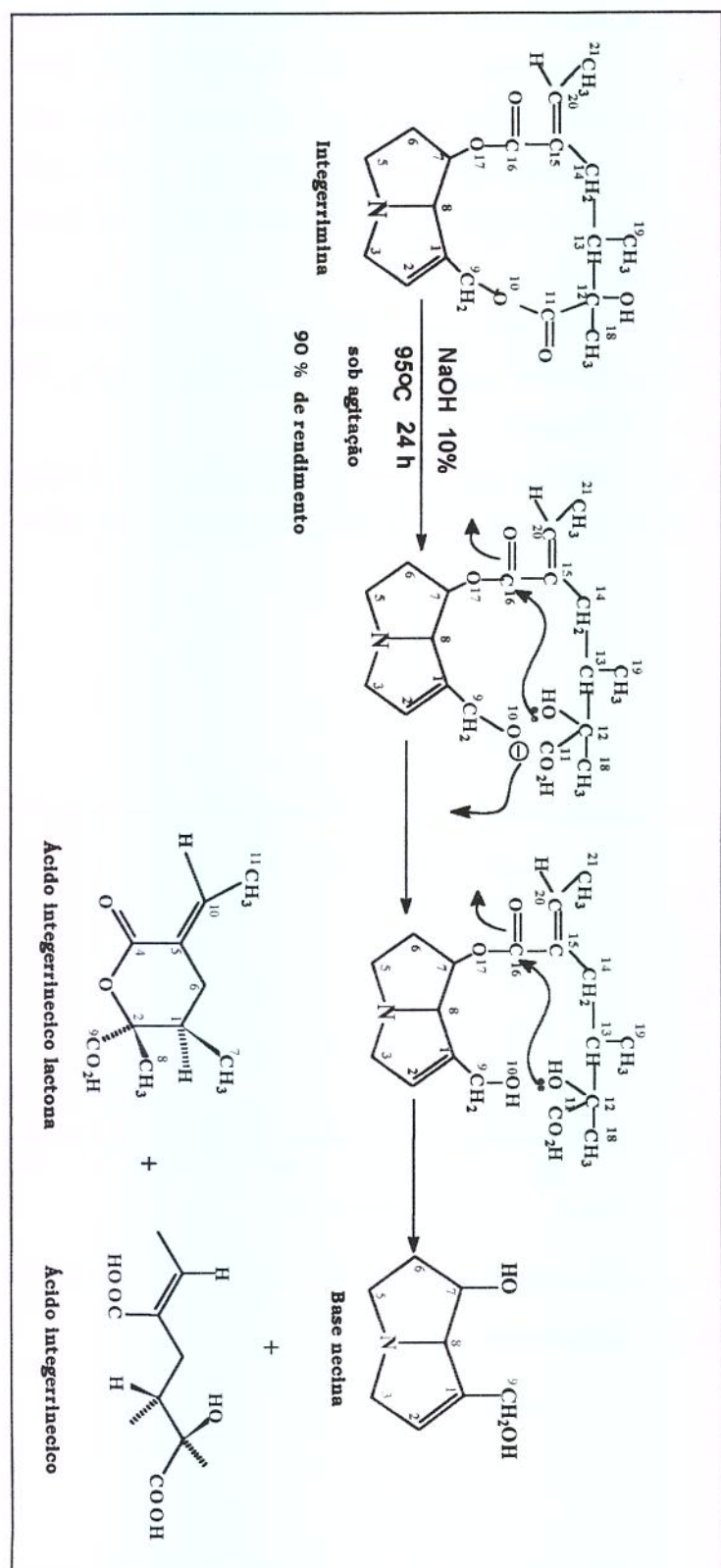
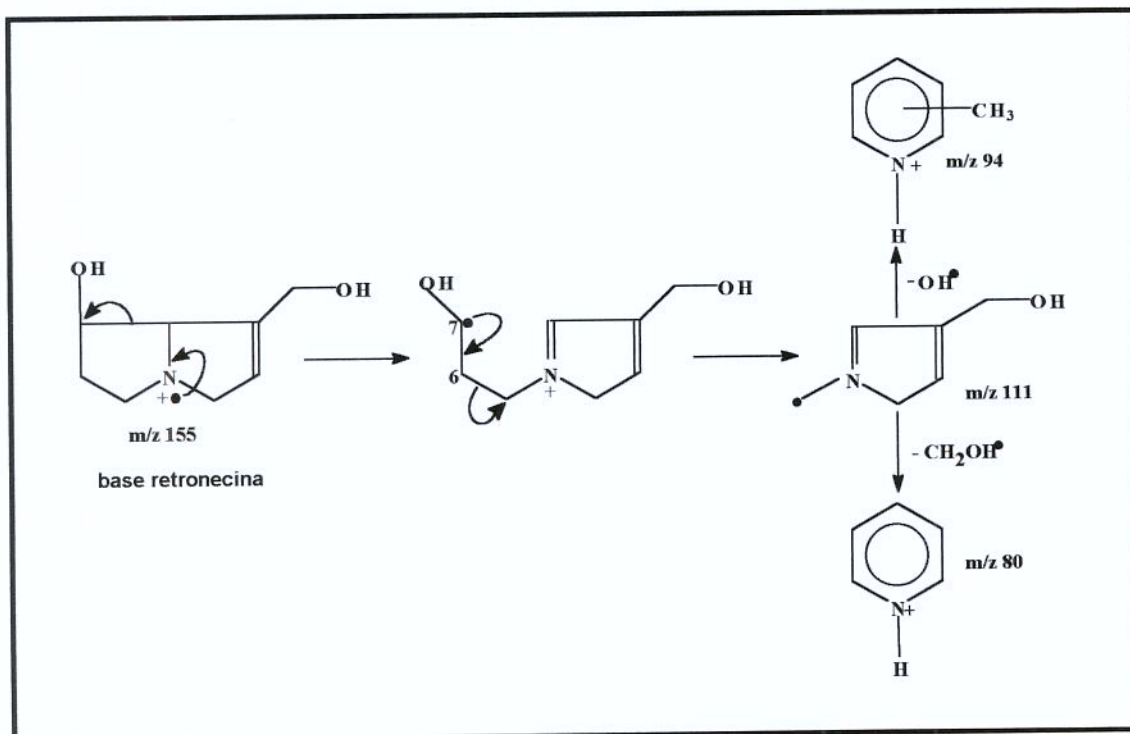


Figura 55. EM-IE da Retronecina.



O mecanismo de fragmentação da Retronecina é mostrado no Esquema 6. O íon m/z 138 corresponde a [M-OH]⁺, e o m/z 124 corresponde a [M-CH₂OH]⁺. A clivagem homolítica entre C7 e C6 do íon molecular (m/z 155) leva o íon a m/z 111. A perda de OH leva o ion a m/z 94 e a perda de CH₂OH leva o ion a m/z 80 (pico base).



Esquema 6. Fragmentação da base Retronecina (Neuner Jehle et al; 1965).

Os dados de RMN¹H e ¹³C da Retronecina estão descritos na Tabela 29 e mostrados nos espectros das Figuras 56 e 57. A análise dos espectros foi acompanhada por uma análise do espectro de ¹³C DEPT (Figura 58). Estes dados foram comparados com os dados de WIEDENFELD & RODER (1991), ROEDER *et al.* (1992), MOYNEUX *et al.* (1982); ROEDER (1990).

Tabela 29. Deslocamentos de RMN-¹H (300 MHz, CDCl₃) e ¹³C (75 MHz, CDCl₃) da Retronecina

Formula: C₈H₁₃NO₂ Massa: 155				Dados da Literatura		
Posição	¹ H		¹³ C	¹ H		¹³ C
	δ (ppm)	J (Hz)		δ (ppm)	δ (ppm)	
1	-	-	137,8	-	-	137,8
2	5,70 (s)	-	127,5	5,75 (d)	-	127,2
3α	3,43 (dd)	15,4	61,8	3,36(dq)	-	61,9
3β	3,87 (d)	4,0; 15,4	-	3,80(dd)	-	-
5α	2,76 (m)	7,7	54,0	2,66(m)	-	54,2
5β	3,26 (t)	-	-	3,17(m)	-	-
6α	1,90-2,03 (m)	-	35,1	2,00(m)	-	35,3
6β	-	-	-	-	-	-
7	4,34 (m)	11,7	71,0	4,39 (m)	-	71,0
8	4,11 (m)	-	79,4	4,14 (m)	-	79,4
9α	4,28 (m)	-	58,6	4,24 (d1)	-	58,6
9β	-	-	-	-	-	-

* RMN¹H (100 MHz, D₂O)

** RMN¹³C (25,03 MHz, CDCl₃)

O espectro de ¹³C mostra sinais em δ 137,8 e 127,5, os quais indicam uma insaturação entre os carbonos C-1 e C-2, respectivamente. Os sinais em δ 79,4 (C-8) e 71,0 (C-7) indicam a presença da base necina (MOLYNEUX *et al.*, 1982).

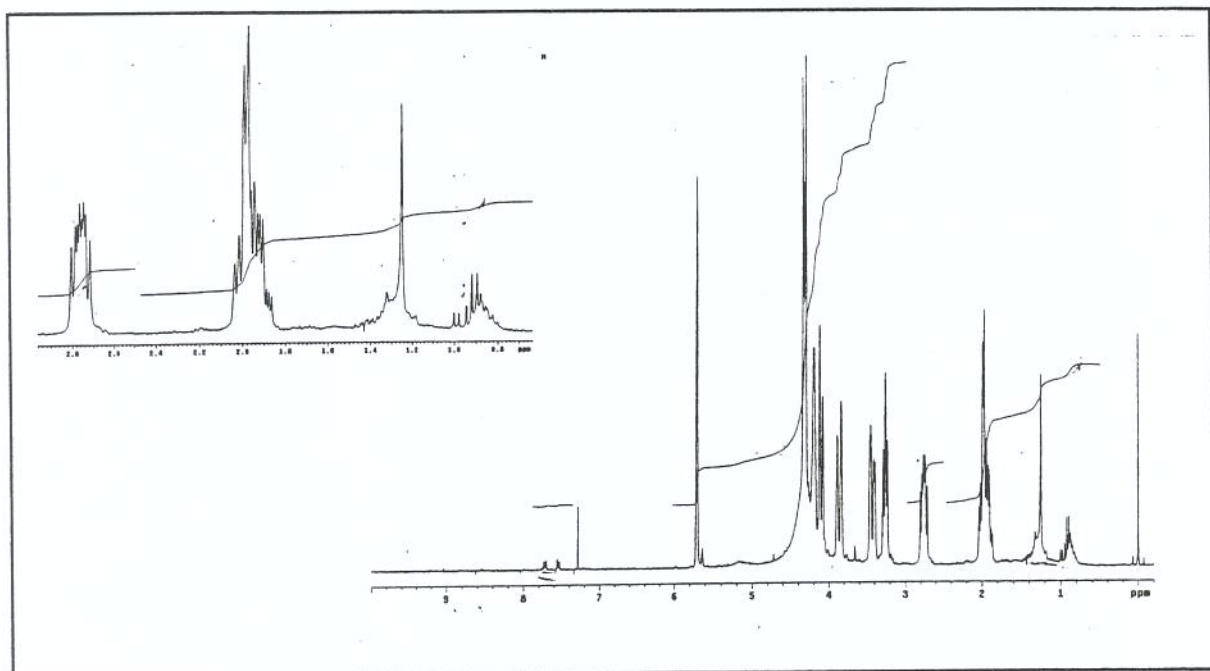


Figura 56. RMN¹H da Retronecina em CDCl₃ a 300 MHz.

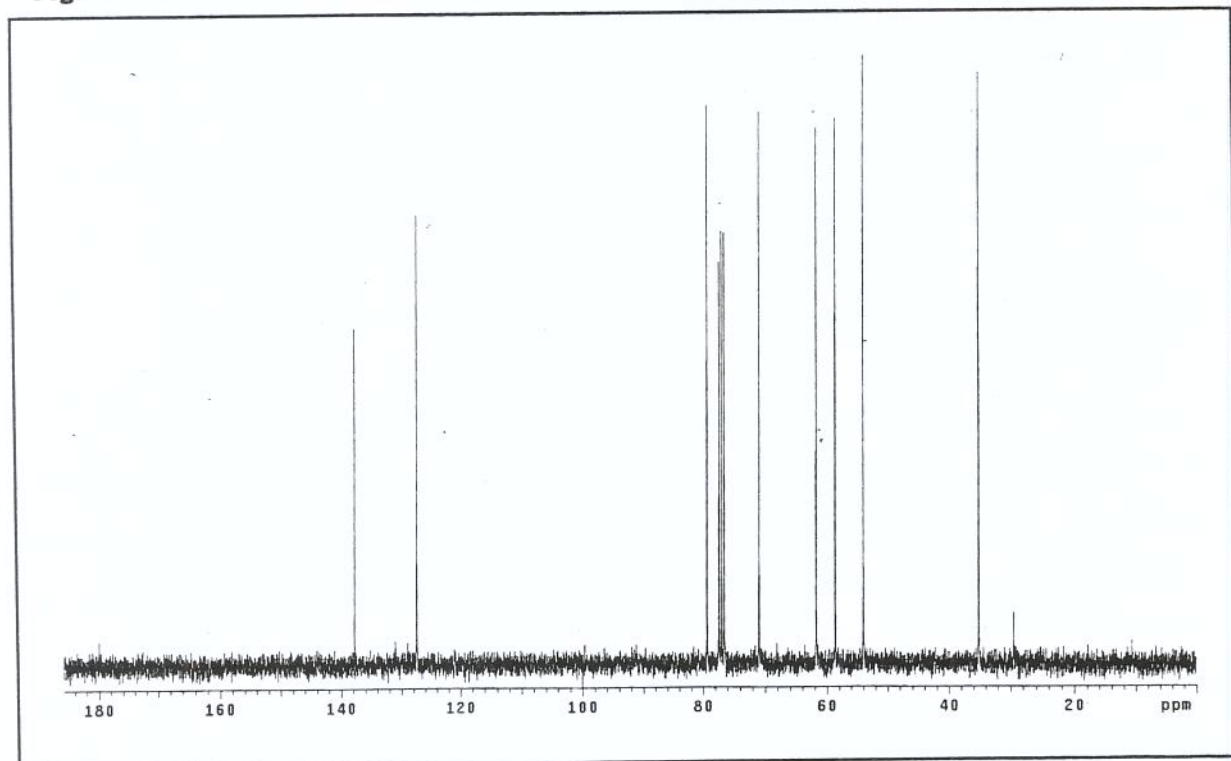


Figura 57. RMN¹³C da Retronecina em CDCl₃ a 75 MHz.

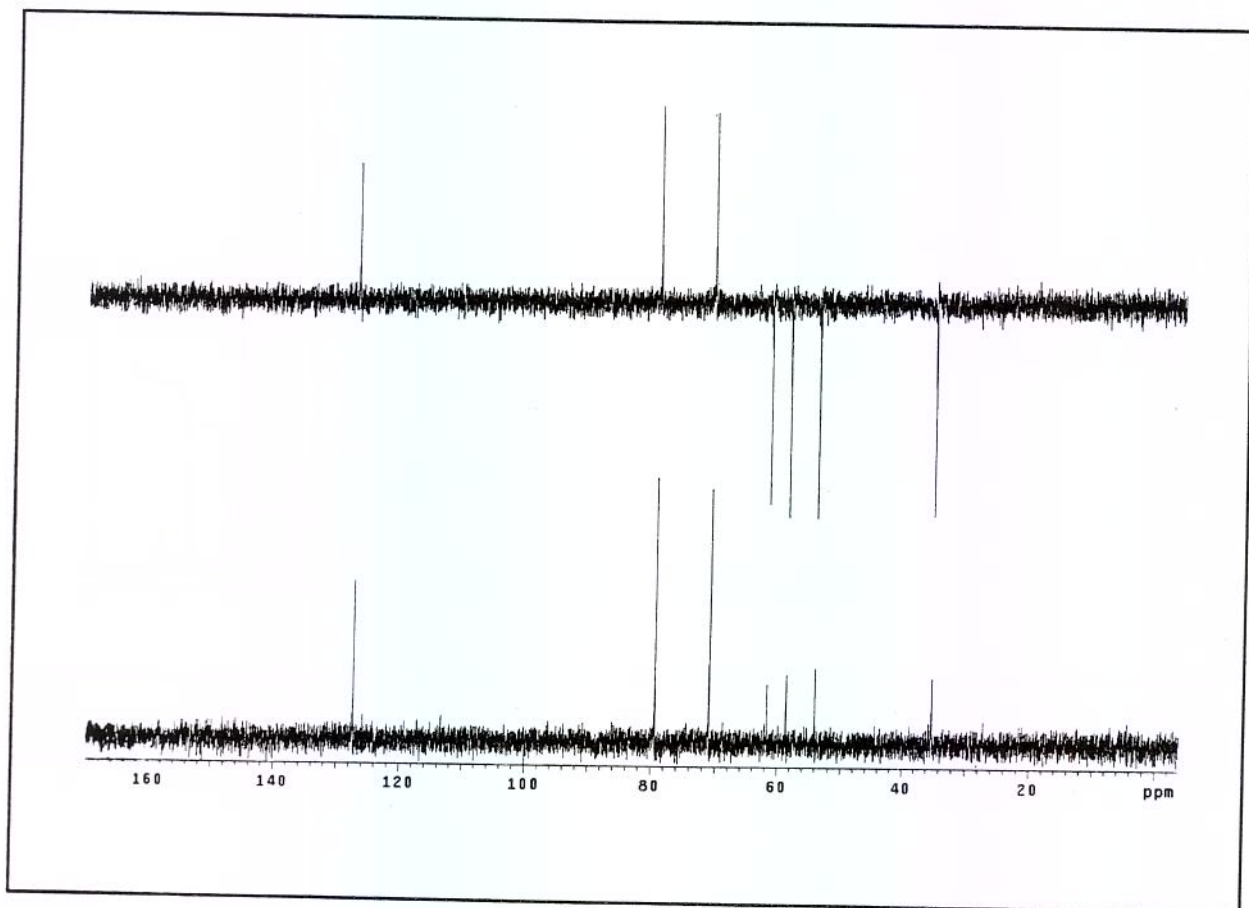


Figura 58. RMN ^{13}C (DEPT) da Retronecina em CDCl_3 a 75 MHz.

Ácido Integerrinécico

Após a separação da base Retronecina a fase aquosa resultante da reação de hidrólise foi acidificada com HCl e os ácidos foram extraídos com éter etílico. A purificação da fase etérea, em coluna cromatográfica empacotada com sílica gel, forneceu 30mg do Ácido Integerrinécico Lactona, que foi caracterizado por EM-IE (Figura 59), RMN ^1H (Figura 60) e ^{13}C (Figuras 61 e 62), cujos dados estão apresentados na Tabela 30.

As atribuições dos sinais nos espectros RMN ^1H , ^{13}C e DEPT foram realizadas com base nos dados de literatura (SILVERSTEIN et al., 1991).

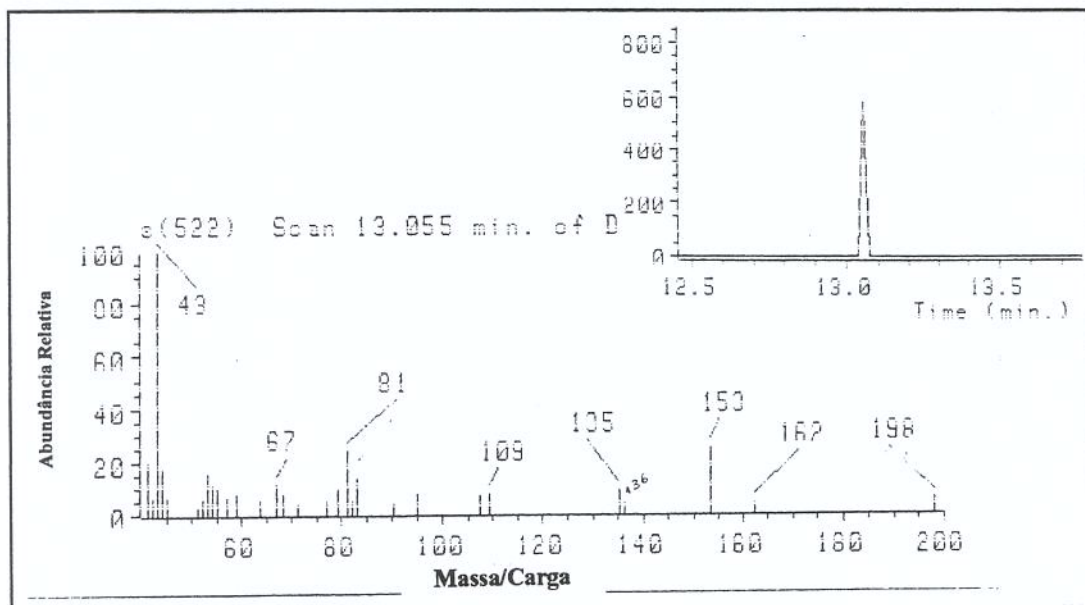
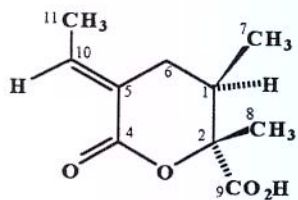


Figura 59 EM de IE do Ácido Integerrinecico Lactona.

Tabela 30. Deslocamentos de RMN-¹H (300 MHz, CDCl₃) e ¹³C (75 MHz, CDCl₃) do Ácido integerrinecico lactona.

Posição	¹ H		¹³ C
	δ (ppm)	J (Hz)	δ (ppm)
1	6,79 (q)	7,2; 14,3	39,4
2	-	-	77,2
3	-	-	-
4	-	-	179,5
5	-	-	141,8
6	3,15 (s)	-	27,3
7	2,10 (d)	8,3	22,7
8	1,83 (dd)	15,0; 8,4	13,9
9	1,62-1,69 (d)	7,2	171,6
10	1,21 (d)	7,2	130,4
11	0,66 (d)	7,2	11,4

O espectro de ¹³C mostra sinais em δ 179,5 e 171,6, referentes as carbonilas (**C-4** e **C-9**) e os sinais em δ 141,8 e 130,4 indicando os carbonos quaternários (**C-5** e **C-10**).



Ácido integerrinecico lactona

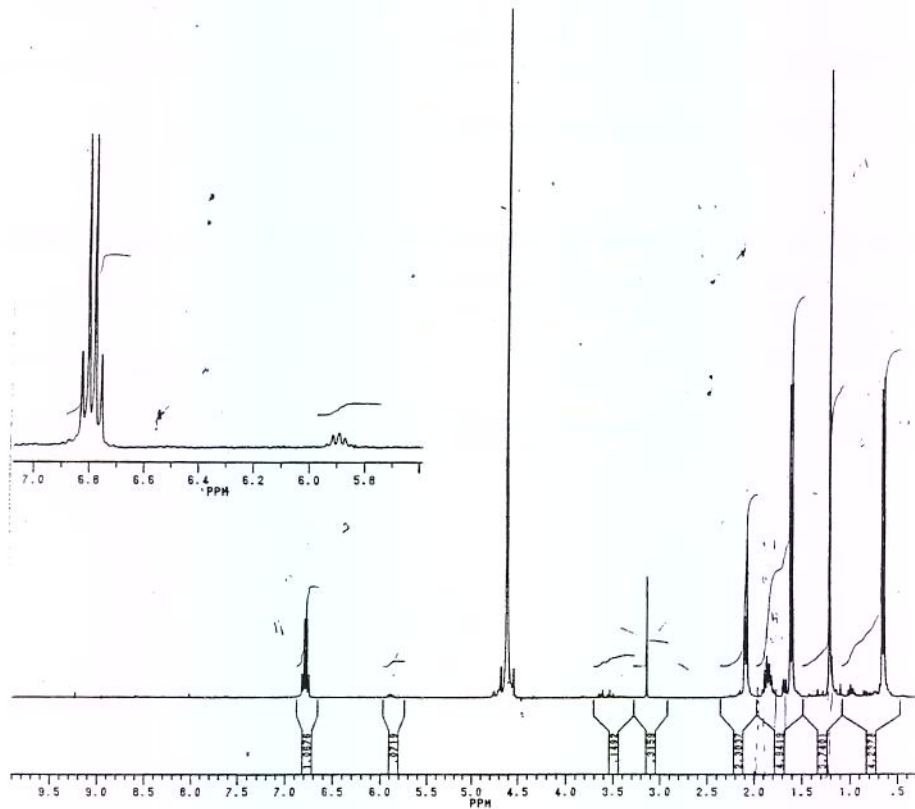


Figura 60. RMN¹H do Ácido integerrinecico lactona em CDCl₃ a 300 MHz.

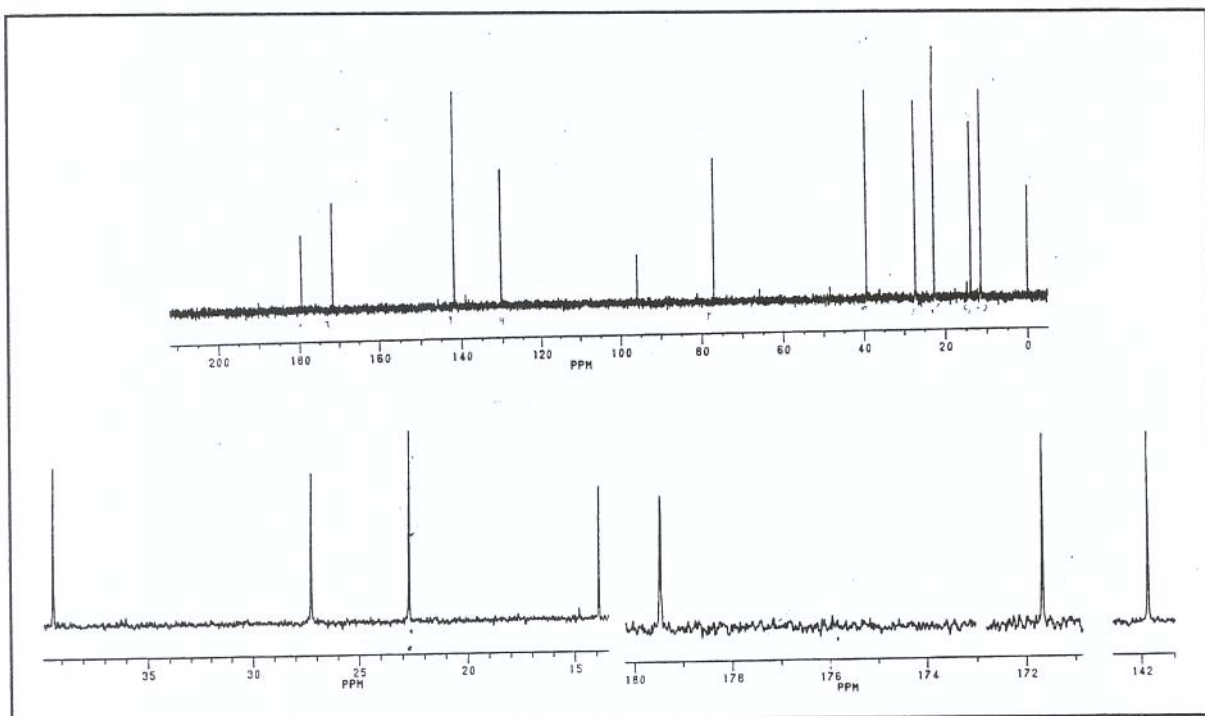


Figura 61. RMN ^{13}C do Ácido integerrinecico lactona em CDCl_3 a 75 MHz.

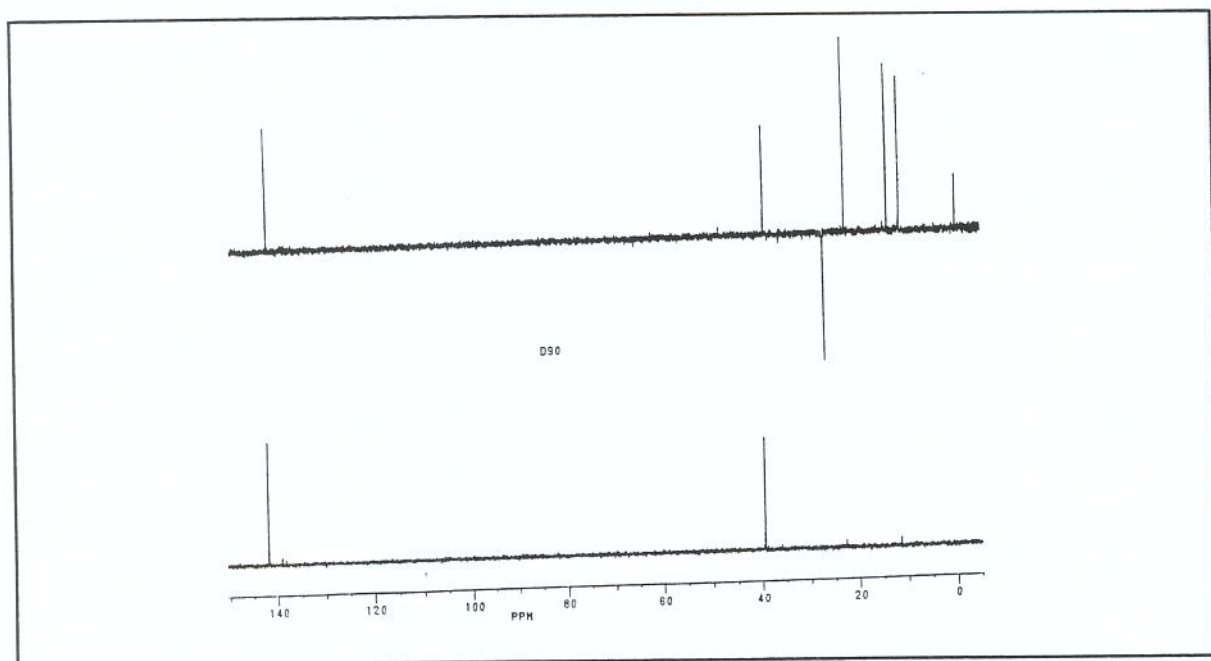


Figura 62. RMN ^{13}C (DEPT) do Ácido integerrinecico lactona 75 MHz.

5.3 Isolamento e Caracterização de Outros APs

Além dos APs isolados para os testes toxicológicos, também foram isolados outros APs presentes em algumas espécies.

A cromatografia de camada delgada (Figura 63) e a análise dos dados obtidos por CG-EM (Figura 64) do extrato bruto metanolico (0,5g de alcalóides totais) das folhas de *Eupatorium laevigatum*, revelou a presença de dois pares de diastereoisomeros: **Amabilina**, **Supinina**, **Equinatina** e **Rinderina**. Estes APs já foram isolados anteriormente por TRIGO *et al.*, 1993.

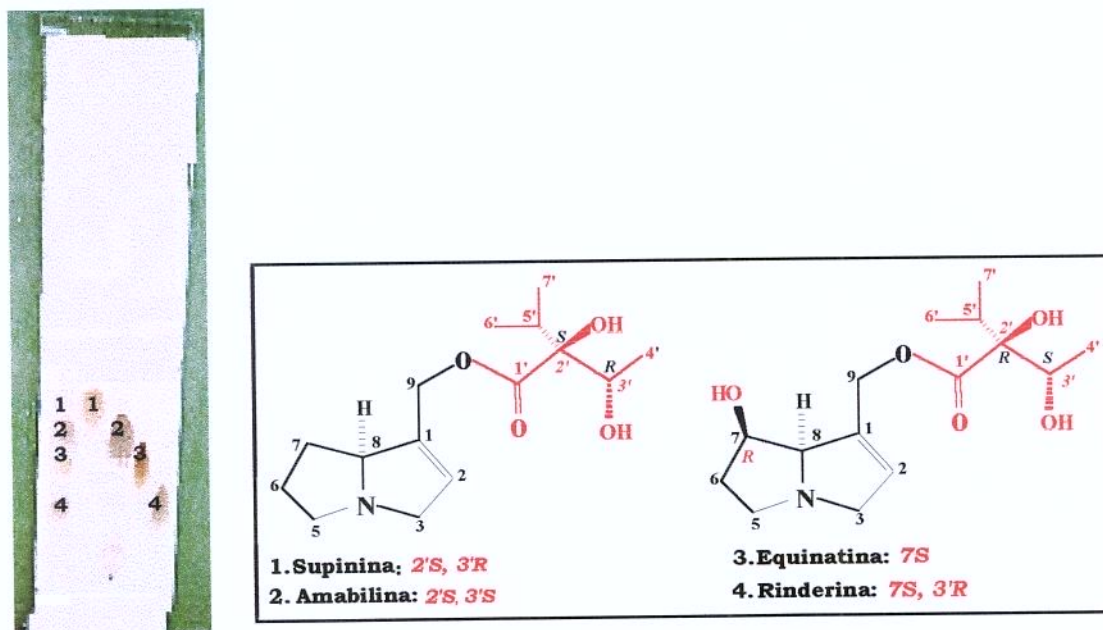


Figura 63. Cromatografia de camada delgada (CCD) do extrato bruto metanolico das folhas de *Eupatorium laevigatum* e os APs identificados por CG-EM.

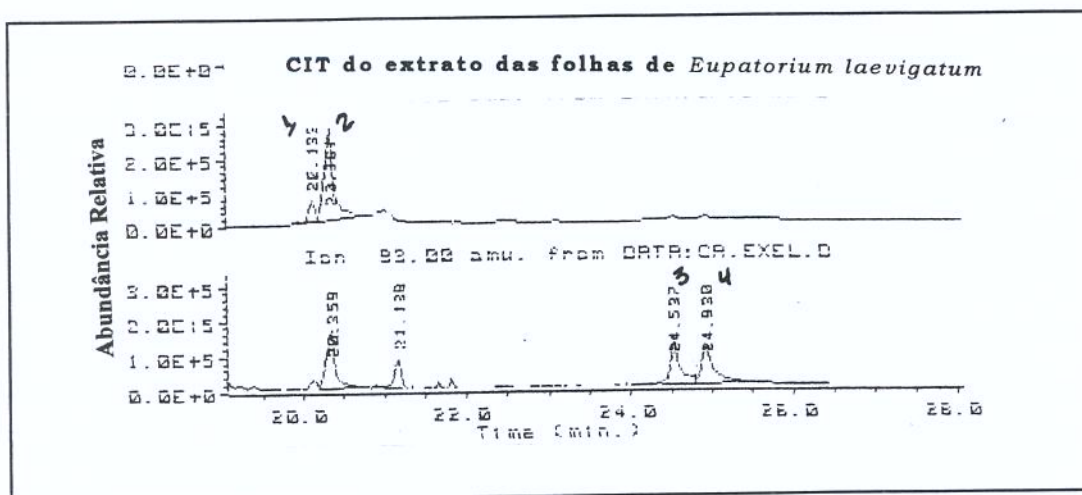


Figura 64. Cromatograma de íons totais do extrato bruto das folhas de *Eupatorium laevigatum*.

Estes compostos foram separados por cromatografia em coluna empacotada com alumina neutra e como eluente foi usado clorofórmio e quantidades crescentes de metanol. Os compostos isolados foram eluídos seguindo a ordem mostrada na Figura 63.

As frações recolhidas foram analisadas por CCD e reunidas em quatro frações principais como mostrado na Tabela 31.

Tabela 31. Frações extraídas do extrato bruto das folhas de *Eupatorium laevigatum*.

Frações	Massa (mg)	Alcalóide
FR1	64,3	Supinina
FR2	77,7	Amabilina
FR2	147,5	Rinderina N-óxido
FR4	164,0	Equinatina N-óxido

Dos quatro compostos isolados somente a Equinatina foi caracterizada. Esse alcalóide foi obtido na forma de N-óxido como um óleo. Sua caracterização foi realizada através da análise dos dados espectrais RMN¹H e ¹³C (Tabela 32) e comparados com os dados da literatura (ASIBAL *et al.*, 1989; RITZ, 1991, LOGIE *et al.*, 1994).

al., 1994). Os espectros de RMN¹H e ¹³C da Equinatina-4-óxido estão apresentados nas Figuras 65 e 66, respectivamente.

A presença desse AP na forma de N-óxido, sugere que a redução do extrato bruto, com zinco, para transformar os APs N-óxidos em APs livres foi incompleta.

O espectro de RMN¹H da Equinatina-4-óxido é similar ao seu correspondente na forma terciária (Equinatina) mostrando uma diferença na região de δ 2,6-4,6. Quanto ao espectro de RMN¹³C, a diferença fundamental esta no carbono C-8 com δ 96,6. Para Equinatina na forma livre esse valor seria em δ 79,6 (ASIBAL *et al.*, 1989). A análise completa dos espectros de RMN¹H foi acompanhada por uma análise de DEPT (Figura 67).

Tabela 32. Deslocamentos químicos de RMN-¹H (300 MHz, DMSO) e ¹³C (75 MHz, DMSO) da Equinatina N-óxido.

Formula: C ₁₅ H ₂₅ NO ₆ Massa: 315				Dados da literatura * J.Nat.Pred. 52(1):109-118, 1989 ** Phytochemistry. 37(1):43-109, 1994		
Posição	δ (ppm)	J (Hz)	δ (ppm)	δ (ppm)	J (Hz)	δ (ppm)
1	-	-	135,2	-	-	133,4
2	5,67 (s)	-	120,0	5,65 (d)	-	121,3
3α	4,38 (s)	-	77,0	4,32 (d)	16,0	77,0
3β	-	-	-	4,61 (d)	16,0	-
5α	3,64 (m)	-	69,4	3,63 (m)	-	67,9
5β	4,07 (m)	-	-	4,04 (m)	-	-
6α	1,92-2,02 (m)	-	32,5	1,94 (m)	-	32,5
6β	-	-	-	2,31 (m)	-	-
7	5,17 (s)	-	70,5	5,19 (d)	-	71,2
8	5,17 (s)	-	96,6	5,19 (m)	-	96,5
9α	4,66 (d)	13,9	60,0	4,62 (d)	14,0	60,0
9β	5,08 (dd)	13,9	-	5,07 (d)	14,0	-
1'	-	-	174,3	-	-	173,0
2'	-	-	84,9	-	-	84,0
3'	3,90 (q)	6,6	73,4	3,90 (d)	7,0	71,7
4'	1,30 (d)	6,6	16,6	1,27 (d)	7,0	16,7
5'	2,18 (qd)	6,6	32,1	2,16 (hept)	7,0	31,9
6'	0,92 (d)	6,6	17,9	0,90 (d)	7,0	17,5
7'	0,87 (d)	6,6	15,2	0,87 (d)	7,0	15,3

*. RMN¹H (300 MHz, CDCl₃)

**. RMN¹³C (100 MHz, CDCl₃)

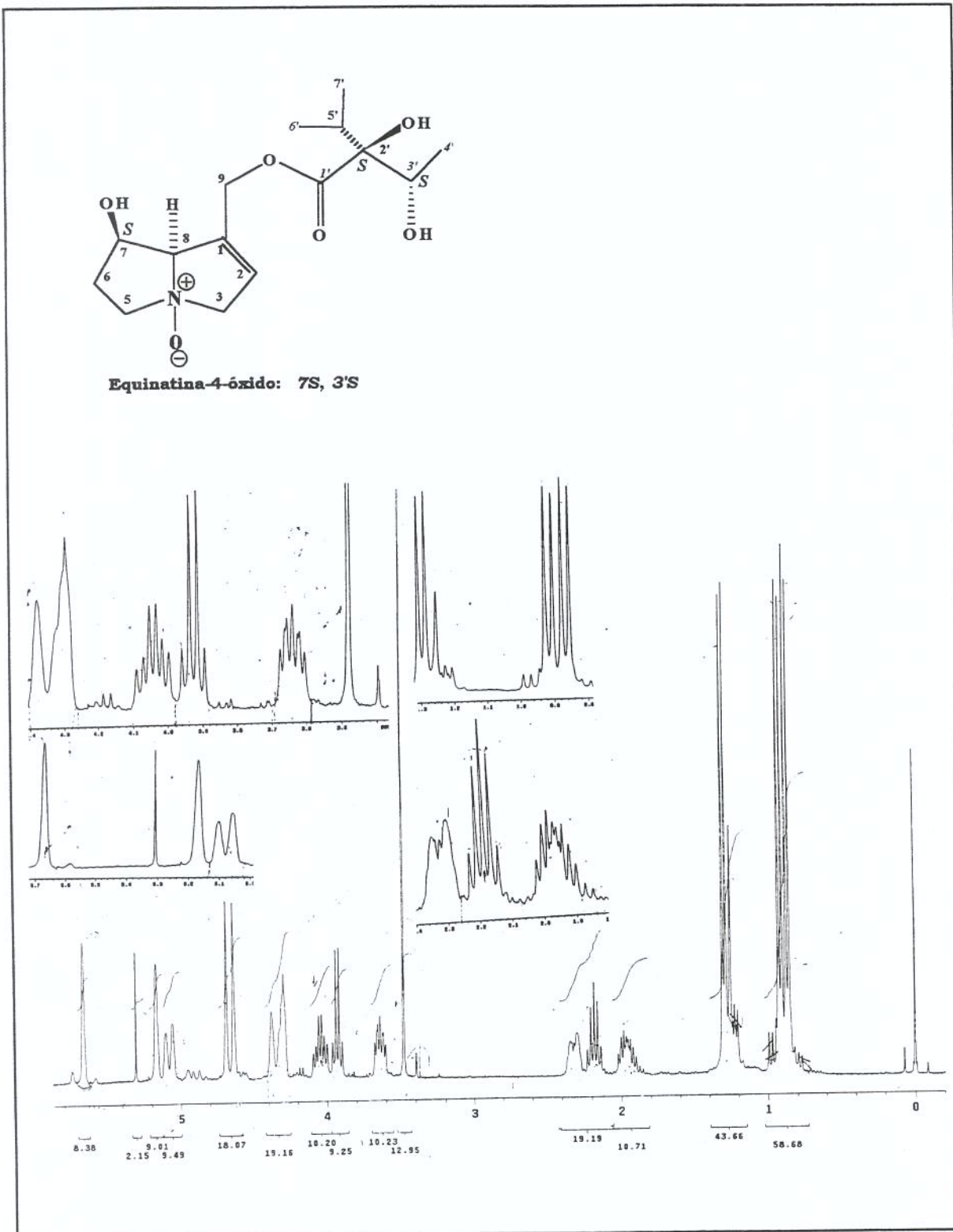


Figura 65. RMN ^1H da Equinatina-4-óxido em CDCl_3 a 300 MHz.

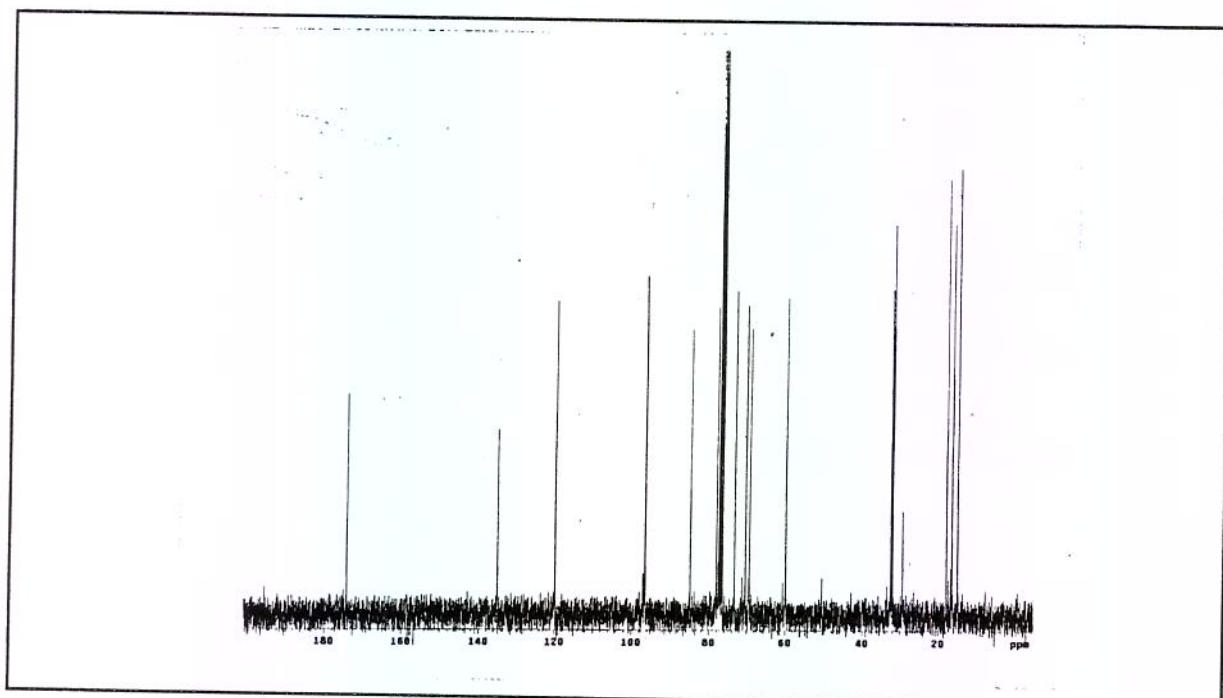


Figura 66. RMN¹³C da Equinatina-4-óxido em CDCl₃ a 75 MHz.

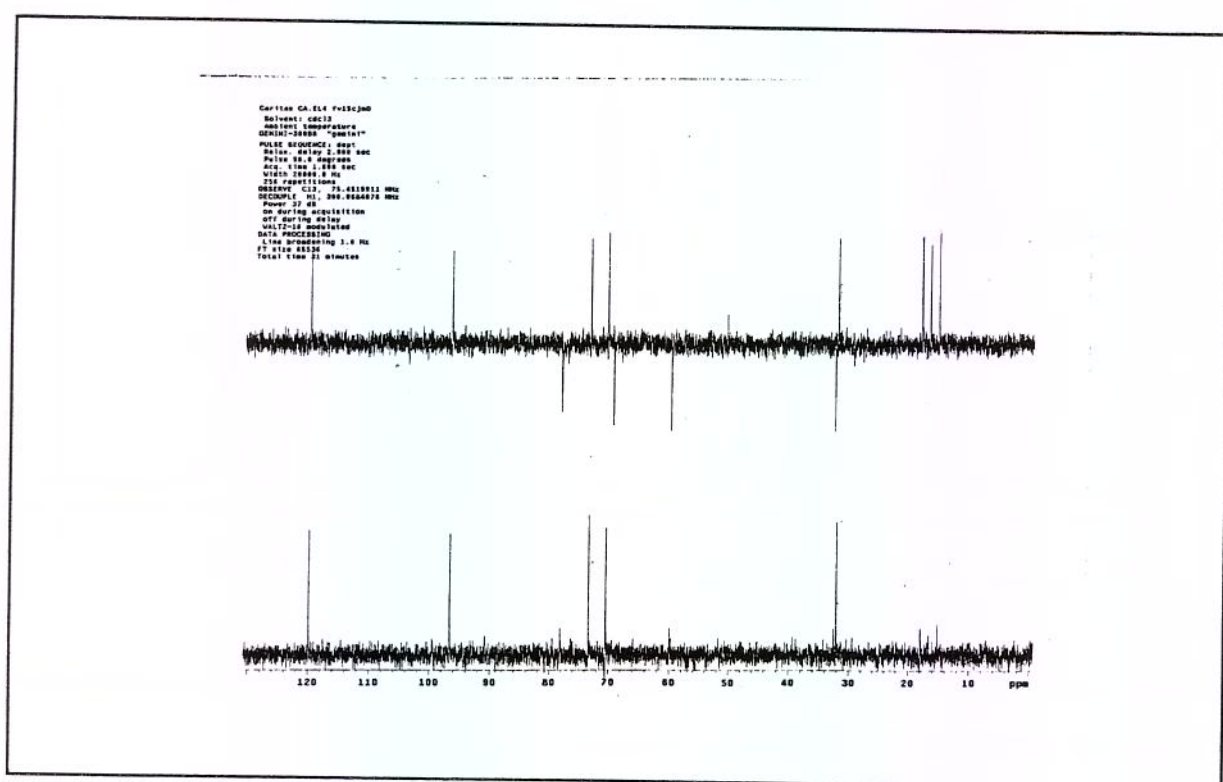


Figura 67. RMN¹³C (DEPT) da Equinatina-4-óxido em CDCl₃ a 75 MHz.

Usaramina

A análise inicial dos extratos brutos metanólicos das sementes de *Crotalaria lanceolata*, *Crotalaria spectabilis* e *Crotalaria juncea* por CG-EM, revelou a presença dos APs Integerrima, Usaramina, um monoéster saturado de estrutura desconhecida e a Monocrotalina. Estes APs foram isolados, caracterizados e suas estruturas confirmadas de acordo com a comparação com os dados da literatura (MOLYNEUX *et al.*, 1982; RIZK, 1991 & LOGIE *et al.*, 1994).

O AP Usaramina foi isolado das sementes *Crotalaria lanceolata*, através de cromatografia em coluna empacotada com sílica gel, utilizando-se como eluente clorofórmio e metanol. O alcalóide (30mg) foi obtido na forma de cristal e purificado em placa preparativa usando-se como eluente clorofórmio, metanol e hidróxido de amônia (92,5:7:0,5). Após a purificação o AP foi caracterizado por CG-EM (Figura 68), RMN¹H (Figura 69), RMN¹³C (Figura 70) e DEPT (Figura 71). Os dados (Tabela 33) foram comparados com dados da literatura (MOLYNEUX, 1982; ROEDER, 1990; RIZK, 1991) confirmando assim a estrutura do AP.

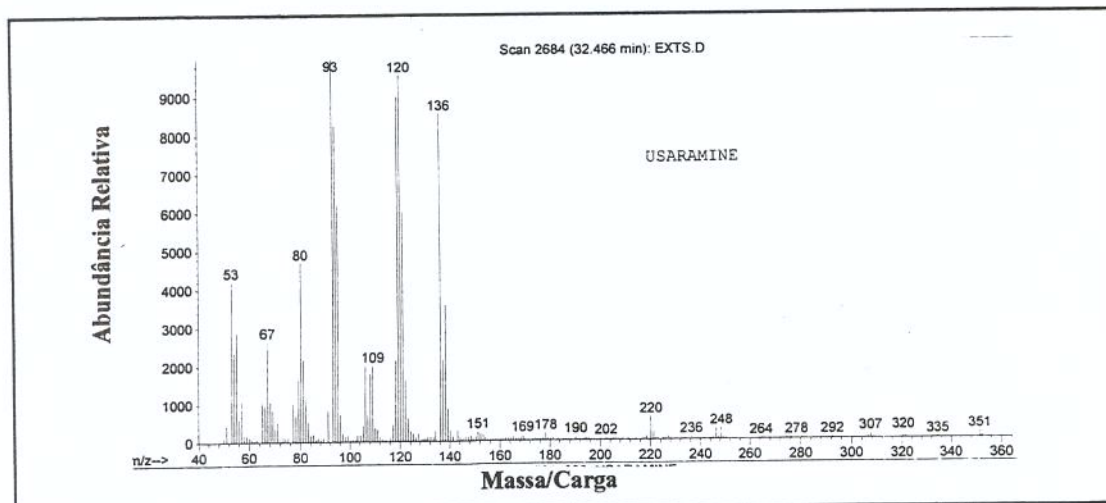


Figura 68. EM-IE do AP Usaramina.

Tabela 33. Deslocamentos químico de RMN-¹H (300 MHz, CDCl₃) e ¹³C (75 MHz, CDCl₃) da Usaramina.

Formula: C ₁₈ H ₂₅ NO ₆ Massa: 351				Dados da Literatura		
Posição	¹ H		¹³ C	¹ H		¹³ C
	δ (ppm)	J (Hz)		δ (ppm)	J (Hz)	
1	-	-	131,7	-	-	131,7
2	6,20 (s)	-	137,3	6,21 (d)	6,8	136,6
3α	3,39 (dd)	15,0; 5,0	62,5	3,33	-	62,5
3β	3,94 (d)	16,0	-	3,89	-	-
5α	2,57 (m)	-	52,9	2,48	-	52,9
5β	3,24 (t)	8,0	-	3,20	-	-
6α	2,06-2,14 (m)	-	33,5	2,09	-	33,7
6β	2,40 (m)	-	-	2,33	-	-
7	4,99-5,03 (m)	1,8	75,6	5,01 (m)	-	75,5
8	4,30 (s)	-	76,9	4,22	-	76,9
9α	4,17 (d)	11,7	61,3	4,09 (d)	11,7	61,2
9β	5,45 (d)	11,7	-	5,42 (d)	11,7	-
11	-	-	176,0	-	-	175,6
12	-	-	81,2	-	-	81,3
13	1,75 (d)	7,0	36,6	1,64	-	36,8
14α	2,05 (d)	13,0	29,5	1,71	-	29,3
14β	2,20 (dd)	13,0; 10,0	-	2,16	-	-
15	-	-	133,6	-	-	133,4
16	-	-	169,3	-	-	168,9
18α	3,65 (d)	11,0	66,3	3,57	-	67,1
18β	3,76 (d)	11,0	-	3,68	-	-
19-CH ₃	0,86 (d)	7,0	12,3	0,84 (d)	6,5	12,3
20	6,54 (q)	6,9	135,9	6,50 (q)	6,8	135,7
21-CH ₃	1,85 (d)	6,9	13,9	1,75 (dd)	6,8;0,9	14,2

* RMN-¹H (200 MHz, CDCl₃)

** RMN-¹³C (200 MHz, CDCl₃)

O sinal em δ 6,54 (**C-20**), no espectro de RMN-¹H é característico do macrocíclico Usaramina (configuração *E*- LOGIE *et al.*, 1994)).

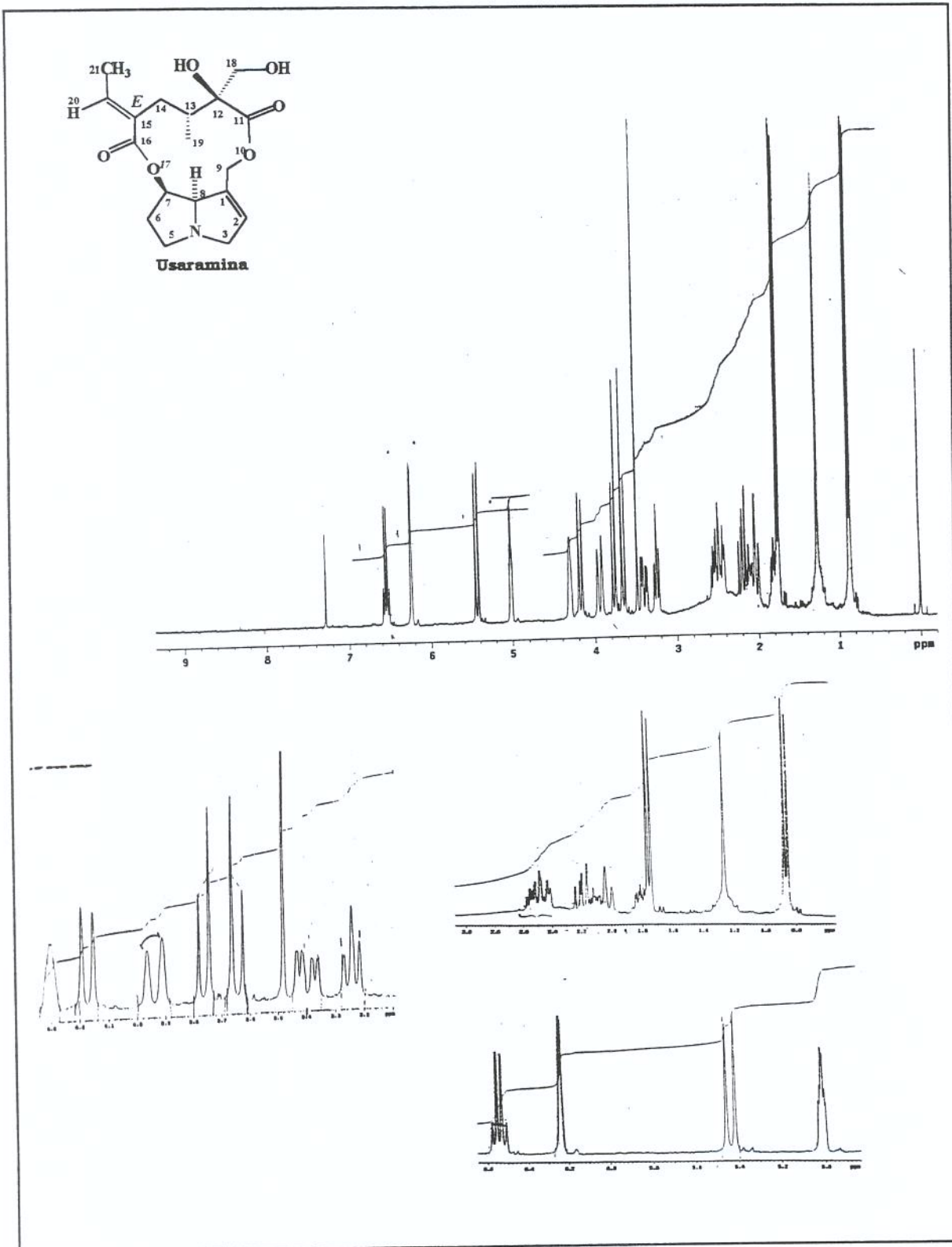


Figura 69. RMN ^1H da Usaramina em CDCl_3 a 300 MHz.

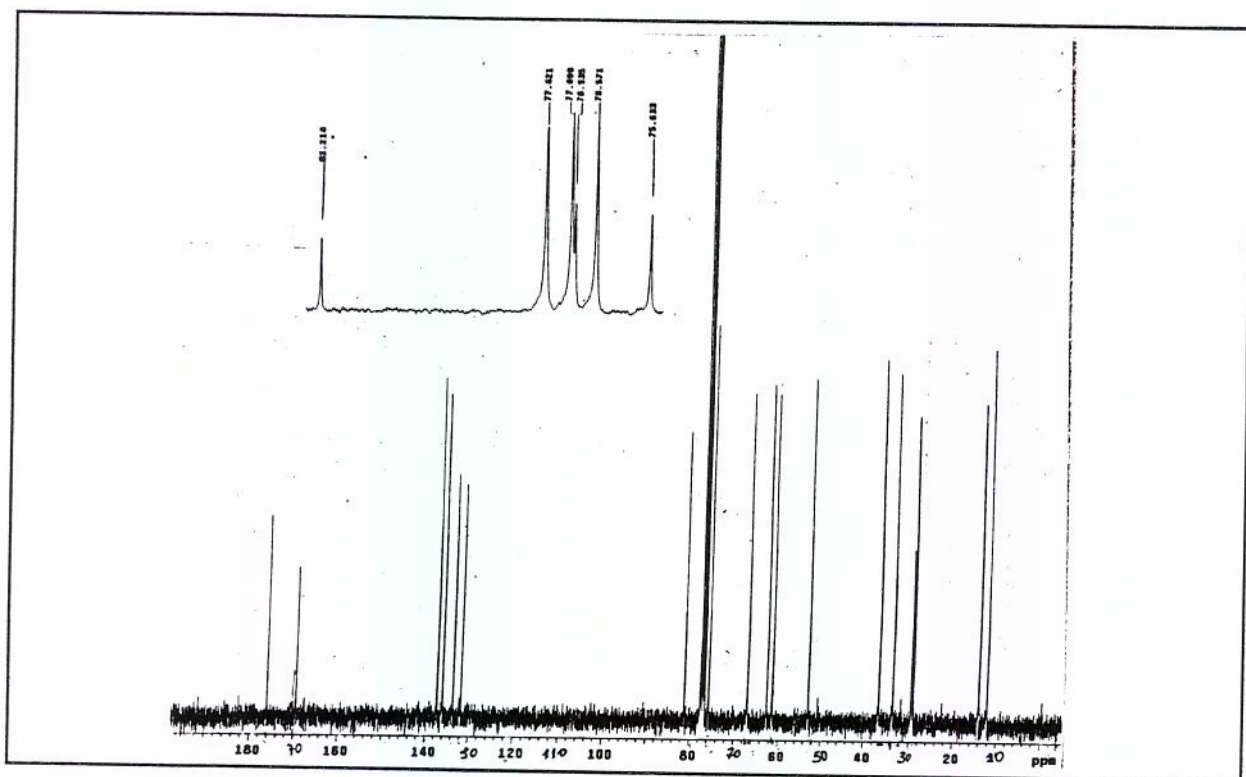


Figura 70. RMN ^{13}C da Usaramina em CDCl_3 a 75 MHz.

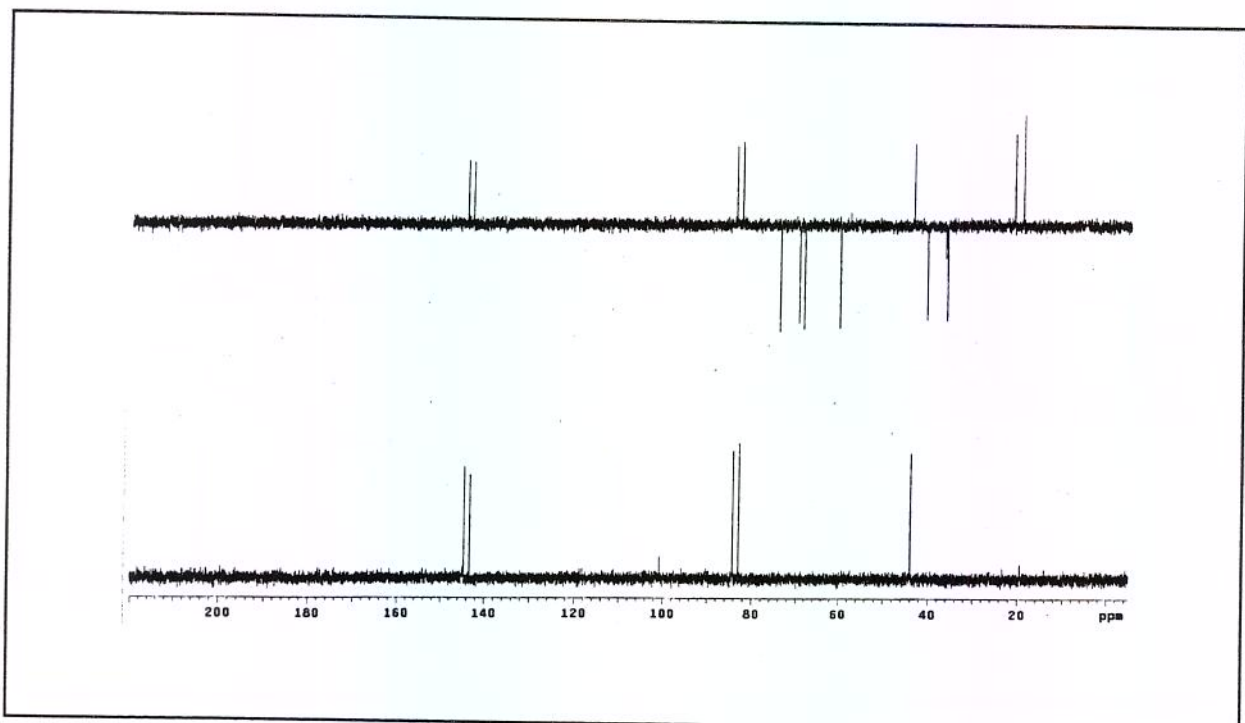


Figura 71. RMN ^{13}C (DEPT) da Usaramina em CDCl_3 a 75 MHz.

Além do AP Usaramina, a análise do extrato bruto metanólico por CG-EM das sementes *Crotalaria lanceolata* revelou a presença de um AP (mancha marcada com um círculo na CCD, Figura 72), cuja provável estrutura esta mostrada na Figura 72 . Foi obtido 10mg desse composto na forma de uma goma branca, cuja identificação foi feita por GC-EM, Figura 73.

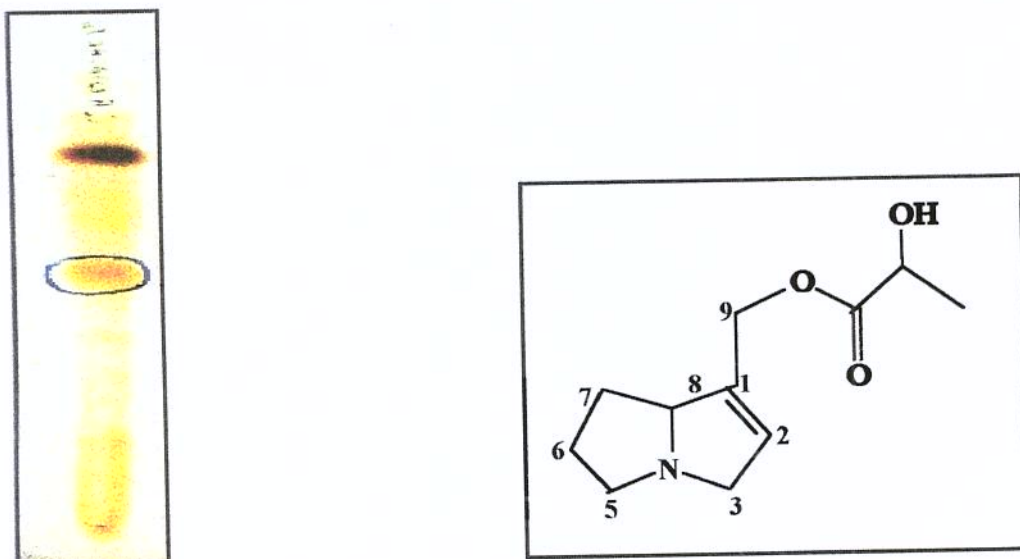


Figura 72. Cromatografia de camada delgada do extrato bruto metanólico das sementes de *Crotalaria lanceolata* e a provável estrutura do AP isolado deste extrato.

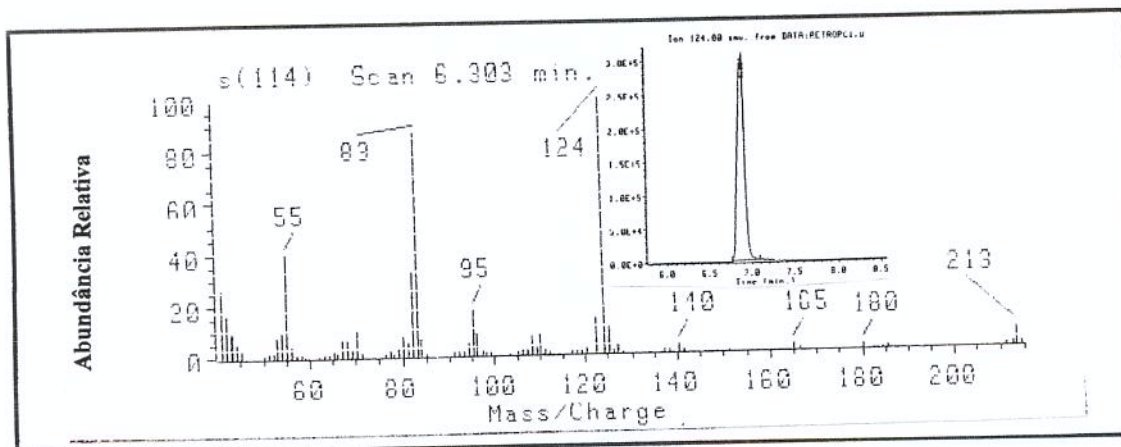


Figura 73. EM-IE do AP de estrutura não definida.

O composto foi enviado para análise de RMN¹H. Entrtanto, não foi possível confirmar com segurança a sua estrutura química. O

espectro mostrou a presença de uma mistura. Os deslocamentos químicos mostravam ser o AP apresentado na figura 72, porém os dados da metade até o fim do espectro mostrava uma outra estrutura. Devido a pouca quantidade do material não foi possível repetir a análise para uma caracterização mais completa, ficando em aberto para estudos posteriores.

Monocrotalina

A análise inicial do extrato bruto metanólico das sementes de *Crotalaria spectabilis* por CG-EM mostrou a presença majoritária do AP Monocrotalina (Figura 74). O isolamento deste AP foi realizado por meio de cromatografia de adsorção em sílica gel, usando-se como fase móvel CHCl₃ e quantidades crescentes de MeOH.

O alcalóide (80mg) foi obtido como um pó de cor amarela, sendo caracterizado por RMN¹H (Figura 74), ¹³C (Figura 75). A análise completa dos espectros RMN¹H e ¹³C foi acompanhada por uma análise de espectros 2D homo e heteronuclear (Figuras 76, 77 e 78, respectivamente).

Os dados de RMN¹H e ¹³C (Tabela 34) foram comparados com dados da literatura (MOLYNEUX, 1982; ROEDER, 1990; RIZK, 1991 & LOGIE *et al.*, 1994), confirmando assim a estrutura do alcalóide.

Tabela 34. Deslocamentos químicos de RMN-¹H (300 MHz, CDCl₃) e ¹³C (75 MHz, CDCl₃) da Monocrotalina.

Formula: C ₁₆ H ₂₃ NO ₆ Massa: 325				Dados da Literatura:			
	¹ H		¹³ C		¹ H		¹³ C
Posição	δ (ppm)	J (Hz)	δ (ppm)	δ (ppm)	J (Hz)	δ (ppm)	δ (ppm)
1	-	-	132,7	-	-	-	132,3
2	6,04 (s)	-	134,3	6,04	-	-	134,2
3α	3,89 (dl)	16,0	60,5	3,48	-	-	60,4
3β	3,47 (dd)	16,0; 5,5	-	3,91	-	-	-
5α	3,17 (dd)	9,0; 5,5	53,6	3,22	-	-	53,7
5β	2,58 (q)	9,0	-	-	-	-	-
6α	2,05-2,09 (m)	-	33,5	2,09	-	-	33,5
6β	-	-	-	-	-	-	-
7	5,04 (m)	-	75,1	5,06	-	-	74,6
8	4,40 (m)	-	76,6	4,39	-	-	76,8
9α	4,68 (d)	11,9	61,3	4,69	-	-	61,3
9β	4,89 (d)	11,9	-	4,91	-	-	-
11	-	-	174,0	-	-	-	174,8
12	-	-	78,7	-	-	-	78,6
13	-	-	76,7	-	-	-	77,7
14α	2,79 (q)	-	44,3	2,80	-	-	44,2
14β	-	-	-	-	-	-	-
15	-	-	173,5	-	-	-	174,3
16	-	-	-	-	-	-	-
17 (CH ₃)	1,35 (s)	-	21,9	1,35	-	-	22,4
18 (CH ₃)	1,43 (s)	-	17,6	1,45	-	-	18,2
19 (CH ₃)	1,21 (d)	7,1	13,6	1,22	-	-	14,3

* RMN-¹H (300 MHz, CDCl₃)

** RMN-¹³C (25,03 MHz, CDCl₃, D₂O, C₅D₅N)

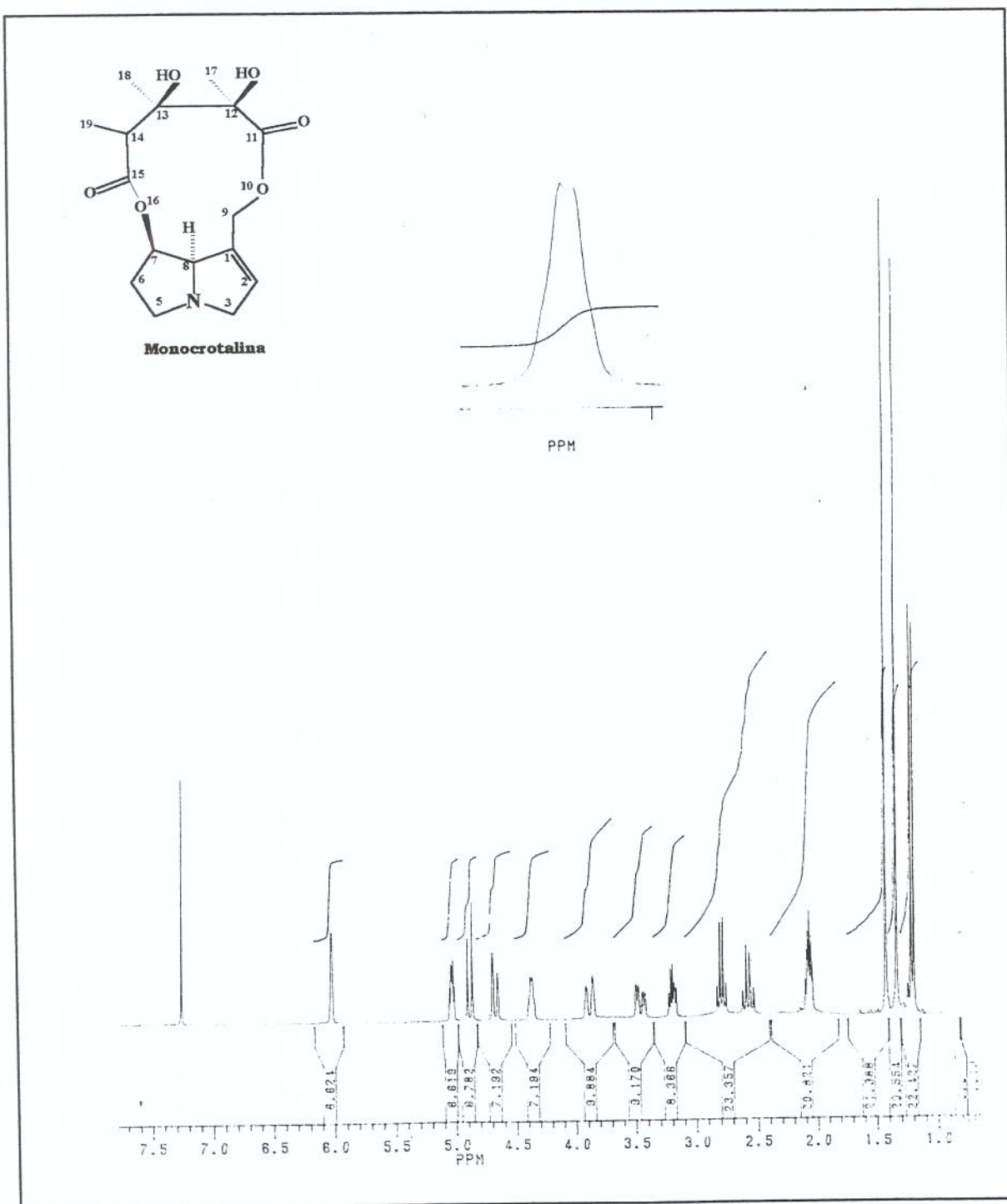


Figura 74. RMN ^1H da Monocrotalina em CDCl_3 a 300 MHz.

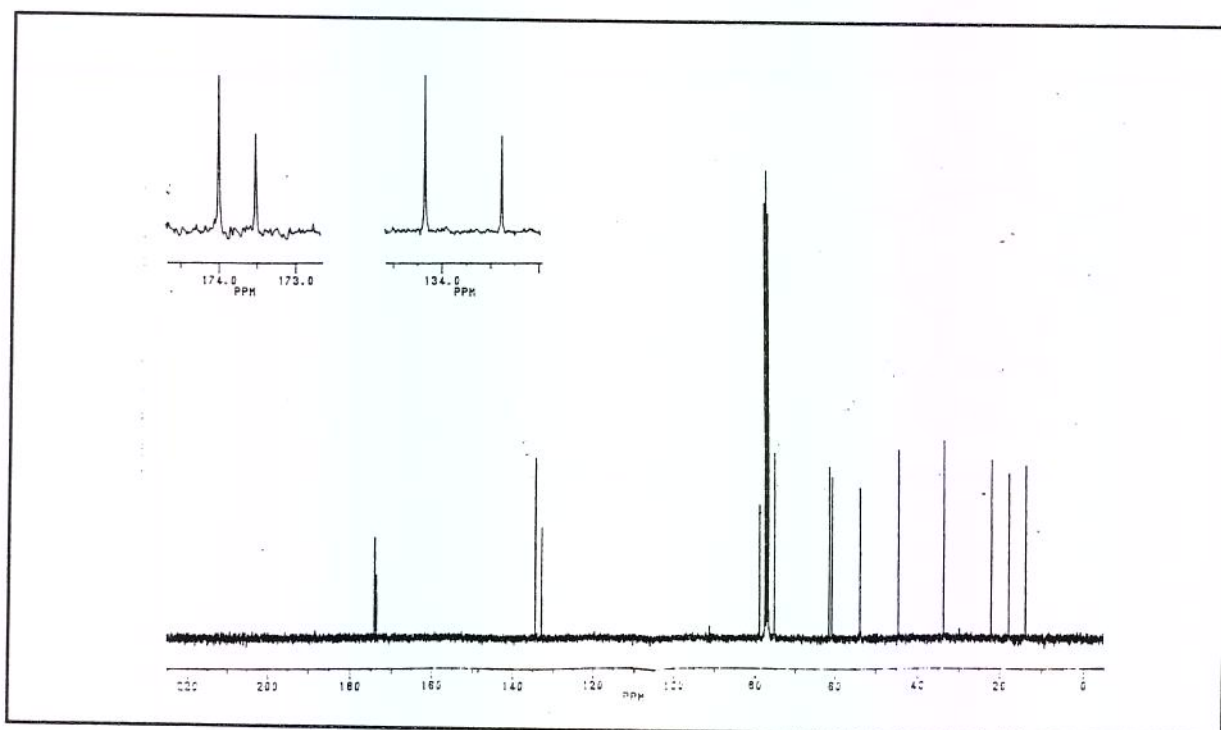


Figura 75. RMN ^{13}C da Monocrotalina em CDCl_3 a 75 MHz.

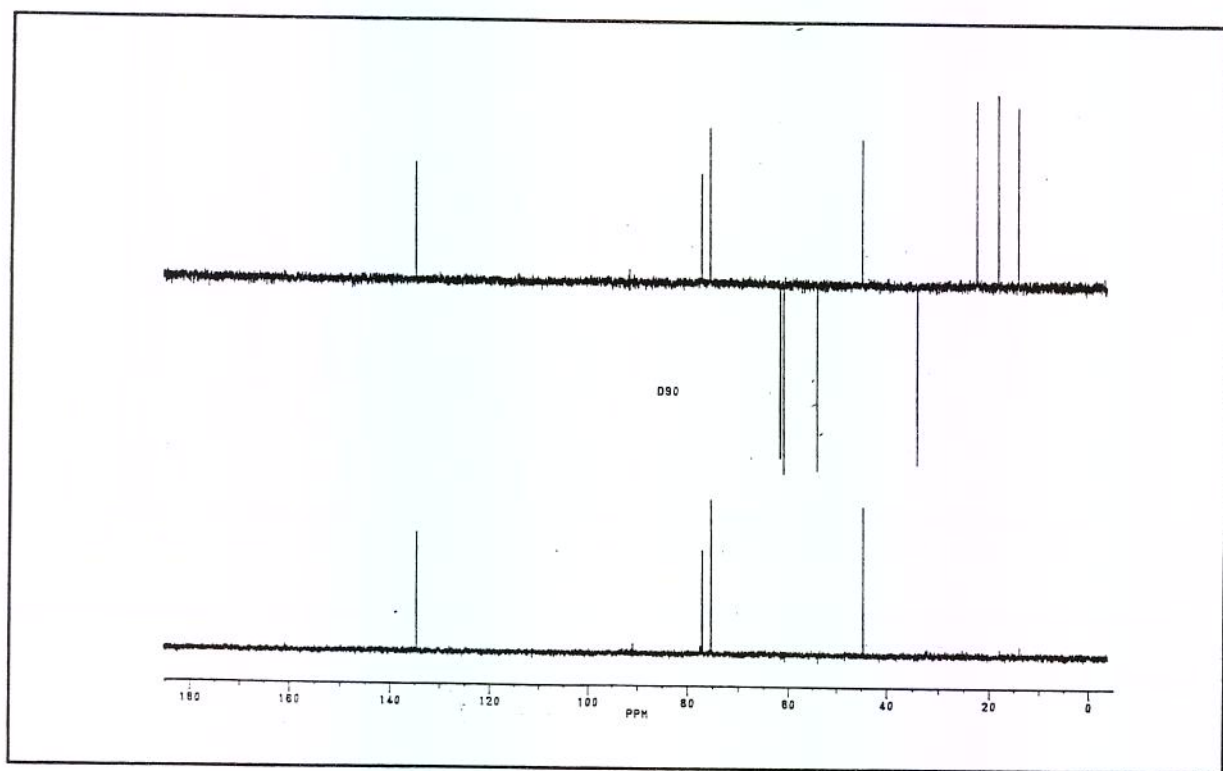


Figura 76. RMN ^{13}C (DEPT) da Monocrotalina em CDCl_3 a 75 MHz.

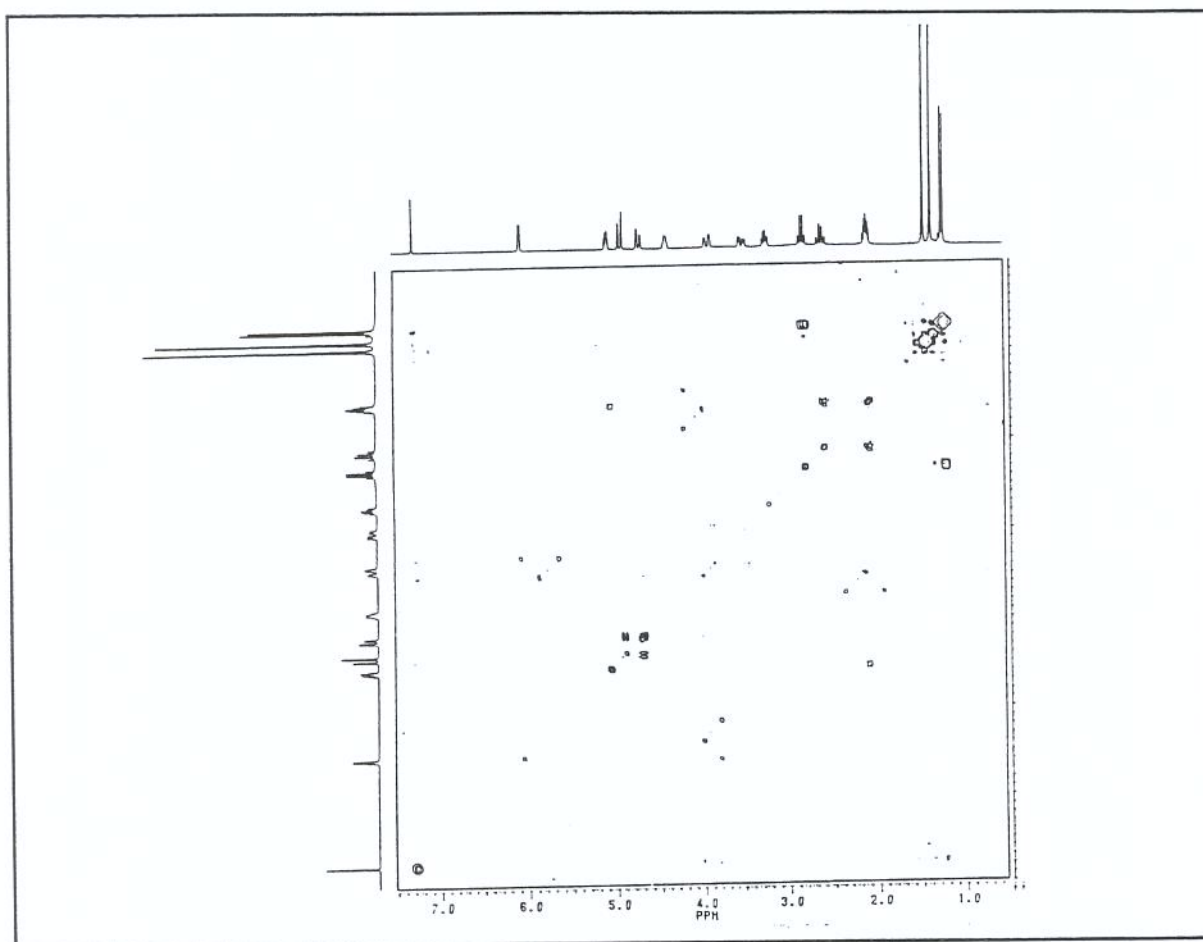


Figura 77. COSY (^1H - ^1H) da Monocrotalina em CDCl_3 a 300 MHz.

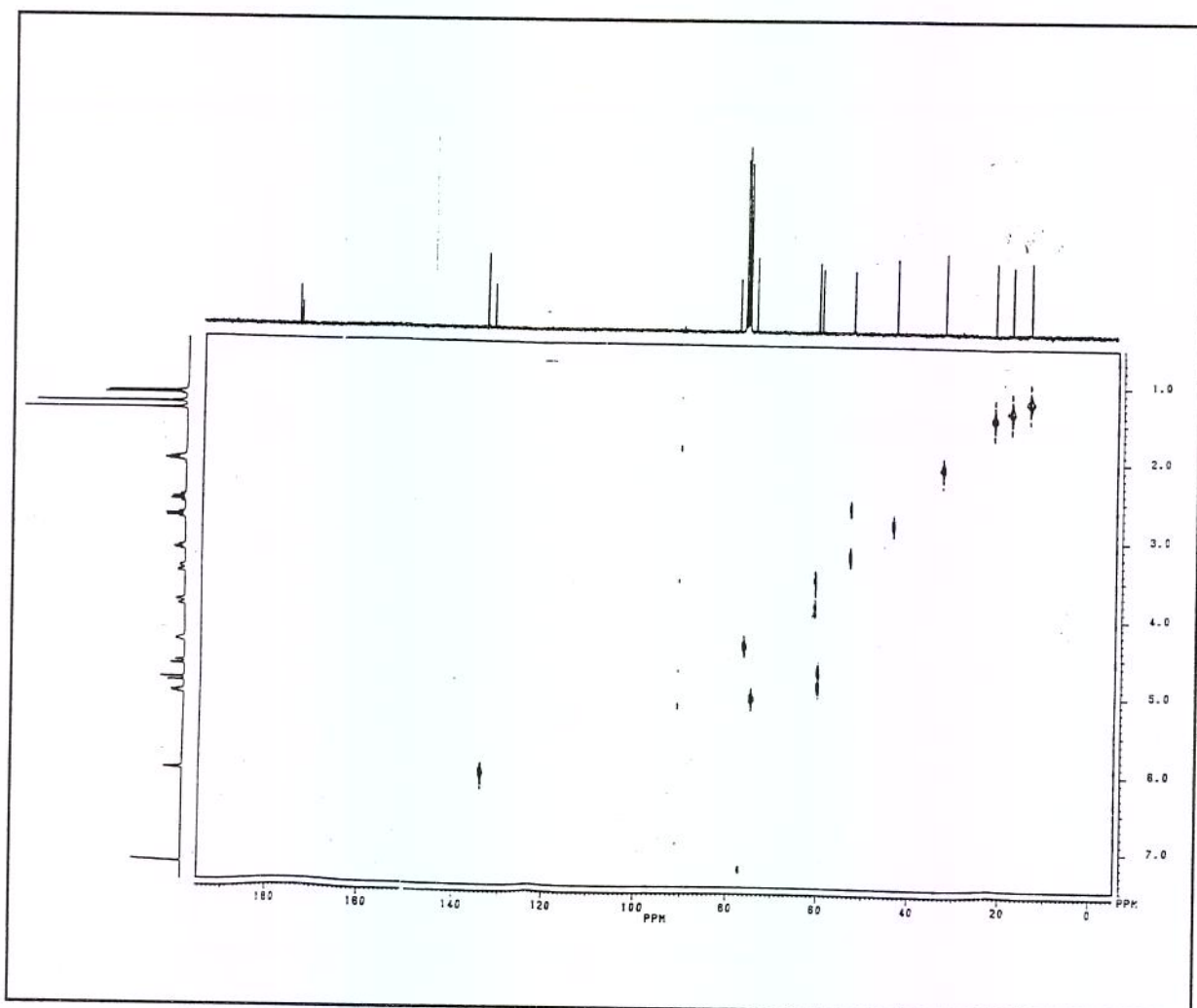


Figura 78. HETCOR (^1H - ^{13}C) da Monocrotalina em CDCl_3 a 75 MHz.

5.4 TESTES DE TOXICIDADE

Este estudo comprehende a análise dos dados toxicológicos de uma substância química com o objetivo de classificá-la toxicologicamente e, ao mesmo tempo, obter informações a respeito de seus efeitos, da forma concreta de seu emprego e do modo como estes podem ser utilizados sem causarem danos ao ser humano.

Os dados toxicológicos são informações obtidas através da experimentação em animais de laboratório ou através de registros de casos de intoxicações ocorridas em seres humanos.

Os testes de avaliação de toxicidade podem ser divididos em duas categorias. A primeira inclui aqueles testes destinados a avaliar os efeitos gerais da substância sobre os animais de experimentação, e os testes diferem entre si de acordo com a duração e a extensão com que os animais são criticamente avaliados, e são divididos em (BRITO, 1994):

1. Teste de Toxicidade Aguda (dose simples), avalia o efeito danoso que se produz dentro de um curto período de tempo e que resulta da administração de uma dose única ou de várias doses de uma substância em um período de 24 horas, com observação até 14 dias.

2. Teste de Toxicidade Aguda (doses repetidas), avalia o efeito nocivo de doses repetidas resultante da ação ou do aumento da concentração da substância administrada.

3. Teste de Toxicidade Subcrônica (trinta a noventa dias, após a ingestão da substância), é utilizado para verificar o efeito nocivo que se produz no animal de experimentação, resultante da administração repetida e diária da substância administrada, considerando-se o acúmulo no organismo e consequente aumento de sua concentração; este teste fornece informações acerca dos riscos potenciais para a saúde, resultantes da exposição, de preferência oral, de doses repetidas de uma dada substância em um período limitado de tempo (30 a 90 dias).

4. Teste de Toxicidade Crônica (três meses a um ano, após a ingestão da substância); este estudo fornece informações acerca dos riscos potenciais para a saúde, resultantes de uma exposição oral de doses repetidas de uma dada substância, a curto e a longo prazo, e informações adicionais sobre órgão-alvo, possibilidades de efeitos acumulativos e informações iniciais de segurança concernentes à exposição da substância teste para o homem.

A segunda categoria de testes refere-se àqueles designados para avaliar, com detalhe, tipos específicos de toxicidade. Dentre estes, podemos citar os testes para avaliar a teratogenicidade, mutagenicidade, ensaios para determinar os efeitos sobre a capacidade de reprodução, ensaios para determinar a capacidade dos agentes de provocarem tumores, isto é, ensaios de carcinogenicidade (LOOMIS, 1975).

5.4.1 Teste de Toxicidade Aguda - Exame Anatomopatológico

Grupo A. Controle

Os exemplares do grupo controle (**A**) apresentaram, após o experimento, o fígado com a estrutura hepática típica comumente observada para um rato de fígado normal, com coloração vermelho rubro e a superfície lisa (Figura 79, Prancha 1).

Grupos B (Licopsamina e Indicina), D (Indicina N-óxido), F (Retronecina) e G (Ácido Integerrinecico).

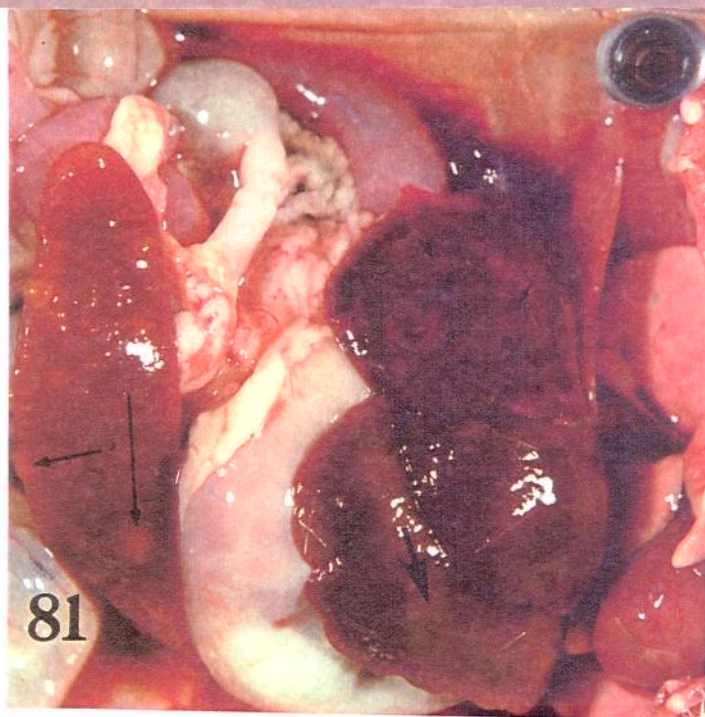
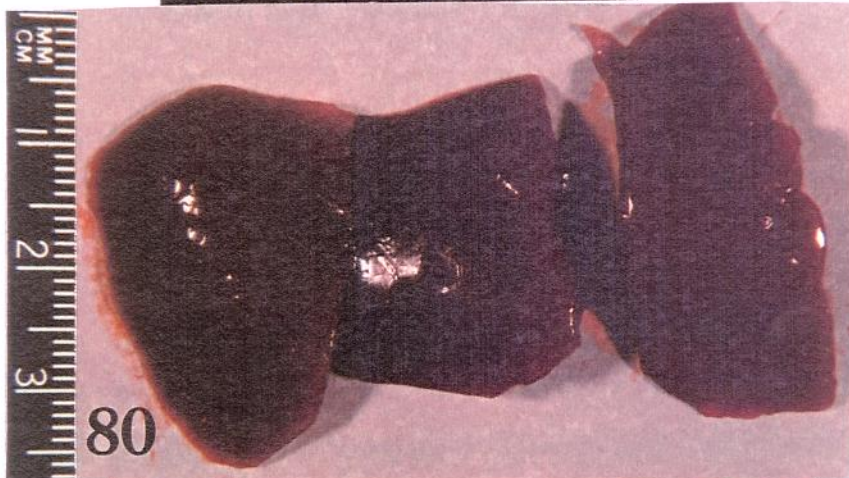
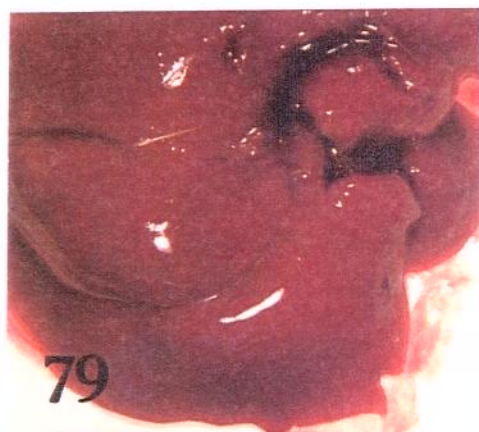
As observações preliminares macroscópicas do fígado dos exemplares dos **grupos B, D, F, e G** (que receberam alcalóides puros) apresentaram, após o experimento, características macroscópicas idênticas àquelas descritas para o grupo controle **A**.

Grupo C. APs Diésteres Macrocíclicos

Neste grupo, foram detectadas as primeiras alterações macroscópicas a partir dos **sub-grupos C2, C3, C4, C7, C8, C9** e **C10**. Alguns fígados se apresentaram congestos, com uma cor escura distribuída por toda superfície do órgão (Figura 80, Prancha 1). Outras alterações foram caracterizadas pela presença de uma coloração esbranquiçada e rugosa nas bordas dos lóbulos, e pontos enegrecidos distribuídos esparçamente por toda a superfície do órgão (Figura 81, Prancha 1).

Podemos observar também, um certo comprometimento do baço, apresentando alguns pontos brancos espalhados na superfície do órgão (Figura 81, Prancha 1).

PRANCHA 1



Grupo E. N-óxidos Macrocíclicos

As alterações macroscópicas observadas neste grupo, tanto para a Integerrimina quanto para a Retrorsina N-óxido, começaram a ser evidenciadas logo nos primeiros dias da administração. Essas alterações foram caracterizadas pela presença de necrose hemorrágica. Após 28 dias da administração dos alcalóides o fígado apresentou a superfície irregular, idêntica aquela observada para os exemplares do **grupo C** (Figura 81, Prancha 1). Nestes animais também foi observado um quadro de ascite bem evidente.

Os exemplares do **sub-grupo E3** (Integerrimina N-óxido 70 mg/kg) também apresentaram ascite. Os fígados estavam entumecidos e esbranquiçados.

Todos os exemplares do **sub-grupo E4** (Integerrimina N-óxido 210,6 mg/kg) evoluíram a óbito no decorrer do experimento, tornando impossível a coleta de todos os órgãos devido ao canibalismo.

5.4.2 Teste de Toxicidade Crônica - Exame Anatomo-patológico

Os resultados das observações dos testes de Toxicidade Crônica realizados com infusões das plantas *Ageratum conyzoides*, *Heliotropium indicum*, *Heliotropium transalpinum*, *Eupatorium laevigatum* e *Senecio brasiliensis*, onde constam observações comportamentais e anatomia patológica, estão descritos abaixo:

Grupo H

A infusão preparada apartir da planta (toda) *Ageratum conyzoides*, foi usada na dose de 1g/kg.

Neste período não ocorreram mortes e/ou sinais de disfunção orgânica (diarréia, convulsões, salivação) aparente. Convém

ressaltar que os APs presentes nesta planta pertencem à classe dos monoésteres, considerados menos tóxicos quando comparados com APs macrocíclicos e seus N-óxidos (MATTOCKS, 1986).

Provavelmente este teste necessite ser prolongado, para que possa se verificar algum tipo de alteração no fígado.

Grupo I

Sub-grupo I1 e I2

Heliotropium indicum (folhas com inflorescências) foi testado na forma de infusão nas doses de 0,5 e 1,0 g/kg. Na dose de 0,5 g/kg, a avaliação macroscópica não revelou nenhum tipo de alteração no fígado dos exemplares.

Na dose de 1,0 g/kg, os animais apresentaram alguns sinais de disfunção orgânica, como diarréia e perda de peso em virtude da falta de apetite. Macroscopicamente os fígados se apresentavam friáveis, de coloração vermelho intensa. Não houve morte no decorrer do experimento.

Grupo J. *Heliotropium transalpinum*

Sub-grupo J1 e J2

Heliotropium transalpinum (folhas com caule) foi testado na forma de infusão utilizando-se duas doses (0,5 e 1 g/kg). A avaliação macroscópica do fígado dos exemplares, nas doses citadas acima, não revelou nenhum tipo de alteração.

Grupo K. *Senecio* (extrato bruto)

O extrato na forma de infusão das folhas secas de *Senecio brasiliensis* foi testado na dose de 0,5g/kg. Durante o experimento, quase todos os animais evoluíram a óbito. Neste grupo os animais apresentaram elevada diminuição de peso, uma grande apatia

acompanhada de diarréia. Os exemplares deste **grupo** apresentaram características hepáticas macroscópicas idênticas às descritas para os grupos **C** e **E**, (APs puros) ou seja o fígado se mostrou hemorrágico, congestionado e escuro. Um quadro de ascite também foi observado.

Grupos L. *Eupatorium laevigatum* (extrato bruto)

Sub-grupo L1 e L2

Este teste foi conduzido nas doses de 0,5 e 1,0 g/kg do extrato bruto, quando foram observadas alterações no comportamento dos animais tais como estresse e apatia; outros aspectos observados foram a falta de apetite e o amolecimento das fezes. Apesar do quadro acima nenhum animal foi a óbito durante o experimento.

Quanto ao exame macroscópico o fígado dos exemplares apresentou manchas escuras distribuídas por todos os lóbulos hepáticos.

Entre os extratos das plantas estudadas no teste de toxicidade crônica o que se mostrou mais tóxico e letal para ratos foi o *Senecio brasiliensis*, seguido do *Eupatorium laevigatum*.

As lesões macroscópicas observadas no decorrer dos testes de Toxicidade crônica correspondem àquelas descritas por BARNES *et al.*, (1964) & CULVENOR *et al.* (1976a), quando estes administraram APs puros e extratos de plantas, por via i.p.

5.4.3 Exame Histopatológico

Grupo A. Controle

O aspecto microscópico do fígado dos ratos do grupo (**A**) (controle), se apresentou com a típica estrutura histológica observada para um rato normal (Figura 82, Prancha 2).

Grupo B. APs Monoésteres (Ésteres da Retronecina)**Sub-Grupo B1 e B2.** Licopsamina (14,9 e 29,9 mg/kg)

O monoéster Licopsamina foi testado nas doses 14,9 e 29,9 mg/kg. Todos os exemplares destes sub-grupos apresentaram o fígado com características histológicas idênticas àquelas observadas e comentadas para o grupo controle (**A**).

Sub-Grupo B3 e B4. Indicina (14,95 e 29,9 mg/kg)

Os exemplares que receberam o alcalóide Indicina nas doses de 14,95 e 29,9 mg/kg, não apresentaram alterações hepáticas, tanto de células parenquimatosas quanto do estroma.

Torna-se aparente que os APs monoésteres apresentam toxicidade baixa ou intermediária como é o caso dos APs Licopsamina e Indicina. Portanto há necessidade de testes com doses mais altas por um período mais longo. Os dados apresentados estão de acordo com as observações descritas por CULVENOR *et al.* (1976a) quando da administração por via i.p (dose de 3,2 MMols/kg) do AP monoéster Intermidina, em ratos machos adultos.

Sub-Grupo B5. Indicina (59,8 mg/kg)

No fígado dos exemplares deste grupo foi possível detectar, tanto nos machos quanto nas fêmeas, uma sutil diferença dos hepatócitos da zona 1. Estes hepatócitos apresentaram intensa eosinofilia citoplasmática (Figura 83, Prancha 2) e células em degeneração cuja ocorrência foi maior nas zonas 2 e 3.

Sub-Grupo B6. Indicina (119,6 mg/kg)

Após um mês em observação constatou-se alterações no limite celular do fígado destes exemplares: núcleos de cromatina e focos de células vacuolizadas. Em alguns exemplares observou-se também desarranjos dos cordões de hepatócitos, células em degeneração acometendo principalmente a zona 1, e por fim perda do limite celular (Figura 84, Prancha 2).

De acordo com MATTOCKS (1981a) um dos fatores que pode influenciar a hepatotoxicidade destes compostos é a solubilidade, uma vez que a passagem das substâncias químicas de natureza protéica e lipídica, através da membrana celular é determinada pela sua maior ou menor lipossolubilidade. Devido a diminuição da lipossolubilidade e consequente aumento das propriedades hidrofilicas ou polares, alguns APs como a Indicina e Licopsamina apresentam alta solubilidade em água sendo facilmente excretados, diminuindo assim seu efeito hepatotóxico.

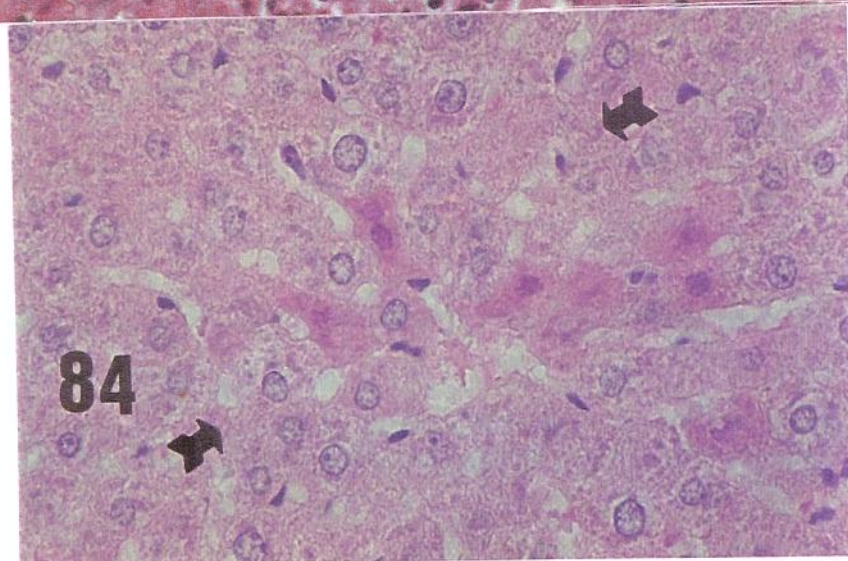
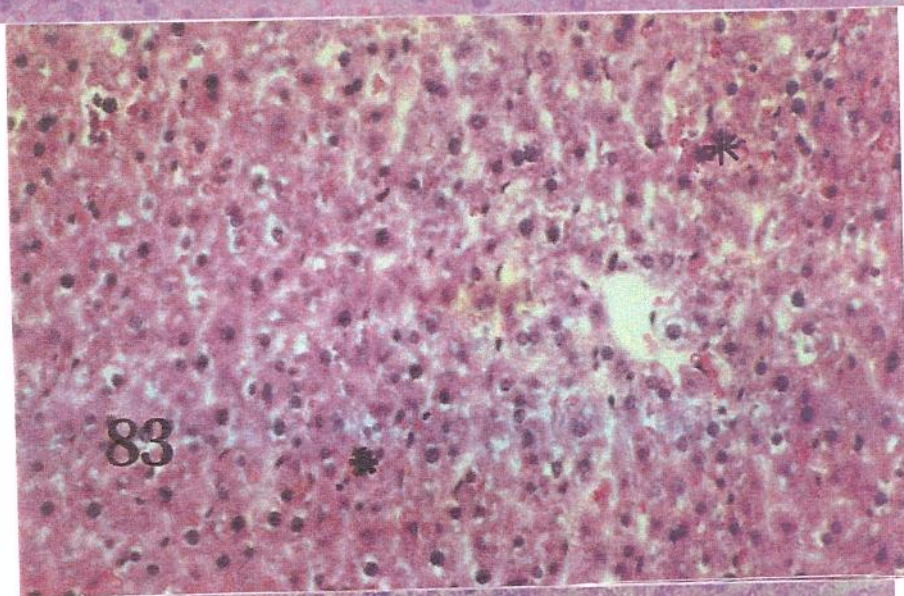
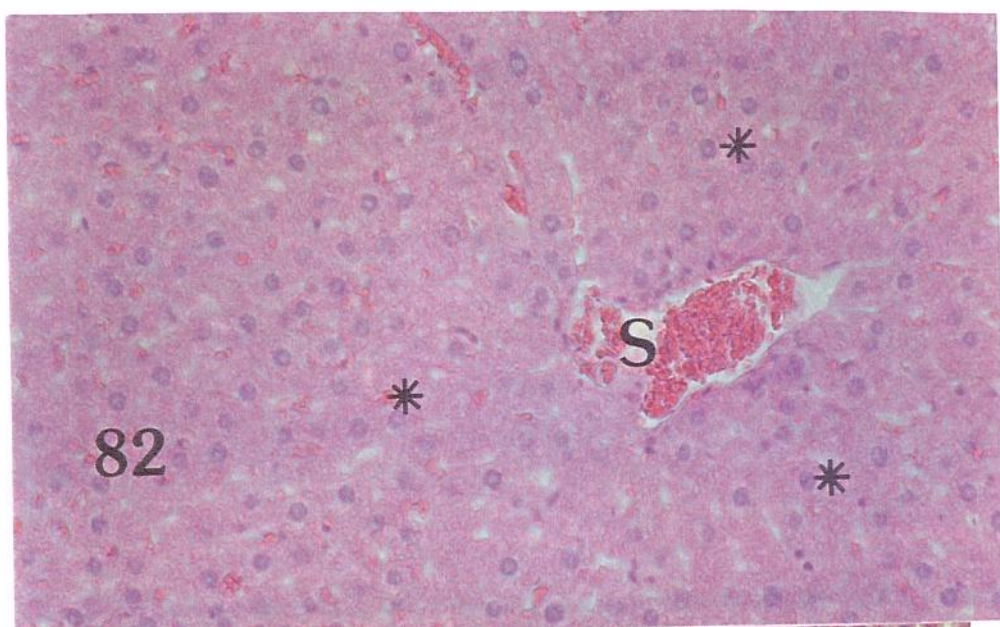
LEGENDAS PRANCHA 2

Figura 82. Fígado de ratos Wistar do grupo controle **A**, onde os hepatócitos apresentam aspecto semelhante nas zonas 1, 2 e 3 (estrela) e sinusoides (**S**) normais. Coloração HE (512x)

Figura 83. Fígado de rato Wistar do sub-grupo **B6**, onde é possível observar células com intensa eosinofilia citoplasmática atingindo as zonas 2 e 3 (estrela). Coloração HE (320x).

Figura 84. Fígado do mesmo animal (Foto anterior), com células degeneradas entre células normais. Detalhes da zonas 2 e 3 (seta cheia). Coloração HE. (512x).

PRANCHA 2



Grupo C. APs Diésteres Macrocíclicos (ésteres alílicos)**Sub-Grupo C1. Integerrimina (27,86 mg/k)**

O fígado dos exemplares, tanto das fêmeas quanto dos machos, tratados com a Integerrimina naquela dose apresentou megalocitose muito evidente e algumas células em processo de degeneração, dispersas entre células aparentemente normais. Observou-se também uma discreta hemorragia no espaço porta e alguns capilares congestos.

Neste **sub-grupo** o fígado de dois exemplares machos apresentou proliferação ductal (Figura 85, Prancha 3) e hepatócitos megalocíticos de núcleo pleomórfico (Figuras 86, Prancha 3 e 87, Prancha 4). Em algumas áreas observaram-se focos inflamatórios e grande quantidade de células com megalocitose, caracterizando um efeito hepatotóxico mais completo.

Sub-Grupo C2. Integerrimina 33,5 mg/kg

O fígado destes exemplares apresentou edema no espaço porta, hepatócitos com núcleos e citoplasma volumosos, sendo que alguns sinusóides se mostraram congestos, e células perisinusoidais contendo pigmentação enegrecida. Nesta dose observou-se ainda grande quantidade de hepatócitos megalocíticos, raras células anaplásicas, com núcleo pleomórfico e áreas de proliferação ductal.

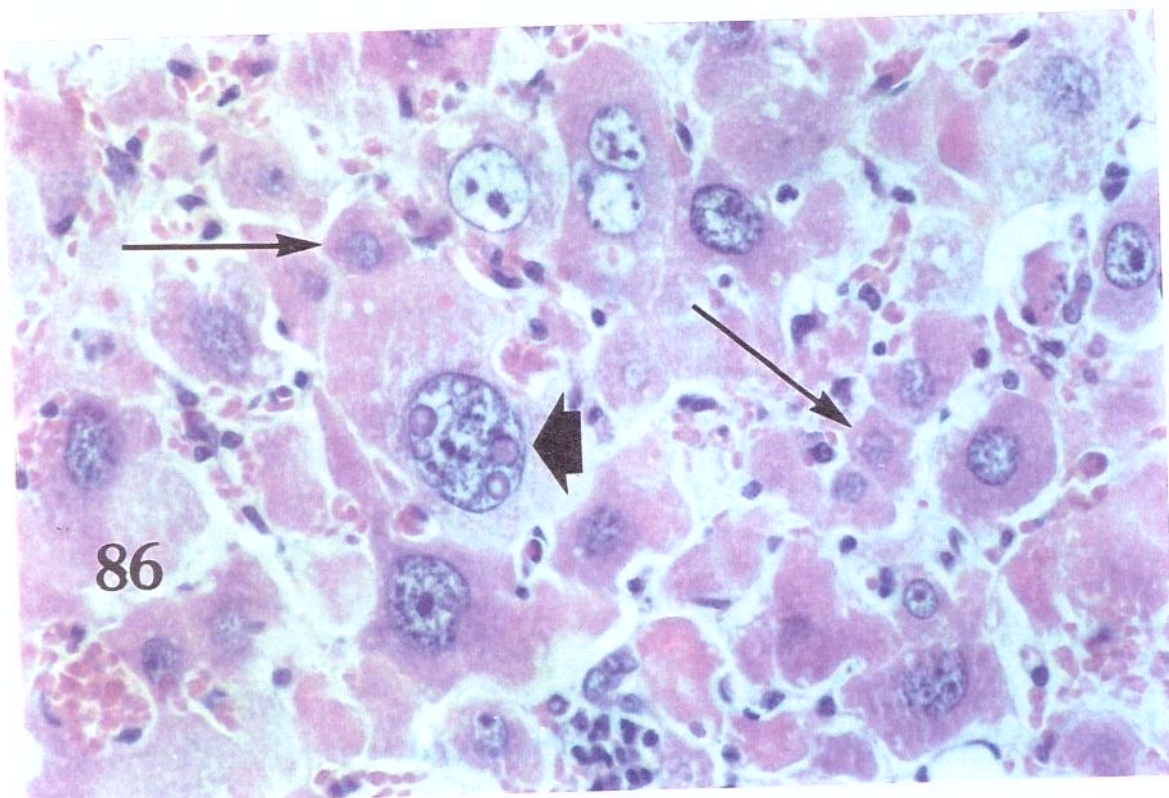
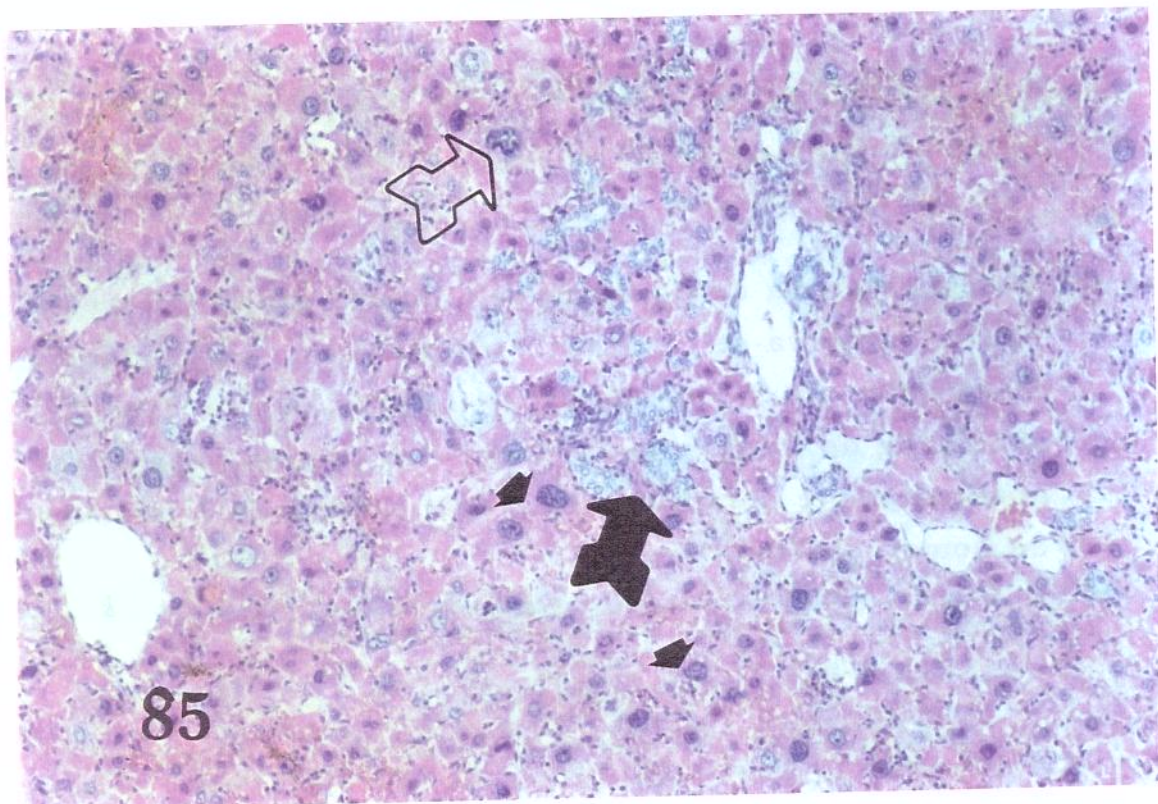
Em termos gerais não houve diferenças marcantes entre as doses de 27,86 mg/kg e 33,5 mg/kg.

LEGENDAS PRANCHA 3

Figura 85. Fotomicrografia de fígado de rato do **sub-grupo C1** (dose de 0,08 MMols), onde observa-se grande quantidade de hepatócitos megalocíticos (seta curta), raras células anaplásicas (seta vasada) e ainda área de proliferação ductal (seta dupla). Coloração: HE (512x).

Figura 86. Detalhe da Figura 85, na qual pode-se comparar a morfologia dos hepatócitos aparentemente normais (cabeça de seta), com os que apresentam megalocitose (seta longa). Coloração: HE (512x).

PRANCHA 3

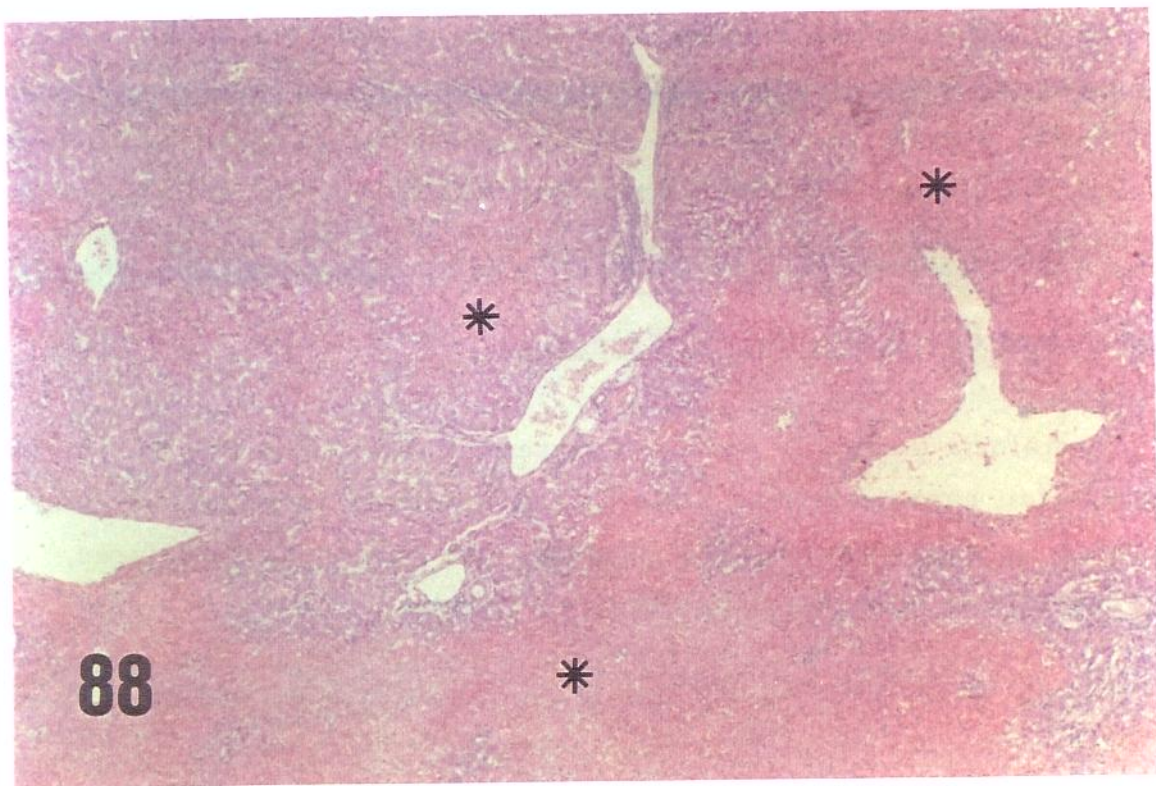
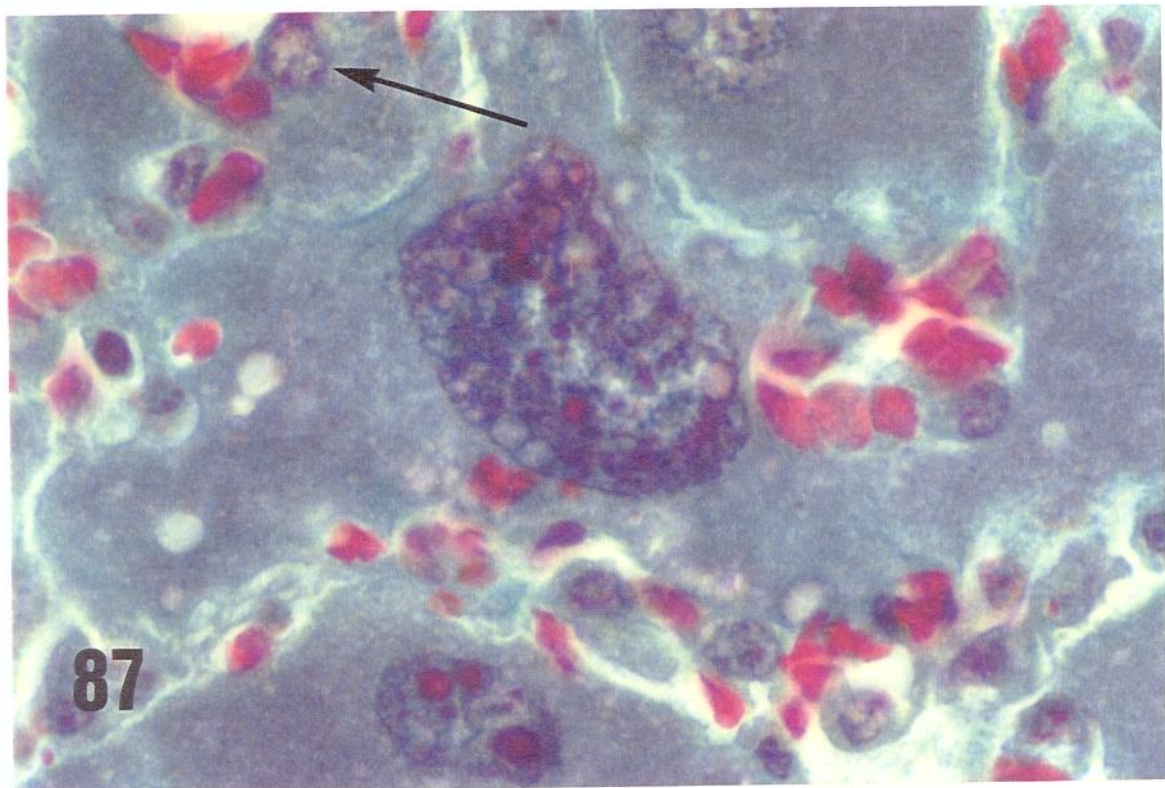


LEGENDAS PRANCHAS 4

Figura 87. Fotomicrografia de fígado de rato do **sub-grupo C1**. Nesta figura observa-se células anaplásicas com núcleo Pleomorfico em fígado de ratos tratados com a dose 0,1 MMols/kg de Integerrimina. Comparar com os hepatócitos aparentemente normais (seta longa). Coloração Tricrômico de Gomori (1470x).

Figura 88. Fígado de rato do **sub-grupo C3** tratado com a dose 0,8 MMols/kg de Retrorsina, onde foi possível diagnosticar necrose maciça. Notar o maior comprometimento das zonas 2 e 3 (estrelas), embora a zona 1 já se mostre comprometida (estrelas). Coloração HE (1470x).

PRANCHA 4



Sub-Grupo C3. Integerrimina (44,23 mg/kg)

Os exemplares deste **sub-grupo**, além das células em degeneração, apresentaram também vasos congestos, e eventualmente edema no espaço porta. Nas áreas mais preservadas os hepatócitos apresentaram microvacuolização citoplasmática, conferindo um aspecto esteatótico ao órgão. Portanto, todo o parênquima foi comprometido, em maior ou menor grau, com o emprego deste alcalóide. Detectou-se ainda raras células anaplásicas. Fechando o quadro, a maioria dos ratos que receberam esta dose exibiram necrose hepática nas zonas 2 e 3 (Figuras 88, Prancha 4 e Figura 89, Prancha 5).

Sub-Grupo C4. Integerrimina (55,76 mg/kg)

Com esta dose, o processo necrótico evoluiu, observando-se necrose hepática maciça. Ainda com relação a esta dose, convém ressaltar que 50% dos exemplares evoluíram a óbito antes do término do experimento.

A observação de células anaplásicas e proliferação de células ductais, no caso dos exemplares que receberam pequenas doses deste AP, sugere um possível efeito hepatocarcinogênico. De fato, vários APs, como a Senecionina, por exemplo, têm sido referidos pelos seus efeitos hepatocarcinogênicos (MATTOCKS, 1986).

Sub-Grupo C5. Retrorsina (8,76 mg/kg)

A maioria do fígado dos exemplares do **sub-grupo C5**, Retrorsina apresentou características histológicas idênticas àquelas observadas para o grupo controle (**A**). Porém, em alguns exemplares, os hepatócitos se mostraram bastante volumosos.

Sub-Grupo C6. Retrorsina (17,55 mg/kg)

Nesta dose alguns exemplares apresentaram raros hepatócitos com aumento de volume nuclear e algumas células em degeneração.

Sub-Grupo C7. Retrorsina (35,1 mg/kg)

Neste **sub-grupo** foi possível detectar necrose hepática, atingindo as zonas 2 e 3, semelhante ao observado no **sub-grupo C3**. Observou-se maior quantidade de hepatócitos com alterações nucleares, micro e macro vacuolização citoplasmática sendo que estes hepatócitos apresentaram pigmentos acastanhados em seu interior.

Sub-Grupo C8. Retrorsina (70,2 mg/kg)

Com a administração desta dose os hepatócitos da zona 1 apresentaram degeneração hidrópica, mantendo-se evidente necrose das zonas 2 e 3.

Sub-Grupo C9. Retrorsina (140,4 mg/kg)

A partir desta dose os exemplares exibiram um nítido comprometimento dos hepatócitos da zona 1, sendo que o quadro necrótico evoluiu muito, evidenciando-se necrose hepática maciça e intensa hemorragia (Figura 90, Prancha 5)

De forma similar ao ocorrido com os exemplares tratados com elevadas doses de Integerrimina, no **grupo** que recebeu a dose 140,4 mg/kg de Retrorsina, 80% dos exemplares evoluíram a óbito no período de 24 horas, caracterizando um quadro de toxicidade super-aguda.

Sub-Grupo C10. Retrorsina (280,8 mg/kg)

Todos os exemplares deste **sub-grupo** apresentaram necrose maciça, com todas as áreas periportais comprometidas, sendo que a maioria dos exemplares evoluiu a óbito antes do término do experimento.

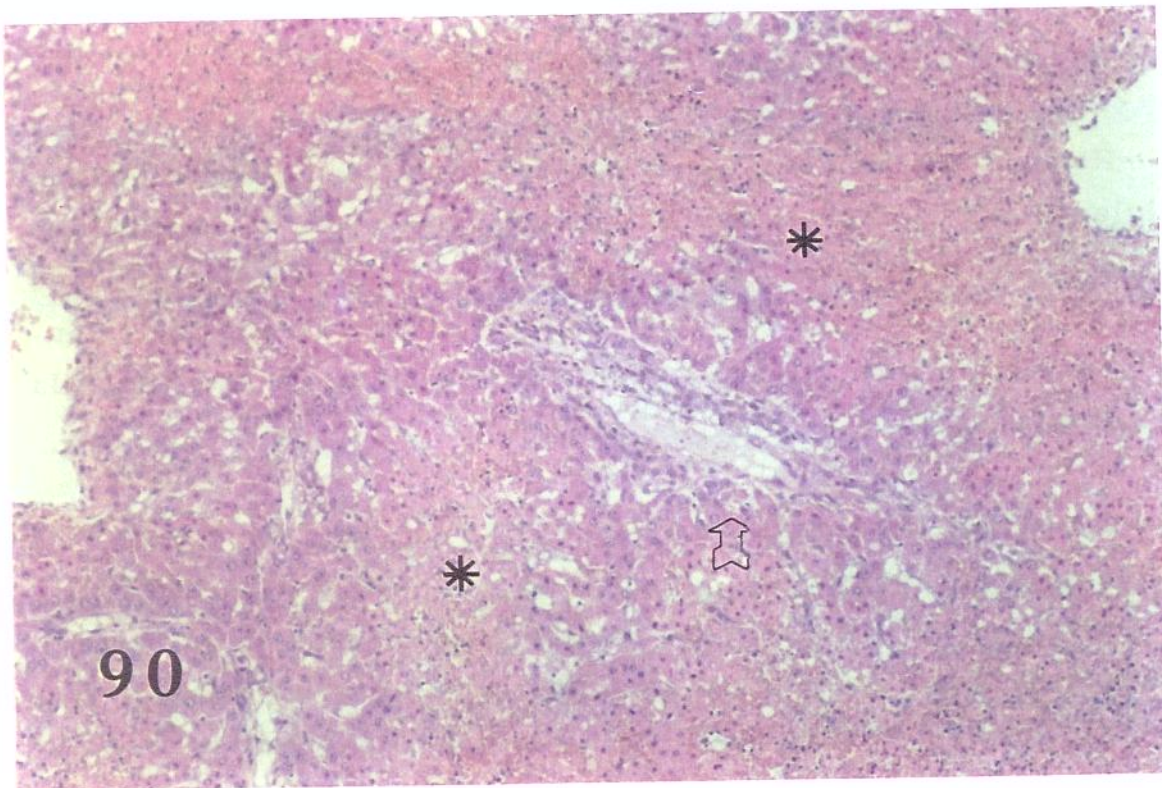
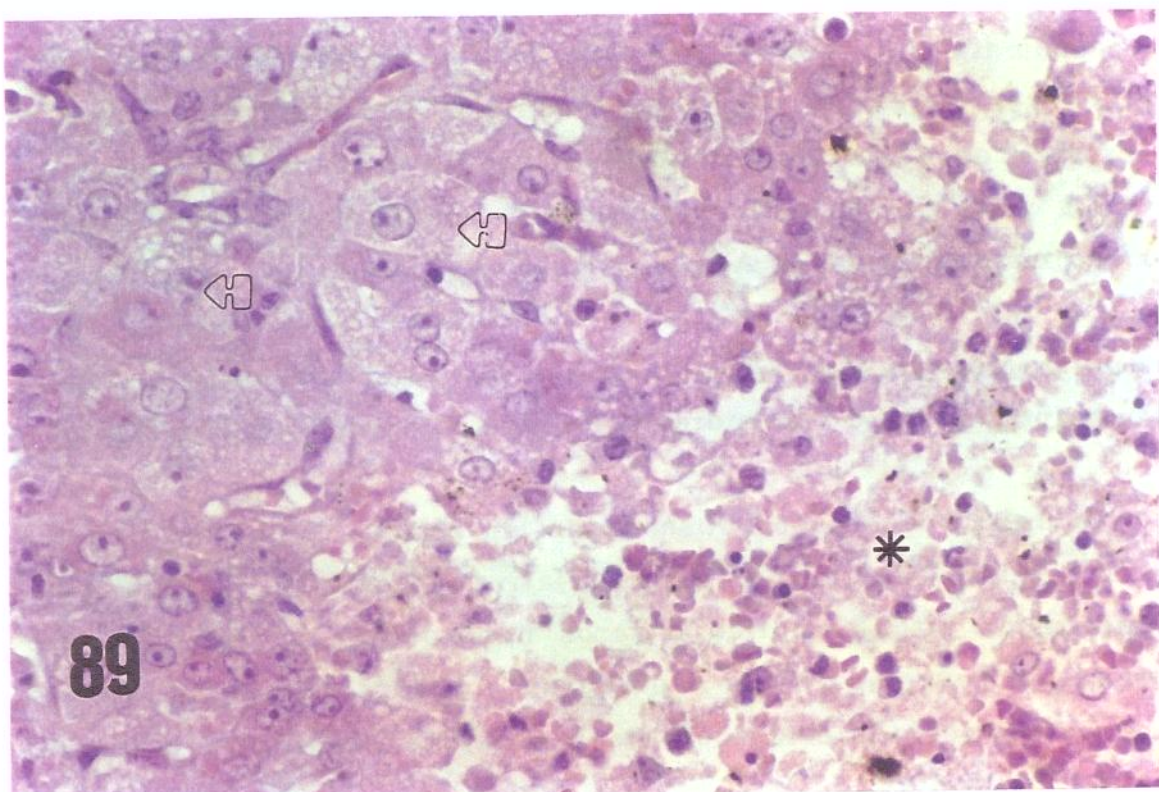
O óbito dos exemplares tratados com doses elevadas destes APs, antes do término dos experimentos foi certamente, decorrente da necrose hepática maciça, onde o fígado não mais apresentava condições de desempenhar suas funções normais.

LEGENDAS PRANCHA 5

Figura 89. Observa-se nesta figura, **sub-grupo C3**, degeneração hidropica dos hepatócitos da zona 1 (seta vazada) e necrose das zonas 2 e 3 (*), em fígado de ratos tratados com a 0,2 MMols/kg. Coloração: HE (512x).

Figura 90. Fígado de rato **sub-grupo C9** tratado com a dose de 0,8 MMols/kg, de Retrorsina, onde foi possível diagnosticar necrose maciça. Notar um maior comprometimento das zonas 2 e 3 (*), embora a zona 1 já se mostre comprometida (seta vazada). Coloração: HE (512x).

PRANCHA 5



Os esteres da Retronecina por serem solúveis em lipídios (APs lipofílicos), são mais suscetíveis a ativação pelas enzimas microsomaais do fígado, formando assim grande quantidade de metabólitos pirrolícos; o que pode conferir alta toxicidade aos APs macrocíclicos (CULVENOR *et al.*, 1976a; MATTOCKS, 1981a).

Em vista destes dados, foi possível confirmar a variabilidade tóxica existente entre os APs.

Grupo D. Monoésteres N-óxidos

Sub-grupo D1, D2 e D3. Indicina N-óxido (7,88; 63,0 e 252 mg/kg)

As únicas alterações observadas em alguns exemplares deste, foram figuras de mitose com relativa freqüência, áreas com vacuolização citoplasmática e raros hepatócitos em degeneração. Com estas, doses os efeitos não chegaram a caracterizar um quadro de hepatotoxicidade e também nenhum animal evoluiu a óbito, no período de 28 dias.

Grupo E. Macrociclicos N-óxidos

Sub-Grupo E1. Integerrima N-óxido (8,76 mg/kg)

Nesta dose, os exemplares apresentaram, em alguns lóbulos, células em degeneração entremeadas por hepatócitos aparentemente normais. Estas células em degeneração são mais freqüentes na zona 1. Além das células em degeneração, detectou-se hepatócitos com núcleo vacuolizado, e aumento da basofilia citoplasmática.

Sub-Grupo E2. Integerrima N-óxido (70,2 mg/kg)

Após vinte e oito dias de tratamento detectou-se em alguns exemplares focos de células basófilas, células megalocíticas com algumas áreas do citoplasma vacuolizados. Observou-se também

proliferação ductal em áreas de células megalocíticas, espaços porta mostrando eosinófilos próximos às paredes dos vasos. Alguns animais apresentaram ainda o fígado congesto com proliferação ductal evidente e, em alguns lóbulos, a zona 3 apresentaram necrose.

Sub-Grupo E3. Integerrimina N-óxido (210,6 mg/kg)

Neste **sub-grupo**, todos os exemplares evoluíram a óbito no decorrer do experimento, e não foi possível realizar análise histopatológica de nenhum fígado.

Sub-Grupo E4. Retrorsina N-óxido (9,16 mg/kg)

Com a administração desta dose foi possível observar grandes hepatócitos megalocíticos, distribuídos principalmente nas zonas 2 e 3. Em alguns exemplares observou-se ainda variado grau de degeneração celular, áreas constituídas de hepatócitos com citoplasma intensamente vacuolizado cujo o núcleo freqüentemente apresentou inclusões (Figura 91 e 92 , Prancha 6)

Sub-Grupo E5. Retrorsina N-óxido (18,35 mg/kg)

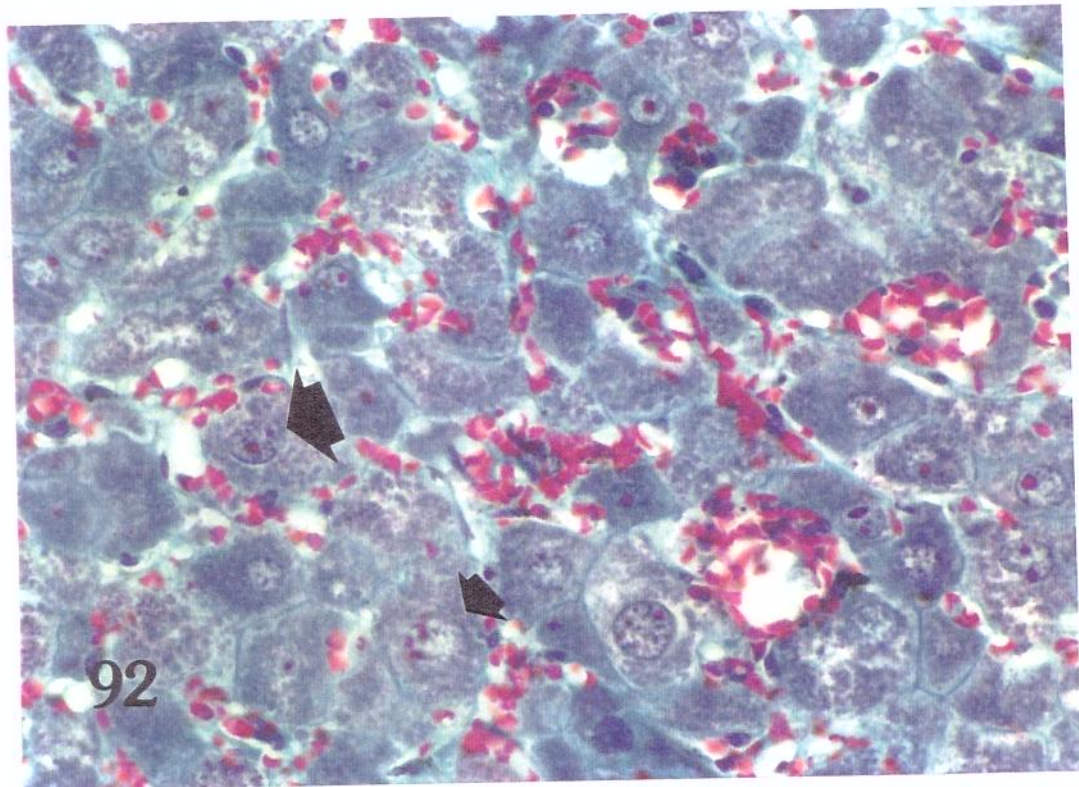
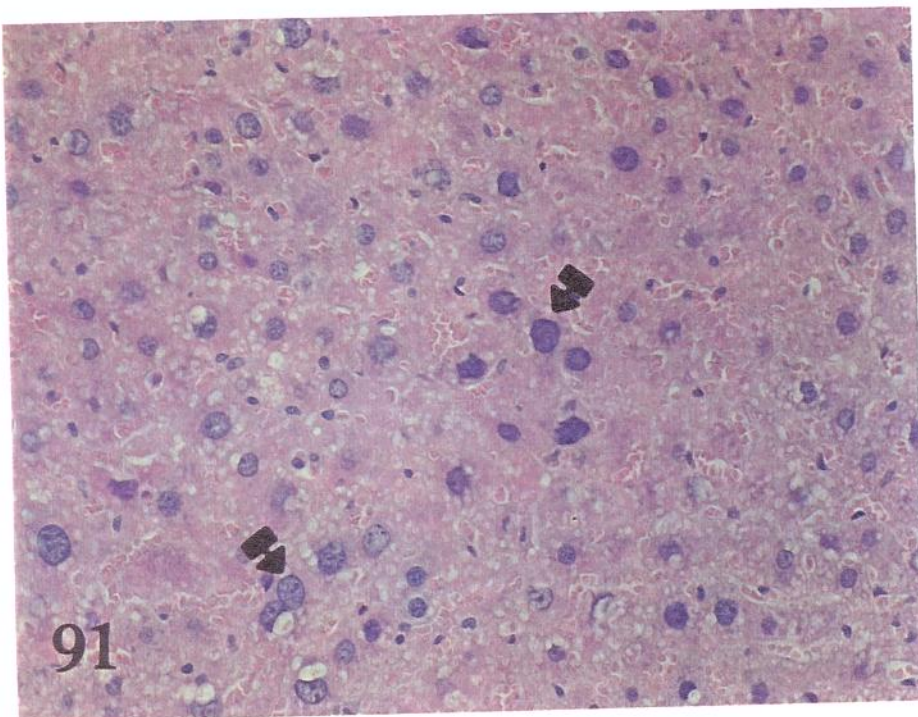
Em relação a esta dose, observou-se variação das células em degeneração de animal para animal, onde alguns apresentaram vacuolização perinuclear, células em degeneração e infiltrado mononuclear entre os hepatócitos. Além deste quadro houve exemplares que se apresentaram com o órgão esteatótico.

LEGENDAS PRANCHA 6

Figura 91. Fígado de rato do **sub-grupo E4**, tratado com a dose de 0,05 MMols/kg de Retrorsina-4-óxido, onde se observa células magalocíticas em degeneração (seta curta). Coloração: HE (512x).

Figura 92. Fotomicrografia (mesmo tratamento da Figura acima onde observa-se mais detalhes de células megalocíticas e degeneração hidrópica (cabeça de seta). Coloração: Tricrômico de Gomory (1470x).

PRANCHA 6



Sub-Grupo E6. Retrorsina N-óxido (36,7 mg/kg)

O quadro mais freqüente nestes exemplares foi megalocitose. Observou-se também vacuolização citoplasmática, necrose das zonas 2 e 3, sendo que o fígado de alguns exemplares apresentaram células anaplásicas e degeneração celular em alguns lóbulos.

Sub-Grupo E7. Retrorsina N-óxido (220,2 mg/kg)

Todos os exemplares deste **sub-grupo** foram a óbito no decorrer do experimento, e não houve a análise histopatológica dos fígados, devido ao canibalismo.

De acordo com os resultados descritos acima, APs macrocíclicos na forma de *N*-óxidos também são tóxicos para ratos. Segundo HARTMANN & WITTE (1995), a toxicidade dos APs *N*-óxidos, advém da facilidade com que estes são reduzidos pelas enzimas do trato gastrointestinal, sendo possivelmente absorvidos como APs terciários. Assim, não existe diferença no potencial tóxico entre APs na forma livre quanto na forma de *N*-óxido, quando administrados por via oral.

Grupo F. Base Retronecina**Sub-Grupos F1, F2 e F3** (7,75;15,5 e 31,0 mg/kg)

Aparentemente análise histopatológica do fígado destes exemplares, submetidos ao teste agudo com a base Retronecina nestas doses não revelou alterações hepáticas, mantendo-se o fígado com as mesmas características histológicas correspondentes àquelas comentadas para o **grupo** controle (**A**).

Sub-Grupo F4 e Sub-Grupo F5. Retronecina (62,0 e 248,0 mg/kg)

A maioria dos exemplares destes **sub-grupos** apresentou fígado cujas características histológicas corresponderam àquelas descritas anteriormente para o **grupo** controle (**A**). Porém, em alguns exemplares, foram detectadas raras células em degeneração e aparente acúmulo de pigmentos acastanhados em células de Kupffer.

Grupo G. Ácido Integerriminico (39,6 mg/kg)

O fígado dos exemplares deste **grupo** apresentou o mesmo aspecto microscópico descrito para o **grupo** controle (**A**), exceto para dois exemplares fêmeas, onde foram detectadas algumas células em degeneração com aumento da acidofilia citoplasmática, sendo que a estrutura hepática estava preservada. Apenas um animal do sexo masculino apresentou fígado com algumas células em degeneração.

5.4.4 DL₅₀ e Curva Dose-Resposta

A curva dose-resposta representa a forma de se obter a dose letal para 50% dos animais de experimentação. Esta dose, conhecida como **DL₅₀** é aquela dose da substância que produz a morte de 50% dos animais. Este valor é obtido estatisticamente (LOOMIS, S/DATA).

Com os testes de Toxicidade Aguda (dose única) descritos anteriormente foi possível determinar a **DL₅₀** (Tabela 3) e traçar também a Curva **Dose-Resposta** (mortalidade x concentração) para os APs Integerrimina (Figura 93), Retrorsina (Figura 94), Integerrimina N-óxido (Figura 95) e Retronecina (Figura 96) a partir da administração por via oral de uma única dose destes APs.

Tabela 35. DL₅₀ de Alguns APs administrados por via oral em ratos Wistar (macho e fêmea)

APs	DL ₅₀ (mg/kg/pc)	DL ₅₀ (mmols/kg)	Tempo de observação (Dias)
Retrorsina	33,43	0,01	1-5
Integerrimina	46,98	0,14	1-5
Integerrimina N-Óxido	66,81	0,19	1-7
Retronecina	209,5	1,40	1-20

Conforme os valores da **DL₅₀** listados na Tabela acima e gráfico da curva dose resposta (Figura 93), podemos verificar que o AP Retrorsina, mostrou-se tóxico logo nos primeiros dias da sua administração.

A Integerrimina administrada nas doses de 0,16 e 0,2 MMols/kg não apresentou uma diferença significativa, uma vez que a taxa de mortalidade foi a mesma para as duas doses (Figura 94 **B**) mortalidade. No caso da Integerrimina-4-óxido, quase todos os animais foram a óbito com administração da dose de 0,6 MMoles/kg (Figura 95 **B**). Os exemplares que receberam doses da base Retronecina apresentaram mortalidade, a partir da dose de 0,8 MMols/kg (Figura 96 **B**).

De um modo geral foi observada uma variação de toxicidade entre os APs, em função da sua estrutura química, sendo mais tóxicos os diésteres macrocíclicos da Retrorsina e os menos tóxicos, os monoésteres da Retronecina (MATTOCKS, 1986). Outros fatores que podem influenciar a hepatotoxicidade de alguns APs é a idade do animal e o sexo. Segundo dados de literatura (WHO 1988), ratos machos foram mais susceptíveis a toxicidade aguda do que ratos fêmeas, quando receberam doses de Monocrotalina.

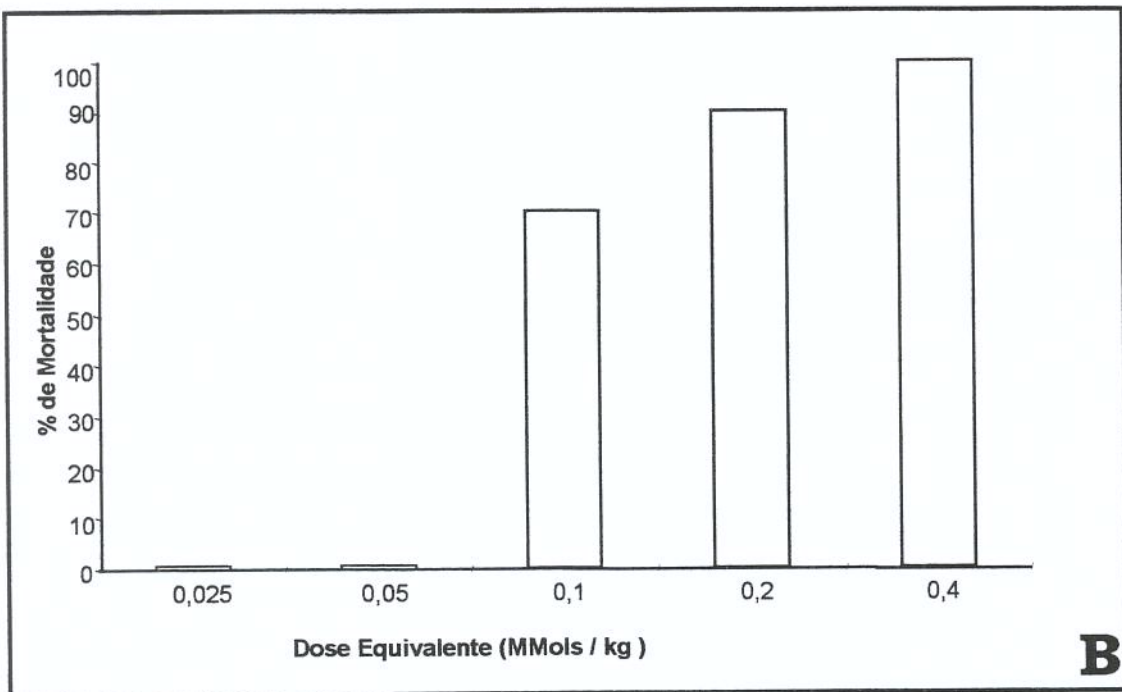
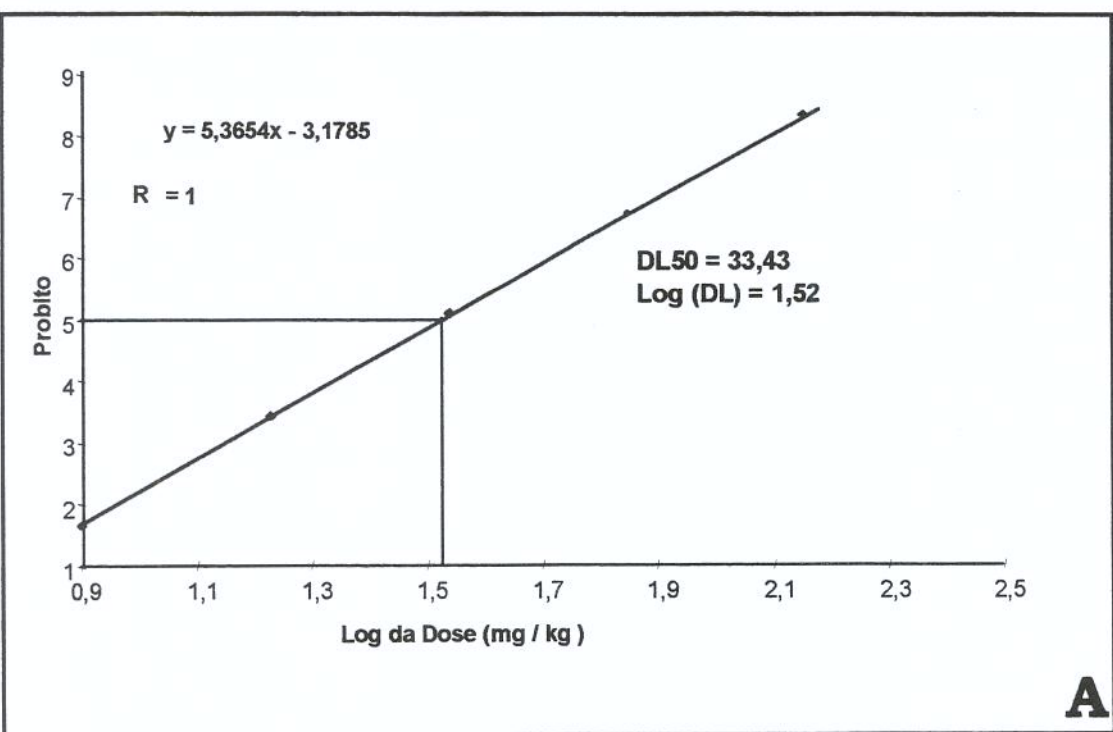


Figura 93. (A) Determinação da Dose Letal 50% (DL_{50} - Probito vs. Log da dose) e (B) Curva Dose-Resposta, para Retrorsina.

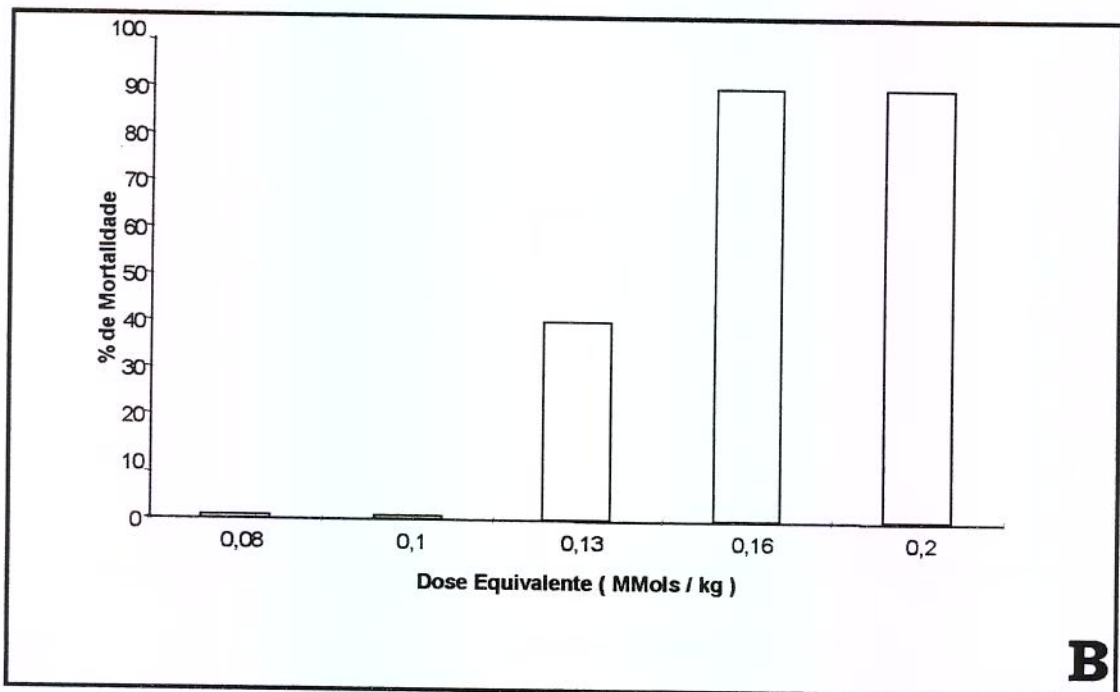
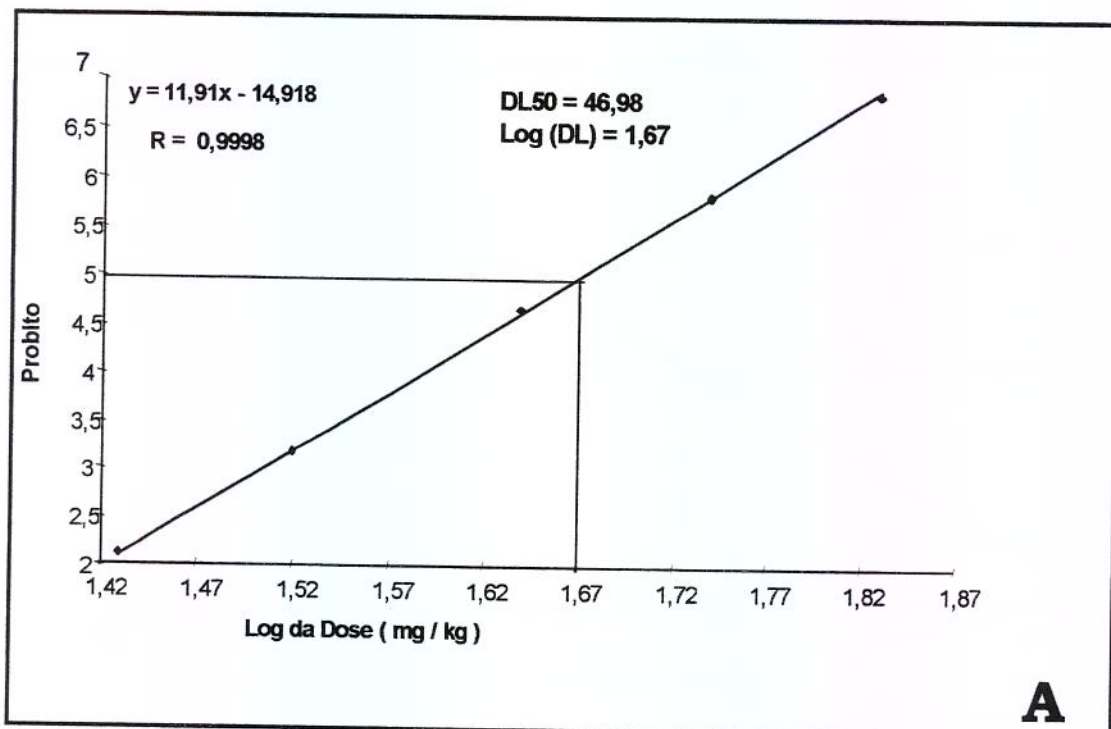
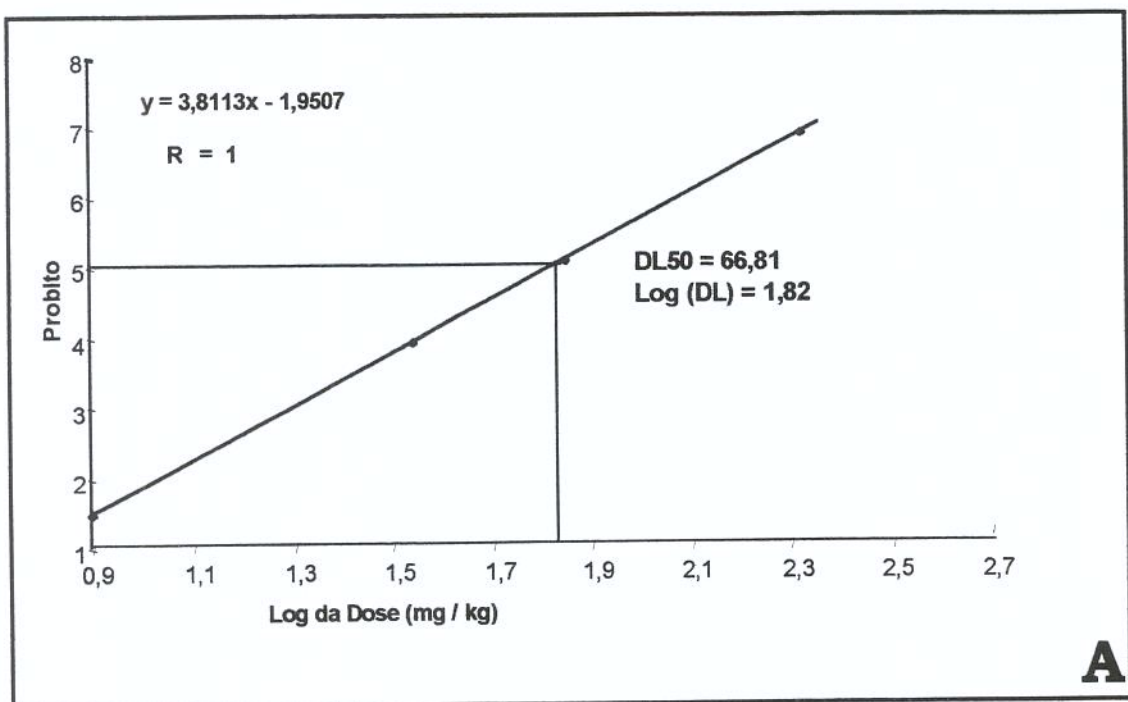
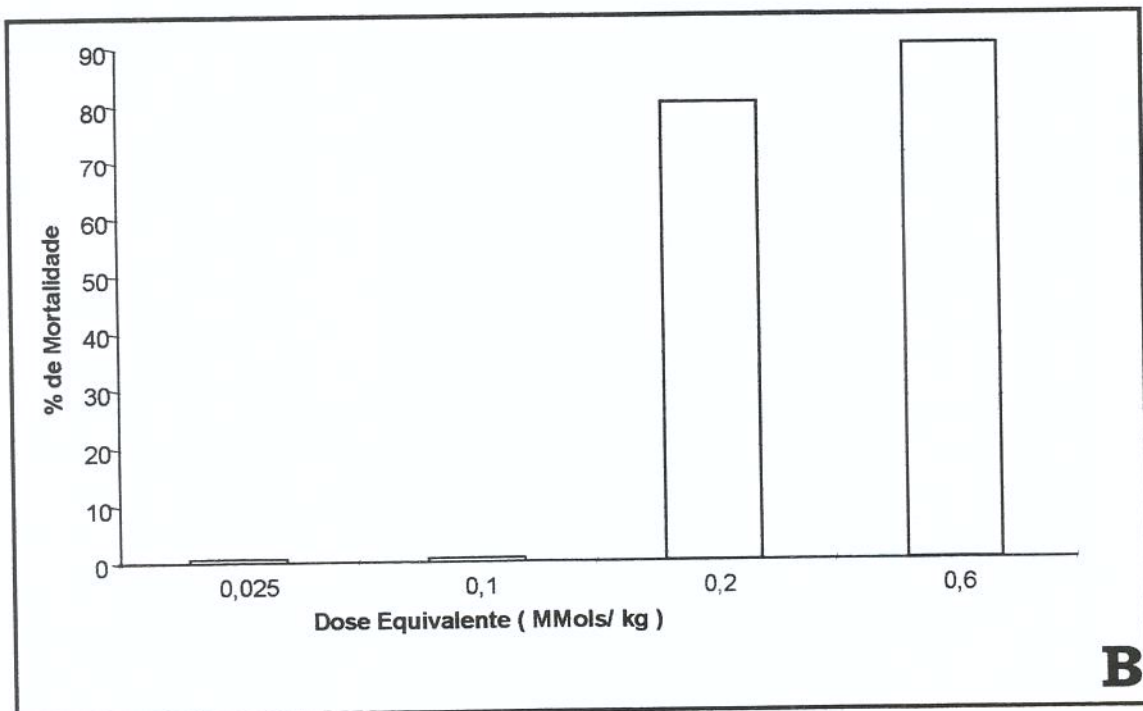


Figura 94. (A) Determinação da Dose Letal 50% (DL₅₀ - Probito vs. Log da Dose) e (B). Curva Dose-Resposta para Integerrima.



A



B

Figura 95. (A) Determinação da Dose Letal 50% (DL₅₀-Probito vs Log da Dose) e
(B) Dose-Resposta para Integerrimina N-óxido.

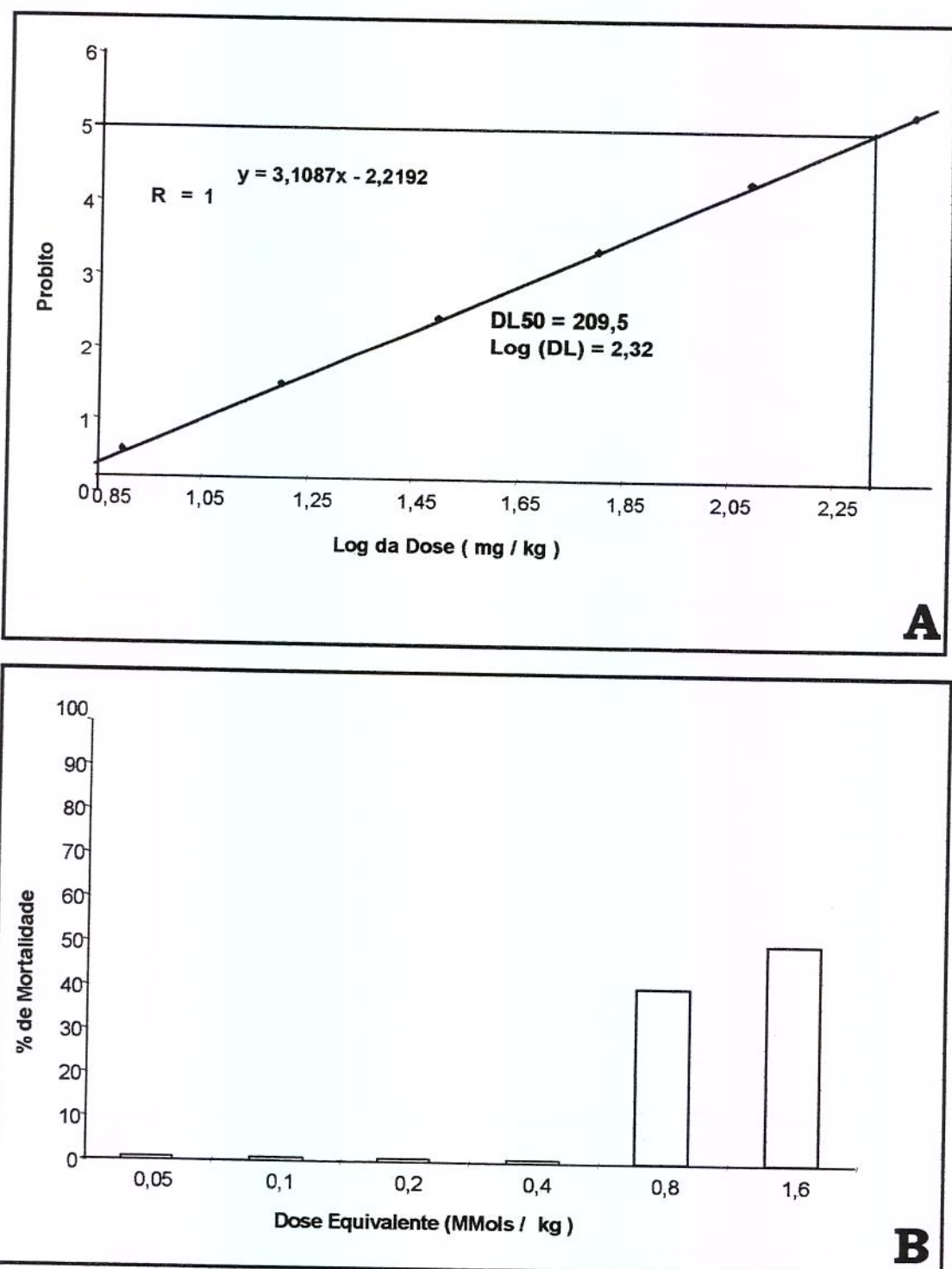


Figura 96. (A) Determinação da Dose Letal 50% (DL₅₀ - Probito vs Log da Dose) e (B) Curva Dose-Resposta, para Retronecina.

5.4.5 Teste de Toxicidade Crônica (Extratos)

Grupo H. *Heliotropium indicum* (extrato bruto)

Sub-Grupo H1 e H2 (dose 0,5 e 1 g/kg, respectivamente)

Os exemplares destes **sub-grupos** apresentaram fígados cujas características histológicas corresponderam àquelas comentadas para o grupo controle (A). Macro e microscopicamente, os fígados se apresentaram normais.

Grupo I. *Heliotropium transalpinum* (extrato bruto)

Sub-Grupo I1 e I2 (dose 0,5 e 1,0 g/kg, respectivamente)

Quanto ao fígado dos exemplares destes **sub-grupos**, nestas doses, não foi possível detectar nenhum tipo de alteração histológica. Macro e microscopicamente, os fígados se apresentaram normais. Como foi observado acima, as infusões das plantas *Ageratum conyzoides*, *Heliotropium indicum* e *Heliotropium transalpinum*, não se mostraram hepatotóxicas aos animais, nas doses testadas. (MATTOCKS, 1986). Além disso, a concentração dos APs detectada nos respectivos extratos foi relativamente baixa, o que nos leva a supor que a combinação destes dois fatores diminui a probabilidade de algum tipo de lesão no fígado do animal no período de tempo utilizado. Assim, não podemos afirmar com certeza que estes extratos, quando consumidos a longo prazo, não sejam tóxicos para o animal ou mesmo para humanos.

Grupo J. *Ageratum conyzoides* (extrato bruto, dose 1g/kg)

Neste **grupo** apenas alguns exemplares mostraram raros hepatócitos megalocíticos na zona 1 (Figura 97, Prancha 7) porém não se observou alterações hepáticas sugestivas de toxicidade na maioria dos exemplares analisados. Paredes dos vasos integrais. O

núcleos volumosos e nucleólos evidentes. Porém, este extrato não se mostrou hepatotóxico na dose testada.

Grupo K. *Senecio brasiliensis* (extrato bruto, dose 0,5 g/kg)

A partir do primeiro mês de tratamento já foi possível detectar células megalocíticas esparsas por todo o parênquima, entremeadas por células em degeneração. Ainda nesse período foi possível evidenciar células necróticas espalhadas, com indícios de hepatotoxicidade (Figura 98; Prancha 7).

Alguns exemplares foram a óbito no decorrer do experimento.

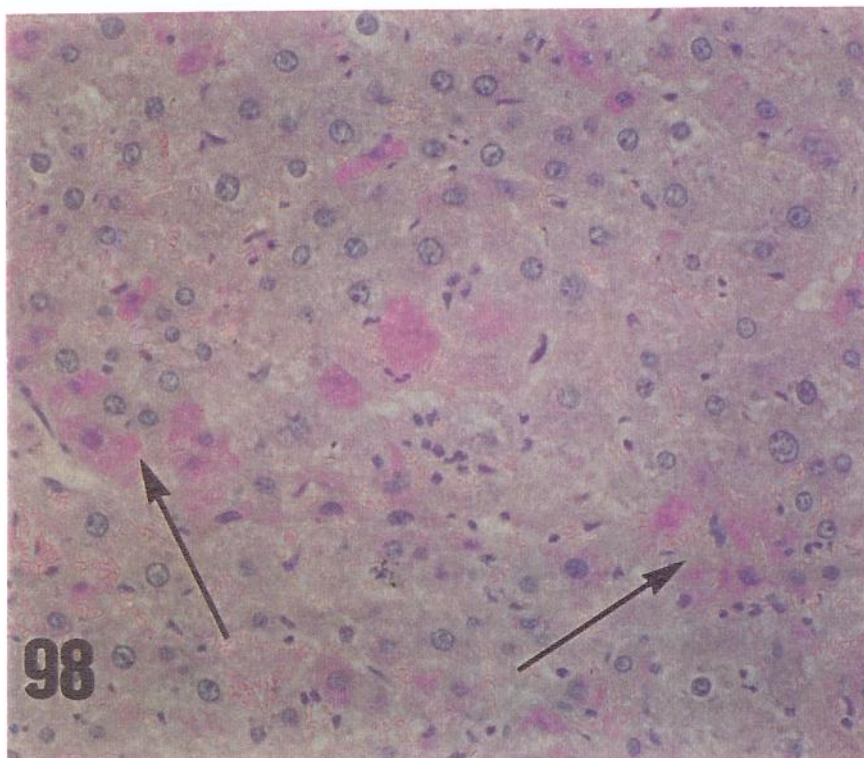
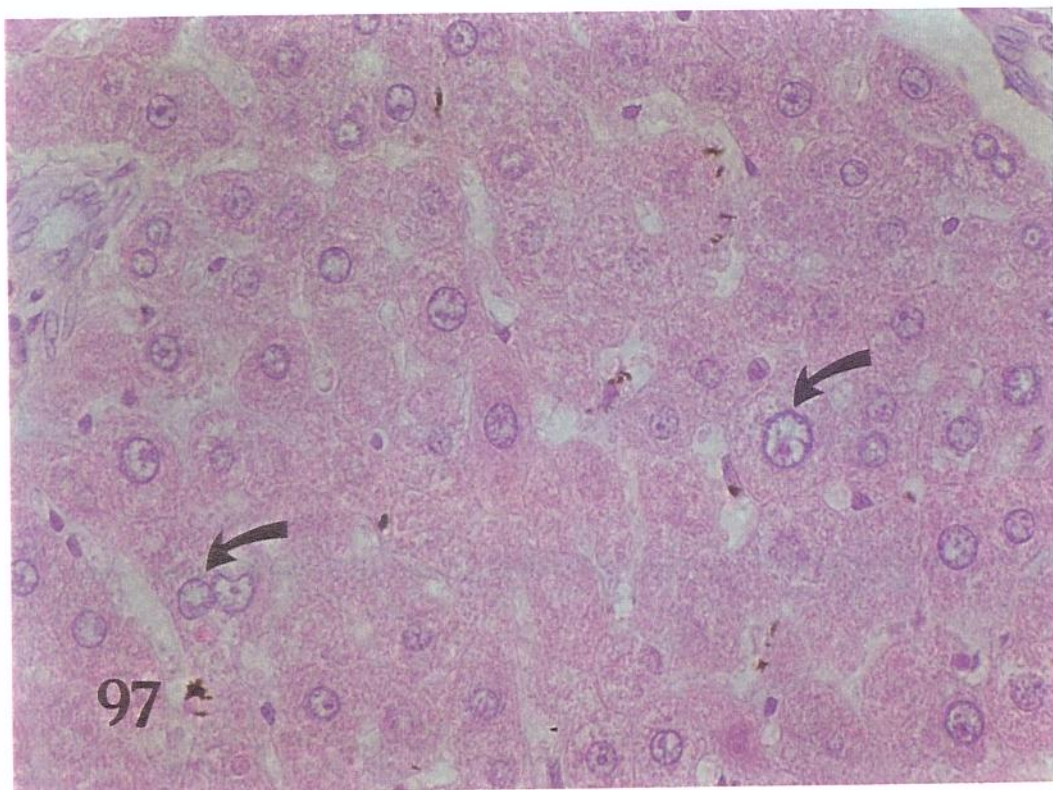
A reação dos animais a este extrato foi a mesma apresentada pelos APs puros Integerrimina e Retrorsina.

LEGENDAS PRANCHAS 7

Figura 97. Fígado de rato do grupo J, tratados com extrato bruto aquoso de *Ageratum conizóide* (dose de 1g/kg). Nesta figura podemos visualizar células de núcleos volumosos e nucleólos evidentes (setas). Coloração: HE (512x).

Figura 98. Nesta figura nota-se a presença de células em degeneração (seta longa), dispersas pelo parênquima hepático de exemplar do grupo quando foi administrado o extrato da planta de *Senecio brasiliensis* (dose de 1g/kg), onde visualizam-se figuras de mitose no centro do campo. Coloração: HE (512x).

PRANCHA 7



Grupo L. *Eupatorium laevigatum* (extrato bruto aquoso)**Sub-Grupo L1** (dose, 0,5 mg/kg)

Alguns exemplares deste **sub-grupo** apresentaram alterações nucleares, células em degeneração, além de células em diferentes fases de mitose, distribuídas em todo órgão. Observou-se também que algumas áreas do órgão apresentaram vacuolização citoplasmática e algumas áreas de núcleo volumoso (Figuras, 99, 100 e 101; Prancha 8).

Sub-Grupo L2 (dose, 1g/kg)

Nos exemplares deste **sub-grupo** foram detectados hepatócitos com núcleos pleomórficos e sinosóides dilatados. Detectou-se, ainda, vários hepatócitos megalocíticos espalhados por todo o parênquima, com células volumosas e raras células em degeneração, sendo que frequentemente estas correspondiam a células megalocíticas. No caso das células com núcleos volumosos observou-se uma distribuição irregular da cromatina e alguns núcleos apresentaram mais de um nucléolo, os quais se mostraram bastante evidentes.

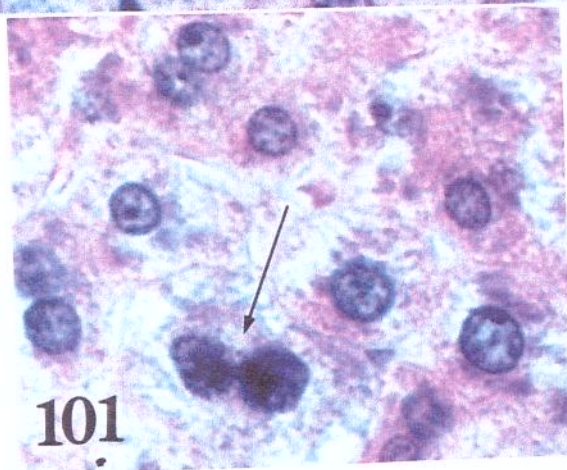
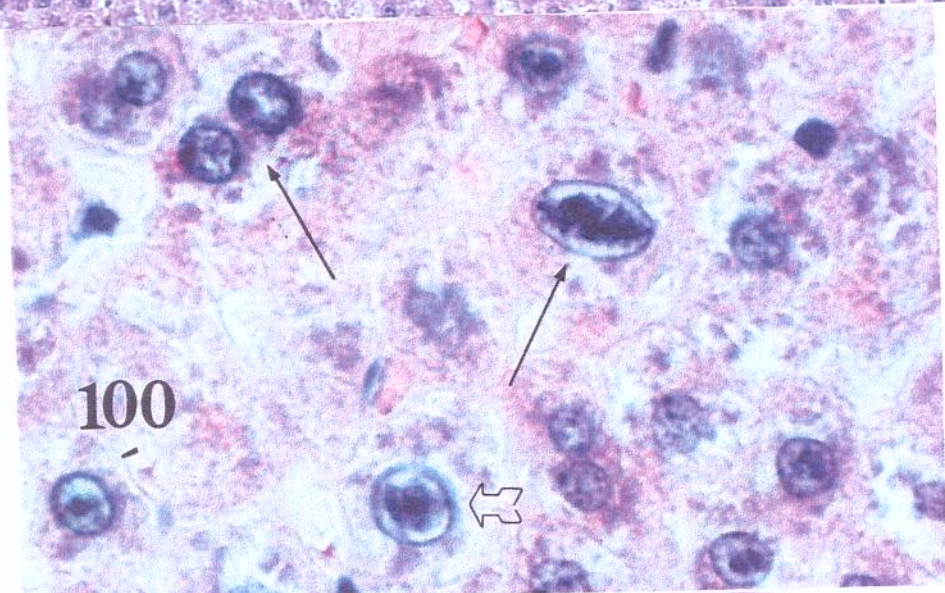
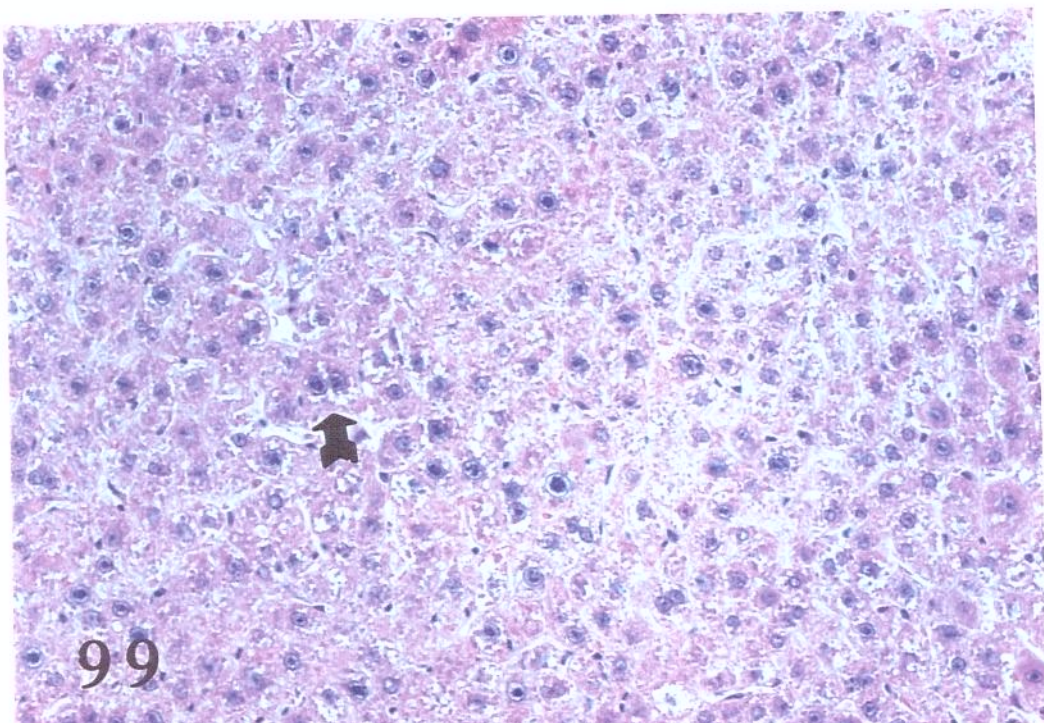
LEGENDAS PRANCHAS

Figura 99. Panorâmica de figado de rato do **grupo K**, após 6 meses de tratamento com extrato bruto de *Eupatorium laevigatum*. Visualiza-se nesta figura alterações nucleares com algumas células volumosas em fase de mitose atípica (seta cheia). Coloração: HE (220x)

Figura 100. Detalhe da foto anterior onde observa-se células em diferentes fases de mitose (seta longa) e células com núcleos volumosos (seta vazada). Coloração: HE (1020x).

Figura 110. Fotomicrografia com detalhes de células em final de divisão (seta longa). Coloração: HE (512x).

PRANCHAS 8



6. CONCLUSÕES

6. CONCLUSÕES

Neste trabalho foram estudadas 28 espécies de *Senecio*, 87 espécies de *Eupatorium*, 2 espécies de *Heliotropium*, 1 espécie de *Ageratum* e 3 espécies de *Crotalaria*.

As 28 espécies de *Senecio* apresentaram majoritariamente APs macrocíclicos, como a Senencionina, enquanto as 87 espécies de *Eupatorium* apresentaram APs monoésteres do Tipo Licopsamina. Devido ao fato de ter sido estudado um grande número de espécies destes dois gêneros, foi possível agrupar e traçar o perfil químico destas espécies.

As espécies *Heliotropium indicum*, *Heliotropium transalpinum* e *Ageratum conyzoides*, apresentaram APs monoésteres, como a Licopsamina. As espécies de *Crotalaria* são constituídas basicamente de APs macrocíclicos do Tipo Monocrotalina.

- A análise por CG-EM dos extratos brutos das espécies estudadas revelou as seguintes características:
- Espécies do gênero *Senecio* apresentaram padrões de alcalóides Macroscíclicos 1,2-Insaturados e Saturados (12 membros) do Tipo Senencionina
- Espécies do gênero *Eupatorium* têm como perfil cromatográfico APs Monoésteres do Tipo Licopsamina
- As espécies de *Heliotropium* e de *Ageratum conyzoides* APs Monoésteres do Tipo Licopsamina e do Tipo Supinina e
- As espécies de *Crotalaria* com APs Macroscíclicos de 11 membros do Tipo Monocrotalina.

Os resultados dos testes toxicidade (agudo e crônico) realizados, mostraram que:

- APs Monoésteres só apresentam efeito tóxico quando administrados em doses alta e por um longo período de tempo.

- APs Monoéster na forma de N-óxido (Indicina-N-Óxido) apresentam toxicidade mais alta do que o seu correspondente na forma livre.
- APs Macroscílicos 1,2-Insaturados, apresentam um efeito tóxico moderado nas doses baixas e um efeito altamente hepatotóxico nas doses altas.
- Este quadro foi verificado também, para os APs na forma N-Óxido. Mostrando assim, que estes são tão hepatotóxicos quanto os seus correspondentes na forma livre.
- Quanto a Base Retronecina, os efeitos tóxicos só aparecem em doses elevadas.
- Que os extratos que apresentam em sua composição química APs do Tipo Macroscílicos (*Senecio brasiliensis*), são altamente hepatotóxicos para animais e consequentemente para o homem, também.
- Os extratos da planta *Eupatorium laevigatum* também mostrou, um elevado grau de hepatotoxicidade, provavelmente em função da grande abundância de APs nesta espécie.
- Embora os extratos das plantas do gênero *Heliotropium* não tenham apresentado, naquelas doses testadas, nenhum efeito hepatotóxico não podemos afirmar que estas plantas possam ser usadas sem riscos para saúde humana. Havendo, assim a necessidade de um estudo crônico mais prolongado, para espécies deste gênero.

Diante dos resultados obtidos com os testes de toxicidade, podemos concluir que a utilização de plantas contendo alcaloides pirrolizídicos são tóxicas para os animais. Mesmo os extratos que não causaram toxicidade, como foi o caso do extrato de *Ageratum conyzoides*, não deveriam ser consumidos, já que também possuem APs.

Considerando que o objetivo inicial deste trabalho foi o estudo de plantas contendo APs utilizadas popularmente na forma de chás, infusões e alimentos, os resultados obtidos nos permitem sugerir que estas plantas não devem ser consumidas de nenhuma forma devido ao grande potencial tóxico, comprovado, dos APs.

É importante salientar que embora este tipo de trabalho já tenha sido realizado, na década de 80 na Alemanha, no Brasil não havia nenhum trabalho

de pesquisa com plantas tipicamente brasileiras que são utilizadas pela população e que contêm estes APs.

Daremos continuidade a este trabalho estudando os aspectos relacionados abaixo:

Desenvolvimento de uma metodologia que defina os níveis de alcalóides nos chás, preparados a partir de produtos farmacêuticos e homeopáticos usando plantas medicinais contendo APs tóxicos.

Outro aspecto que consideramos de grande importância, é conhecer a concentração exata dos APs presentes nos extratos aquosos (chás), uma vez que é desta forma que a população utiliza com mais frequência as plantas. É necessário verificar também, a concentração destes alcalóides nas formulações comerciais vendidas em farmácias alopáticas e homeopáticas.

7. REFERÊNCIAS BIBLIOGRÁFICAS

7. REFERÊNCIAS BIBLIOGRÁFICAS

- ALMEIDA, E.R. **Plantas Medicinais Brasileiras.** Conhecimentos populares e científicos. Ed. Hemus Ltda; São Paulo, Brasil. 340 p. 1993.
- ALLEN, J.R & CARSTENS, L.A. Pulmonary vascular occlusions initiated by endothelial lysis in monocrotaline-intoxicated rats. *Exp. Mol. Pathol.*, 13:159-171, 1970.
- ALLEN, J.R.; HSU, I.C & CARSTENS, L.A. Dehydroretonecine-induced rhabdomyosarcomas in rats. *Cancer Res.*, 35:997-1002, 1975.
- ARZT, J & MOUNT, M.E. Hepatotoxicity associated with pyrrolizidine alkaloid (*Crotalaria spp*) ingestion in a horse on Easter Island. **Veterinary and Human Toxicology**, vol.41, 96-99, 1999.
- ASIBAL, C.F.; GLINSKI, J.A; GELBAUM, L.T & ZALKOW, L.H. Pyrrilizidine alkaloids from *Cynoglossum creticum*. Synthesis of the pyrrolizidine alkaloids echinatina, rinderine, and analogues. *J. Nat. Prod.*, 52:109-118, 1989.
- BAH, M.; BYE, R. & MIRANDA, R.P. Hepatotoxic pyrrilizidine alkaloids in the Mexican medicinal plant *Packera candidissima* (Asteraceae: Senecioneae). **Journal of Ethopharmacology**, 43:19-30, 1994.
- BARNES, J.M.; MAGEE, P.N & SCHOENTAL, R. Lesions in the lungs and livers of rats poisoned with the pyrrolizidine alkaloids fulvene and its N-oxide. *J. Pathol.*, 88:521-531, 1964.
- BELL, E.A. Toxic amino acids in the Leguminosae. In: HARBORNE, J.B. **Phytochemical Ecology**, 163-178. Academic Press, London, 1972.
- BICCHI, C.; D'AMATO, A. & CAPPELLETTI, E. Determination of Pyrrolizidine alkaloids in *Senecio inaequidens* D.C. by Capillary Gas Chromatography. *J. Chromatogr.*, 349:23-29, 1985.
- BINGLEY, J.B. Solvente and temperature effects in the determination of pyrrolizidine alkaloids with 4-dimethylaminobenzaldehyde. *Anal. Chem.*, 40:166-1167, 1968.

- BORAUEL, T.; KARSTEN.; ROEDER, E. Alkaloids Pyrrolizidinicos. **Sci. Pharm.**, **63**(2):33-127. German 1995.
- BORSTEL, v.K.; WITTE, L. & HARTMANN. Pyrrolizidine alkaloid patterns in populations of *Senecio vulgaris*, *S. vernalis* and their hybrids. **Phytochemistry**, **28**:1635-1638, 1989.
- BRAUCHLI, J.; LÜTHY, J.; ZWEIFEL, U & SCHLATTER, CH. Pyrrolizidine alkaloids from *Symphytum officinale* L. and their percutaneous absorption in rats. **Experientia**, **38**:1085-1087, 1982.
- BREDENKAMP, M.W. The mass spectrometry of pyrrolizidine alkaloids. In "Naturally occurring pyrrolizidine alkaloids. Ed. A.M. RIS, **CRC Press**, Florida. pp. 147-167, 1991.
- BRITO, A.S. **Manual de Ensaios Toxicológicos in vivo**. Coleção Ciências Médicas. Ed. da Unicamp, Campinas, SP, Brasil. 122p, 1994.
- BROWN, K.S. JR. Adult-obtained pyrrolizidine alkaloids defend ithomiine butterflies against a spider predator. **Nature**, **307**: 707-709, 1984.
- BROWN, K.S. JR. Chemical ecology of dehydropyrrolizidine alkaloids in adult ithomiinae (Lepidoptera: Nymphalidae). **Rev. Bras. Biol.**, **44**: 435-460, 1985.
- BROWN, K.S. JR & TRIGO, J.R. The ecological activity of alkaloids. In: Cordell GA, ed. **The alkaloids**, vol.**47**, 227-356. **Academic Press**, 1995.
- BULL, L.B & DICK, A.T. The chronic pathological effects on the liver of the rat of the pyrrolizidine alkaloid, heliotrine, lasiocarpine and their N-oxides. **J. Pathol. Bacteriol.**, **78**:483-502, 1959.
- BULL, L.B.; CULVENOR, C. C & DICK, A.T. **The Pyrrolizidine alkaloids**, North-Holland Publishing, Amsterdam, pp. 115-132, 1968.
- CAVA, M.P.; RAO, K.V; WEISBACH, J.A; RAFFAUF, R.F & DOUGLAS, B. **The alkaloids of Cacalia floridiana**. **J. Org. Chem.**, **33**:3570-3573, 1968.
- CHALMERS, A.H.; CULVENOR, C.C.J & SMITH, L.W. Alkaloids of *Amsinckia* species. *A.intermedia*, *A.hispida* and *A.lycopsioides*. **J.Chromatogr.** **20**:270, 1965.

- CHESNEY, C.F & ALLEN, J.R. Resistance of the guinea pig to pyrrolizidine alkaloids intoxication. **Toxicol. Appl. Pharmacol.**, **26**:385-392, 1973a.
- CULVENOR, C.C.J & WOODS, W.G. Nuclear magnetic resonance spectro de pyrrolizidine alkaloids.The spectro of retronecine and heliotridine. **Aust. J. Chem.**, **18**:1625-1636, 1965.
- CULVENOR, C.C.J.; EDGAR, J.A.; JAGO, M.V.; OUTTERIDES, A.; PETERSON, J.E & SMITH, L.W. Hepato and pneumotoxicity of pyrrolizidine alkaloids and derivatives in relation to molecular structure. **Chem. Biol. Interact.**, **12**:299-324, 1976a.
- CULVENOR, C.C.J. Pyrrolizidine alkaloids: occurrence and systematic importance in angiosperms. **Bot. Notiser**, **131**:473-486, 1978.
- CULVENOR, C.C.J. Alkaloids and human disease In: Smith, R.L Bababunmi, E.A. ed, **Toxicology in the Tropics**, London. Taylor & Francis Ltda, **24**-141, 1980.
- CULVENOR, C.C.J.; CLARKE, M.; EDGAR, J.A.; FRAHN, J.L.; JAGO, M.V.; PETERSON, J.E & SMITH, L.W. Structure and toxicity of the alkaloids of Russia comfrey (*Symphytum x Uplandicum ny man*). A Medicinal herb and of human diet. **Experientia**, **30**: 337-389, 1980a.
- CULVENOR, C.C.J.; EDGAR, J.A.; FRAHN, J.L. & SMITH, L.W - The alkaloids of *Symphytum x uplandicum* (Russian comfrey). **Aust. J. Chem.**, **33**:1105-1113, 1980b.
- CULVENOR, C.C.J.; EDGAR, J.A. & SMITH, L.W. Pyrrolizidine alkaloids in honey from *Echium plantagineum* L. **J. Agric. Food Chem.**, **29**:958, 1981.
- CULVENOR, C.C.J. Estimated intakes of pyrrolizidine alkaloids by humans. A comparison with dose rates causing tumours in rats. **J. Toxicol. Environ. Health**, **11**: 625-635, 1983.
- CULVENOR, C.C.J. Pyrrolizidine alkaloids: some aspects of the Australian involvement. **Trends Pharmacol. Sci.**, **6**: 18-22, 1985.
- DEINZER, M.L.; THOMSON, P.A.; BURGETT, D.M & ISAACSON, D.L. Pyrrolizidine alkaloids their occurrence in honey from Tansy Ragwort (*Senecio jacobaea*). **Science**, **195**: 497-499, 1977.

- DEINZER, M.L.; THOMSON, P.A.; GRIFFIN, D. & DICKISON, E.A. Sensitive analytical method for pyrrolizidine alkaloids. The mass spectro of retronecine derivatives. **Biomed. Mass Spectrom.**, **5**: 175-179, 1978.
- DEINZER, M.L.; ARBOGAST, B.L.; BUHLER, D.R. & CHEEKE, P.R. Gas chromatographic determination of pyrrolizidine alkaloids in goat's milk. **Anal. Chem.**, **54**:1811, 1982.
- DUBROVINSKII, S.B. About the alimentary toxicosis caused by *Heliotrope*. **J. Sov. Prot. Health**, **6**:17-21 (in Russian), 1946.
- DICKINSON, J.^o; COOKE, M.P.; KING, R.R & MOHAMED, P.A. Milk transfer of pyrrolizidine alkaloids in cattle. **J. Am. Vet. Med. Assoc.**, **169**(11): 1192-1196, 1976.
- EDGAR, J.A. Parsonsiae: Ancestral Larval Foodplants of the Danainae and Ithomiinae. In " The Biology of Butterflies." Eds. ACKERY, P. A. & VANE-WRIGHT, R.I. **Academic Press**, pp. 91-96, 1984.
- EDGAR, J.A. Pyrrolizidine Alkaloids Sequestered by Solomon Island Danainae Butterflies. The Feeding Preferences of the Danainae and Ithomiinae. **J. Zool. Lond.**, **196**:385-399, 1982.
- EHMKE, A.; WITTE, L.; BILLER, A. & HARTMANN, T. Sequestration, N-oxidation and transformation of plant pyrrolizidine alkaloids by the arctiid moth *Tyria jacobaeae*. **L. Z. Naturforsch.**, **45c**:1185-1192, 1990.
- EVANS, J.V.; PENG, A & NIELSEN, C.J. The gas chromatographic mass spectrometric analysis of the new antitumor drug indicine N-oxide utilizing a novel reaction accompanying trimethylsilylation. **Biomed. Mass Spectrom.**, **6**:38-43, 1979.
- EVANS, J.V.; DALEY, S.K.; McCLUSKY, G.A. & NIELSEN, C.J. Direct quantitative analysis of indicine N-oxide in cancer patient samples by gas chromatography using the internal standard heliotrine N-oxide including a mass spectral comparison of their trimethylsilyl derivatives. **Biomed. Mass Spectrom.**, **7**:65-73, 1980.
- FRAHN, J.; CULVENOR, C.C.J. & MILLS, J.A. Preparative separation of the pyrrolizidine alkaloids, intermedine and lycopsamine, as their borate complexes. **J. Chromatogr.**, **195**:379-383, 1980.

- FURUYA, T. & ARAKI, K. Studies on constituents of crude drugs. I. Alkaloids of *Symphytum officinale* Linn. **Chem. Phar. Bull.**, **16**:2512-2516, 1968.
- GEORGER, D.E.; CHEEKE, P.R.; SCHMITZ, J. A & BUHLER, D.R. Effect of feeding milk from goats fed tansy ragwort (*Senecio jacobaea*) to rats and calves. **Am. J. Vet. Res.** **43**:1631, 1982.
- GOMORI, G. **Microscopic histochemistry: principles and practice**. University of Chicago Press, 1952.
- HABERMEHL, G.G.; MARTZ, W.; TOKARNIA, C.H.; DÖBEREINER, J and MENDEZ, M. C. "Livestock poisoning in south America by species of the *Senecio* plant". **Toxicon**, **26**: 275-286, 1988.
- HABERMEHL, G.G. Plantas Tóxicas e Fitotoxicas no Brasil. **Vinte anos de Cooperação Científica e Tecnológica Brasil - República Federal da Alemanha**, pp.178-184, 1991.
- HARBORNE, J.B. Phytochemical Methods. **A Guide to Modern Techniques of Plant Analysis**. 2 ed. 288pp, 1984, Hong Kong.
- HARBORNE, J. B. **Introduction to Ecological Biochemistry**, 4th Ed, University of Reading, UK, pp. 67-103, Academic Press, 1997.
- HARTMANN, T. **Quinolizidines and pyrrolizidine**. In "Cell culture and somatic cell genetics of plants." Vol. 5. Eds. F. Constabel & I.K. Vasil. Academic Press. San Diego. CA. pp. 277-288, 1988.
- HARTMANN, T. & G. TOPPEL. Senecionine N-oxide, the primary product of pyrrolizidine alkaloid biosynthesis in root cultures of *Senecio vulgaris*. **Phytochemistry**, **26**:1639-1643, 1987.
- HARTMANN, T.; SANDER, H.; ADOLPH, R. & TOPPEL, G. Metabolic links between the biosynthesis of pyrrolizidine alkaloids and polyamines in root cultures of *Senecio vulgaris*. **Planta**, **175**:82-90, 1988.
- HARTMANN, T. Alkaloids. In **Herbivores: Their interactions with secondary plant metabolites**, 2 ed, vol.1, 79-121, Academic Press, 1992.
- HARTMANN, T. & WITTE L. Chemistry, biology and chemoeontology of the pyrrolizidine alkaloids. In **Alkaloids: Chemical and**

- Biological Perspectives**, v.9 (PELLETIER, S.W., ed), pp. 155-233. Pergamon Press, Oxford, 1995.
- HERZ, W.; KULANTHAIVEL, P. S.; SUBRAMANIAN, P. S.; CULVENOR, C. C. J & EDGAR, J. A. Alkaloids of *Conoclinium coelestinum* (L.). DC., *Eupatorium compositifolium* Walt and *E. allisimum* L. Isolation of crystalline intermidine from *C. coelestinum*, **Experientia**, **37**:683, 1981.
- HIND, D.J.N. A checklist of the Brazilian *Senecioneae* (Compositae). In: **Kew Bulletin**, vol. **48** (2):279-295, 1993.
- HIRONO, I. Carcinogenic of plant constituents: pyrrolizidine alkaloids, flavonoids, bracken fern. **Genet. Toxic. Diet**, **45**, 1986.
- HOOPER, P.T. Pyrrolizidine alkaloids poisoning-pathology with particular reference to differences in animal and plant species. In effects of poisonous plants on livestock, KEELER, R.F.; VAN KAMPEN, K.R & JAMES, L.F. Eds. **Academic Press**, New York, **161**, 1978.
- HOOPER, P.T & SCANLAN, W.A. *Crotalaria retua* poisoning of pigs and poultry. **Aust.Vet.J**, **53**:109-114, 1977.
- HSU, I.C.; ALLEN, J.R & CHESNEY, C.F. Identification and toxicological effects of dehydroretronecine, a metabolite of monocrotaline. **Proc. Soc. Exp. Biol. Med.** **144**: 834-838, 1973.
- HUXTABLE, R.J. Herbal teas and toxins: novel aspects of pyrrolizidine poisoning in the United States. **Perspect. Biol. Med.**, **24**: 1-14, 1980.
- JAGO, M.V. Method for the assessment of the chronic hepatotoxicity of pyrrolizidine alkaloids. **Aust. J. Exp. Biol. Med. Sci.**, **48**:93, 1970.
- JOHNSON, A.E.; MOLYNEUX, R.J & STUART, L.D. Toxicity of Riddel's groundsel (*Senecio riddelli*) to cattle. **Am. J. Vet. Res.**, **40**: 577-582, 1985.
- JOHNSON, A.E.; MOLYNEUX, R.J. & RALPHS, M.H. *Senecio*: A dangerous plant for man and beast. **Reprinted from Rangelands**, **11**:261-264, 1989.
- JONES, D.A. Cyanogenic glycosides and their function. In: HARBORNE, J. B. **Introduction to Ecological Biochemistry**, 4^o Ed, University of Reading, UK, pp. 67-103, Academic Press, 1997.

- JONES, A.J.; CULVENOR, C.C.J & SMITH, L.W. Pyrrolizidine alkaloids- Carbon-13 nmr. **Study. Aust. J. Chem.**, **35**:1173-1184, 1982.
- KAY, J. M.; HELATH, D.; SMITH, P.; BRAS, G & SUMMERELL, J. Fulvine and pulmonary circulation. **Thorax**, **26**:249, 1971a.
- KEELER, R.F. Toxins and Teratogens of higher plants. **Lloydia**, **38**: 56-86, 1975.
- KEELER, R.F.; VAN KAMPEN, K.R & JAMES , L.F. Effects of Poisonous Plants on Livestock, 600pp. **Academic Press**, New York, 1978.
- KEELER, R.F & TU, A.T. Plant and Fungal Toxins. **Handbook of Natural Toxins**, vol.1. Marcel Dekker, New York1,983.
- KREBS, H.C. **Progr. Chem. Org. Nat. Prod** **49**, 151-363, 1986
- KREBS, H.C.; CARL, T.; HABERMEHL, G.G. Pyrrolizidine Alkaloid Composition in six Brazilian *Senecio* species. **Phytochemistry** **43**(6): 1227-1229, 1996.
- KUMANA, C.R, NG, M.; LIN, H.J.; KO, W.; WU, P.C & TODD, D. Herbal tea induced hepatic veno-occlusive disease: quantification of toxic alkaloid exposure in adults. **Gut**, **26**(1):101-104, 1985.
- KUTCHAN, T.M. Alkaloid Biosynthesis-The Basis For Metabolic Engineering of Medicinal Plants. **The Plant Cell**, **7**(6): 1059-1070, 1995.
- LAFRANCONI, M & HUXTABLE, R. J. Pyrrolizidine and the pulmonary vasculature. **Rev. Drug Metab. Drug Interact.**, **3**:271, 1981
- LANCET. Pyrrolizidine alkaloids (editorial). **Lancet**, **1**: 201-202, 1984.
- LITCHFIELD, J. T., & WILCOXON, F. A simplified method of evaluating dose-effect experiments. **J. Pharmacol. Exp. Ther.**, **96**:99-115, 1949.
- LIU, K.; ROEDER, E.; CHEN, H.L & XIU, X.J. Pyrrolizidine alkaloids from *Eupatorium fortunei*. **Phytochemistry**, **31**:2573-2574, 1992.

- LOGIE, C.G.; GRUE, M.R & LIDDELL, J.R. Proton NMR spectroscopy of pyrrolizidine alkaloids. Review article No.93. **Phytochemistry**, **37**:43-109, 1994.
- LOOMIS, T.A. Acute and Prolonged Toxicity Test. **J. Assoc. Official Analytical Chem.**, v.**58**:645-705, 1975.
- LOOMIS, T.A. **Fundamentos de Toxicologia**. Ed. Acribia, Zaragoza (Espanha), sem data.
- LORENZI, H. **Plantas Daninhas** (terrestres, aquáticas, parasitas, tóxicas e medicinais) **do Brasil**, 2º Edição. Editora Plantarum Ltda. 440p, 1991.
- MAGALHÃES, J.F.G.; VIANA, C.F.G.; JUNIOR, A.G.M.A.; MORAIS, V.G.; RIBEIRO, R.A. & VALE, M.R. Analgesic and Antiinflammatory activities of *Ageratum conyzoides* in rats. **Phytherapy Research**, vol. **11**:183-188, 1997.
- MARIE, A. Pharmacological and Toxicological Studies of some *Heliotropium* alkaloids in Experimental Animals, Ph.D (**Tese**), **Fac. Med.** Cairo University, Egyto, 1983.
- MCGRATH, J.P.M.; DUNCAN, J.R & MUNNELL, J.F. *Crotalaria spectabilis* toxicity in swine: characterization of the renal glomerular lesion. **J. Comp. Pathol.** **85**(2): 185-194, 1975.
- MCLEAN, E.K. *Senecio* and other plants as liver poisons. **Isr. J. Med. Sci.**, **10**:436-440, 1974.
- MCLEAN, E.K. The toxic actions of pyrrolizidine (*Senecio*) alkaloids. **Pharmacol. Rev.**, **22**:249, 1970.
- MATTOCKS, A.R. Spectrophotometric determination of unsaturated pyrrolizidine alkaloids. **Anal. Chem.**, **39**: 443-447, 1967a.
- MATTOCKS, A.R. Detection of pyrrolizidine alkaloids on thin-layer chromatograms. **J. Chromatogr.**, **27**: 505-508, 1967b.
- MATTOCKS, A.R. Spectrophotometric determination of pyrrolizidine alkaloids: some improvements. **Anal. Chem.**, **40**:1749, 1968.
- MATTOCKS, A.R & WHITE, I.N.H. Estimation of metabolites of pyrrolizidine alkaloids in animal tissues. **Anal. Biochem.**, **38**:529-535, 1970.
- MATTOCKS, A.R & WHITE, I.N.H. The conversion of pyrrolizidine alkaloids to dihydropyrrolizidine derivatives by rat-liver

- microsomes in vitro. **Chem. Biol. Interact.**, **3**:383-396, 1971a.
- MATTOCKS, A.R. Synthetic compounds with toxic properties similar to those of pyrrolizidine alkaloids and their pyrrolic metabolites. **Nature**, **232**:476, 1971a.
- MATTOCKS, A.R. The occurrence and analysis of pyrrolizidine alkaloid N-oxides. **Xenobiotica**, **1**:451-453, 1971b.
- MATTOCKS, A.R. Acute hepatotoxicity and pyrrolic metabolites in rats dosed with pyrrolizidine alkaloids. **Chem. Biol. Interact.**, **5**:227-242, 1972b.
- MATTOCKS, A.R. Liver cell enlargement in rats given hydroxymethyl pyrroles analogous to pyrrolizidine alkaloid metabolites, followed later by the hepatotoxin dimethylnitrosamine. **Toxicol. Lett.**, **8**:201-205, 1981a.
- MATTOCKS, A.R. Chemistry and toxicology of pyrrolizidine alkaloids. **Academic Press**, New York, London, 1986.
- MILLER, L. C. & TAINTER, M. L. Estimation of ED₅₀ and its error by means of logarithmic probit graph paper. **Proc. Soc. Exp. Biol. Med.**, **57**:261-264, 1944.
- MITCHELL, J and ROOCK, A. **Botanical Dermatology**, 787pp, 1979. Greenglass, Vancouver.
- MOHANRAJ, S., SUBRAMANIAN, P. S. & HERZ, W. Minor Alkaloids of *Heliotropium Curassavicum*. **Phytochemistry**, v 21, **7**:1775-1779, 1982.
- MOHANRAJ, S., HERZ, W. & SUBRAMANIAN, P. Separation of diastereomeric pyrrolizidine alkaloids by chromatography on alkali-silica gel. **J.Chromatogr.**, **238**: 530-533, 1982.
- MOLINNEUX, R.J.; ROITMAN, J.N.; BENSON, M & LUNDIN, R.E - ¹³C nmr spectroscopy of pyrrolizidine alkaloids. **Phytochemistry**, **21**: 439, 1982.
- MOLINNEUX, R.J.; JOHNSON, A.E & STUART, L.D. Delayed Manifestation of Senecio-Induced pyrrolizidine alkaloids in cattle: Case Reports. **Vet. Hum. Toxicol.**, **30**:201-205, 1988.
- NEUNER-JEHLE, N.; NESVADBA, H. & SPITELLER, G. Anwendung der Massenspektrometrie zur Strukturaufklärung von Alkaloiden, 6. Mitt.: Pyrrolizidinalkaloide aus dem Goldregen. **Monatsch. Chem.**; **96**:320-338, 1965.

- OGAWA, T; NIWA, H & YAMADA, K. An Efficient Enantioselective Synthesis of Indicine N-Oxide, an Antitumor Pyrrolizidine Alkaloid. **Tetrahedron**, v 49, **8**: 1571-1578, 1993.
- OHTSUBU, K.; ITO, Y.; SAITO, M.; FURUYA, A. T & KIHICHI, M. Hypertrophy of pulmonary arteries ans arterioles with cor pulmonale in rats induced by seneciphylline, a pyrrolizidine alkaloid. **Experientia**, **33**:498, 1977.
- PELLETIER, S.W. **The Nature and Definition of an Alkaloid**. Institute for Natural Products Research and Department of Chemistry The University of Georgia. **Chap I.** pp 25-27, 1983.
- PIELON, E.C. **The interpretation of ecological data a primer on classification and ordination**. 263p, New York, J. Wiley, 1984.
- PEDERSEN, E. & LARSEN, E. Mass spectrometry of some pyrrolizidine alkaloids. **Org. Mass Spectr**, **4**:249-256, 1970.
- POWIS, G.; AMES, M. M & KOVACH, J. S. Metabolic conversion of indicine-N-oxide to indicine in rabbits and humans. **Cancer Res**, **39**:3564-3570, 1979.
- PRAKASH, A.S.; PEREIRA,T.N.; REILLY, P.E.B & SEAWRIGHT, A.A. Pyrrolizidine alkaloids in human diet. **Mutation Research/Genetic Toxicology and Environmental Mutagenesis**, vol.**443**, 53-67, 1999.
- RATNOFF, O. D & MIRICK, G . S. Influence of sex upon the lethal effects of na hepatotoxic alkaloid, monocrotaline. **Bull. Johns Hopkins Hosp**, **84**:507-25, 1949.
- RIBEIRO, L. R., BAUTISTA, A.R.P.L; SILVA; A.R; SALES, L.A; SALVADOR, D.M.F, & MAIA, P.C. Toxicological and toxicogenetic efects of plants used in popular medicine and in cattle food. **Mem. Inst. Oswaldo Cruz**, Rio de Janeiro, v. **86**, Suppl.II., 89-91,1991.
- RIZK, A.F.M & KAMEL, A. Toxicity, carcinogenecity, pharmacology and other biological activities of pyrrolizidine alkaloids. In: Naturally Occurring Pyrrolizidine Alkaloids. Ed. A.M. Rizk. **CRC Press**, pp. 211-226, 1991.
- ROBBERS, M. K. S & TYLER, E.V. **Farmacognosia Biotecnologia**. Editorial Premier. **Cap. 9**, pp.163-208, 1997.
- ROBINS, D.J. Pyrrolizidine Alkaloids. **Fortschritte Ch. N. S**, **41**:115-203, 1982.

- ROBINS, D.J. Biosynthesis of pyrrolizidine alkaloids. **Chem. Soc. Rev.**, **18**:375-408, 1989a.
- ROBINS, D.J. Pyrrolizidine Alkaloids. **Nat. Prod. Rep.**, **6**:577-589, 1991.
- RODRIGUEZ, E.; TOWERS, G.H.N & MITCHELL, J.C. Biological activities of sesquiterpene lactones. **Phytochemistry** **15**: 1573-1580, 1976.
- ROEDER, E. Carbon-13 nmr spectroscopy of pyrrolizidine alkaloids. **Phytochemistry**, **29**:11-29, 1990.
- ROEDER, E. Carbon-13 nmr spectroscopy of pyrrolizidine alkaloids. In "Naturally occurring pyrrolizidine alkaloids." Ed. A.M. RIZK. **CRC PRESS**, pp.111-146, 1991.
- ROEDER, E. Carbon-13 nmr spectrscopy of pyrrolizidine alkaloids. In: Naturally Occurring Pyrrolizidine Alkaloids. Ed, A.M. Rizk. **CRC Press**, Florida, 1991, pp. 111-146.
- ROEDER, E. Carbon -13 nmr spectroscopy pyrrolizidine alkaloids. **Phytochemistry**, **29**: 11-29, 1990.
- ROEDER, E & BOURAUEL, T. Pyrrolizidine Alkaloids from *Neatostema apulum*. **Phytochemistry**, **31**:3613-3615, 1992.
- ROITMAN, J.N. Comfrey and liver damage. **Lancet**, **1**:944, 1981.
- ROITMAN, J.N. The pyrrolizidine alkaloids of *Amsinekia menziesii*. **Aust. J. Chem.**, **36**: 769-778, 1983.
- ROSENTHAL, G.A. Plant Nonprotein Amino and Imino Acids, 273pp, 1982. **Academic Press**, New York.
- ROTH, R. A.; DOTZLAF, L. A.; BARANYI, B & HOOK, J.B. Effects of monocrotaline ingestion on liver, kidney and lung of rat. **Toxicol. Appl. Pharmacol.**, **60**:193-203, 1981.
- ROTHSCHILD, M.; APLIN, R.T; COCKRUM, P.A; EDGAR, J.A.; FAIRWETHER, P. & LEES, R. Pyrrolizidine alkaloids in arctiid moths with a discussion on host plant relationships and the role of these secundary plant substances in the Arciidae. **Biol. J. Linn. Soc.** **12**:305-326, 1979.
- SHAZLY, EL.A.; SARG, T.; ATEYA, A.; AZIZ, A.; DAHMY, EL.S.; WITTE, L. & WINK, M. Pyrrolizidine alkaloids from *Echium setosum* and *Echium vulgare*. **J. Nat. Prod.**, **59**:310-313, 1996.

- SHAZLY, EL.A.; SARG, T.; ATEYA, A.; AZIZ, A.; DAHMY, EL.S.; WITTE, L. & WINK, M. Pyrrolizidine and Tetrahydroisoquinoline alkaloids from *Echium humile*. **Phytochemistry**, **42**:225-230, 1996.
- SHOENTAL, R & MAGEE, P.N. Chronic liver changes in rats after a single dose of lasiocarpine a pyrrolizidine (*Senecio*) alkaloids. **J. Pathol. Bacteriol.**, **74**:305-319, 1957.
- SHOENTAL, R & MAGEE, P.N. Further observations on the subacute and chronic liver changes in rats after a single dose of various pyrrolizidine *Senecio* alkaloids. **J. Pathol. Bacteriol.**, **78**:471-482, 1959.
- SHOENTAL, R. Liver lesions in young rats suckled by mothers treated with the pyrrolizidine (*Senecio*) alkaloids, lasiocarpine and retrorsine. **J. Pathol. Bacteriol.** **77**:485-504, 1959.
- SIMÕES, C. M. O., MENTZ, L. A., SCHENKEL, E. P., IRGANG, B. E., STEHMANN, J. R. **Plantas da Medicina Popular no Rio Grande do Sul**. 4, Porto Alegre: Ed. da Universidade UFRGS. 174 p. 1995.
- SMITH, L. and CULVENOR, C.C.J. Plant sources of hepatotoxic pyrrolizidine alkaloids. **J. Nat. Prod.**, **44**:129-143, 1981.
- SILVERSTEIN, R.M., BASSLER, G.C. & MORRILL, T.C. Spectrometric identification of organic compounds. 5 ed, pp. 165-263, 1991.
- STELLJES, M.E.; KELLEY, R.B.; MOLYNEUX, R.J. & SEIBER, J.N. GC-MS Determination of pyrrolizidine alkaloids in four *Senecio* species. **Journal of Natural Products**, **54**:759-773, 1991.
- TANDON, H.D., TANDON, B.N & MATTOCKS, A.R. An Epidemic of veno-occlusive of the liver in Afghanistan. **Am. J. Gastroenterol.**, **72**: 607-613, 1978.
- TEREKHOV, G.N - Pathomorphology of toxic hepatitis with ascites. In: Mirochnik, M.F., ed. **Functional Diagnostic and Pathological changes of Toxic Hepatitis with Ascites**. Tashkents, State Publishing House of Science Technology and Socio-Economic Literature of Uzbekistan, pp. 145-200, 1939 (in Russian).
- TOPPEL, G.; WITTE, L. & HARTMANN, T. N-Oxidation and degradation of pyrrolizidine alkaloids during germination of *Crotalaria scassellatii*. **Phytochemistry**, **27**:3757-3760, 1988.

TOWERS, G.H.N. Photosensitizers from plants and their photodynamic action. **Prog. Phytochemistry**, **6**: 183-202, 1980.

TRIGO, J.R.; WITTE, L.; BROWN, K.S. JR.; HARTMANN, T & BARATA, L.E.S. Pyrrolizidine alkaloids in the Arctiid Moth Hyalurga Syma. **J. Chem. Ecol.**, **19**: 669-679, 1993.

TRIGO, J.R.; BROWN, K.S. Jr.; WITTE, LUDGER.; HARTMANN, T.; ERNST, L & BARATA, L.E.S. Pyrrolizidine Alkaloids in some Apocynaceae and Solanaceae feeding ithomiine (Lepidoptera: Nymphalidae). **Biological J. Lin. Soc.** **58**:99-123, 1996.

WESTENDORF, J. Pyrrolizidine alkaloids. General Discussion. In: Smet, P.A.G.M.; Keller, K.; Hansel, R & Chandler, R.F. ed - **Adverse Effects of Herbal Drugs** **1**. Berlin, Springer, Verlag, Berlin Heidelberg, 1992.

WIEDENFELD, H. & ROEDER, E. **Phytochemistry**, **18**:1083-1084, 1975

WIEDENFELD, H. & ROEDER, E. Pyrrolizidine alkaloids from *Ageratum conyzoides*. **Planta Med.**, **57**:578-579, 1991.

WIEDENFELD, H.; GUERREIRO, R. & ROEDER, E. Pyrrolizidine alkaloids from *Eupatorium portoricense*. **Planta Med.**, **61**:380-381, 1995.

WILLIAMS, M.C.; MOLYNEUX, R.S. Occurrence, concentration and toxicity of pyrrolizidine alkaloids in crotalaria seeds. *Sci.*, **35**(4):476-481, 1987.

WINK, M. Allelochemical properties or the raison D'être of alkaloids In: **The Alkaloids**, vol.**41**, 118pp. Academic Press, 1993.

WITTE, L.; ERNEST, L.; ADAM, H. & HARTMANN, T. Chemotypes of two pyrrolizidine alkaloids-containing *Senecio* species. **Phytochemistry**, **31**:559-565, 1992.

WITTE, L.; RUBIOLO, P.; BICCHI, C. & HARTMANN, T. Comparative analysis of pirrolizidine alkaloids from natural sources by gas chromatography-Mass spectrometry. **Phytochemistry**, **32**:187-196, 1993.

VALLMER, J.J.; STEINER, N.C.; LARSEN, G.Y.; MUIRHEAD, K.M & MOLYNEUX, R.J. Pyrrolizidine Alkaloids: Testing for Toxic

Constituents of Comfrey. **J. of Chem. Education**, **64**(12):1027-1030, 1987.

WHO. **International Program of Chemical Society (IPCS)**: Criteria 80, Pyrrolizidine alkaloids, World Health Organization. Geneva, 1988.

VAN DEN DOOL, H & KRATZ, P.D. A generalization of the retention index system incluinding linear temperature Programmed gas-liquid partition. **J. Chromatogr**, **11**:463-471, 1963.

VLIETINCK, A. J & PIETERS, L. A.C. Quantitative determinations of pyrrolizidine alkaloids. In "**Naturally occurring pyrrolizidine alkaloids**". ED. A.M RIKK, **CRC Press**, Florida. pp. 191-210, 1991.

VRIELING, K. Costs and benefitis of alkaloids of *Senecio jacobaea* L. **PhD Thesis**. Department of Populational Biology, Research Group. Ecology of Plants and Herbivores, University of Leiden, Holanda, 1991.

ZALKOW, L.H.; GLINSKI, J.A.; GELBAUM, L.; FLEISCHMANN, T.J.; McGOWAN, L.S & GORDON, M.M. Synthesis of the pyrrolizidine alkaloids indicine, intermidine, lycopsamine and analogues and their N-oxides. Potential antitumor agents. **J. Med. Chem**, **28**:687-694, 1985.

UNICAMP
BIBLIOTECA CENTRAL
SECÃO CIRCULANTE